



(19) 대한민국특허청(KR)

(12) 등록특허공보(B1)

(45) 공고일자 2017년11월20일

(11) 등록번호 10-1794298

(24) 등록일자 2017년10월31일

(51) 국제특허분류(Int. Cl.)

C12N 15/10 (2017.01) C12N 15/63 (2006.01)

C12Q 1/68 (2006.01) C40B 40/06 (2006.01)

(21) 출원번호 10-2011-7014144

(22) 출원일자(국제) 2009년11월19일

심사청구일자 2014년07월30일

(85) 번역문제출일자 2011년06월20일

(65) 공개번호 10-2011-0102351

(43) 공개일자 2011년09월16일

(86) 국제출원번호 PCT/US2009/065048

(87) 국제공개번호 WO 2010/059763

국제공개일자 2010년05월27일

(30) 우선권주장

61/116,109 2008년11월19일 미국(US)

61/162,230 2009년03월20일 미국(US)

(56) 선행기술조사문헌

JP2003533979 A

US05976846 A*

WO2009048885 A2

WO2008045380 A2

*는 심사관에 의하여 인용된 문헌

(73) 특허권자

아미리스 인코퍼레이티드

미국, 캘리포니아주 94608, 에머리빌, 스위트
100, 5885 홀리스 스트리트

(72) 발명자

서버, 자크

미국, 캘리포니아주 94608, 에머리빌, 스위트
100, 5885 홀리스 스트리트

로우, 레이몬드

미국, 캘리포니아주 94608, 에머리빌, 스위트
100, 5885 홀리스 스트리트

(뒷면에 계속)

(74) 대리인

특허법인필엔온지

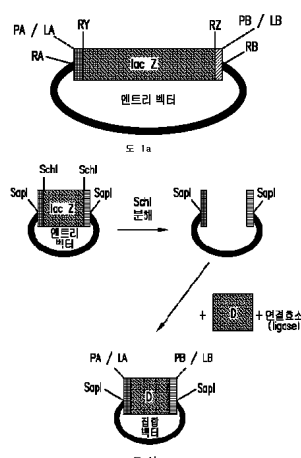
전체 청구항 수 : 총 35 항

심사관 : 김정희

(54) 발명의 명칭 폴리뉴클레오타이드의 집합체 조성물 및 이에 대한 방법

(57) 요약

본 발명은 수많은 폴리뉴클레오타이드 성분들로부터 하나 이상의 집합된(assembled) 폴리뉴클레오타이드의 조성물 및 빠른 집합 방법을 제공한다. 본 발명의 방법은 어닐링될 수 있는 링커 서열, 어닐링될 수 있는 링커 서열 쌍 LA 및 LB, 또는 어닐링될 수 있는 링커 서열/프라이머 결합 절편 쌍 LA과 PB 또는 PA과 LB의 측면에 배치된 (뒷면에 계속)

대 표 도

DNA 절편 D를 포함하는 원형 핵산 벡터를 이용한다. 집합될 DNA 절편(segment)을 포함하는 수많은 벡터의 세한 엔도뉴클레아제 분해는 PA-D-LB, LA-D-LB 및 LA-D-PB 또는 D-LB, LA-D-LB 및 LA-D 성분들을 포함하는 수많은 DNA 절편들을 형성한다. 어닐링될 수 있는 렁커 서열 LA 및 LB의 서열은 DNA 절편에 상보적인 말단을 제공하며, 이는 숙주 세포 매개 상동 재조합(homologous recombination)에서 사용되거나 또는, 다양한 DNA 절편(segment)의 하나 이상의 집합된(assembled) 폴리뉴클레오타이드로의 정렬된 집합체에 대한 폴리머라제 사이클링 집합 반응에서 절편 PA와 PB를 결합시키는 프라이머와 함께 사용된다.

(72) 발명자

우버사스, 제프리, 에이.미국, 캘리포니아주 94608, 에머리빌, 스위트 100,
5885 홀리스 스트리트**찬드란, 선일, 에스.**미국, 캘리포니아주 94608, 에머리빌, 스위트 100,
5885 홀리스 스트리트**딘, 에릭, 제네디아**미국, 캘리포니아주 94608, 에머리빌, 스위트 100,
5885 홀리스 스트리트**플랫, 대런, 엠.**미국, 캘리포니아주 94608, 에머리빌, 스위트 100,
5885 홀리스 스트리트**타케오카, 케네스, 토시키**미국, 캘리포니아주 94608, 에머리빌, 스위트 100,
5885 홀리스 스트리트

명세서

청구범위

청구항 1

- (a) 각각, 5'에서 3'의 방향으로, 첫번째 제한 부위 RA₀, 그룹 D₀로부터 선택된 임의의 DNA 절편, 어닐링될 수 있는 링커 서열 LB₀ 및 두번째 제한 부위 RB₀를 포함하며 원형인, 하나 이상의 첫번째 핵산 분자;
- (b) 각각, 5'에서 3'의 방향으로, 첫번째 제한 부위 RA_n, 첫번째 어닐링될 수 있는 링커 서열 LA_n, 그룹 D_n으로부터 선택된 임의의 DNA 절편, 두번째 어닐링될 수 있는 링커 서열 LB_n 및 두번째 제한 부위 RB_n을 포함하며 원형인, 하나 이상의 중간 핵산 분자(상기 n은 1 내지 중간 핵산 분자의 개수까지의 정수를 나타냄); 및
- (c) 각각, 5'에서 3'의 방향으로, 첫번째 제한 부위 RA_m, 어닐링될 수 있는 링커 서열 LA_m, 그룹 D_m으로부터 선택된 임의의 DNA 절편, 및 두번째 제한 부위 RB_m을 포함하며 원형인, 하나 이상의 마지막 핵산 분자(상기 m은 중간 핵산 분자의 개수보다 큰 정수를 나타냄);를 포함하며,

상기 각각의 어닐링될 수 있는 링커 서열은 적어도 24개 뉴클레오티드의 길이이며;

여기에서, 제한 부위 RA₀부터 RB_m까지의 절단 및 절단된(excised) 선형 핵산 분자의 변성에 있어서, 각각의 어닐링될 수 있는 링커 서열 LB_(p-1)는 어닐링될 수 있는 링커 서열 LA_p의 상보적 서열(complement)에 하이브리드할 수 있으며 상기 절단된 선형 핵산 분자에 대한 상보적인 폴리뉴클레오타이드의 합성을 위한 개시 지점으로 기능할 수 있으며, 상기 n은 1부터 (m-1)까지 변하는 정수이며, 상기 p는 1 내지 m의 정수를 나타내며, 및 상기 각각의 그룹 D₀, ..., D_n, ..., 및 D_m은, 서로 독립적으로 하나 이상의 DNA 절편(segment)으로 구성된 것을 특징으로 하는 조성물.

청구항 2

제 1항에 있어서, 상기 하나 이상의 첫번째 핵산 분자는 각각, 그룹 D₀로부터 선택된 DNA 절편에 대하여 5'에 위치한 프라이머 결합 절편 PA를 더 포함하며, 하나 이상의 마지막 핵산 분자는 각각, 그룹 D_m으로부터 선택된 DNA 절편에 대하여 3'에 위치한 프라이머 결합 절편 PB를 더 포함하는 것을 특징으로 하는 조성물.

청구항 3

제 1항 또는 제 2항에 있어서, 상기 제한 부위 RA₀부터 RB_m까지의 절단 및 절단된(excised) 선형 핵산 분자의 변성에 있어서, 조성물에서, 각각의 어닐링될 수 있는 링커 서열 LB_(p-1)은 어닐링될 수 있는 링커 서열 LA_p의 상보적 서열(complement)에 선택적으로 하이브리드할 수 있는 것을 특징으로 하는 조성물.

청구항 4

제 1항 또는 제 2항에 있어서, 상기 각각의 어닐링될 수 있는 링커(annealable linker) LB_(p-1)은 어닐링될 수 있는 링커 서열 LA_p 또는 이의 상보적 서열(complement)과 서열에서 동일한 것을 특징으로 하는 조성물.

청구항 5

제 1항 또는 제 2항에 있어서, 하나의 첫번째 핵산 분자 및 마지막 핵산 분자를 포함하는 것을 특징으로 하는 조성물.

청구항 6

제 1항 또는 제 2항에 있어서, 상기 각각의 제한 부위 RA₀부터 RB_m는 IIS형 제한 엔도뉴클레아제에 의해 절단될 수 있는 것을 특징으로 하는 조성물.

청구항 7

제 1항 또는 제 2항에 있어서, 상기 제한 부위 RA_0 부터 RB_m 는 동일한 IIS형 제한 엔도뉴클레아제에 의해 절단될 수 있는 것을 특징으로 하는 조성물.

청구항 8

제 1항 또는 제 2항에 있어서, 상기 제한 부위 RA_0 부터 RB_m 는 SapI 또는 LguI 제한 엔도뉴클레아제에 의해 절단될 수 있는 것을 특징으로 하는 조성물.

청구항 9

제 1항에 있어서, 상기 2개 이상의 어닐링될 수 있는 링커 서열은 각각 적어도 60°C의 융점을 갖는 것을 특징으로 하는 조성물.

청구항 10

제 1항 또는 제 2항에 있어서, 상기 2개 이상의 어닐링될 수 있는 링커 서열은 각각, 서로 독립적으로, 적어도 70%의 G-C의 염기쌍의 함량과 적어도 70°C의 융점을 갖는 것을 특징으로 하는 조성물.

청구항 11

제 1항 또는 제 2항에 있어서, 상기 2개 이상의 어닐링될 수 있는 링커 서열은 각각, 서로 독립적으로, 적어도 30%의 A-T의 염기쌍의 함량과 적어도 65°C의 융점을 가지며, 서열 모티프 5'ANNNNNNNNNAANTANNTNANA-3'를 포함하며, 상기 A는 아데닌을 나타내며, N은 임의의 뉴클레오타이드를 나타내며, T는 티민을 나타내는 것을 특징으로 하는 조성물.

청구항 12

제 1항 또는 제 2항에 있어서, 상기 2개 이상의 어닐링될 수 있는 링커 서열은 서열번호 1 내지 8 및 이의 상보적 서열(complement)로 구성된 군으로부터 선택된 서열을 갖는 것을 특징으로 하는 조성물.

청구항 13

제 1항 또는 제 2항에 있어서, 상기 각각의 어닐링될 수 있는 링커 서열은 서열번호 1 내지 8 및 이의 상보적 서열(complement)로 구성된 군으로부터 선택된 서열을 갖는 것을 특징으로 하는 조성물.

청구항 14

제 2항에 있어서, 상기 각각의 프라이머 결합 절편은 서열번호 9 내지 10 및 이의 상보적 서열(complement)로 구성된 군으로부터 선택된 서열을 갖는 것을 특징으로 하는 조성물.

청구항 15

제 1항 또는 제 2항에 있어서, 상기 제한 부위 RB_0 부터 RB_m 까지 절단할 수 있는 하나 이상의 제한 엔도뉴클레아제를 더 포함하는 것을 특징으로 하는 조성물.

청구항 16

제 8항에 있어서, SapI 또는 LguI 제한 엔도뉴클레아제를 더 포함하는 것을 특징으로 하는 조성물.

청구항 17

제한 부위 RA_0 부터 RB_m 까지 절단할 수 있는 하나 이상의 제한 엔도뉴클레아제를 갖는 제 1항 또는 제 2항의 조성물을 분해함으로써 형성된 다수의 선형 핵산 분자를 포함하는 조성물.

청구항 18

제 17항에 있어서, 상기 각각의 선형 핵산 분자는 접착말단(sticky-end)을 포함하는 것을 특징으로 하는

조성물.

청구항 19

제 2항에 있어서, 프라이머 결합 절편 PA 또는 이의 상보적 서열(complement)에 상보적인 첫번째 프라이머, 및 프라이머 결합 절편 PB 또는 이의 상보적 서열(complement)에 상보적인 두번째 프라이머를 더 포함하는 것을 특징으로 하는 조성물.

청구항 20

제 1항 또는 제 2항에 있어서, DNA 폴리머라제를 더 포함하는 것을 특징으로 하는 조성물.

청구항 21

SapI 또는 LguI 제한 엔도뉴클레아제를 갖는 제8항의 조성물을 분해함으로써 형성된 다수의 선형 핵산 분자를 포함하는 조성물.

청구항 22

- (a) 5'에서 3'의 방향으로, 제한 부위 RA, DNA 절편 D, 어닐링될 수 있는 링커 서열 LB, 및 제한 부위 RB를 포함하는, 원형 폴리뉴클레오타이드로 구성된 벡터;
- (b) 5'에서 3'의 방향으로, 제한 부위 RA, 어닐링될 수 있는 링커 서열 LA, DNA 절편 D, 및 제한 부위 RB를 포함하는, 원형 폴리뉴클레오타이드로 구성된 벡터;
- (c) 5'에서 3'의 방향으로, 제한 부위 RA, 프라이머 결합 절편 PA, DNA 절편 D, 어닐링될 수 있는 링커 서열 LB, 및 제한 부위 RB를 포함하는, 원형 폴리뉴클레오타이드로 구성된 벡터;
- (d) 5'에서 3'의 방향으로, 제한 부위 RA, 어닐링될 수 있는 링커 서열 LA, DNA 절편 D, 어닐링될 수 있는 링커 서열 LB, 및 제한 부위 RB를 포함하는, 원형 폴리뉴클레오타이드로 구성된 벡터; 및
- (e) 5'에서 3'의 방향으로, 제한 부위 RA, 어닐링될 수 있는 링커 서열 LA, DNA 절편 D, 프라이머 결합 절편 PB, 및 제한 부위 RB를 포함하는, 원형 폴리뉴클레오타이드로 구성된 벡터;로부터 선택되며,

상기 각각의 어닐링될 수 있는 링커 서열은 적어도 24개 뉴클레오티드의 길이이며;

상기 각각의 제한 부위들 RA 및 RB는 IIS형 제한 엔도뉴클레아제에 의해 절단될 수 있는 것을 특징으로 하는 벡터.

청구항 23

- (a) 5'에서 3'의 방향으로, 제한 부위 RA, 제한 부위 RY, DNA 절편 D, 제한 부위 RZ, 어닐링될 수 있는 링커 서열 LB, 및 제한 부위 RB를 포함하는, 원형 폴리뉴클레오타이드로 구성된 벡터;
- (b) 5'에서 3'의 방향으로, 제한 부위 RA, 어닐링될 수 있는 링커 서열 LA, 제한 부위 RY, DNA 절편 D, 제한 부위 RZ, 및 제한 부위 RB를 포함하는, 원형 폴리뉴클레오타이드로 구성된 벡터;
- (c) 5'에서 3'의 방향으로, 제한 부위 RA, 프라이머 결합 절편 PA, 제한 부위 RY, DNA 절편 D, 제한 부위 RZ, 어닐링될 수 있는 링커 서열 LB, 및 제한 부위 RB를 포함하는, 원형 폴리뉴클레오타이드로 구성된 벡터;
- (d) 5'에서 3'의 방향으로, 제한 부위 RA, 어닐링될 수 있는 링커 서열 LA, 제한 부위 RY, DNA 절편 D, 제한 부위 RZ, 어닐링될 수 있는 링커 서열 LB, 및 제한 부위 RB를 포함하는, 원형 폴리뉴클레오타이드로 구성된 벡터; 및
- (e) 5'에서 3'의 방향으로, 제한 부위 RA, 어닐링될 수 있는 링커 서열 LA, 제한 부위 RY, DNA 절편 D, 제한 부위 RZ, 프라이머 결합 절편 PB, 및 제한 부위 RB를 포함하는, 원형 폴리뉴클레오타이드로 구성된 벡터;로부터 선택되며,

상기 각각의 어닐링될 수 있는 링커 서열은 적어도 24개 뉴클레오티드의 길이이며;

상기 각각의 제한 부위들 RA 및 RB는 IIS형 제한 엔도뉴클레아제에 의해 절단될 수 있는 것을 특징으로 하는 벡터.

청구항 24

- (a) 제 23항의 하나 이상의 벡터;
- (b) 제한 부위들 RA 및 RB를 절단할 수 있는 하나 이상의 IIS형 제한 엔도뉴클레아제; 및
- (c) 제한 부위들 RY 및 RZ를 절단할 수 있는 하나 이상의 제한 엔도뉴클레아제;를 포함하는 키트.

청구항 25

- (a) 5'에서 3'의 방향으로, 제한 부위 RA, DNA 절편 D, 어닐링될 수 있는 링커 서열 LB, 및 제한 부위 RB를 포함하는, 원형 폴리뉴클레오타이드로 구성된 벡터;
- (b) 5'에서 3'의 방향으로, 제한 부위 RA, 어닐링될 수 있는 링커 서열 LA, DNA 절편 D, 어닐링될 수 있는 링커 서열 LB, 및 제한 부위 RB를 포함하는, 원형 폴리뉴클레오타이드로 구성된 벡터;
- (c) 5'에서 3'의 방향으로, 제한 부위 RA, 어닐링될 수 있는 링커 서열 LA, DNA 절편 D, 및 제한 부위 RB를 포함하는, 원형 폴리뉴클레오타이드로 구성된 벡터; 중 적어도 하나를 포함하며,

상기 각각의 어닐링될 수 있는 링커 서열은 적어도 24개 뉴클레오타이드의 길이이며;

상기 각각의 제한 부위들 RA 및 RB는 IIS형 제한 엔도뉴클레아제에 의해 절단될 수 있는 것을 특징으로 하는 핵산 분자의 라이브러리.

청구항 26

- (a) 5'에서 3'의 방향으로, 제한 부위 RA, 프라이머 결합 절편 PA, DNA 절편 D, 어닐링될 수 있는 링커 서열 LB, 및 제한 부위 RB를 포함하는, 원형 폴리뉴클레오타이드로 구성된 벡터;
- (b) 5'에서 3'의 방향으로, 제한 부위 RA, 어닐링될 수 있는 링커 서열 LA, DNA 절편 D, 어닐링될 수 있는 링커 서열 LB, 및 제한 부위 RB를 포함하는, 원형 폴리뉴클레오타이드로 구성된 벡터;
- (c) 5'에서 3'의 방향으로, 제한 부위 RA, 어닐링될 수 있는 링커 서열 LA, DNA 절편 D, 프라이머 결합 절편 PB 및 제한 부위 RB를 포함하는, 원형 폴리뉴클레오타이드로 구성된 벡터; 중 적어도 하나를 포함하며,

상기 각각의 어닐링될 수 있는 링커 서열은 적어도 24개 뉴클레오타이드의 길이이며;

상기 각각의 제한 부위들 RA 및 RB는 IIS형 제한 엔도뉴클레아제에 의해 절단될 수 있는 것을 특징으로 하는 핵산 분자의 라이브러리.

청구항 27

- (a) 5'에서 3'의 방향으로, 첫번째 제한 부위 RA_0 , 그룹 D_0 로부터 선택된 임의의 DNA 절편, 어닐링될 수 있는 링커 서열 LB_0 및 두번째 제한 부위 RB_0 를 포함하며 원형인 첫번째 핵산 분자;
- (b) 5'에서 3'의 방향으로, 첫번째 제한 부위 RA_n , 첫번째 어닐링될 수 있는 링커 서열 LA_n , 그룹 D_n 으로부터 선택된 임의의 DNA 절편, 두번째 어닐링될 수 있는 링커 서열 LB_n 및 두번째 제한 부위 RB_n 을 포함하며 원형인 중간 핵산 분자(상기 n은 1 내지 중간 핵산 분자의 개수까지의 정수를 나타냄); 및
- (c) 5'에서 3'의 방향으로, 첫번째 제한 부위 RA_m , 어닐링될 수 있는 링커 서열 LA_m , 그룹 D_m 으로부터 선택된 임의의 DNA 절편, 및 두번째 제한 부위 RB_m 를 포함하며 원형인 마지막 핵산 분자(상기 m은 중간 핵산 분자의 개수보다 큰 정수를 나타냄); 중 적어도 하나를 포함하며,

상기 각각의 어닐링될 수 있는 링커 서열은 적어도 24개 뉴클레오타이드의 길이이며;

상기 각각의 제한 부위 RA_0 부터 RB_m 까지는 IIS형 제한 엔도뉴클레아제에 의해 절단될 수 있으며,

여기에서, 제한 부위 RA_0 부터 RB_m 까지의 절단 및 절단된(excised) 선형 핵산 분자의 변성에 있어서, 각각의 어닐링될 수 있는 링커 서열 $LB_{(p-1)}$ 는 어닐링될 수 있는 링커 서열 LA_p 의 상보적 서열(complement)에 하이브리드화할 수 있으며 상기 절단된 선형 핵산 분자에 대해 상보적인 폴리뉴클레오타이드의 합성을 위한 개시 지점으로 기능

할 수 있으며, 상기 n 은 1부터 $(m-1)$ 까지 변하는 정수이며, 상기 p 는 1 내지 m 의 정수를 나타내며, 및 상기 각각의 그룹 $D_0, \dots, D_n, \dots, D_m$ 은 서로 독립적으로, 하나 이상의 DNA 절편(segment)으로 구성된 것을 특징으로 하는 핵산 분자의 라이브러리.

청구항 28

(a) (i), (ii) 및 (iii)의 핵산 분자로부터 절단된(excised) 폴리뉴클레오티드를 형성하기 위하여 하나 이상의 IIS형 제한 엔도뉴클레아제를 사용하여 조성물을 분해하는 단계;

상기 조성물은,

(i) 각각, 5'에서 3'의 방향으로, 첫번째 제한 부위 RA_0 , 그룹 PA로부터 선택된 임의의 프라이머 결합 절편, 그룹 D_0 으로부터 선택된 임의의 DNA 절편, 어닐링될 수 있는 링커 서열 LB_0 , 및 두번째 제한 부위 RB_0 를 포함하며 원형인, 하나 이상의 첫번째 핵산 분자;

(ii) 각각, 5'에서 3'의 방향으로, 첫번째 제한 부위 RA_n , 첫번째 어닐링될 수 있는 링커 서열 LA_n , 그룹 D_n 으로부터 선택된 임의의 DNA 절편, 두번째 어닐링될 수 있는 링커 서열 LB_n , 및 두번째 제한 부위 RB_n 을 포함하며 원형인, 하나 이상의 중간 핵산 분자(상기 n 은 1 내지 중간 핵산 분자의 개수까지의 정수를 나타냄); 및

(iii) 각각, 5'에서 3'의 방향으로, 첫번째 제한 부위 RA_m , 어닐링될 수 있는 링커 서열 LA_m , 그룹 D_m 으로부터 선택된 임의의 DNA 절편, 그룹 PB로부터 선택된 임의의 프라이머 결합 절편, 및 두번째 제한 부위 RB_m 을 포함하며 원형인, 하나 이상의 마지막 핵산 분자(상기 m 은 중간 핵산 분자의 개수보다 큰 정수를 나타냄);를 포함하며, 여기에서, 제한 부위 RA_0 부터 RB_m 까지의 절단 및 절단된(excised) 선형 핵산 분자의 변성에 있어서, 각각의 어닐링될 수 있는 링커 서열 $LB_{(p-1)}$ 는 어닐링될 수 있는 링커 서열 LA_p 의 상보적 서열(complement)에 하이브리드화 할 수 있으며 상기 절단된 선형 핵산 분자에 대한 상보적인 폴리뉴클레오티드의 합성을 위한 개시 지점으로 기능할 수 있으며, 상기 n 은 1부터 $(m-1)$ 까지 변하는 정수이며, 상기 p 는 1 내지 m 의 정수를 나타내며, 및 상기 각각의 그룹 $D_0, \dots, D_n, \dots, D_m$ 은 하나 이상의 DNA 절편(segment)으로 구성되며; 및

(b) 상기 조성물을 DNA 폴리머라제, 데옥시리보뉴클레오사이드 트리포스페이트 및 하나 이상의 첫번째 프라이머 및 하나 이상의 두번째 프라이머와 접촉시키는 단계;

상기 각각의 첫번째 프라이머는 그룹 PA로부터 선택된 상기 프라이머 결합 절편 중 하나에 하이브리드 될 수 있으며, 상기 각각의 두번째 프라이머는 그룹 PB로부터 선택된 상기 프라이머 결합 절편 중 하나에 하이브리드 될 수 있으며; 및 상기 성분 조성물을 폴리머라제 사슬 반응을 겪게 하는 단계;를 포함하며,

여기에서, 5'에서 3'의 방향으로, 각각의 그룹 $D_0, \dots, D_n, \dots, D_m$ 으로부터 선택된 하나의 DNA 절편을 포함하는 폴리뉴클레오티드가 상기 어닐링될 수 있는 링커 서열에 의해 접합되며; 상기 각각의 어닐링될 수 있는 링커 서열은 적어도 24개 뉴클레오티드의 길이인 것을 특징으로 하는

상기 (i), (ii) 및 (iii)의 핵산 분자로부터 절단된(excised) 폴리뉴클레오티드의 다수로부터 어닐링될 수 있는 링커 서열에 의해 접합된 폴리뉴클레오티드를 형성하는 방법.

청구항 29

(a) 제 28항에 따라 어닐링될 수 있는 링커에 의해 접합된 하나 이상의 폴리뉴클레오티드로 숙주 세포를 형질변환하는 단계; 및

(b) 어닐링될 수 있는 링커에 의해 접합된 하나 이상의 폴리뉴클레오티드를 포함하는 숙주 세포를 선택하는 단계;를 포함하는 것을 특징으로 하는, 폴리뉴클레오티드를 포함하는 숙주 세포의 형성 방법.

청구항 30

(a) (i), (ii), 및 (iii) 또는 (i) 및 (iii)을 포함하는 조성물을 사용하여 숙주 세포를 형질변환하는 단계;

(i) 각각, 5'에서 3'의 방향으로, 그룹 D_0 으로부터 선택된 임의의 DNA 절편 및 어닐링될 수 있는 링커

서열 LB₀를 포함하는, 하나 이상의 첫번째 선형 핵산 분자;

(ii) 각각, 5'에서 3'의 방향으로, 첫번째 어닐링될 수 있는 링커 서열 LA_n, 그룹 D_n으로부터 선택된 임의의 DNA 절편 및 두번째 어닐링될 수 있는 링커 서열 LB_n을 포함하는, 하나 이상의 중간 선형 핵산 분자(상기 n은 1 내지 중간 핵산 분자의 개수까지의 정수를 나타냄); 및

(iii) 각각, 5'에서 3'의 방향으로, 어닐링될 수 있는 링커 서열 LA_m 및 그룹 D_m으로부터 선택된 임의의 DNA 절편을 포함하는, 하나 이상의 마지막 선형 핵산 분자(상기 m은 중간 핵산 분자의 개수보다 큰 정수를 나타냄);를 포함하며,

여기에서, 상기 n은 1부터 (m-1)까지 변하는 정수이며,

상기 각각의 그룹 D₀, ..., D_n, ... 및 D_m은 하나 이상의 DNA 절편(segment)으로 구성되며,

상기 각각의 어닐링될 수 있는 링커 서열 LB_(p-1)은 LB_(p-1)과 LA_p 사이에서 숙주 세포 매개 상동 재조합(homologous recombination)을 개시하는데 충분한 길이의 어닐링될 수 있는 링커 서열 LA_p를 갖는 상동(homology) 영역을 포함하며, 상기 p는 1 내지 m의 정수를 나타내며, 상기 상동 재조합은 상기 어닐링될 수 있는 링커에 의해 폴리뉴클레오타이드의 집합체를 유발하며; 및

(b) 5'에서 3'의 방향으로, 각각의 그룹 D₀, ..., D_n, ... 및 D_m으로부터 선택된 하나의 DNA 절편을 포함하는 상기 어닐링될 수 있는 링커에 의해 집합된 폴리뉴클레오타이드를 포함하는 숙주 세포를 선택하는 단계;를 포함하며, 상기 각각의 어닐링될 수 있는 링커 서열은 적어도 24개 뉴클레오티드의 길이인 것을 특징으로 하는 폴리뉴클레오타이드를 포함하는 숙주 세포의 형성 방법.

청구항 31

제 30항의 방법에 의해 형성된 폴리뉴클레오타이드를 포함하는 숙주 세포.

청구항 32

(a) (a1) 하나 이상의 IIS형 제한 엔도뉴클레아제를 사용하여 (i), (ii), 및 (iii)을 포함하는 조성물 내 (i), (ii) 및 (iii)의 핵산 분자를 분해하거나, 또는 (a2) 하나 이상의 IIS형 제한 엔도뉴클레아제를 사용하여 (i) 및 (iii)을 포함하는 조성물 내 (i) 및 (iii)의 핵산 분자를 분해하는 단계:

(i) 각각, 5'에서 3'의 방향으로, 첫번째 제한 부위 RA₀, 프라이머 결합 절편 PA, 그룹 D₀로부터 선택된 임의의 DNA 절편, 어닐링될 수 있는 링커 서열 LB₀, 및 두번째 제한 부위 RB₀을 포함하며 원형인, 하나 이상의 첫번째 핵산 분자;

(ii) 각각, 5'에서 3'의 방향으로, 첫번째 제한 부위 RA_n, 첫번째 어닐링될 수 있는 링커 서열 LA_n, 그룹 D_n으로부터 선택된 임의의 DNA 절편, 두번째 어닐링될 수 있는 링커 서열 LB_n, 및 두번째 제한 부위 RB_n을 포함하며 원형인, 하나 이상의 중간 핵산 분자(상기 n은 1부터 중간 핵산 분자의 개수까지의 정수를 나타냄); 및

(iii) 각각, 5'에서 3'의 방향으로, 첫번째 제한 부위 RA_m, 어닐링될 수 있는 링커 서열 LA_m, 그룹 D_m으로부터 선택된 임의의 DNA 절편, 프라이머 결합 절편 PB, 및 두번째 제한 부위 RB_m을 포함하며 원형인, 하나 이상의 마지막 핵산 분자(상기 m은 중간 핵산 분자의 개수를 초과하는 정수임);를 포함하며, 여기에서, 제한 부위 RA₀부터 RB_m까지의 절단 및 절단된(excised) 선형 핵산 분자의 변성에 있어서, 각각의 어닐링될 수 있는 링커 서열 LB_(p-1)는 어닐링될 수 있는 링커 서열 LA_p의 상보적 서열(complement)에 하이브리드화할 수 있으며, 상기 p는 1 내지 m의 정수를 나타내며, 상기 n은 1부터 (m-1)까지 변하는 정수이며, 및 상기 각각의 그룹 D₀, ..., D_n, ... 및 D_m은 하나 이상의 DNA 절편(segment)으로 구성되며;

상기 하나 이상의 IIS형 제한 엔도뉴클레아제는 제한 부위 RA₀부터 RB_m까지 절단할 수 있으며;

상기 각각의 어닐링될 수 있는 링커 서열은 적어도 24개 뉴클레오티드의 길이이며; 및

(b) 상기 (a) 단계로부터 얻은 분해된 조성물을 사용하여 숙주 세포를 형질변환하는 단계; 상기 각각의 어닐링 될 수 있는 링커 서열 LB_(p-1)은 LB_(p-1)과 LA_p 사이에 숙주 세포 매개 상동 재조합(homologous recombination)을 개시하는데 충분한 길이의 어닐링될 수 있는 링커 서열 LA_p를 갖는 상동(homology) 영역을 포함하며, 상기 상동 재조합은 상기 어닐링될 수 있는 링커에 의해 폴리뉴클레오타이드의 집합체를 유발하며, 상기 p는 1 내지 m의 정수를 나타내며; 및

(c) 5'에서 3'의 방향으로, 각각의 그룹 D₀, ..., D_n, ..., D_m으로부터 선택된 하나의 DNA 절편을 포함하는, 상기 어닐링될 수 있는 링커에 의해 집합된 폴리뉴클레오타이드를 포함하는 숙주 세포를 선택하는 단계;를 포함하는, 폴리뉴클레오타이드를 포함하는 숙주 세포를 형성하는 방법.

청구항 33

제 32항의 방법에 의해 형성된 폴리뉴클레오타이드를 포함하는 숙주 세포.

청구항 34

삭제

청구항 35

삭제

청구항 36

(a) 하기의 벡터에서 선택된 벡터를, 제한 부위들 RY 및 RZ을 절단할 수 있는 하나 이상의 제한 엔도뉴클레아제를 사용하여 분해하는 단계:

(i) 5'에서 3'의 방향으로, 제한 부위 RA, 제한 부위 RY, 제한 부위 RZ, 어닐링될 수 있는 링커 서열 LB 및 제한 부위 RB를 포함하는, 원형의 폴리뉴클레오타이드로 구성된 벡터;

(ii) 5'에서 3'의 방향으로, 제한 부위 RA, 어닐링될 수 있는 링커 서열 LA, 제한 부위 RY, 제한 부위 RZ, 및 제한 부위 RB를 포함하는, 원형의 폴리뉴클레오타이드로 구성된 벡터;

(iii) 5'에서 3'의 방향으로, 제한 부위 RA, 프라이머 결합 절편 PA, 제한 부위 RY, 제한 부위 RZ, 어닐링될 수 있는 링커 서열 LB, 및 제한 부위 RB를 포함하는, 원형의 폴리뉴클레오타이드로 구성된 벡터;

(iv) 5'에서 3'의 방향으로, 제한 부위 RA, 어닐링될 수 있는 링커 서열 LA, 제한 부위 RY, 제한 부위 RZ, 어닐링될 수 있는 링커 서열 LB 및 제한 부위 RB를 포함하는, 원형의 폴리뉴클레오타이드로 구성된 벡터; 및

(v) 5'에서 3'의 방향으로, 제한 부위 RA, 어닐링될 수 있는 링커 서열 LA, 제한 부위 RY, 제한 부위 RZ, 프라이머 결합 절편 PB 및 제한 부위 RB를 포함하는, 원형의 폴리뉴클레오타이드로 구성된 벡터;

상기 분해하는 단계는 선형의 벡터를 형성하며;

상기 각각의 어닐링될 수 있는 링커 서열은 적어도 24개 뉴클레오타이드의 길이이며; 및

(b) 연결효소(ligase)의 존재하에서 선형의 벡터를 선형의 DNA 절편 D와 접촉시키는 단계를 포함하며, 상기 접촉시키는 단계는 DNA 절편 D를 포함하는 원형의 벡터를 형성하며, 상기 제한부위들 RA 및 RB는 IIS형 제한 엔도뉴클레아제에 의해 절단될 수 있는 것을 특징으로 하는 벡터를 제조하는 방법.

청구항 37

(a) 5'에서 3'의 방향으로, 제한 부위 RA, 제한 부위 RY, 제한 부위 RZ, 및 제한 부위 RB를 포함하는, 원형의 폴리뉴클레오타이드로 구성된 벡터를, 제한 부위들 RY 및 RZ를 절단할 수 있는 하나 이상의 제한 엔도뉴클레아제를 사용하여 분해하는 단계;

상기 분해하는 단계는 선형 벡터를 형성하며; 및

(b) 연결효소(ligase)의 존재 하에서, 선형 벡터를 하기의 것들에서 선택된 선형 폴리뉴클레오타이드와 접촉시

키는 단계:

(i) 5'에서 3'의 방향으로, DNA 절편 D, 및 어닐링될 수 있는 링커 서열 LB를 포함하는 선형 폴리뉴클레오타이드;

(ii) 5'에서 3'의 방향으로, 어닐링될 수 있는 링커 서열 LA, 및 DNA 절편을 포함하는 선형 폴리뉴클레오타이드;

(iii) 5'에서 3'의 방향으로, 프라이머 결합 절편 PA, DNA 절편 D, 및 어닐링될 수 있는 링커 서열 LB를 포함하는 선형 폴리뉴클레오타이드;

(iv) 5'에서 3'의 방향으로, 어닐링될 수 있는 링커 서열 LA, DNA 절편 D, 및 어닐링될 수 있는 링커 서열 LB를 포함하는 선형 폴리뉴클레오타이드; 및

(v) 5'에서 3'의 방향으로, 어닐링될 수 있는 링커(annealable linker) LA, DNA 절편 D, 및 프라이머 결합 절편 PB를 포함하는 선형 폴리뉴클레오타이드;

상기 접촉시키는 단계는 DNA 절편 D를 포함하는 원형의 벡터를 형성하며, 상기 각각의 제한 부위 RA 및 RB는 IIS형 제한 엔도뉴클레아제에 의해 절단될 수 있으며, 상기 각각의 어닐링될 수 있는 링커 서열은 적어도 24개 뉴클레오타이드의 길이인 것을 특징으로 하는 벡터를 제조하는 방법.

청구항 38

삭제

청구항 39

삭제

청구항 40

삭제

청구항 41

삭제

청구항 42

삭제

청구항 43

삭제

청구항 44

삭제

청구항 45

삭제

청구항 46

삭제

청구항 47

삭제

청구항 48

삭제

청구항 49

삭제

청구항 50

삭제

청구항 51

삭제

청구항 52

삭제

청구항 53

삭제

청구항 54

삭제

청구항 55

삭제

청구항 56

삭제

청구항 57

삭제

청구항 58

삭제

청구항 59

삭제

청구항 60

삭제

청구항 61

삭제

청구항 62

삭제

청구항 63

삭제

청구항 64

삭제

청구항 65

삭제

청구항 66

삭제

청구항 67

삭제

청구항 68

삭제

청구항 69

삭제

청구항 70

삭제

청구항 71

삭제

청구항 72

삭제

청구항 73

삭제

청구항 74

삭제

청구항 75

삭제

청구항 76

삭제

청구항 77

삭제

청구항 78

삭제

청구항 79

삭제

청구항 80

삭제

청구항 81

삭제

청구항 82

삭제

청구항 83

삭제

청구항 84

삭제

청구항 85

삭제

청구항 86

삭제

청구항 87

삭제

청구항 88

삭제

청구항 89

삭제

청구항 90

삭제

청구항 91

삭제

청구항 92

삭제

청구항 93

삭제

청구항 94

삭제

청구항 95

삭제

청구항 96

삭제

청구항 97

삭제

청구항 98

삭제

청구항 99

삭제

청구항 100

삭제

청구항 101

삭제

청구항 102

삭제

청구항 103

삭제

청구항 104

삭제

청구항 105

삭제

청구항 106

삭제

청구항 107

삭제

청구항 108

삭제

청구항 109

삭제

청구항 110

삭제

발명의 설명

기술 분야

[0001] 본 발명은 일반적으로 DNA 재조합 기술 분야에 관한 것이며, 더욱 구체적으로, 다수의 DNA 절편(segment)을 집합된(assembled) 폴리뉴클레오타이드들에 삽입한 정렬된 집합체에 대한 개선된 방법에 관한 것이다.

[0002] 본 출원은 전체 내용이 본원에 인용되어 있는, 2008년 11월 19일에 출원된, 미국 가출원 제 61/116,109호, 2009년 3월 23일에 출원된 미국 가출원 제 61/162,230호의 우선권의 이익을 주장하고 있다.

배경 기술

[0003] 폴리뉴클레오타이드의 재조합은 업계에 알려진 수많은 방법을 이용하여 실행될 수 있다. 핵산을 재조합하는 종래의 기술은 새로운 핵산 분자를 만들기 위하여 제한효소와 연결효소(ligating enzyme)를 사용해 왔다. 클로닝 벡터 및 발현 벡터와 같은 재조합 분자는 숙주 세포의 게놈으로 관심있는 핵산 서열을 통합하거나, 및/또는 관심 있는 하나 이상의 유전자의 발현을 유도하기 위하여 사용될 수 있다. 세포, 예를 들어, 효모 세포 내의 관심 있는 유전자의 발현을 유도하기 위한 벡터의 사용은, 상기 벡터가 관심 있는 유전자의 복제 및 발현을 가능하게 하는 필수적 유전적 성분을 포함할 것을 요구한다. 이러한 성분들은, 예를 들어, 관심 있는 유전자 또는 유전자들, 프로모터 서열, 종결자(terminator) 서열, 선별표지(selectable marker), 통합 부위(integration loci), 기타 등을 포함할 수 있다.

[0004] 종래의 제한효소 및 연결효소에 기반한 방법을 사용하는 단일 벡터로 상기 성분들을 접합시키는 것은 시간을 낭비하고 힘이 들 수 있다. 각각의 서브-클로닝 단계, 예를 들어, 존재하는 폴리뉴클레오타이드로 새로운 핵산 절편의 도입은, 추가적인 절편을 도입하기 전에 결과물 클론이 선별되고 특징지어져야 함을 요구할 수 있다. 평활 말단(blunt end) 연결에 의해 생성된 클론은, 절편이 적절한 방향으로 도입되었다는 확인을 요구한다. 한편, 접착말단(sticky-end) 연결은, 수용체 절편 상의 접착말단(sticky end)을 형성하기 위하여 사용된 제한 부위가 또한 도너(donor) 절편에 존재해야 하며, 도너(donor) 절편 내 관심 있는 서열을 단절시키는 부위에 존재해서는 안 된다는 것을 요구한다. 따라서, 실행 가능한 제한 부위의 선택은 연결될 부분의 조성에 전적으로 의존하므로 각각의 경우에 있어서 조심스럽게 고려되어야 한다. 또한, 이러한 방법은 원하는 유전자 결과물의 구조 및 기능을 방해할 수 있는 결과물 클론에, 관련없는 핵산 서열을 종종 도입한다. 더욱이, 제한효소에 기반한 클로닝 방법의 효율의 제한은 단일한 반응에서 함께 연결될 수 있는 수많은 핵산 분자 상에서의 고유한 제한이다.

[0005] 중합효소 연쇄 반응(PCR)은 게놈 DNA, cDNA 및 mRNA을 포함하는, 특정 폴리뉴클레오타이드 서열이 생체 밖에서 증폭되는 강력한 기법이다. PCR은 전형적으로 2개의 가닥 상에서 상보적인 프라이머 신장 생성물의 형성을 허용하는 조건 하에서 2개의 올리고뉴클레오타이드 프라이머를 갖는 타겟 핵산의 분리된 상보적인 가닥들을 접촉시키는 것을 포함한다. 이러한 가닥들은 원하는 핵산 서열의 복제의 합성을 위한 주형으로 작용한다. 자동화 시스템(automated system)에서 분리 과정과 합성 과정을 반복함으로써, 타겟 서열의 기하급수적 복제를 이룰 수 있다.

[0006] PCR의 하나의 방법으로서, "겹침 신장에 의한 스플라이싱(splicing by overlap extension : SOE)" (예를 들어, 미국 특허등록 제 5,023,171호를 참조)로 불리는 방법은, 제한효소 또는 연결효소(ligase)를 사용하지 않고 정확한 접합부에서 DNA 분자의 접합체를 촉진한다. 재조합될 절편 성분은 다른 것에 대해 상보적인 말단을 갖는 앰플리콘을 생산하는, 특이하게 고안된 프라이머를 사용하는 별개의 중합효소 연쇄 반응에서 형성된다. 이러한 앰플리콘의 혼합 및 변성에 있어서, 3' 말단에서 상보적인 서열을 갖는 가닥들이 겹쳐서 서로에 대해 프라이머로서 작용한다. DNA 폴리미라제에 의한 이러한 겹침의 신장(extension)은, 원래의 서열들이 서로 "스플라이싱된(spliced)" 핵산 분자를 생산한다. PCR의 차후의 단계는 결과물인 스플라이싱 된 폴리뉴클레오타이드를 증폭한다.

[0007] 수많은 핵산 절편들을 결합시키는 종래의 연결 효소에 기반한 방법보다 더욱 효율적인, SOE는, 프라이머 서열을 최적화하는 시간과 원하는 생성물을 생산하기 위한 증폭 조건을 요구한다. 서로 스플라이싱 되어야 하는 절편들 사이의 각각의 접합부는 개별적으로 고려되어야 하며, 한 쌍의 프라이머들은 양립될 수 있는 말단들을 형성하도록 각각의 절편에 대하여 고안되어야 한다. PCR 프라이머의 고안을 위한 종래의 고려 사항, 예를 들어, 응점, G-C 함량, 헤어핀(hairpin) 및 다이머 형성의 회피, 잘못된 프라이밍 부위에 대한 엄격함(stringency)은, SOE 반응의 증가에서 스플라이싱 될 수많은 절편으로서 더욱 조심스럽게 고려되어야 한다.

발명의 내용

해결하려는 과제

[0008] 따라서, DNA 재조합 기술의 진보에도 불구하고, 폴리뉴클레오타이드의 빠르고 정렬된 접합체를 제공하는 개선된 방법에 대한 필요성이 존재한다. 특히, 프라이머 호적화 단계에 대한 필요성 없이, 중간체 생성물의 최소한의 조작과 특성화를 갖는 수많은 폴리뉴클레오타이드의 접합체를 촉진할 수 있는 방법에 대한 필요성이 존재한다.

이러한 필요성들은 본 발명의 조성물 및 이에 대한 방법에 의해 충족될 수 있다.

과제의 해결 수단

[0009] 본 발명의 조성물 및 이에 대한 방법은 집합된(assembled) 폴리뉴클레오타이드들에 삽입된 폴리뉴클레오타이드 성분들의 빠르고 정렬된 집합체 또는 "스티칭(stitching)"을 허용한다. 몇몇 실시예에서, 본 발명의 방법은 원형의 핵산 집합 벡터를 사용한다. 몇몇 실시예에서, 집합 벡터는 폴리뉴클레오타이드 성분을 포함하며, 상기 폴리뉴클레오타이드 성분은 (i) 3' 말단의 어닐링될 수 있는 링커(annealable linker); (ii) 5' 말단의 프라이머 결합 절편과 3' 말단의 어닐링될 수 있는 링커(annealable linker); (iii) 3' 말단 및 5' 말단의 어닐링될 수 있는 링커(annealable linker); (iv) 5' 말단의 어닐링될 수 있는 링커(annealable linker) 및 3' 말단의 프라이머 결합 절편; 또는 (v) 5' 말단의 어닐링될 수 있는 링커(annealable linker);의 측면에 위치한 DNA 절편을 포함한다.

[0010] 몇몇 실시예에서, 수많은 폴리뉴클레오타이드 성분들은 단일 반응 베셀 내 수많은 집합 벡터들을 제공함으로써 서로 스티칭될 수 있다. 몇몇 실시예에서, 폴리뉴클레오타이드 성분들은 반응 베셀 내 집합 벡터로부터 잘라낼 수 있다. 몇몇 실시예에서, 그 후, 폴리뉴클레오타이드 성분은 변성될 수 있고, 어닐링될 수 있는 링커 서열은 인접한 폴리뉴클레오타이드 성분 상의 상보적인 가닥들에 어닐링될 수 있으며, 폴리뉴클레오타이드 성분은 겹침 신장에 의한 스플라이싱(SOE) 이후에 PCR을 함으로써 집합된 폴리뉴클레오타이드 내로 함께 스티칭될 수 있다. 다른 실시예에서, 집합 벡터들로부터 잘라진 폴리뉴클레오타이드 성분들은 폴리뉴클레오타이드 성분들로 형질 변환된 숙주 세포 내 상동 재조합(homologous recombination)에 의해 생체 내 집합된 폴리뉴클레오타이드로 집합될 수 있다. 집합된 폴리뉴클레오타이드들은 숙주 세포 매개 상동 재조합(homologous recombination)에 의해 생체 내에서 더 결합될 수 있다.

[0011] 폴리뉴클레오타이드 집합체의 효율성은 집합 벡터 내에 사용된 어닐링될 수 있는 링커 서열의 표준 세트의 제공에 의해 증진될 수 있으며, 예를 들어, 본원에 제시된 상기 서열로서 서열번호 1 내지 23을 들 수 있다. 어닐링될 수 있는 링커 서열들은 집합 반응(assembly reaction)에서 인접한 폴리뉴클레오타이드 성분들 간에 서열 겹침을 제공한다. 이상적으로, 어닐링될 수 있는 링커 서열들은 RNA 수준 및 DNA 수준에서 감지할 수 있을 정도의 2차 구조가 부족하며, 원하지 않는 방식으로 서로 교차 반응하지 않으며, 상대적으로 높은 융점(Tm)을 갖는다. 따라서, 많은 폴리뉴클레오타이드 성분들은 각각의 폴리뉴클레오타이드 성분에 대한 특이 프라이머의 고안에 대한 필요성 없이 서로 스티칭할 수 있으며, 이를 통해 시간과 노력을 절감할 수 있다. 본 발명의 조성물 및 이에 대한 방법은, 합성 유전자, 구성, 클로닝 벡터, 발현 벡터, 염색체, 게놈, 웹타이드 라이브러리, 기타 등등을 포함하는, 다양한 타입의 폴리뉴클레오타이드들을 결합하는데 사용될 수 있다.

[0012] 일 측면에서, 본 발명은 벡터, 예를 들어, 수많은 폴리뉴클레오타이드 성분들로부터 집합된 하나 이상의 폴리뉴클레오타이드들의 집합체에 사용될 수 있는, 집합 벡터를 제공한다.

[0013] 몇몇 실시예에서, 집합 벡터는, 5'에서 3'의 방향으로, 제한 부위 RA, 어닐링될 수 있는 링커 서열 LA, DNA 절편 D, 어닐링될 수 있는 링커 서열 LB 및 제한 부위 RB (예를 들어, 5'-RA-LA-D-LB-RB-3')를 포함하는 원형 폴리뉴클레오타이드이다. 몇몇 실시예에서, 집합 벡터는, 5'에서 3'의 방향으로, 제한 부위 RA, DNA 절편 D, 어닐링될 수 있는 링커 서열 LB 및 제한 부위 RB (예를 들어, 5'-RA-D-LB-RB-3')를 포함하는 원형 폴리뉴클레오타이드이다. 몇몇 실시예에서, 집합 벡터는, 5'에서 3'의 방향으로, 제한 부위 RA, 어닐링될 수 있는 링커 서열 LA, DNA 절편 D 및 제한 부위 RB (예를 들어, 5'-RA-LA-D-RB-3')를 포함하는 원형 폴리뉴클레오타이드이다. 몇몇 실시예에서, 집합 벡터는, 5'에서 3'의 방향으로, 제한 부위 RA, 프라이머 결합 절편 PA, DNA 절편 D, 어닐링될 수 있는 링커 서열 LB 및 제한 부위 RB (예를 들어, 5'-RA-PA-D-LB-RB-3')를 포함하는 원형 폴리뉴클레오타이드이다. 몇몇 실시예에서, 집합 벡터는, 5'에서 3'의 방향으로, 제한 부위 RA, 어닐링될 수 있는 링커 서열 LA, DNA 절편 D, 프라이머 결합 절편 PB 및 제한 부위 RB (예를 들어, 5'- RA-LA-D-PB-RB-3')를 포함하는 원형 폴리뉴클레오타이드이다. 몇몇 실시예에서, 집합 벡터는, 5'에서 3'의 방향으로, 제한 부위 RA, 어닐링될 수 있는 링커 서열 LA, DNA 절편 D, 어닐링될 수 있는 링커 서열 LB 및 제한 부위 RB (예를 들어, 5'-RA-LA-D-LB-RB-3')를 포함하는 원형 폴리뉴클레오타이드이다. 예시적인 집합 벡터들은 도 1b 및 도 2에서 제시되었다.

[0014] 몇몇 실시예에서, 프라이머 결합 절편 (예를 들어, PA 또는 PB)은 집합된 폴리뉴클레오타이드를 제조하는데 사용된 어닐링될 수 있는 링커 서열들 중 어느 것과도 상보적이지 않은 뉴클레오타이드 서열일 수 있다. 몇몇 실시예에서, 프라이머 결합 절편은 제한 엔도뉴클레아제 인식 부위 및/또는 절단 부위를 포함한다. 몇몇 실시예에서, 프라이머 결합 절편은, 특정한 집합 반응(assembly reaction)에 사용되지 않는, 이용가능한 링커 서열들 (예를 들어, 서열번호 1 내지 23 중 하나) 중 어느 하나의 핵산 서열, 또는 이의 상보적 서열(complement)을 포

함한다. 몇몇 실시예에서, 프라이머 결합 절편 PA의 핵산 서열은 서열번호 24, 25 및 이의 상보적 서열(complement)로 구성된 군으로부터 선택된다. 몇몇 실시예에서, 프라이머 결합 절편 PB의 핵산 서열은 서열번호 24, 25 및 이의 상보적 서열(complement)로 구성된 군으로부터 선택된다. 바람직한 실시예에서, 프라이머 결합 절편 PA 및 프라이머 결합 절편 PB는 서열에서 동일하지 않다.

[0015] 몇몇 실시예에서, 2개 이상의 어닐링될 수 있는 링커 서열들은 적어도 24개의 뉴클레오타이드 길이이며 적어도 60°C의 T_m을 갖는다.

[0016] 몇몇 실시예에서, 2개 이상의 어닐링될 수 있는 링커 서열들은 적어도 70%의 G-C 함량 및 적어도 70°C의 T_m을 가지며, 인지가능한 2차 DNA 구조를 형성하지 않는다. 몇몇 실시예에서, 어닐링될 수 있는 링커 서열 LA의 핵산 서열은 서열번호 1 내지 8 및 이의 상보적 서열(complement)로 구성된 군으로부터 선택된다. 몇몇 실시예에서, 어닐링될 수 있는 링커 서열 LB의 핵산 서열은 서열번호 1 내지 8 및 이의 상보적 서열(complement)로 구성된 군으로부터 선택된다. 몇몇 실시예에서, 어닐링될 수 있는 링커 서열 LA 및 어닐링될 수 있는 링커 서열 LB의 핵산 서열은 서열번호 1 내지 8 및 이의 상보적 서열(complement)로 구성된 군으로부터 선택된다.

[0017] 몇몇 실시예에서, 2개 이상의 어닐링될 수 있는 링커 서열들은 적어도 30%의 A-T 함량 및 적어도 65°C의 T_m을 가지며, 인지가능한 2차 DNA 또는 RNA 구조를 형성하지 않는다. 몇몇 실시예에서, 2개 이상의 어닐링될 수 있는 링커 서열들은 낮은 G-C 함량 및 적어도 65°C의 T_m을 가지며, 서열 모티프 5'-ANNNNNNNNANNNAANTANNTTANA-3'를 포함하며, 상기 A는 아데닌을 나타내며, N은 임의의 뉴클레오타이드를 나타내며, T는 티민을 나타낸다. 몇몇 실시예에서, 어닐링될 수 있는 링커 서열 LA의 핵산 서열은 서열번호 9 내지 23 및 이의 상보적 서열(complement)로 구성된 군으로부터 선택된다. 몇몇 실시예에서, 어닐링될 수 있는 링커 서열 LB의 핵산 서열은 서열번호 9 내지 23 및 이의 상보적 서열(complement)로 구성된 군으로부터 선택된다. 몇몇 실시예에서, 어닐링될 수 있는 링커 서열 LA 및 어닐링될 수 있는 링커 서열 LB의 핵산 서열은 서열번호 9 내지 23 및 이의 상보적 서열(complement)로 구성된 군으로부터 선택된다.

[0018] 수많은 폴리뉴클레오타이드 성분들의 정렬된 집합체는 집합 벡터 내에 DNA 절편을 측면에 배치한 어닐링될 수 있는 링커 서열들의 선택에 의해 조절될 수 있다. 따라서, 몇몇 실시예에서, 폴리뉴클레오타이드 성분들이 정렬된 방식으로 집합될 수 있는지 확인하기 위하여, 특정한 집합 벡터 내의 어닐링될 수 있는 링커 서열/어닐링될 수 있는 링커 서열 쌍의 서열은 상보적이지 않다. 유사하게, 몇몇 실시예에서, 특정한 집합 벡터 내의 프라이머 결합 절편/어닐링될 수 있는 링커 서열 쌍의 서열들은 상보적이지 않다.

[0019] 특정 실시예에서, 집합 벡터로부터 폴리뉴클레오타이드 성분이 잘려지는 것을 촉진시킬 수 있도록, 제한 부위 RA 및 RB는 동일한 제한 엔도뉴클레아제에 의해 절단될 수 있다. 몇몇 실시예에서, 제한 부위 RA 또는 RB는 5' 또는 3' 오버hang(overhang)을 남기는 제한 엔도뉴클레아제에 의해 절단될 수 있다. 다른 실시예에서, 제한 부위 RA 또는 RB는 평활 말단(blunt end)을 남기는 제한 엔도뉴클레아제에 의해 절단될 수 있다. 몇몇 실시예에서, 제한 부위 RA 및 RB는 동일한 제한 엔도뉴클레아제에 의해 절단될 수 있다. 또 다른 실시예에서, 제한 부위 RA 및 RB는 IIS형 제한 엔도뉴클레아제에 의해 절단될 수 있다. 몇몇 실시예에서, 제한 부위 RA 및 RB는 동일한 IIS형 제한 엔도뉴클레아제에 의해 절단될 수 있다. 특정 실시예에서, 제한 부위 RA 및 RB는 SapI 또는 LguI 제한 엔도뉴클레아제에 의해 절단되 수 있다.

[0020] 다른 측면에서, 본 발명은 DNA 절편을 포함하는 집합 벡터의 제조에 유용한 엔트리 벡터(entry vector)를 제공한다.

[0021] 몇몇 실시예에서, 엔트리 벡터(entry vector)는, 5'에서 3'의 방향으로, 제한 부위 RA, 제한 부위 RY, DNA 절편 D, 제한 부위 RZ, 어닐링될 수 있는 링커 서열 LB 및 제한 부위 RB (예를 들어, 5'-RA-RY-D-RZ-LB-RB-3')를 포함하는 원형 폴리뉴클레오타이드이다. 몇몇 실시예에서, 엔트리 벡터(entry vector)는, 5'에서 3'의 방향으로, 제한 부위 RA, 어닐링될 수 있는 링커 서열 LA, 제한 부위 RY, DNA 절편 D, 제한 부위 RZ 및 제한 부위 RB (예를 들어, 5'-RA-LA-RY-D-RZ-RB-3')를 포함하는 원형 폴리뉴클레오타이드이다. 몇몇 실시예에서, 엔트리 벡터(entry vector)는, 5'에서 3'의 방향으로, 제한 부위 RA, 어닐링될 수 있는 링커 서열 LA, 제한 부위 RY, DNA 절편 D, 제한 부위 RZ, 어닐링될 수 있는 링커 서열 LB 및 제한 부위 RB (예를 들어, 5'-RA-LA-RY-D-RZ-LB-RB-3')를 포함하는 원형 폴리뉴클레오타이드이다. 몇몇 실시예에서, 엔트리 벡터(entry vector)는, 5'에서 3'의 방향으로, 제한 부위 RA, 프라이머 결합 절편 PA, 제한 부위 RY, DNA 절편 D, 제한 부위 RZ, 어닐링될 수 있는 링커 서열 LB 및 제한 부위 RB (예를 들어, 5'-RA-PA-RY-D-RZ-LB-RB-3')를 포함하는 원형 폴리뉴클레오타이드이다. 몇몇 실시예에서, 엔트리 벡터(entry vector)는, 5'에서 3'의 방향으로, 제한 부위 RA, 어닐링될 수 있는 링커 서열 LA, 제한 부위 RY, DNA 절편 D, 제한 부위 RZ, 프라이머 결합 절편 PB 및 제한

부위 RB (예를 들어, 5'-RA-LA-RY-D-RZ-PB-RB-3')를 포함하는 원형 폴리뉴클레오타이드이다. 예시적인 엔트리 벡터(entry vector)는 도 1a에 제시하였다.

[0022] RY 및 RZ를 절단할 수 있는 하나 이상의 제한 엔도뉴클레아제를 갖는 엔트리 벡터(entry vector)의 분해(digestion)는 DNA 절편을 수용할 수 있는 선형(linearized) 벡터를 형성할 수 있다. DNA 절편은 본 발명의 집합 벡터를 형성하는 표준 클로닝 기술을 사용하여 RY 및 RZ 부위에 연결될 수 있다. 몇몇 실시예에서, 엔트리 벡터(entry vector)의 제한 부위 RY 및 RZ는 동일한 제한 엔도뉴클레아제에 의해 절단될 수 있다. 몇몇 실시예에서, 엔트리 벡터(entry vector)의 제한 부위 RY 및 RZ는 IIS형 제한 엔도뉴클레아제에 의해 절단될 수 있다. 몇몇 실시예에서, 엔트리 벡터(entry vector)의 제한 부위 RY 및 RZ는 동일한 IIS형 제한 엔도뉴클레아제에 의해 절단될 수 있다. 특정한 실시예에서, IIS형 제한 엔도뉴클레아제는 SchI 또는 MlyI이다.

[0023] 몇몇 실시예에서, 엔트리 벡터(entry vector)의 제한 부위 RA 및 RB는 동일한 제한 엔도뉴클레아제에 의해 절단될 수 있다. 몇몇 실시예에서, 엔트리 벡터(entry vector)의 제한 부위 RA 및 RB는 IIS형 제한 엔도뉴클레아제에 의해 절단될 수 있다. 몇몇 실시예에서, 엔트리 벡터(entry vector)의 제한 부위 RA 및 RB는 동일한 IIS형 제한 엔도뉴클레아제에 의해 절단될 수 있다. 특정한 실시예에서, IIS형 제한 엔도뉴클레아제는 SapI 또는 LguI이다.

[0024] 다른 측면에서, 본 발명은 수많은 폴리뉴클레오타이드 성분들로부터 하나 이상의 집합된 폴리뉴클레오타이드들의 집합체에 사용되는 수많은 집합 벡터를 포함하는 집합체 조성물을 제공한다. 몇몇 실시예에서, 집합체 조성물은, 하기의 것들을 포함한다:

[0025] (a) 각각, 원형이며, 5'에서 3'의 방향으로, 첫번째 제한 부위 RA₀, 그룹 D₀로부터 선택된 임의의 DNA

절편, 어닐링될 수 있는 링커 서열 LB₀ 및 두번째 제한 부위 RB₀를 포함하는, 하나 이상의 첫번째 핵산 문자;

[0026] (b) 각각, 원형이며, 5'에서 3'의 방향으로, 첫번째 제한 부위 RA_n, 첫번째 어닐링될 수 있는 링커 서

열 LA_n, 그룹 D_n으로부터 선택된 임의의 DNA 절편, 두번째 어닐링될 수 있는 링커 서열 LB_n 및 두번째 제한 부위

RB_n을 포함하는, 하나 이상의 중간 핵산 문자(상기 n은 1 내지 중간 핵산 문자의 개수까지의 정수를 나타냄); 및

[0027] (c) 각각, 원형이며, 5'에서 3'의 방향으로, 첫번째 제한 부위 RA_m, 어닐링될 수 있는 링커 서열 LA_m,

그룹 D_m으로부터 선택된 임의의 DNA 절편, 두번째 제한 부위 RB_m를 포함하는, 하나 이상의 마지막 핵산 문자(상

기 m은 중간 핵산 문자의 개수보다 큰 정수를 나타냄);

[0028] 여기에서, 제한 부위 RA₀부터 RB_m까지의 절단 및 결과물 선형 핵산 문자의 변성에 있어서, 각각의 어닐링될 수 있는 링커 서열 LB_(p-1)는 어닐링될 수 있는 링커 서열 LA_p의 상보적 서열(complement)에 하이브리드할 수 있으며, 상기 n은 1부터 (m-1)까지 변하는 정수이며, 상기 p는 1 내지 m의 정수를 나타내며, 및 상기 각각의 그룹 D₀, ..., D_n, ..., 및 D_m은 하나 이상의 DNA 절편(segment)으로 구성된다.

[0029] 몇몇 실시예에서, 하나 이상의 첫번째 핵산 문자는 그룹 D₀로부터 선택된 DNA 절편에 대하여 5'에 위치한 프라이며 결합 절편 PA를 더 포함한다. 몇몇 실시예에서, 하나 이상의 마지막 핵산 문자는 그룹 D_m으로부터 선택된 DNA 절편에 대하여 3'에 위치한 프라이머 결합 절편 PB를 더 포함한다.

[0030] 몇몇 실시예에서, 집합체 조성물은 2개 이상의 중간 핵산 문자를 포함한다. 몇몇 실시예에서, 집합체 조성물은 3개 이상의 중간 핵산 문자를 포함한다. 몇몇 실시예에서, 집합체 조성물은 4개 이상의 중간 핵산 문자를 포함한다. 몇몇 실시예에서, 집합체 조성물은 5개 이상의 중간 핵산 문자를 포함한다. 특정 실시예에서, 조성물은 6개 이상의 중간 핵산 문자를 포함한다. 몇몇 실시예에서, 집합체 조성물은 7개 이상의 중간 핵산 문자를 포함한다. 몇몇 실시예에서, 집합체 조성물은 8개 이상의 중간 핵산 문자를 포함한다. 몇몇 실시예에서, 집합체 조성물은 9개 이상의 중간 핵산 문자를 포함한다. 몇몇 실시예에서, 집합체 조성물은 10개 이상의 중간 핵산 문자를 포함한다. 몇몇 실시예에서, 집합체 조성물은 15개 이상의 중간 핵산 문자를 포함한다. 몇몇 실시예에서, 집합체 조성물은 20개 이상의 중간 핵산 문자를 포함한다.

[0031] 몇몇 실시예에서, m은 1이다. 몇몇 실시예에서, m은 2이다. 몇몇 실시예에서, m은 3이다. 몇몇 실시예에서, m은 4이다. 몇몇 실시예에서, m은 5이다. 몇몇 실시예에서, m은 6이다. 몇몇 실시예에서, m은 7이다. 몇몇 실시예에서, m은 8이다. 몇몇 실시예에서, m은 9이다. 몇몇 실시예에서, m은 10이다. 몇몇 실시예에서, m은 10

이상이다.

[0032] 몇몇 실시예에서, 제한 부위 RA_0 부터 RB_m 까지의 절단 및 결과물 선형 핵산 분자의 변성에서, 각각의 어닐링될 수 있는 링커 서열 $LB_{(p-1)}$ 은, 집합체 조성물에서, 다른 어닐링할 수 있는 링커 서열, 또는 이의 상보적 서열 (complement)에 비해, 어닐링될 수 있는 링커 서열 LA_p 의 상보적 서열(complement)에 선택적으로 하이브리드할 수 있다. 몇몇 실시예에서, 각각의 어닐링될 수 있는 링커 서열 $L_{(p-1)}$ 은 어닐링될 수 있는 링커 서열 LA_p 과 서열에 있어서 동일하다.

[0033] 특정 실시예에서, 집합 벡터들로부터 폴리뉴클레오타이드 성분들의 잘려짐을 촉진할 수 있도록, 제한 부위들 RA_0 부터 RB_m 까지는 동일한 제한 엔도뉴클레아제에 의해 절단될 수 있다. 몇몇 실시예에서, 제한 부위들 RA_0 부터 RB_m 까지는 $SapI$ 및/또는 $LguI$ 제한 엔도뉴클레아제들에 의해 절단될 수 있다.

[0034] 다른 측면에서, 본 발명은 수많은 선형 핵산 분자를 포함하는 성분 조성물(component composition)을 제공하며, 상기 선형 핵산 분자는 제한 부위 RA_0 부터 RB_m 까지 절단할 수 있는 하나 이상의 제한 엔도뉴클레아제로 집합체 조성물을 분해함으로써 형성될 수 있으며, 상기 집합체 조성물은 하기의 것들을 포함한다:

[0035] (a) 각각, 원형이며, 5'에서 3'의 방향으로, 첫번째 제한 부위 RA_0 , 그룹 D_0 로부터 선택된 임의의 DNA 절편, 어닐링될 수 있는 링커 서열 LB_0 및 두번째 제한 부위 RB_0 를 포함하는, 하나 이상의 첫번째 핵산 분자;

[0036] (b) 각각, 원형이며, 5'에서 3'의 방향으로, 첫번째 제한 부위 RA_n , 첫번째 어닐링될 수 있는 링커 서열 LA_n , 그룹 D_n 으로부터 선택된 임의의 DNA 절편, 두번째 어닐링될 수 있는 링커 서열 LB_n 및 두번째 제한 부위 RB_n 를 포함하는, 하나 이상의 중간 핵산 분자(상기 n 은 1부터 중간 핵산 분자의 개수까지의 정수를 나타냄); 및

[0037] (c) 각각, 원형이며, 5'에서 3'의 방향으로, 첫번째 제한 부위 RA_m , 어닐링될 수 있는 링커 서열 LA_m , 그룹 D_m 으로부터 선택된 임의의 DNA 절편, 두번째 제한 부위 RB_m 을 포함하는, 하나 이상의 마지막 핵산 분자(상기 m 은 중간 핵산 분자의 개수보다 큰 정수임);

[0038] 여기에서, 제한 부위 RA_0 부터 RB_m 까지의 절단 및 결과물 선형 핵산 분자의 변성에 있어서, 각각의 어닐링될 수 있는 링커 서열 $LB_{(p-1)}$ 은 어닐링될 수 있는 링커 서열 LA_p 의 상보적 서열(complement)에 하이브리드할 수 있으며, 상기 n 은 1부터 $(m-1)$ 까지 변하는 정수이며, 상기 p 는 1부터 m 까지의 정수를 나타내며, 상기 각각의 그룹 $D_0, \dots, D_n, \dots, D_m$ 은 하나 이상의 DNA 절편(segment)으로 구성된다.

[0039] 몇몇 실시예에서, 하나 이상의 첫번째 핵산 분자는 그룹 D_0 로부터 선택된 DNA 절편에 대해 5'에 위치한 프라이머 결합 절편 PA를 더 포함한다. 몇몇 실시예에서, 하나 이상의 마지막 핵산 분자는 그룹 D_m 으로부터 선택된 DNA 절편에 대해 3'에 위치한 프라이머 결합 절편 PB를 더 포함한다.

[0040] 몇몇 실시예에서, 성분들의 조성물은 2개 이상의 중간 핵산 분자를 포함한다. 몇몇 실시예에서, 성분들의 조성물은 3개 이상의 중간 핵산 분자를 포함한다. 몇몇 실시예에서, 성분들의 조성물은 4개 이상의 중간 핵산 분자를 포함한다. 몇몇 실시예에서, 성분들의 조성물은 5개 이상의 중간 핵산 분자를 포함한다. 몇몇 실시예에서, 성분들의 조성물은 6개 이상의 중간 핵산 분자를 포함한다. 몇몇 실시예에서, 성분들의 조성물은 7개 이상의 중간 핵산 분자를 포함한다. 몇몇 실시예에서, 집합체 조성물은 8개 이상의 중간 핵산 분자를 포함한다. 몇몇 실시예에서, 집합체 조성물은 9개 이상의 중간 핵산 분자를 포함한다. 몇몇 실시예에서, 집합체 조성물은 10개 이상의 중간 핵산 분자를 포함한다. 몇몇 실시예에서, 집합체 조성물은 15개 이상의 중간 핵산 분자를 포함한다. 몇몇 실시예에서, 집합체 조성물은 20개 이상의 중간 핵산 분자를 포함한다.

[0041] 몇몇 실시예에서, m 은 1이다. 몇몇 실시예에서, m 은 2이다. 몇몇 실시예에서, m 은 3이다. 몇몇 실시예에서, m 은 4이다. 몇몇 실시예에서, m 은 5이다. 몇몇 실시예에서, m 은 6이다. 몇몇 실시예에서, m 은 7이다. 몇몇 실시예에서, m 은 8이다. 몇몇 실시예에서, m 은 9이다. 몇몇 실시예에서, m 은 10이다. 몇몇 실시예에서, m 은 10 이상이다.

[0042] 다른 측면에서, 본 발명의 방법에 따른 수많은 폴리뉴클레오타이드들을 집합하는데 유용한 키트를 제공한다. 몇몇 실시예에서, 상기 키트는: (a) 본원에 제시된 하나 이상의 엔트리 벡터(entry vector)들; (b) 엔트리 벡터

(entry vector)들의 제한 부위들 RA 및 RB를 절단할 수 있는 하나 이상의 제한 엔도뉴클레아제들; 및 (c) 엔트리 벡터(entry vector)들의 제한 부위들 RY 및 RZ를 절단할 수 있는 하나 이상의 제한 엔도뉴클레아제들을 포함한다.

[0043] 다른 측면에서, 본 발명은 핵산 분자의 라이브러리를 제공한다. 몇몇 실시예에서, 라이브러리의 핵산 분자는 첫 번째 제한 부위 RA, DNA 절편 D, 어닐링될 수 있는 링커 서열 LB 및 두번째 제한 부위 RB를 포함한다. 몇몇 실시예에서, 라이브러리의 핵산 분자는 첫번째 제한 부위 RA, 프라이머 결합 절편 PA, DNA 절편 D, 어닐링될 수 있는 링커 서열 LB 및 두번째 제한 부위 RB를 포함한다. 몇몇 실시예에서, 라이브러리의 핵산 분자는 첫번째 제한 부위 RA, 어닐링될 수 있는 링커 서열 LA, DNA 절편 D, 어닐링될 수 있는 링커 서열 LB 및 두번째 제한 부위 RB를 포함한다. 몇몇 실시예에서, 라이브러리의 핵산 분자는 첫번째 제한 부위 RA, 어닐링될 수 있는 링커 서열 LA, DNA 절편 D 및 두번째 제한 부위 RB를 포함한다. 몇몇 실시예에서, 라이브러리의 핵산 분자는 첫번째 제한 부위 RA, 어닐링될 수 있는 링커 서열 LA, DNA 절편 D, 프라이머 결합 절편 PB 및 두번째 제한 부위 RB를 포함한다.

[0044] 몇몇 실시예에서, 라이브러리는 하기의 각각의 벡터들 중 적어도 하나를 포함한다:

[0045] (a) 5'에서 3'의 방향으로, 제한 부위 RA, DNA 절편 D, 어닐링될 수 있는 링커 서열 LB 및 제한 부위 RB를 포함하는, 원형 폴리뉴클레오타이드로 구성된 벡터;

[0046] (b) 5'에서 3'의 방향으로, 제한 부위 RA, 어닐링될 수 있는 링커 서열 LA, DNA 절편 D, 어닐링될 수 있는 링커 서열 LB 및 제한 부위 RB를 포함하는, 원형 폴리뉴클레오타이드로 구성된 벡터; 및

[0047] (c) 5'에서 3'의 방향으로, 제한 부위 RA, 어닐링될 수 있는 링커 서열 LA, DNA 절편 D 및 제한 부위 RB₀를 포함하는, 원형 폴리뉴클레오타이드로 구성된 벡터.

[0048] 몇몇 실시예에서, 라이브러리는 하기의 각각의 벡터들 중 적어도 하나를 포함한다:

[0049] (a) 5'에서 3'의 방향으로, 제한 부위 RA, 프라이머 결합 절편 PA, DNA 절편 D, 어닐링될 수 있는 링커 서열 LB 및 제한 부위 RB를 포함하는, 원형 폴리뉴클레오타이드로 구성된 벡터;

[0050] (b) 5'에서 3'의 방향으로, 제한 부위 RA, 어닐링될 수 있는 링커 서열 LA, DNA 절편 D, 어닐링될 수 있는 링커 서열 LB 및 제한 부위 RB를 포함하는, 원형 폴리뉴클레오타이드로 구성된 벡터; 및

[0051] (c) 5'에서 3'의 방향으로, 제한 부위 RA, 어닐링될 수 있는 링커 서열 LA, DNA 절편 D, 프라이머 결합 절편 PB 및 제한 부위 RB₀를 포함하는, 원형 폴리뉴클레오타이드로 구성된 벡터.

[0052] 몇몇 실시예에서, DNA 절편 D는 선별표지(selectable marker), 프로모터, 게놈 타겟팅(targeting) 서열, 에피토프 태그(epitope tag)를 코딩하는 핵산 서열 및 관심 있는 유전자를 코딩하는 핵산 서열, 종결 코돈 및 lacZ를 코딩하는 핵산 서열로 구성된 군으로부터 선택된 핵산 서열을 포함한다.

[0053] 몇몇 실시예에서, 라이브러리는 하기의 각각의 핵산 분자 중 적어도 하나를 포함한다:

[0054] (a) 각각, 원형이며, 5'에서 3'의 방향으로, 첫번째 제한 부위 RA₀, DNA 절편 D₀, 어닐링될 수 있는 링커 서열 LB₀ 및 두번째 제한 부위 RB₀를 포함하는 첫번째 핵산 분자;

[0055] (b) 각각, 원형이며, 5'에서 3'의 방향으로, 첫번째 제한 부위 RA_n, 첫번째 어닐링될 수 있는 링커 서열 LA_n, DNA 절편 D_n, 두번째 어닐링될 수 있는 링커 서열 LB_n 및 두번째 제한 부위 RB_n를 포함하는 중간 핵산 분자(상기 n은 1부터 중간 핵산 분자의 개수까지의 정수를 나타냄);

[0056] (c) 각각, 원형이며, 5'에서 3'의 방향으로, 첫번째 제한 부위 RA_m, 어닐링될 수 있는 링커 서열 LA_m, DNA 절편 D_m, 두번째 제한 부위 RB_m를 포함하는 마지막 핵산 분자(상기 m은 중간 핵산 분자의 개수를 초과하는 정수임);

[0057] 여기에서, 제한 부위 RA₀부터 RB_n까지의 절단 및 결과물 선형 핵산 분자의 변성에 있어서, 각각의 어닐링될 수 있는 링커 서열 LB_(p-1)은 어닐링될 수 있는 링커 서열 LA_p의 상보적 서열(complement)에 하이브리드화 수 있으며, 상기 p는 1부터 m까지의 정수이다. 몇몇 실시예에서, 첫번째 핵산 분자는 그룹 D₀으로부터 선택된 DNA

절편에 대해 5'에 위치한 프라이머 결합 절편 PA를 더 포함한다. 몇몇 실시예에서, 마지막 핵산 분자는 그룹 D_m 으로부터 선택된 DNA 절편에 대해 3'에 위치한 프라이머 결합 절편 PB를 더 포함한다.

[0058] 몇몇 실시예에서, 라이브러리는 2개 이상의 중간 핵산 분자를 포함한다. 몇몇 실시예에서, 라이브러리는 3개 이상의 중간 핵산 분자를 포함한다. 몇몇 실시예에서, 라이브러리는 4개 이상의 중간 핵산 분자를 포함한다. 몇몇 실시예에서, 라이브러리는 5개 이상의 중간 핵산 분자를 포함한다. 몇몇 실시예에서, 라이브러리는 6개 이상의 중간 핵산 분자를 포함한다. 몇몇 실시예에서, 라이브러리는 7개 이상의 중간 핵산 분자를 포함한다. 몇몇 실시예에서, 집합체 조성물은 8개 이상의 중간 핵산 분자를 포함한다. 몇몇 실시예에서, 집합체 조성물은 9개 이상의 중간 핵산 분자를 포함한다. 몇몇 실시예에서, 집합체 조성물은 10개 이상의 중간 핵산 분자를 포함한다. 몇몇 실시예에서, 집합체 조성물은 15개 이상의 중간 핵산 분자를 포함한다. 몇몇 실시예에서, 집합체 조성물은 20개 이상의 중간 핵산 분자를 포함한다.

[0059] 몇몇 실시예에서, m 은 1이다. 몇몇 실시예에서, m 은 2이다. 몇몇 실시예에서, m 은 3이다. 몇몇 실시예에서, m 은 4이다. 몇몇 실시예에서, m 은 5이다. 몇몇 실시예에서, m 은 6이다. 몇몇 실시예에서, m 은 7이다. 몇몇 실시예에서, m 은 8이다. 몇몇 실시예에서, m 은 9이다. 몇몇 실시예에서, m 은 10이다. 몇몇 실시예에서, m 은 10 이상이다.

[0060] 다른 측면에서, 본 발명은 수많은 폴리뉴클레오타이드 성분들로부터 하나 이상의 집합된 폴리뉴클레오타이드들을 결합하는 방법을 제공하며, 하기의 단계를 포함한다:

[0061] (a) 성분들 조성물을 형성하기 위하여, 하나 이상의 제한 엔도뉴클레아제들을 사용하여 집합체 조성물을 분해하는 단계로서, 상기 집합체 조성물은 하기의 것들을 포함하며:

[0062] (i) 각각, 원형이며, 5'에서 3'의 방향으로, 첫번째 제한 부위 RA_0 , 그룹 PA로부터 선택된 임의의 프라이머 결합 절편, 그룹 D_0 로부터 선택된 임의의 DNA 절편, 어닐링될 수 있는 링커 서열 LB_0 및 두번째 제한 부위 RB_0 를 포함하는, 하나 이상의 첫번째 핵산 분자;

[0063] (ii) 각각, 원형이며, 5'에서 3'의 방향으로, 첫번째 제한 부위 RA_n , 첫번째 어닐링될 수 있는 링커 서열 LA_n , 그룹 D_n 으로부터 선택된 임의의 DNA 절편, 두번째 어닐링될 수 있는 링커 서열 LB_n 및 두번째 제한 부위 RB_n 를 포함하는, 하나 이상의 중간 핵산 분자(상기 n 은 1부터 중간 핵산 분자의 개수까지의 정수를 나타냄); 및

[0064] (iii) 각각, 원형이며, 5'에서 3'의 방향으로, 첫번째 제한 부위 RA_m , 어닐링될 수 있는 링커 서열 LA_m , 그룹 D_m 으로부터 선택된 DNA 절편, 그룹 PB로부터 선택된 임의의 프라이머 결합 절편 및 두번째 제한 부위 RB_m 를 포함하는, 하나 이상의 마지막 핵산 분자(상기 m 은 중간 핵산 분자의 개수보다 큰 정수를 나타냄); 여기에서, 제한 부위 RA_0 에서 RB_m 까지의 절단 및 결과물 선형 핵산 분자의 변성에 있어서, 각각의 어닐링될 수 있는 링커 서열 $LB_{(p-1)}$ 은 어닐링될 수 있는 링커 서열 LA_p 의 상보적 서열(complement)에 하이브리드할 수 있으며, 상기 n 은 1부터 ($m-1$)까지 변하는 정수이며, 상기 P는 1부터 m 까지의 정수를 나타내며 및 상기 각각의 그룹 D_0, \dots, D_n, \dots 및 D_m 은 하나 이상의 DNA 절편(segment)으로 구성되며;

[0065] 상기 하나 이상의 제한 엔도뉴클레아제들은 제한 부위 RA_0 부터 RB_m 까지를 절단할 수 있으며; 및

[0066] (b) 핵산 분자의 변성, 어닐링될 수 있는 링커 서열 LA_p 에 어닐링될 수 있는 링커 서열 $LB_{(p-1)}$ 의 어닐링 및 이들로부터의 신장에 적절한 조건 하에서, 성분 조성물(component composition)을 DNA 폴리머라제, 데옥시리보뉴클레오사이드 트리포스페이트, 하나 이상의 제 1 프라이머들 및 하나 이상의 제 2 프라이머들과 접촉시키는 단계로서; 상기 각각의 제 1 프라이머는 그룹 PA로부터 선택된 상기 프라이머 결합 절편(segment) 중 하나에 하이브리드할 수 있으며, 상기 각각의 제 2 프라이머는 그룹 PB로부터 선택된 상기 프라이머 결합 절편(segment) 중 하나에 하이브리드할 수 있으며; 및 성분 조성물(component composition)을 중합효소 연쇄 반응시키는 단계,

[0067] 여기에서, 5'에서 3'의 방향으로, 각각의 그룹 D_0, \dots, D_n, \dots 및 D_m 으로부터 선택된 하나의 DNA 절편을 포함하는 상기 폴리뉴클레오타이드는 집합된다. 상기 방법에서, p는 1부터 m 까지의 정수를 나타낸다.

[0068] 몇몇 실시예에서, 집합체 조성물은 2개 이상의 중간 핵산 분자를 포함한다. 몇몇 실시예에서, 집합체 조성물은 3개 이상의 중간 핵산 분자를 포함한다. 몇몇 실시예에서, 집합체 조성물은 4개 이상의 중간 핵산 분자를 포함

한다. 몇몇 실시예에서, 집합체 조성물은 5개 이상의 중간 핵산 분자를 포함한다. 몇몇 실시예에서, 집합체 조성물은 6개 이상의 중간 핵산 분자를 포함한다. 몇몇 실시예에서, 집합체 조성물은 7개 이상의 중간 핵산 분자를 포함한다. 몇몇 실시예에서, 집합체 조성물은 8개 이상의 중간 핵산 분자를 포함한다. 몇몇 실시예에서, 집합체 조성물은 9개 이상의 중간 핵산 분자를 포함한다. 몇몇 실시예에서, 집합체 조성물은 10개 이상의 중간 핵산 분자를 포함한다. 몇몇 실시예에서, 집합체 조성물은 15개 이상의 중간 핵산 분자를 포함한다. 몇몇 실시예에서, 집합체 조성물은 20개 이상의 중간 핵산 분자를 포함한다.

[0069] 몇몇 실시예에서, m 은 1이다. 몇몇 실시예에서, m 은 2이다. 몇몇 실시예에서, m 은 3이다. 몇몇 실시예에서, m 은 4이다. 몇몇 실시예에서, m 은 5이다. 몇몇 실시예에서, m 은 6이다. 몇몇 실시예에서, m 은 7이다. 몇몇 실시예에서, m 은 8이다. 몇몇 실시예에서, m 은 9이다. 몇몇 실시예에서, m 은 10이다. 몇몇 실시예에서, m 은 10 이상이다.

[0070] 몇몇 실시예에서, 집합체 조성물은 하나의 첫번째 핵산 분자 및 하나의 마지막 핵산 분자를 포함한다. 다른 실시예에서, 집합체 조성물은 하나를 초과하는 첫번째 핵산 분자 및 하나를 초과하는 마지막 핵산 분자를 포함하며, 집합 방법은 조합하는 방식으로 여러 개의 폴리뉴클레오타이드 성분들을 수많은 집합된 폴리뉴클레오타이드들에 제공한다. 몇몇 실시예에서, 집합체 조성물은, 동일한 어닐링될 수 있는 링커 서열 LA 또는 LB, 또는 동일한 프라이머 결합 절편 PA 또는 PB, 또는 동일한 쌍의 어닐링될 수 있는 링커 서열들 LA 및 LB, 또는 동일한 쌍의 어닐링될 수 있는 링커 서열/프라이머 결합 절편들 LA 및 PB, 또는 LB 및 PA를 포함하는 적어도 2개의 핵산 분자들을 포함한다.

[0071] 다른 측면에서, 본 발명은 집합된 폴리뉴클레오타이드들을 포함하는 숙주 세포를 형성하는 방법을 제공한다. 몇몇 실시예에서, 상기 방법은 본원에 제시된 폴리뉴클레오타이드 집합 방법에 의해 형성된 집합된 폴리뉴클레오타이드로 숙주 세포를 형질 변환하는 것을 포함한다. 다른 실시예에서, 상기 방법은 본원에 제시된 폴리뉴클레오타이드 집합 방법에 의해 형성된, 수많은 집합된 폴리뉴클레오타이드로 숙주 세포를 형질 변환하는 것을 포함한다. 특정 실시예에서, 숙주 세포는 2개 이상의 집합된(assembled) 폴리뉴클레오타이드들을 상동 재조합(homologous recombination)에 의해 결합된(combined) 하나 이상의 폴리뉴클레오타이드에 결합시킨다. 또 다른 실시예에서, 상기 방법은 수많은 폴리뉴클레오타이드 성분들로 숙주 세포를 형질변환시키고 상기 숙주 세포로 하여금 상동 재조합(homologous recombination)에 의해 집합되거나(assembled) 결합된(combined) 하나 이상의 폴리뉴클레오타이드들을 형성하게 하는 것을 포함한다.

[0072] 다른 측면에서, 본 발명은 수많은 집합된(assembled) 폴리뉴클레오타이드들을 포함하는 수많은 숙주 세포들을 형성하는 방법을 제공한다. 몇몇 실시예에서, 수많은 숙주 세포들은, 폴리뉴클레오타이드 성분들의 조합된 집합체에 의해 형성된 수많은 집합된(assembled) 폴리뉴클레오타이드들을 포함하는 조성물로 숙주세포들을 형질 변환함으로써 형성된다. 다른 실시예에서, 수많은 숙주 세포들은, 수많은 집합된(assembled) 폴리뉴클레오타이드들을 포함하는 조성물로 숙주 세포들을 형질 변환하고 결합된(combined) 폴리뉴클레오타이드를 포함하는 숙주 세포들을 선택함으로써 형성되며, 상기 집합된(assembled) 폴리뉴클레오타이드들 중 적어도 2개의 집합된(assembled) 폴리뉴클레오타이드들은 선별표지(selectable marker)의 비-기능적 절편(segment)을 포함하며, 상기 표지(marker)에서 숙주 세포 매개 상동 재조합(homologous recombination)은 기능적인 선별표지(selectable marker)를 형성한다. 또 다른 실시예에서, 수많은 숙주 세포들은 다수의 폴리뉴클레오타이드 성분들을 포함하는 성분 조성물(component composition)로 숙주 세포들을 형질 변환하고, 집합된(assembled) 폴리뉴클레오타이드를 포함하는 숙주 세포들을 선택하는 조합 방법에 의해 형성되며, 상기 다수의 폴리뉴클레오타이드 중 적어도 2개의 폴리뉴클레오타이드 성분들은 동일한 어닐링될 수 있는 링커 서열 LA 또는 LB, 또는 동일한 쌍의 어닐링될 수 있는 링커 서열들 LA 및 LB를 포함한다.

[0073] 다른 측면에서, 본 발명은 서열번호 1 내지 25를 구성하는 군으로부터 선택된 서열을 갖는 폴리뉴클레오타이드를 제공한다.

[0074] 다른 측면에서, 본 발명은 서열번호 1 내지 25를 구성하는 군으로부터 선택된 하나 이상의 서열들을 포함하는 폴리뉴클레오타이드를 제공한다.

[0075] 실시예의 상세한 설명

1. 정의

[0077] 본원에서 사용된, 용어 "폴리뉴클레오타이드"는 당업자에 의해 이해되는 뉴클레오타이드 단위들로 구성된 폴리

머를 말한다. 바람직한 뉴클레오타이드 단위들은, 그러나 이에 제한되지 않는, 아데닌 (A), 구아닌 (G), 시토신 (C), 티민 (T) 및 우라실 (U)을 포함하는 뉴클레오타이드 단위들을 포함한다. 유용한 변형된 뉴클레오타이드 단위들은, 그러나 이에 제한되지 않는, 4-아세틸시티딘, 5-(카르복시히드록실메틸)우리딘, 2-0-메틸시티딘, 5-카르복시메틸아미노메틸-2-티오우리딘, 5-카르복시메틸아미노-메틸우리딘, 디히드로우리딘, 2-0-메틸슈도우리딘, 2-0-메틸구아노신, 이노신, N6-이소펜틸아데노신, 1-메틸아데노신, 1-메틸슈도우리딘, 1-메틸구아노신, 1-메틸이노신, 2,2-디메틸구아노신, 2-메틸아데노신, 2-메틸구아노신, 3-메틸시티딘, 5-메틸시티딘, N6-메틸아데노신, 7-메틸구아노신, 5-메틸아미노메틸우리딘, 5-메톡시아미노메틸-2-티오우리딘, 5-메톡시우리딘, 5-메톡시카르보닐메틸-2-티오우리딘, 5-메톡시카르보닐메틸우리딘, 2-메틸티오-N6-이소펜틸아데노신, 우리딘-5-옥시아세트산-메틸에스테르, 우리딘-5-옥시아세트산, 와이부톡소신(wybutoxosine), 와이부토신(wybutoxosine), 슈도우리딘, 케우오신(queuosine), 2-티오시티딘, 5-메틸-2-티오우리딘, 2-티오우리딘, 4-티오우리딘, 5-메틸우리딘, 2-0-메틸-5-메틸우리딘, 2-0-메틸우리딘, 기타 등을 포함한다. 폴리뉴클레오타이드들은 자연적으로 발생하는 핵산, 예를 들어, 데옥시리보핵산 ("DNA") 및 리보핵산 ("RNA"), 뿐만 아니라 핵산 유사체를 포함한다. 핵산 유사체들은 비-자연적으로 발생하는 염기, 자연적으로 발생하는 포스포디에스테르 결합이 아닌 다른 뉴클레오타이드와의 연결(linkage)에 관여하는 뉴클레오타이드, 또는 포스포디에스테르 결합이 아닌 연결(linkage)을 통하여 부착된 염기들을 포함하는 뉴클레오타이드를 포함하는 핵산 유사체들을 포함한다. 따라서, 뉴클레오타이드 유사체는, 예를 들어, 이에 제한되지 않는, 포스포로티오에이트, 포스포로디티오에이트, 포스포로트리에스테르(phosphorotriester), 포스포라미데이트(phosphoramidate), 보라노포스페이트(boranophosphate), 메틸포스포네이트, 카이랄-메틸 포스포네이트, 2-0-메틸 리보뉴클레오타이드, 웨타이드-핵산 (PNA), 기타 등을 포함한다.

[0078]

본원에서 사용된, "폴리뉴클레오타이드 성분(component)"은 본원에 제시된 폴리뉴클레오타이드 집합 방법을 사용하여 "집합된(assembled) 폴리뉴클레오타이드"를 형성하기 위하여 서로 집합될 수 있는 폴리뉴클레오타이드 서열을 말한다. 수많은 집합 벡터들이 집합 벡터들로부터 폴리뉴클레오타이드 성분들을 잘라낼 수 있는 하나 이상의 제한 엔도뉴클레아제로 분해될 때, 폴리뉴클레오타이드 성분들의 결과물 집단은 집합된(assembled) 폴리뉴클레오타이드 내로 집합되는 DNA 절편(segment)의 전체를 포함할 수 있다.

[0079]

본원에서 사용된, "집합된(assembled) 폴리뉴클레오타이드"는 본원에 제시된 폴리뉴클레오타이드 집합 방법에 의해 생산된 폴리뉴클레오타이드를 말한다. 집합된(assembled) 폴리뉴클레오타이드는 2개 이상의 폴리뉴클레오타이드 성분들로 구성될 수 있다. 몇몇 실시예에서, 집합된(assembled) 폴리뉴클레오타이드는 2개, 3개, 4개, 5개, 6개, 7개, 8개, 9개, 10개, 11개, 12개, 13개, 14개, 15개 또는 그 이상의 폴리뉴클레오타이드 성분들을 포함한다. 집합된(assembled) 폴리뉴클레오타이드 길이는 약 100개 내지 약 20,000개의 뉴클레오타이드, 또는 그 이상의 개수의 뉴클레오타이드 길이(length) 일 수 있다. 몇몇 실시예에서, 집합된(assembled) 폴리뉴클레오타이드 길이는 약 200개 내지 약 10,000개, 약 200개 내지 약 8000개, 약 200개 내지 약 5000개, 약 200개 내지 약 3000개, 또는 약 200개 내지 약 1000개 뉴클레오타이드 길이(length) 일 수 있다. 다른 실시예에서, 집합된(assembled) 폴리뉴클레오타이드 길이는 약 200개 내지 약 2000개, 약 2000개 내지 약 5000개, 약 5000개 내지 약 10,000개, 약 10,000개 내지 약 20,000개, 또는 20,000개를 초과하는 뉴클레오타이드 길이(length)일 수 있다.

[0080]

폴리뉴클레오타이드 서열들을 설명하기 위하여 종래의 표기법이 본원에 사용되었다: 단일-가닥 폴리뉴클레오타이드 서열의 왼쪽 말단은 5'-말단이며; 이중-가닥 폴리뉴클레오타이드 서열의 왼쪽 방향은 5'-방향을 말한다.

[0081]

본원에서 사용된, 하기의 실시예에서 "비트(Bit)"로 호환하여 청하는, 용어 "DNA 절편"은, 분리되거나 분리될 수 있는 DNA 문자를 말한다. 유용한 실시예는, 그러나 이에 제한되지 않는, 단백질-코딩 서열, 리포터 유전자(reporter gene), 형광 표지(marker) 코딩 서열, 프로모터, 증폭자(enhancer), 종결자(terminator), 인트론, 엑손, 폴리-A 꼬리, 다수의 클로닝 부위, 핵 위치 신호(nuclear localization signal), mRNA 안정 신호(mRNA stabilization signal), 선별표지(selectable marker), 통합 부위(integration loci), 에피토프 태그(epitope tag) 코딩 서열, 분해 신호(degradation signal), 기타 자연적으로 발생한 DNA 문자 또는 합성 DNA 문자를 포함한다. 몇몇 실시예에서, DNA 절편은 천연 유래(natural origin)된 것일 수 있다. 선택적으로, DNA 절편은 생체 밖에서 생산된, 완전히 합성 유래(origin)된 것일 수 있다. 더욱이, DNA 절편은 분리되고 자연적으로 발생하는 DNA 문자의 임의의 조합, 또는 분리되고 자연적으로 발생하는 DNA 문자 및 합성 DNA 문자의 임의의 조합을 포함할 수 있다. 예를 들어, DNA 절편은 단백질 코딩서열에 사용할 수 있게 연결된 이형(heterologous) 프로모터, 폴리-A 꼬리에 연결된 단백질 코딩서열, 에피토프 태그(epitope tag) 코딩 서열로 뼈대가 완성되어 연결된 단백질 코딩서열, 기타 등을 포함할 수 있다.

[0082]

용어 "상보적인(complementary)"은 위상적인(topological) 상보성을 말하거나, 당업자에 의해 이해되는 바와 같

이 2개의 폴리뉴클레오타이드들의 상호작용하는 표면을 서로 짹짓는 것을 말한다. 따라서, 안정한 비-평행의, 이중-가닥 핵산 구조를 형성하기 위하여 서로에게 하이브리드할 수 있다면, 2개의 서열들은 서로에 대해 "상보적"이다. 제 1 폴리뉴클레오타이드의 뉴클레오타이드 서열이 실질적으로 제 2 폴리뉴클레오타이드의 폴리뉴클레오타이드 결합 파트너의 뉴클레오타이드 서열과 동일하다면, 또는 제 1 폴리뉴클레오타이드가 엄격한 하이브리드 조건에서 제 2 폴리뉴클레오타이드와 하이브리드할 수 있다면, 제 1 폴리뉴클레오타이드는 제 2 폴리뉴클레오타이드에 대해 상보적이다. 따라서, 서열이 5'-TATACT-3'의 폴리뉴클레오타이드는, 서열이 5'-GTATAC-3'인 폴리뉴클레오타이드에 대해 상보적이다.

[0083] "프라이머"는, 합성에 적절한 조건 하에서, 예를 들어, 뉴클레오타이드 및 합성 반응을 촉진시키는(catalyze) 성분(예를 들어, DNA 폴리머라제)의 존재 하에서, 폴리뉴클레오타이드 주형(template) 서열, 예를 들어, 프라이머 결합 절편에 특히 하이브리드 할 수 있는 폴리뉴클레오타이드 서열과, 상보적 폴리뉴클레오타이드의 합성을 위한 개시 지점을 제공할 수 있는 폴리뉴클레오타이드를 말한다. 프라이머는 폴리뉴클레오타이드 주형(template) 서열에 대해 상보적이지만, 폴리뉴클레오타이드 주형(template) 서열에 대해 정확한 상보적 서열(complement)일 필요는 없다. 예를 들어, 프라이머는 폴리뉴클레오타이드 주형(template) 서열의 상보적 서열(complement)에 대해 적어도 약 80, 85, 90, 95, 96, 97, 98, 또는 99% 동일할 수 있다. 프라이머는 다양한 길이를 가질 수 있지만, 일반적으로 적어도 15개의 염기 길이를 가진다. 몇몇 실시예에서, 프라이머는 15 내지 35개의 염기 길이를 가진다. 몇몇 실시예에서, 프라이머는 35개를 초과하는 염기 길이를 가진다. 다른 실시예에서, 프라이머는 융점(T_m)을 가지며, 예를 들어, 적어도 50°C의 상기 융점에서 DNA 이중나선의 1/2은 단일 가닥으로 분리될 것이다. 다른 실시예에서, 프라이머는 약 50°C 내지 70°C의 T_m 을 갖는다. 또 다른 실시예에서, 폴리뉴클레오타이드 주형(template) 서열의 하이브리드화(hybridization)의 효율에 영향을 미치지 않도록, 프라이머는 인지가능한 DNA 또는 RNA 2차 구조를 형성하지 않는다.

[0084] 본원에서 사용된, 용어 "프라이머 결합 절편(primer binding segment)"은 합성에 적당한 조건하에서 상보적 폴리뉴클레오타이드의 합성의 개시 지점을 제공하기 위하여 프라이мер에 결합하는 폴리뉴클레오타이드 서열이다. 몇몇 실시예에서, 프라이머 결합 서열은 본 발명의 어닐링될 수 있는 링커(annealable linker) 중 하나이다. 서열은, 주어진 세트의 접합체 조성물 내의 상보적 링커 또는 접합체 조성물 내의 폴리뉴클레오타이드 성분들의 부존재 속에서, 어닐링될 수 있는 링커(annealable linker)를 대신하는 프라이머 결합 서열이다. 몇몇 실시예에서, 프라이머 결합 절편은 게놈 타겟팅(targeting) 서열, 예를 들어, 업스트림(upstream) 또는 다운스트림(downstream) 게놈 타겟팅(targeting) 서열로서 기능할 수 있다.

[0085] 본원에서 사용된, 용어 "링커(linker) 서열" 및 "어닐링될 수 있는 링커 서열"은 상호교환적으로 사용되었고, 본 발명에 제시된 엔트리 벡터(entry vector) 및 접합 벡터 내에 함유된 폴리뉴클레오타이드 서열을 말한다. 특히, 어닐링될 수 있는 링커 서열은 엔트리 벡터(entry vector) 또는 접합 벡터 내에 DNA 절편을 측면에 배치한다. 접합 벡터로부터 폴리뉴클레오타이드 성분의 잘라냄과 폴리뉴클레오타이드 성분의 변성에 있어서, 어닐링될 수 있는 링커(annealable linker)는, 본원에 제시된 바와 같이, 폴리뉴클레오타이드 접합 반응(assembly reaction)에서 인접한 폴리뉴클레오타이드 성분의 상보적인 어닐링될 수 있는 링커 서열에 특히 하이브리드할 수 있다. 상보적 링커 가닥과 어닐링함에 있어서, 어닐링될 수 있는 링커(annealable linker)는 상보적 폴리뉴클레오타이드의 합성을 위한 개시 지점을 제공할 수 있다.

[0086] 본원에서 사용된, 용어 "벡터"는 세포에서 복제할 수 있는 염색체 외의(extrachromosomal) 핵산 분자 및 삽입 서열의 복제를 유발하도록 실제로 연결될 수 있는 삽입 서열과 관련하여 사용된다. 유용한 실시예는, 그러나 이에 제한되지 않는, 플라즈미드 구성, 파지(phage) 구성, 코스미드(cosmid) 벡터 등등과 같은 원형 DNA 분자 뿐만 아니라, 선형 핵산 구성(예를 들어, 람다 파지(phage) 구성, 박테리아의 인공 염색체(BAC), 효모의 인공 염색체(YAC), 등)을 포함한다. 벡터는 프로모터 및/또는 종결자(terminator)와 같은 발현 신호, 항생제에 대한 저항성을 부여하는 유전자와 같은 선별표지(selectable marker) 및 삽입 서열들이 복제될 수 있는 하나 이상의 제한 부위를 포함할 수 있다. 벡터들은 (벡터가 수용할 수 있는 DNA 삽입의 크기와 같은) 기타 특이한 특성을 가질 수 있다.

[0087] 본원에서 사용된, 용어 "엔트리 벡터(entry vector)"는 본원에서 제공된 폴리뉴클레오타이드 접합 방법에서 사용되는 접합 벡터의 제조를 위한 원래의(parental) 벡터로 제공할 수 있는 클로닝 벡터 플라즈마를 말한다. 엔트리 벡터(entry vector)는 2개의 어닐링될 수 있는 링커 서열들, 또는 어닐링될 수 있는 링커 서열 및 프라이머 결합 절편을 포함하며, 이들은 접합 벡터를 형성하기 위하여 DNA 절편의 도입에 이용될 수 있는 제한 부위를 측면에 배치한다. 본원에서 사용된, "접합 벡터"는 DNA 절편이 도입된 엔트리 벡터(entry vector)를 말한다. 접합 벡터는 접합된(assembled) 폴리뉴클레오타이드로 접합될 수 있는 폴리뉴클레오타이드 성분을 제공하기 위하

여, 본원에 제시된 폴리뉴클레오타이드 접합 방법에 사용될 수 있다.

[0088] 본원에서 사용된, 용어 "접합 벡터"는 1개의 어닐링될 수 있는 링커 서열, 2개의 어닐링될 수 있는 링커 서열들, 또는 어닐링될 수 있는 링커 서열과 프라이머 결합 절편, 및 DNA 절편을 포함하는 벡터를 말한다.

[0089] 본원에서 사용된, 용어 "제한효소" 또는 "제한 엔도뉴클레아제"는 서열 내 정확한 위치에서 유사한 DNA 서열에 결합하여 DNA 분자를 절단하는 촉매적 분자의 계열의 구성원 또는 구성원들을 말한다. 제한 엔도뉴클레아제는 IIS형 제한 엔도뉴클레아제들을 포함한다. 이러한 계열의 효소는 인식서열(recognition sequence)이 절단 부위로부터 분리된 점에서, 기타 다른 제한 엔도뉴클레아제들과 다르다. IIS형 제한효소의 몇몇 실시예는 AlwI, BsaI, BbsI, BbuI, BsmAI, BsrI, BsmI, BspMI, EarI, Esp3I, FokI, HgaI, HphI, LguI, MboII, MnII, PleI, SapI, SchI, SfaNi, 기타 등을 포함한다. 이러한 많은 제한 엔도뉴클레아제들은 상업적으로 구입할 수 있으며 당업자에게 잘 알려져 있다.

[0090] 본원에서 사용된, 용어 "어닐링될 수 있는 링커(annealable linker)"는 비평형 접합(antiparallel association)에서 실질적으로 상보적인 어닐링될 수 있는 링커 서열 가닥과 함께 정렬된 하나의 어닐링될 수 있는 링커 서열 가닥을 말한다. 특정한 실시예에서, 어닐링될 수 있는 링커 서열 두 가닥의(duplex) 서열이 완전한 상보성을 갖는 2개의 어닐링될 수 있는 링커 서열 가닥들을 포함하더라도, 상보성은 완전할 필요는 없으며; 어닐링될 수 있는 링커(annealable linker) 서열 두 가닥(duplex)은 짹짓지 않은 염기쌍 또는 짹짓지 않은 염기들을 포함할 수 있다.

[0091] 본원에서 사용된, 용어 "게놈 타겟팅(targeting) 서열"은 숙주 세포 매개 상동 재조합(homologous recombination)에 의해 삽입되는 부위에서 숙주 세포의 게놈에 존재하는 뉴클레오타이드 서열을 말한다. 용어 "업스트림(upstream) 게놈 타겟팅(targeting) 서열" 및 "다운스트림(downstream) 게놈 타겟팅(targeting) 서열"은 숙주 세포의 게놈에 서로 업스트림 및 다운스트림에 위치한 게놈 타겟팅(targeting) 서열들을 말한다.

[0092] 본원에서 사용된, 용어 "염색체의 타겟팅(targeting) 서열"은 본 발명의 폴리뉴클레오타이드가 숙주 세포 매개 상동 재조합(homologous recombination)에 의해 삽입되는 부위에서 숙주 세포의 염색체에 존재하는 뉴클레오타이드 서열을 말한다. 용어 "업스트림(upstream) 염색체의 타겟팅(targeting) 서열" 및 "다운스트림(downstream) 염색체의 타겟팅(targeting) 서열"은 숙주 세포의 염색체 내에서 서로의 업스트림 및 다운스트림에 위치한 염색체의 타겟팅(targeting) 서열들을 말한다.

2. 폴리뉴클레오타이드 접합 방법

[0094] 일 측면에서, 본 발명은 하나 이상의 접합된(assembled) 폴리뉴클레오타이드들로 삽입되는 수많은 폴리뉴클레오타이드 성분들의 정렬된 접합체에 대한 빠르고, 강건하며 높은 생산량의(high-throughput) 방법을 제공한다. 본 발명의 방법들은 접합 벡터들로 불리는 원형 핵산 벡터들을 사용하며, 이들은 각각, 어닐링될 수 있는 링커 서열 (예를 들어, LA 또는 LB)의 측면에 배치된 DNA 절편 D, 한 쌍의 어닐링될 수 있는 링커 서열들 (예를 들어, LA과 LB), 또는 어닐링될 수 있는 링커 서열과 프라이머 결합 절편 (예를 들어, LA과 PB, 또는 LB과 PA) 및 한 쌍의 제한 부위들 RA 및 RB를 포함한다(도 1b). 제한 부위 RA 및 RB에서의 수많은 접합 벡터들의 제한 엔도뉴클레아제 분해는 성분들 5'-LA-D-3', 5'-D-LB-3', 5'-LA-D-LB-3', 5'-LA-D-PB-3', 또는 5'-LB-D-PA-3'을 포함하는 수많은 폴리뉴클레오타이드 성분들을 생성한다 (도 3). 본 발명의 방법에서, 어닐링될 수 있는 링커 서열들 LA 및 LB는 스플라이스 겹침 신장 접합 반응(assembly reaction) 후에, 정렬된 서열과 함께, 폴리뉴클레오타이드 성분들을 접합된(assembled) 폴리뉴클레오타이드로 접합시키는 중합효소 연쇄 반응(SOE/PCR)에 사용되는 상보적 말단을 갖는 폴리뉴클레오타이드 성분들을 제공한다.

[0095] 특히, 상기 방법들은, 그러나 이에 제한되지 않는, 단백질-코딩 서열, 리포터 유전자, 형광 표지(marker) 코딩 서열, 프로모터, 증폭자(enhancer), 종결자(terminator), 인트론, 엑손, 폴리-A 꼬리, 다수의 클로닝 부위, 핵 위치 신호(nuclear localization signal), mRNA 안정 신호(mRNA stabilization signal), 선별표지(selectable marker), 통합 부위(integration loci), 에피토프 태그(epitope tag) 코딩 서열 및 분해 신호(degradation signal)를 포함하는, 기능적인 수많은 DNA 성분들의 접합된(assembled) 폴리뉴클레오타이드로의 접합을 제공한다. 상기 방법들은, 그러나 이에 제한되지 않는 합성 유전자, 구성, 클로닝 벡터, 발현 벡터, 염색체, 게놈 통합(integration) 구성, 게놈 및 DNA 라이브러리를 포함하는, 접합된(assembled) 폴리뉴클레오타이드의 임의의 형태의 접합을 위하여 사용될 수 있다. 더욱이, 상기 방법들은 중간 생산물의 증폭 및 특성화를 할 필요 없이 단일한 반응에서 DNA 절편을 접합하는데 사용될 수 있다.

- [0096] 몇몇 실시예에서, 상기 방법들은, 1개 또는 2개의 어닐링될 수 있는 링커 서열들 LA 및/또는 LB에 의해, 또는 어닐링될 수 있는 링커 서열과 프라이머 결합 절편(예를 들어, LA과 PB 또는 LB과 PA) 측면에 배치되는, 집합 벡터(즉, 예를 들어, PCR 증폭, 화학적 합성, 기타 등등과 같이 업계에 알려진 표준 방법에 의해 수득된 DNA 절편(segment))에서 유래되지 않는 수많은 폴리뉴클레오타이드 성분들로부터 집합된(assembled) 폴리뉴클레오타이드의 집합체를 또한 제공한다. 집합 벡터로부터 유래되지 않은 폴리뉴클레오타이드 성분들은 SOE/PCR 반응 또는 집합된(assembled) 폴리뉴클레오타이드로의 집합을 위한 숙주 세포 매개 상동 재조합(homologous recombination) 이전의 단계에서 집합 반응(assembly reaction)으로 첨가될 수 있다. 따라서, 몇몇 실시예에서, 집합 방법은 (1) 1개 또는 2개의 어닐링될 수 있는 링커 서열들, 또는 어닐링될 수 있는 링커 서열과 프라이머 결합 절편을 포함하는 집합 벡터로부터 유도되고 집합 벡터들의 분해에 의해 생성된 폴리뉴클레오타이드 성분들; (2) 1개 또는 2개의 어닐링될 수 있는 링커 서열들에 의해, 또는 어닐링될 수 있는 링커 서열과 프라이머 결합 절편에 의해 측면에 배치된 벡터없는(vectorless) DNA 절편들; 및 (3) 이들의 조합;을 집합하는데 사용될 수 있다.
- [0097] 몇몇 실시예에서, 본 발명은 하나 이상의 집합된(assembled) 폴리뉴클레오타이드들로 수많은 폴리뉴클레오타이드 성분들을 집합시키는 방법을 제공하며, 상기 방법은 하기의 단계들을 포함한다:
- [0098] (a) 성분 조성물(component composition)을 생성하기 위하여 하나 이상의 제한 엔도뉴클레아제들을 사용하여 집합체 조성물을 분해하는 단계로서, 상기 집합체 조성물은 하기의 것들을 포함하며:
- [0099] (i) 각각, 원형이며, 5'에서 3'의 방향으로, 첫번째 제한 부위 RA₀, 그룹 PA로부터 선택된 임의의 프라이머 결합 절편, 그룹 D₀로부터 선택된 임의의 DNA 절편, 어닐링될 수 있는 링커 서열 LB₀ 및 두번째 제한 부위 RB₀를 포함하는, 하나 이상의 첫번째 핵산 분자;
- [0100] (ii) 각각, 원형이며, 5'에서 3'의 방향으로, 첫번째 제한 부위 RA_n, 첫번째 어닐링될 수 있는 링커 서열 LA_n, 그룹 D_n으로부터 선택된 임의의 DNA 절편, 두번째 어닐링될 수 있는 링커 서열 LB_n 및 두번째 제한 부위 RB_n를 포함하는, 하나 이상의 중간 핵산 분자(상기 n은 1부터 중간 핵산 분자의 개수까지의 정수를 나타냄); 및
- [0101] (iii) 각각, 원형이며, 5'에서 3'의 방향으로, 첫번째 제한 부위 RA_m, 어닐링될 수 있는 링커 서열 LA_m, 그룹 D_m으로부터 선택된 DNA 절편, 그룹 PB로부터 선택된 임의의 프라이머 결합 절편 및 두번째 제한 부위 RB_m를 포함하는, 하나 이상의 마지막 핵산 분자(상기 m은 중간 핵산 분자의 개수보다 큰 정수를 나타냄); 여기에서, 제한 부위 RA₀에서 RB_m까지의 절단 및 결과물 선형 핵산 분자의 변성에 있어서, 각각의 어닐링될 수 있는 링커 서열 LB_(p-1)은 어닐링될 수 있는 링커 서열 LA_p의 상보적 서열(complement)에 하이브리드할 수 있으며, 상기 n은 1부터 (m-1)까지 변하는 정수이며, 상기 p는 1부터 m까지의 정수를 나타내며, 상기 각각의 그룹 D₀, ..., D_n, ..., 및 D_m,는 하나 이상의 DNA 절편(segment)으로 구성되며;
- [0102] 여기에서, 상기 하나 이상의 제한 엔도뉴클레아제들은 제한 부위 RA₀부터 RB_m까지를 절단할 수 있으며; 및
- [0103] (b) 핵산 분자의 변성, 어닐링될 수 있는 링커 서열 LA_p에 대한 어닐링될 수 있는 링커 서열 LB_(p-1)의 어닐링 및 이들로부터의 신장에 적절한 조건하에서, 성분 조성물(component composition)을 DNA 폴리머라제, 데옥시리보뉴클레오사이드 트리포스페이트, 하나 이상의 제 1 프라이머들 및 하나 이상의 제 2 프라이머들과 접촉시키는 단계; 상기 각각의 제 1 프라이머는 그룹 PA로부터 선택된 상기 프라이머 결합 절편(segment) 중 하나에 하이브리드할 수 있으며, 상기 각각의 제 2 프라이머는 그룹 PB로부터 선택된 상기 프라이머 결합 절편(segment) 중 하나에 하이브리드할 수 있으며; 및 상기 성분 조성물(component composition)을 중합효소 연쇄 반응시키는 단계,
- [0104] 상기 폴리뉴클레오타이드는 5'에서 3'의 방향으로, 그룹 D₀, ..., D_n, ..., 및 D_m의 각각으로부터 선택된 하나의 DNA 절편을 포함하여 집합된다. 상기 방법에서, p는 1부터 m까지의 정수를 나타낸다.
- [0105] 도 3은 예시적인 목적으로, 본 발명의 집합 방법의 일 실시예를 나타낸다. 상기 예시에서, 총 4개의 폴리뉴클레오타이드 성분들은 집합되어(assembled) 집합된(assembled) 폴리뉴클레오타이드를 생산하였다. 그러나, 본 발명의 집합 방법은 임의의 개수의 폴리뉴클레오타이드 성분들을 하나 이상의 집합된(assembled) 폴리뉴클레오타이드로 집합하는데 사용될 수 있다. 몇몇 실시예에서, 본 발명의 상기 방법은 2개, 3개, 4개, 5개, 6개, 7개, 8개, 9개, 10개, 11개, 12개, 13개, 14개, 15개, 또는 그 이상의 폴리뉴클레오타이드 성분들이 하나 이상의 집

합된(assembled) 폴리뉴클레오타이드로 집합된 집합체를 형성한다.

[0106] 도 3에 나타낸 실시예에서, 집합된(assembled) 폴리뉴클레오타이드를 형성하는 집합체 조성물은 "첫번째", "중간 1 (int₁)", "중간 2 (int₂)" 및 "마지막"으로 표시한, 4개의 인풋(input) 집합체들을 포함한다. 각각의 집합 백터는 어닐링될 수 있는 링커 서열과 프라이머 결합 절편에 의하거나, 2개의 어닐링될 수 있는 링커 서열들 측면에 배치된 DNA 절편을 포함한다. 특히, DNA 절편 D₀는 5' 프라이머 결합 절편 PA와 3' 어닐링될 수 있는 링커 서열 LB₀에 의해 측면에 배치된다. DNA 절편 D₁은 5' 및 3' 어닐링될 수 있는 링커 서열들 LA₁ 및 LB₁의 측면에 배치되며, DNA 절편 D₂는 5' 및 3' 어닐링될 수 있는 링커 서열들 LA₂ 및 LB₂에 의해 측면에 배치된다. DNA 절편 D₃은 3' 프라이머 결합 절편 PB와 5' 어닐링될 수 있는 링커 서열 LA₃의 측면에 배치된다. 집합 백터들 내 5'-PA-D-LB-3', 5'-LA-D-LB-3', 또는 5'-LA-D-PB-3' 성분들은 SapI 제한 엔도뉴클레아제 부위의 측면에 더 배치된다.

[0107] 도 3에 나타낸 집합 반응(assembly reaction)의 첫번째 단계에서, 집합체 조성물은 SapI에 의해 분해되어, 집합 백터 골격으로부터 5'-PA-D-LB-3', 5'-LA-D-LB-3' 또는 5'-LA-D-PB-3'를 포함하는 폴리뉴클레오타이드 성분들을 성분 조성물(component composition)로의 절단을 유발한다. SapI는 IIS형 제한 엔도뉴클레아제이기 때문에, SapI의 인지 부위는 SapI의 절단 부위에서 멀고, 절단은 SapI의 인식서열(recognition sequence)의 바깥쪽에서 일어난다. 제한-부위 자국(scar)을 포함하지 않으며, 만약 그렇지 않으면 비-IIS형 제한 엔도뉴클레아제를 사용하여 제한 부위 RA 및 RB의 절단을 유발할 수 있는, 폴리뉴클레오타이드들이 집합될 수 있기 때문에, 상기 특성은 IIS형 제한 엔도뉴클레아제들을 본 발명의 방법에 따른 폴리뉴클레오타이드의 집합체에 특히 유용하게 만든다. 도 2와 관련하여, IIS형 인지 부위는 절단 부위 RB₀, RA_n 및 RA_m의 각각의 RA₀, RA_n 및 RA_m 및 3'에 대응되는 절단 부위의 5'이다. 따라서, 제한 부위 RA₀부터 RB_m까지는, RA₀부터 RB_m까지 절단할 수 있는 하나 이상의 IIS형 제한 엔도뉴클레아제들에 의한 절단이, D₀로부터의 RA₀ 분리, RB₀로부터의 LB₀ 분리, LA_n로부터의 RA_n 분리, RM_n로부터의 LB_n 분리, LA_m로부터의 RA_m 분리 및 RB_m로부터의 D_m 분리를 유발하도록 지향되며, 상기 결과물인 D₀, LB₀, RA_n, LB_n, LA_m 또는 D_m를 포함하는 선형의 핵산 분자는 RA₀부터 RB_m까지의 임의의 것을 포함하지 않는다. 그 결과, 결과물 폴리뉴클레오타이드 성분들은 제한효소의 인지 또는 절단 부위를 적은 양이라도 포함하지 않는다. 그 결과, 독창적인 폴리뉴클레오타이드 집합 방법은 유전적 불안정성을 일으킬 수 있는 서열 반복의 유도 없이 숙주 세포들을 여러번 형질 변환하는데 사용될 수 있다.

[0108] 따라서, 제한 엔도뉴클레아제는 선택적으로 불활성화된다. 만약 불활성화가 요구된다면, 컬럼 또는 겔-기반 정제 방법을 포함하는, 엔도뉴클레아제 효소 활성을 불활성화하는 업계에 알려진 임의의 방법이 사용될 수 있다. 하나의 편리한 방법은 열 불활성화(heat inactivation), 예를 들어, 20분 동안 65°C에서의 열 불활성화이며, 상기 방법은 반응 튜브 바깥의 성분 조성물(component composition)들의 적은 증폭을 필요로 하거나 증폭을 전혀 필요로 하지 않는다.

[0109] 집합된(assembled) 폴리뉴클레오타이드로 삽입된 폴리뉴클레오타이드 성분들의 집합체는 폴리뉴클레오타이드 성분들 중에서 상보적인 말단의 중복되는 가닥들에 의해 형성된 두 가닥의(duplex) 서열들에 의해 이루어질 수 있다. 특히, 어닐링될 수 있는 링커 서열들이 고안되어, 어닐링될 수 있는 링커 서열 LB₀는 어닐링될 수 있는 링커 서열 LA₁의 상보적 서열(complement)에 하이브리드될 수 있으며, 어닐링될 수 있는 링커 서열 LB₁은 어닐링될 수 있는 링커 서열 LA₂의 상보적 서열(complement)에 하이브리드할 수 있으며, 어닐링될 수 있는 링커 서열 LB₂는 어닐링될 수 있는 링커 서열 LA₃의 상보적 서열(complement)에 하이브리드할 수 있다. 따라서, 집합 반응(assembly reaction)의 두번째 단계에서, 폴리뉴클레오타이드 성분들은 변성 조건(예를 들어, 열)에서 단일 가닥의 폴리뉴클레오타이드 성분들을 형성하며, 상기 집합 반응(assembly reaction)의 변성 단계와 함께, 또는 그 후에 생긴 부수물이 내열성의 DNA 폴리머라제 및 테옥시리보뉴클레오사이드 트리포스페이트와 접촉된다.

[0110] 내열성의 DNA 폴리머라제는 당업자에 의해 적당한 것으로 여겨지는 임의의 내열성의 DNA 폴리머라제일 수 있다. 본 발명의 방법의 사용에 적당한 내열성의 DNA 폴리머라제들은, 그러나 이에 제한되지 않는, *Thermus thermophilus* (Tth) DNA 폴리머라제, *Thermus aquaticus* (Taq) DNA 폴리머라제, *Thermotoga neopolitana* (Tne) DNA 폴리머라제, *Thermotoga maritima* (Tma) DNA 폴리머라제, *Therm° C° Ccus litoralis* (Tli 또는 VENT™) DNA 폴리머라제, *Pyr° C° Ccus furiosus* (Pfu 또는 DEEPVENT™) DNA 폴리머라제, *Pyr C Ccus woosii* (Pwo) DNA 폴리머라제, *Bacillus stearothermophilus* (Bst) DNA 폴리머라제, *Sulfolobus acid° Caldarius* (SAC) DNA

폴리머라제, *Thermoplasma acidophilum* (Tac) DNA 폴리머라제, *Thermus flavus* (Tf1/Tub) DNA 폴리머라제, *Thermus ruber* (Tru) DNA 폴리머라제, *Thermus br^o Ckianus* (DYNAZYME™) DNA 폴리머라제, *Methanobacterium ruminantium* (Mth) DNA 폴리머라제 및 이의 돌연변이, 변종 및 유도체를 포함한다. 높은 복제성(예를 들어, 프루프리딩 물성)과 낮은 오류율을 갖는 내열성의 DNA 폴리머라제들이 바람직하다. 몇몇 실시예에서, DNA 폴리머라제는 Phusion™ DNA 폴리머라제 (New England Biolabs, Ipswich, MA)이다. 다른 실시예에서, DNA 폴리머라제는 PfUUltra™ II Fusion DNA 폴리머라제 (Stratagene / Agilent, La Jolla, CA)이다.

[0111] 그 후, 내열성의 DNA 폴리머라제가, 겹치는 어닐링될 수 있는 링커 서열들 사이의 부분들을 채우는 동안, 집합반응(assembly reaction)은 겹치는 어닐링될 수 있는 링커 서열들의 3'-히드록시 부분으로부터 가닥의 신장(strand elongation)을 허용하는 조건에 둔다. 상당한 양의 이중-가닥 집합된(assembled) 폴리뉴클레오타이드들이 형성되는 동안, 상기 집합반응(assembly reaction)은 변성 / 어닐링 / 신장의 제한된 수의 반복 사이클(예를 들어, 5 내지 15 사이클)을 겪게 된다. 상기 사이클이 일어나는 동안, 폴리뉴클레오타이드 성분들은 프라이머와 주형(template)으로 작용하여 집합된(assembled) 폴리뉴클레오타이드에 대하여 완전한 길이의 주형(template)을 형성한다. 몇몇 실시예에서, PCR의 어닐링 및 신장은 모두 72°C에서 실시된다.

[0112] 어닐링될 수 있는 링커 서열들 LA 및 LB과 반대로, 프라이머 결합 절편(segment) PA 및 PB는 서로 겹치지 않거나, 어닐링될 수 있는 링커 서열들 또는 DNA 절편(segment)과 겹치지 않도록 만들어지거나, 완전한 길이의 집합된(assembled) 폴리뉴클레오타이드를 증폭하는데 사용된 프라이머들에 대한 결합 부위로 역할을 한다. 따라서, 집합반응(assembly reaction)의 4 단계 및 5 단계에서, 프라이머 결합 절편(segment)들 PA 및 PB에 상보적인 프라이머들이 첨가되어, 조성물은 종래의 PCR 증폭 조건을 겪게 된다. PCR 증폭 조건은 당업자에 의해 적당한 것으로 여겨지는 임의의 PCR 증폭 조건일 수 있으며, 이러한 조건은 *PCR Technology: Principles and Applications for DNA Amplification*, ed. HA Erlich, Stockton Press, New York, N.Y. (1989); *PCR Prot° Cols: A Guide to Methods and Applications*, eds. Innis, Gelfland, Sninsky, and White, Academic Press, San Diego, Calif. (1990); Mattila et al. (1991) *Nucleic acids Res.* 19: 4967; Eckert, K. A. and Kunkel, T. A. (1991) *PCR Methods and Applications* 1 : 17; 및 미국 특허등록 제 4,683,202호 및 제 4,965,188호에 제시된 조건들을 포함하며, 이들은 각각 인용에 의해 본원에 통합된다. 몇몇 실시예에서, 집합반응(assembly reaction)의 PCR 단계는 결합 절편(segment)들 PA 및 PB에 결합하는 프라이머에 상보적인 프라이머의 존재시에, 약 35 사이클의 변성, 어닐링 및 신장을 포함한다. 몇몇 실시예에서, PCR의 어닐링 및 신장 단계는 모두 72°C에서 실행될 수 있다. 그러나, 성공적인 증폭을 위한 선택적 조건은 내열성의 DNA 폴리머라제와 사용된 어닐링될 수 있는 링커 서열들에 따라 다르며, 따라서 이러한 조건들은 조정될 수 있다는 것을 당업자는 이해할 것이다.

[0113] 선택적으로, 집합된(assembled) 폴리뉴클레오타이드는 당업자에게 명백한 임의의 기술, 예를 들어, 젤 전기영동 정제 방법에 의해 정제될 수 있으며, 다양한 목적으로 사용된다. 예를 들어, 집합된(assembled) 폴리뉴클레오타이드는 서열 겹침을 위한 발현 벡터 골격으로 삽입될 수 있다.

3. 집합된(assembled) 폴리뉴클레오타이드들을 포함하는 숙주 세포들을 제조하는 방법

[0115] 다른 측면에서, 본 발명은 집합된(assembled) 폴리뉴클레오타이드들을 포함하는 숙주 세포들을 제조하는 방법을 제공한다. 몇몇 실시예에서, 집합된(assembled) 폴리뉴클레오타이드는 적어도 3 kb의 크기이다. 다른 실시예에서, 집합된(assembled) 폴리뉴클레오타이드는 적어도 5 kb의 크기이다. 또 다른 실시예에서, 집합된(assembled) 폴리뉴클레오타이드는 적어도 6, 7, 8, 9 또는 10 kb의 크기이다. 또 다른 실시예에서, 집합된(assembled) 폴리뉴클레오타이드는 10 kb를 초과하는 크기이다. 또 다른 실시예에서, 집합된(assembled) 폴리뉴클레오타이드는 15 kb를 초과하는 크기이다. 또 다른 실시예에서, 집합된(assembled) 폴리뉴클레오타이드는 20 kb를 초과하는 크기이다.

[0116] 몇몇 실시예에서, 본 발명은 본원에 제시된 폴리뉴클레오타이드의 집합 방법에 의해 제조된 집합된(assembled) 폴리뉴클레오타이드로 숙주 세포를 형질 변환하는 것을 포함하는 방법을 제공한다. 집합된(assembled) 폴리뉴클레오타이드는 형질 변환 전에 원형으로 만들어질 수 있거나, 선형 분자로서 형질 변환될 수 있다. 집합된(assembled) 폴리뉴클레오타이드는 염색체 외의(extrachromosomal) 폴리뉴클레오타이드로서 숙주 세포에서 유지될 수 있다. 선택적으로, 집합된(assembled) 폴리뉴클레오타이드는, 예를 들어, 숙주 세포 매개 상동 재조합(homologous recombination)에 의해, 숙주 세포의 계놈으로 통합될 수 있다. 상동 재조합(homologous recombination)에 의해, 집합된(assembled) 폴리뉴클레오타이드를 계놈으로 통합하기 위하여, 집합된(assembled) 폴리뉴클레오타이드는, 한쪽 말단에서 업스트림 계놈 타겟팅(targeting) 서열을 포함하는 핵산 서

열을 포함하며, 다른 쪽 말단에서 다운스트림 게놈 타겟팅(targeting) 서열을 포함하는 핵산 서열을 포함한다. 따라서, 숙주 세포의 염색체로 통합되는 집합된(assembled) 폴리뉴클레오타이드는 업스트림 염색체의 타겟팅(targeting) 서열을 포함하는 첫번째 핵산 분자;와 다운스트림 염색체의 타겟팅(targeting) 서열을 포함하는 마지막 핵산 분자;를 포함하는 집합체 조성물로부터 형성되며, 각각의 염색체의 타겟팅(targeting) 서열은 상기 염색체를 갖는 숙주 세포에 의해 상동 재조합(homologous recombination)을 개시할 수 있는 충분한 길이를 갖는다.

[0117]

다른 실시예에서, 본 발명의 방법들은 본원에 제시된 폴리뉴클레오타이드 집합 방법에 의해 제조된 수많은 집합된(assembled) 폴리뉴클레오타이드들로 숙주 세포를 형질 변환하는 것을 포함한다. 특정 실시예에서, 숙주 세포는 2개 이상의 집합된(assembled) 폴리뉴클레오타이드들을 상동 재조합(homologous recombination)에 의해 단일 결합된 폴리뉴클레오타이드와 결합시킨다. 결합된(combined) 폴리뉴클레오타이드들을 포함하는 숙주 세포 형질 변환체들은 집합된(assembled) 폴리뉴클레오타이드들을 결합시키는 과정에서 제조된 선별표지(selectable marker)를 표시함으로써 선택된다. 상동 재조합(homologous recombination)에 의해, 상대적으로 큰 조각의 폴리뉴클레오타이드를 타겟 폴리뉴클레오타이드에 삽입하는데 상기 방법이 특히 유용하다. 염색체의 통합(integration)이 발생하기 위하여, 결합된 폴리뉴클레오타이드는 선별표지(selectable marker)의 코딩 서열의 5' 또는 3'에 위치한 업스트림 게놈 타겟팅(targeting) 서열과 선별표지(selectable marker)의 코딩 서열의 3' 또는 5'에 위치한 다운스트림 게놈 타겟팅(targeting) 서열을, 각각 포함하여야 한다. 본원에서 사용된 게놈 통합(integration)은 염색체의 통합(integration), 예를 들어, 숙주 세포의 염색체로의 폴리뉴클레오타이드의 통합을 포함한다. *Saccharomyces cerevisiae* 내 적당한 염색체의 통합(integration) 부위는, 그러나 이에 제한되지 않는, *NDT80*, *HO*, *GAL2* 및 *GAL1-GAL10-GAL7* 위치를 포함한다. 상기 방법은, 염색체 외로(extrachromosomally) 유지된 폴리뉴클레오타이드, 예를 들어, 벡터 및 발현 플라즈미드를 포함하는 숙주 세포를 제조하는데 유용할 수 있다. 결합된(combined) 폴리뉴클레오타이드가, 동일한 어닐링될 수 있는 링커 서열들이나, 그 외에는 폴리뉴클레오타이드 성분의 절편(segment)의 절단을 유발하는 추가적인 상동 재조합(homologous recombination) 이벤트를 개시할 수 있는 직접적 반복으로 배열된 DNA 절편(segment)을 포함하지 않을 때, 염색체로 통합되거나 염색체 외로(extrachromosomally) 유지된 결합된(combined) 폴리뉴클레오타이드의 안정성이 상승한다. 따라서, 몇몇 실시예에서, 집합된(assembled) 폴리뉴클레오타이드들은 특유의 어닐링될 수 있는 링커 서열들 및 DNA 절편(segment)을 포함한다. 다른 실시예에서, 집합된(assembled) 폴리뉴클레오타이드들은 하나 이상의 동일한 어닐링될 수 있는 링커 서열 또는 DNA 절편(segment)을 포함하며, 여기에서 집합된(assembled) 폴리뉴클레오타이드들의 조합은 결합된(combined) 폴리뉴클레오타이드에서 역반복(inverted repeat)으로 배열된다.

[0118]

예시적인 결합된(combined) 폴리뉴클레오타이드의 제조와, 상동 재조합(homologous recombination)에 의한, 결합된(combined) 폴리뉴클레오타이드의 숙주 세포의 염색체로의 통합(integration)은 도 8에 나타나 있다. 2개의 집합된(assembled) 폴리뉴클레오타이드들 A 및 B는 상동 재조합(homologous recombination)을 할 수 있는 숙주 세포에 흡수된다. 각각의 집합된(assembled) 폴리뉴클레오타이드는 선별표지(selectable marker)의 절편을 코딩하는 DNA 절편 D_m 을 포함하며, 여기에서, 집합된(assembled) 폴리뉴클레오타이드 A의 DNA 절편 D_{m1} 은 선별표지(selectable marker)의 첫번째 절편을 코딩하며, 집합된(assembled) 폴리뉴클레오타이드 B의 DNA 절편 D_{m2} 는 선별표지(selectable marker)의 두번째 절편을 코딩하며, 여기에서, DNA 절편 D_{m1} 및 DNA 절편 D_{m2} 는 숙주 세포 매개 상동 재조합(homologous recombination)을 개시하는데 충분한 상동(homology) 영역을 포함하며, 여기에서, DNA 절편 D_{m1} 또는 DNA 절편 D_{m2} 중 그 어느 것도 기능적인 선별표지(selectable marker)를 생산하지 않지만, 숙주 세포에 의한 상동 재조합(homologous recombination)에서 기능적인 선별표지(selectable marker)가 형성된다. 각각의 집합된(assembled) 폴리뉴클레오타이드는 숙주 매개 상동 재조합(homologous recombination)을 개시하는데 충분한 길이의 염색체의 타겟팅(targeting) 서열을 코딩하는 DNA 절편 D_0 를 더 포함하며, 여기에서 집합된(assembled) 폴리뉴클레오타이드 A의 DNA 절편 D_{01} 은 업스트림 염색체의 타겟팅(targeting) 서열을 코딩하며, 집합된(assembled) 폴리뉴클레오타이드 B의 DNA 절편 D_{02} 는 다운스트림 염색체의 타겟팅(targeting) 서열을 코딩한다. 세포 내에서 한번, 숙주 세포는, 결합된(combined) 폴리뉴클레오타이드를 형성하기 위하여 DNA 절편(segment) D_{m1} 및 D_{m2} 내 상동(homology) 영역에서, 집합된(assembled) 폴리뉴클레오타이드 A와 집합된(assembled) 폴리뉴클레오타이드 B를 재결합시킨다. 또한, 숙주 세포는 상동 재조합(homologous recombination)에 의해 결합된(combined) 폴리뉴클레오타이드를 염색체로 삽입하기 위하여, DNA 절편(segment) D_{01} 및 D_{02} 에 의해 코딩된 염색체의 타겟팅(targeting) 서열들을 사용한다. 결합된(combined) 폴리뉴클레오타이

드를 포함하는 숙주 세포들은 형성된 기능적 선별표지(selectable marker)에 기반하여 용이하게 식별될 수 있다.

[0119] 또 다른 실시예에서, 본 발명의 방법들은 수많은 폴리뉴클레오타이드 성분들로 숙주 세포를 형질 변환하는 것과, 숙주 세포가 상동 재조합(homologous recombination)에 의해 하나 이상의 집합된(assembled) 폴리뉴클레오타이드들을 형성하는 것을 포함한다. 집합된(assembled) 폴리뉴클레오타이드는 숙주 세포에서 염색체 외로(extrachromosomally) 유지될 수 있거나 숙주 세포의 염색체로 통합될 수 있다. 숙주 세포에서 상동 재조합(homologous recombination)에 의한 예시적인 집합된(assembled) 폴리뉴클레오타이드의 형성과, 집합된(assembled) 폴리뉴클레오타이드를 숙주 세포의 염색체로의 통합(integration)은 도 9에 나타나 있다. 첫번째 단계에서, 집합 벡터들을 포함하는 집합체 조성물은 SapI 또는 LguI와 같은 IIS형 제한 엔도뉴클레아제에 의해 분해되어, 폴리뉴클레오타이드 성분들의 집합 벡터 골격으로부터의 절단을 유발한다. 상기 실시예에서, D₀ 및 D₃은 업스트림 및 다운스트림 염색체의 타겟팅(targeting) 서열이 될 수 있으며, 이 경우에 첫번째 및 마지막 집합 벡터 내의 프라이머 결합 절편의 존재는 선택적이다. 선택적으로, 2개의 프라이머 결합 절편(segment)은 업스트림 및 다운스트림 계놈 타겟팅(targeting) 서열들로서 기능할 수 있다.

[0120] 일단 절단되면, 각각의 절단된 폴리뉴클레오타이드 성분은 다른 폴리뉴클레오타이드 성분의 어닐링될 수 있는 링커 서열 LA에 상동이고, 숙주 매개 상동 재조합(homologous recombination)을 개시하는데 충분한 길이의 어닐링될 수 있는 링커 서열 LB를 포함한다. 첫번째 집합 벡터로부터 절단된 폴리뉴클레오타이드 성분은 업스트림 염색체의 타겟팅(targeting) 서열을 더 포함하며, 마지막 집합 벡터로부터 절단된 폴리뉴클레오타이드 성분은 다운스트림 염색체의 타겟팅(targeting) 서열을 더 포함하며, 여기에서 상기 2개의 염색체의 타겟팅(targeting) 서열들 모두 숙주 세포의 염색체를 갖는, 숙주 매개 상동 재조합(homologous recombination)을 개시하는데 충분한 길이이다. 따라서 제한 엔도뉴클레아제는 불활성화될 수 있다. 상기 방법의 두번째 단계에서, 성분들 조성물은 상동 재조합(homologous recombination)을 할 수 있는 숙주 세포로 도입된다. 세포 내에서 한번, 숙주 세포는 집합된(assembled) 폴리뉴클레오타이드를 형성하기 위하여 어닐링될 수 있는 링커 서열들 사이의 상동(homology) 영역에서 폴리뉴클레오타이드 성분들을 재결합시키며, 집합된(assembled) 폴리뉴클레오타이드는 염색체로 통합된다. 집합된(assembled) 폴리뉴클레오타이드를 포함하는 숙주 세포들은 집합된(assembled) 폴리뉴클레오타이드의 DNA 절편에 의해 코딩된 선별표지(selectable marker)에 기반하여 용이하게 식별될 수 있다.

[0121] 임의의 숙주 세포는 본원에 제시된 발법들에 사용될 수 있다. 특정 실시예에서, 적당한 숙주 세포들은, 본원에서 제공된 선별표지(selectable marker) 절편(segment), 계놈 타겟팅(targeting) 서열들 및 어닐링될 수 있는 링커 서열들에 의해 제공된 바와 같은, 상보적인 서열 스트레치(stretch)에 기반한 폴리뉴클레오타이드들을 재결합시킬 수 있는 숙주 세포들이다. 예시적인 실시예의 상기와 같은 숙주 세포들은, 그러나 이에 제한되지 않는, *Saccharomyces cerevisiae*를 포함한다. 그러한 숙주 세포들에 의한 DNA의 흡수에 적당한 조건은 업계에 잘 알려져 있다.

[0122] 집합된(assembled) 또는 결합된(combined) 폴리뉴클레오타이드를 포함하는 숙주 세포 형질변환체는, 세포 성장을 위하여, 세포 성장에 대항하는 선택을 허용하는, 집합된(assembled) 폴리뉴클레오타이드에 의하거나, 결합된(combined) 폴리뉴클레오타이드에 의해 코딩된 선별표지(selectable marker)의 표현에 의해 용이하게 식별될 수 있다. 선별표지(selectable marker)는 집합체 조성물의 집합 벡터에 존재하는 단일 DNA 절편에 의해 코딩될 수 있다. 선택적으로, 선별표지(selectable marker)의 비기능적 절편(segment)은 집합체 조성물의 다수의 집합 벡터들 내 또는 다수의 집합된(assembled) 폴리뉴클레오타이드들에 존재하는 DNA 절편(segment)에 의해 코딩될 수 있어서, 기능적 선별표지(selectable marker)는 집합된(assembled) 폴리뉴클레오타이드의 형성 또는 결합된(combined) 폴리뉴클레오타이드의 형성시에만 각각 제조된다.

[0123] 다양한 선별표지(selectable marker)가 업계에 알려져 있다 (예를 들어, 하기의 것들을 참조 : Kaufman, *Meth. Enzymol.*, 185:487 (1990); Kaufman, *Meth. Enzymol.*, 185:537 (1990); Srivastava and Schlessinger, *Gene*, 103:53 (1991); Romanos *et al.*, in *DNA Cloning 2: Expression Systems*, 2nd Edition, pages 123-167 (IRL Press 1995); Markie, *Methods Mol. Biol.*, 54:359 (1996); Pfeifer *et al.*, *Gene*, 188:183 (1997); Tucker and Burke, *Gene*, 199:25 (1997); Hashida-Okado *et al.*, *FEBS Letters*, 425:117 (1998)). 몇몇 실시예에서, 선별표지(selectable marker)는 약물 저항 표지(drug resistant marker)이다. 상기 약물 저항 표지는, 만약 독성을 제거하지 않으면 세포를 죽이는 외인성(exogenous) 약물의 독성을 제거할 수 있게 한다. 약물 저항 표지의 예시적인 실시예는, 그러나 이에 제한되지 않는, 앰피실린, 테트라사이클린, 카나마이신, 블레오마이신, 스트렙토마이신, 하이그로마이신(hygromycin), 네오마이신, Zeocin™, 기타 등등과 같은 항생제에 대한 저항성을 부여

하는 것들을 포함한다. 다른 실시예에서, 선별표지(selectable marker)는 영양요구 표지(auxotrophic marker)이다. 영양요구 표지는 필수 성분(통상적으로 아미노산)이 부족한 배지에서 세포가 성장하는 동안, 상기 필수 성분을 합성할 수 있게 한다. 선택가능한 영양요구 유전자 서열들은, 예를 들어, 히스티динol(histidinol)의 존재하에 히스티딘이 없는 배지에서 성장할 수 있게 하는, hisD을 포함한다. 기타 선별표지(selectable marker)는 블레오마이신-저항 유전자, 메탈로티오네인(metallothionein) 유전자, 하이그로마이신(hygromycin) B-포스포트랜스페라제 유전자, AURI 유전자, 아데노신 디아미나아제 유전자, 아미노글리코시드 포스포트랜스페라제 유전자, 디하이드로폴레이트 리덕타아제(dihydrofolate reductase) 유전자, 티미딘 키나아제 유전자, 잔틴-구아닌 포스포리보실트랜스페라제(phosphoribosyltransferase) 유전자, 기타 등을 포함한다.

[0124] 집합된(assembled) 또는 결합된(combined) 폴리뉴클레오타이드의 통합(integration)이, 숙주 세포가 세포 성장에 필요한 성분을 합성하여, 세포를 영양요구성(auxotrophic)이 되도록 요구하는 유전자의 붕괴를 유발할 때, 영양요구성(auxotrophy)은 염색체로 통합된, 집합되거나(assembled) 또는 결합된(combined) 폴리뉴클레오타이드를 포함하는 숙주 세포 형질변환체를 식별하는데 또한 사용될 수 있다.

[0125] 염색체적으로 통합된, 집합되거나(assembled) 결합된(combined) 폴리뉴클레오타이드를 포함하는 숙주 세포 형질변환체는 각각의 DNA 절편(segment)에 의해 코딩된 기타 소질(trait)을 발휘하는 숙주 세포 형질변환체를 선택하거나, DNA 절편(segment)의 조합, 예를 들어, 빛을 방출하는 웨타이드들의 발현에 의하거나, 각각의 숙주 세포 클로니의 분자 분석에 의하거나, 예를 들어, 제한효소 매핑(mapping), PCR 증폭, 또는 분리된 집합된(assembled) 폴리뉴클레오타이드들 또는 염색체의 통합(integration) 부위의 서열 분석에 의해 또한 식별될 수 있다.

4 폴리뉴클레오타이드 집합체의 조합 방법과 숙주 세포 형성

[0126] 다른 측면에서, 본 발명은 다수의 폴리뉴클레오타이드 성분들을 수많은 집합된(assembled) 폴리뉴클레오타이드들에 삽입한 정렬된 집합체에 대한 빠르고, 강건하며 높은 생산량의(high-throughput) 방법들을 제공한다. 상기 방법들은 집합 벡터들을 포함하는 집합체 조성물의 사용에 의존하며, 각각의 집합 벡터는, 어닐링될 수 있는 링커 서열 LA 또는 LB, 한 쌍의 어닐링될 수 있는 링커 서열들 LA 및 LB의 측면에 배치되거나, 한 쌍의 제한 부위들 RA 및 RB의 측면에 배치된, 어닐링될 수 있는 링커 서열과 프라이머 결합 절편, 예를 들어, LA와 PB, 또는 LB와 PA(도 1b)의 측면에 배치된, DNA 절편 D를 포함한다. 그러나, 본원에 제시된 방법들을 사용하는 다양한 집합된(assembled) 폴리뉴클레오타이드들을 형성하기 위하여, 어닐링될 수 있는 링커 서열들과 프라이머 결합 절편(segment)이 선택되어 폴리뉴클레오타이드 성분들의 하나 이상의 조합은 반응에서 집합된(assembled) 폴리뉴클레오타이드로 집합될 수 있다. 따라서, 몇몇 실시예에서, 집합체 조성물은, 동일한 어닐링될 수 있는 링커 서열 LA 또는 LB, 또는 동일한 프라이머 결합 절편 PA 또는 PB를 갖지만, DNA 절편과 다른, 적어도 2개의 집합 벡터들을 포함한다. 또 다른 실시예에서, 집합체 조성물은, 동일한 한 쌍의 어닐링될 수 있는 링커 서열들 LA 및 LB, 또는 동일한 어닐링될 수 있는 링커 서열과 프라이머 결합 절편 쌍, 예를 들어, LA 및 PB, 또는 LB 및 PA를 갖지만 DNA 절편과 다른, 적어도 2개의 집합 벡터들을 포함한다.

[0127] 도 10은 동일한 반응에서 7개의 폴리뉴클레오타이드 성분들로부터 수많은 집합된(assembled) 폴리뉴클레오타이드들을 형성하는 예시적인 방법을 나타낸다. 집합된(assembled) DNA 절편(segment)을 포함하는 집합 벡터들을 단일 튜브에 넣고 SapI로 분해하여 집합 벡터 골격들로부터 폴리뉴클레오타이드 절편 성분들을 방출한다. SapI의 열 불활성화 후에, 폴리뉴클레오타이드 성분들을 변성 상태에 둔 후, 상보적인 어닐링될 수 있는 링커(annealable linker) 쌍의 하이브리드화에 충분한 어닐링 조건에 둔다. DNA 폴리머라제 및 dNTP들의 존재하에 프라이머 신장을 한 후, 프라이머 결합 절편들(segment) PA 및 PB에 상보적인 프라이머들을 다양한 가능한 조합으로 집합된 DNA 절편(segment) D_{01/02}, D_{1/2}, D₃ 및 D_{41/42}를 포함하는 8개의 서로 다른 완전한 길이의 집합된(assembled) 폴리뉴클레오타이드들을 PCR 증폭하기 위하여 첨가한다. 각각의 집합된(assembled) 폴리뉴클레오타이드들은, 예를 들어, DNA 절편(segment) D₀₁, D₀₂, D₄₁ 및 D₄₂의 영역에 상보적인 프라이머들을 이용한 성공적인 PCR 증폭에 의해, 혼합된 집합된(assembled) 폴리뉴클레오타이드들의 조성물로부터 분리될 수 있다. 선택적으로, 한 세트의 집합된(assembled) 폴리뉴클레오타이드들은 프라이머 결합 절편(segment) PA 및/또는 PB의 그룹의 하나를 포함하고, 프라이머 결합 절편(segment) PA 및 PB의 선택적인 서브그룹과 하이브리드하는 PCR 증폭용 프라이머를 사용하는, 첫번째 및 마지막 집합 벡터들에 의해 분리될 수 있다. 분리된 집합된(assembled) 폴리뉴클레오타이드들은, 예를 들어, 집합된(assembled) 폴리뉴클레오타이드들을 포함하는 수많은 숙주 세포들을 형성하기 위하여 숙주 세포들을 형질 변환하는데 사용될 수 있다. 선택적으로, 숙주 세포들은 혼합된 집합된

(assembled) 폴리뉴클레오타이드들과 숙주 세포 형질변환체의 조성물로 직접적으로 형질전환될 수 있으며, 각각의 집합된(assembled) 폴리뉴클레오타이드는, 예를 들어, 각각의 숙주 세포 콜로니의 분자 분석에 의하거나, 선별표지(selectable marker)를 포함하거나 각각의 DNA 절편(segment) 또는 DNA 절편(segment)의 조합에 의해 코딩된 기타 소질(trait)을 나타내는 숙주 세포 형질변환체를 선택함으로써, 분리될 수 있다.

[0129] 다른 실시예에서, 조합 방법에 의해 집합된(assembled) 수많은 폴리뉴클레오타이드들을 포함하는 수많은 숙주 세포들은 다수의 집합된(assembled) 폴리뉴클레오타이드들을 포함하는 조성물로 숙주 세포들을 형질전환하고, 결합된(combined) 폴리뉴클레오타이드를 포함하는 숙주 세포들을 선택함으로써 형성되며, 상기 집합된(assembled) 폴리뉴클레오타이드들의 적어도 2개의 집합된(assembled) 폴리뉴클레오타이드들은 기능적 선별표지(selectable marker)를 형성하는 상동 재조합(homologous recombination)에서 선별표지(selectable marker)의 비-기능적 절편(segment)을 포함한다. 도 11은 결합된(combined) 폴리뉴클레오타이드들을 포함하는 수많은 숙주 세포들을 형성하기 위한 조합적 접근을 나타낸다. 실시예에서, 동일한 업스트림 염색체의 타겟팅(targeting) 서열과 선별표지(selectable marker)의 동일한 첫번째 부분을 포함하는 각각의 집합된(assembled) 폴리뉴클레오타이드들 A1 및 A2, 동일한 다운스트림 염색체의 타겟팅(targeting) 서열과 선별표지(selectable marker)의 동일한 두번째 부분을 포함하는 각각의 집합된(assembled) 폴리뉴클레오타이드들 B1 및 B2는, 4개의 서로 다른 숙주 세포들을 형성하는 염색체로 삽입될 수 있는, 4개의 서로 다른 결합된(combined) 폴리뉴클레오타이드들, A1/B1, A1/B2, A2/B1 및 A2/B2를 형성하는 숙주 세포 매개 상동 재조합(homologous recombination)에 의해 조합적으로 결합된다.

[0130] 또 다른 실시예에서, 조합적 방법에 의해 집합되고(assembled) 결합된(combined) 수많은 숙주 세포들은 다수의 폴리뉴클레오타이드 성분들을 포함하는 성분 조성물(component composition)로 숙주 세포들을 형질변환하고, 집합되거나(assembled) 결합된(combined) 폴리뉴클레오타이드를 포함하는 숙주 세포들을 선택함으로써 형성되며, 상기 폴리뉴클레오타이드들 중 적어도 2개의 폴리뉴클레오타이드 성분들은, 숙주 세포 매개 상동 재조합(homologous recombination)이 기능적 선별표지(selectable marker)를 형성하는 선별표지(selectable marker)의 비-기능적 절편(segment)을 포함한다.

5 엔트리 벡터(entry vector)

[0132] 다른 측면에서, 본 발명은, 예를 들어, 집합 벡터를 제조하는데 사용될 수 있는, 엔트리 벡터(entry vector)를 제공한다. 몇몇 실시예에서, 엔트리 벡터(entry vector)는 선별표지(selectable marker), 복제의 원점(origin), 및 본원에 제공된 집합 방법에서 집합되는(assembled) 서로 다른 DNA 절편(segment)의 서브크로닝을 촉진하는 2개의 제한 부위에 의해 즉각적으로 측면에 배치되는 DNA 절편을 포함하는 원형 폴리뉴클레오타이드이다. 엔트리 벡터(entry vector)는, 제한 부위의 측면에 배치되는, 1개 또는 2개의 어닐링될 수 있는 링커 서열들, 또는 어닐링될 수 있는 링커 서열 및 프라이머 결합 절편을 더 포함한다. 엔트리 벡터(entry vector)는 DNA 절편의 측면의 바깥쪽에 위치하는, 예를 들어, 1개 또는 2개의 어닐링될 수 있는 링커 서열들, 또는 어닐링될 수 있는 링커 서열과 프라이머 결합 절편의 측면에 위치하는, 추가적 쌍의 제한 부위를 더 포함한다. 따라서, 몇몇 실시예에서, 엔트리 벡터(entry vector)는, 5'에서 3'의 방향으로, 제한 부위 RA, 어닐링될 수 있는 링커 서열 LA, 제한 부위 RY, DNA 절편 D, 제한 부위 RZ 및 제한 부위 RB를 포함하는 원형 폴리뉴클레오타이드이다. 다른 실시예에서, 엔트리 벡터(entry vector)는, 5'에서 3'의 방향으로, 제한 부위 RA, 제한 부위 RY, DNA 절편 D, 제한 부위 RZ, 어닐링될 수 있는 링커 서열 LB 및 제한 부위 RB를 포함하는 원형 폴리뉴클레오타이드이다. 다른 실시예에서, 엔트리 벡터(entry vector)는, 5'에서 3'의 방향으로, 제한 부위 RA, 프라이머 결합 절편 PA 또는 어닐링될 수 있는 링커 서열 LA, 제한 부위 RY, DNA 절편 D, 제한 부위 RZ, 프라이머 결합 절편 PB 또는 어닐링될 수 있는 링커 서열 LB 및 제한 부위 RB를 포함하는 원형 폴리뉴클레오타이드이다.

[0133] 몇몇 실시예에서, 엔트리 벡터(entry vector)의 DNA 절편 D의 서열은 lac Z 리포터 유전자(reporter gene)이다. 상기 lac Z 리포터 유전자(reporter gene)는, 예를 들어, 본원에 제시된 집합 벡터를 제조하는 동안, lac Z 외의 DNA 절편(segment)을 포함하는 벡터들로 형질변환된 콜로니의 청색/백색 선택(blue/white selection)을 촉진하는데 사용된다.

[0134] 몇몇 실시예에서, 엔트리 벡터(entry vector)는, 5'에서 3'의 방향으로, 제한 부위 RA, 어닐링될 수 있는 링커 서열 LA, 제한 부위 RY, DNA 절편 D, 제한 부위 RZ 및 제한 부위 RB (예를 들어, 5'-RA-LA-RY-D-RZ-RB-3')를 포함하는 원형 폴리뉴클레오타이드이다. 몇몇 실시예에서, 엔트리 벡터(entry vector)는, 5'에서 3'의 방향으로, 제한 부위 RA, 제한 부위 RY, DNA 절편 D, 제한 부위 RZ, 어닐링될 수 있는 링커 서열 LB 및 제한 부위 RB를 포함하는 원형 폴리뉴클레오타이드이다.

위 RB (예를 들어, 5'-RA-RY-D-RZ-LB-RB-3')를 포함하는 원형 폴리뉴클레오타이드이다. 몇몇 실시예에서, 엔트리 벡터(entry vector)는, 5'에서 3'의 방향으로, 제한 부위 RA, 어닐링될 수 있는 링커 서열 LA, 제한 부위 RY, DNA 절편 D, 제한 부위 RZ, 어닐링될 수 있는 링커 서열 LB 및 제한 부위 RB (예를 들어, 5'-RA-LA-RY-D-RZ-LB-RB-3')을 포함하는 원형 폴리뉴클레오타이드이다. 몇몇 실시예에서, 엔트리 벡터(entry vector)는, 5'에서 3'의 방향으로, 제한 부위 RA, 프라이머 결합 절편 PA, 제한 부위 RY, DNA 절편 D, 제한 부위 RZ, 어닐링될 수 있는 링커 서열 LB 및 제한 부위 RB (예를 들어, 5'-RA-PA-RY-D-RZ-LB-RB-3')를 포함하는 원형 폴리뉴클레오타이드이다. 몇몇 실시예에서, 엔트리 벡터(entry vector)는, 5'에서 3'의 방향으로, 제한 부위 RA, 어닐링될 수 있는 링커 서열 LA, 제한 부위 RY, DNA 절편 D, 제한 부위 RZ, 프라이머 결합 절편 PB 및 제한 부위 RB (예를 들어, 5'-RA-LA-RY-D-RZ-PB-RB-3')를 포함하는 원형 폴리뉴클레오타이드이다. 예시적인 엔트리 벡터(entry vector)는 도 1a에 제시하였다.

[0135] 프라이머 결합 절편은 집합된(assembled) 폴리뉴클레오타이드를 제조하는데 사용된 임의의 어닐링될 수 있는 링커 서열들과 상보적인 임의의 뉴클레오타이드 서열일 수 있다. 몇몇 실시예에서, 2개의 프라이머 결합 절편은 제한 엔도뉴클레아제 인지 및 절단 부위를 포함한다. 몇몇 실시예에서, 프라이머 결합 절편은 특정한 집합 반응(assembly reaction)에서 사용되지 않는, 단순하게 이용가능한 링커 서열 중 하나이다. 몇몇 실시예에서, 프라이머 결합 절편 PA의 핵산 서열은 서열번호 24 및 25로 구성된 군으로부터 선택된다. 몇몇 실시예에서, 프라이머 결합 절편 PB의 핵산 서열은 서열번호 24 및 25로 구성된 군으로부터 선택된다. 몇몇 실시예에서, 프라이머 결합 절편 PA 및 프라이머 결합 절편 PB의 핵산 서열들은 서열번호 24 및 25로 구성된 군으로부터 선택된다. 바람직한 실시예에서, PA와 PB는 서열에서 동일하지 않다.

[0136] 몇몇 실시예에서, 어닐링될 수 있는 링커 서열 LA 또는 LB의 핵산 서열은 적어도 24개의 뉴클레오타이드이며 적어도 60°C의 T_m을 갖는다. 몇몇 실시예에서, 어닐링될 수 있는 링커 서열 LA의 핵산 서열은 서열번호 1 내지 23으로 구성된 군으로부터 선택된다. 몇몇 실시예에서, 어닐링될 수 있는 링커 서열 LB의 핵산 서열은 서열번호 1 내지 23으로 구성된 군으로부터 선택된다. 몇몇 실시예에서, 어닐링될 수 있는 링커 서열 LA 및 어닐링될 수 있는 링커 서열 LB의 핵산 서열은 서열번호 1 내지 23으로 구성된 군으로부터 선택된다.

[0137] 제한 부위 RY 및 RZ는 집합 벡터의 형성을 위한 다양한 DNA 절편(segment)을 도입하기 위한 클로닝 부위들로서 사용될 수 있다. 몇몇 실시예에서, RY와 RZ는 서열에서 동일하지 않다. 몇몇 실시예에서, RY와 RZ는 동일한 제한 엔도뉴클레아제에 의해 절단될 수 있다. 몇몇 실시예에서, RY와 RZ는 서열에서 동일하다. 몇몇 실시예에서, 제한 부위 RY와 RZ는 엇갈린(staggered) 말단들, 예를 들어 5' 또는 3' 오버행(overhang)을 갖는 말단을 형성하는 제한 엔도뉴클레아제에 의해 절단될 수 있다. 다른 실시예에서, 제한 부위 RY와 RZ는 평활 말단(blunt end)을 형성하는 제한 엔도뉴클레아제에 의해 절단될 수 있다.

[0138] 제한 부위 RY와 RZ가 업계에 알려진 임의의 제한 부위일 수 있더라도, IIS형 제한 엔도뉴클레아제들에 의해 인지된 제한 부위는 특히 유용하다. IIS형 제한 엔도뉴클레아제들은 절단 영역에서 떨어진 DNA 결합 영역을 갖는다. 따라서, IIS형 제한 엔도뉴클레아제들은 특정 서열을 인지하지만, 어느 정도 떨어진 거리에서 절단한다. 예를 들어, IIS형 제한 엔도뉴클레아제 SchI (MlyI로도 또한 알려져 있음)는 서열 GAGTC를 포함하는 인지 부위에 결합하며, 인지 부위로부터 떨어진 4개의 염기 쌍을 절단하여, 평활 말단(blunt end) DNA 분자를 형성한다. IIS형 제한 부위는 엔트리 벡터(entry vector)로부터 집합 벡터를 제조하는데 특히 유용하다. 예를 들어, 서브클로닝 과정에서, 엔트리 벡터(entry vector)의 DNA 절편, 예를 들어 lacZ는, 관심있는 DNA로 대체되며, IIS형 제한 엔도뉴클레아제를 사용한 lacZ의 절단은 제한 부위 인식서열(recognition sequence)의 완전한 제거를 유발할 수 있다. 그 결과, 선형의 엔트리 벡터(entry vector)에 대하여 관심있는 DNA 절편의 연결에서, 어닐링될 수 있는 링커 서열 또는 프라이머 결합 절편 사이의 관련없는(extraneous) 서열과 새롭게 도입되는 DNA 절편은 최소화된다.

[0139] 따라서, 몇몇 실시예에서, 제한 부위 RY 및 RZ는 업계에 알려진 임의의 IIS형 제한 엔도뉴클레아제에 의해 인지 가능하고 절단될 수 있는 제한 부위이다. 적당한 IIS형 제한 엔도뉴클레아제들은, 그러나 이에 제한되지 않는, 하기의 엔도뉴클레아제들과, 팔호 안에 표시된 이들의 아이소스키조머(isoschizomer)들을 포함한다: Alw26I (BsmaI), AlwI (AcIWI, BlnI), AsuHPI (HphI), BbvI (Bst71I), BcefI, BstF5I (BseGI, FokI), FauI, HgaI, SapI (LguI), MboII, PleI, SapI, SchI (MlyI), SfaNI 및 TspRI, AceIII, BbsI (BbvII, BpiI, BpuAI), Bce83I, BciVI, BfiI (BmrI), BpmI (GsuI), BsaI (Eco31I), BseRI, BsgI, BsmBI (Esp3I), BsmFI, BspMI, BsrDI (Bse3DI), Bsu6I (Eam1104I, EarI, Ksp632I), Eco57I, FauI, MmeI, RleAI, TaqII 및 Tth111II. 특정한 실시예에서, 제한 부위 RY 및 RZ은 SchI 제한 엔도뉴클레아제에 의해 인지 가능하며 절단될 수 있다.

- [0140] 몇몇 실시예에서, RA와 RB는 서열에서 동일하지 않다. 몇몇 실시예에서, RA와 RB는 동일한 제한 엔도뉴클레아제에 의해 절단될 수 있다. 몇몇 실시예에서, RA와 RB는 서열에서 동일하다. 몇몇 실시예에서, 제한 부위들 RA 및 RB는 엇갈린(staggered) 말단, 예를 들어, 5' 또는 3' 오버행(overhang)을 갖는 말단을 형성하는 제한 엔도뉴클레아제에 의해 절단될 수 있다. 다른 실시예에서, 제한 부위들 RA 및 RB는 평활 말단(blunt end)을 형성하는 제한 엔도뉴클레아제에 의해 절단될 수 있다.
- [0141] 제한 부위들 RA 및 RB는 업계에 알려진 임의의 제한 부위일 수 있지만, 하나 이상의 생물의 DNA (예를 들어, cDNA)에서 다소 드문 제한 부위(예를 들어, 드문 커터(cutter))가 특히 유용하다. 몇몇 실시예에서, 제한 부위들 RA 및 RB는 인간 DNA의 다소 드문 제한 부위를 갖는 제한 엔도뉴클레아제에 의해 인지 및 절단될 수 있다. 몇몇 실시예에서, 제한 부위들 RA 및 RB는 마우스 DNA의 다소 드문 제한 부위를 갖는 제한 엔도뉴클레아제에 의해 인지 및 절단될 수 있다. 몇몇 실시예에서, 제한 부위들 RA 및 RB는 효모 DNA, 예를 들어, *Saccharomyces cerevisiae*, *Pichia pastoris*, *Kluyveromyces lactis*, *Arxula adeninivorans*, 또는 *Hansenula polymorpha*의 DNA에서 다소 드문 제한 부위를 갖는 제한 엔도뉴클레아제에 의해 인지 및 절단될 수 있다. 몇몇 실시예에서, 제한 부위들 RA 및 RB는 박테리아의 DNA, 예를 들어, *Escherichia coli* 또는 *Bacillus subtilis*의 DNA에서 다소 많지 않은 제한 부위를 갖는 제한 엔도뉴클레아제에 의해 인지 및 절단될 수 있다.
- [0142] 몇몇 실시예에서, 제한 부위들 RA 및 RB는 IIS형 제한 엔도뉴클레아제에 의해 인지 및 절단될 수 있으며, 상기 인지 부위는, 예를 들어, PA/LA-D-PB/LB를 포함하는 폴리뉴클레오타이드 서열과 거리가 멀다. 몇몇 실시예에서, 각각의 제한 부위들 RA 및 RB는 *MssI*, *NruI* (*Bsp68I*, *MluB2I*, *Sbo13I*, *SpoI*), *SnaBI* (*BstSNI*, *Eco105I*), *SrfI* 및 *SwaI* (*BstRZ246I*, *BstSWI*, *MspSWI*, *SmiI*), *HpaI*, *HincII*, *PshAI*, *OliI*, *AluI*, *Alw26I*, *BalI*, *DraI*, *DpnI*, *EcoR47III*, *EcoRCRI*, *EcoRV*, *FokI*, *HaeIII*, *HincII*, *MboI*, *MspAI*, *NaeI*, *RsaI*, *PvuII*, *ScaI*, *SmaI*, *SspI*, *StuI*, *XmnI*, *EcaBC3I*, *SciI*, *HincII*, *DraI*, *BsaBI*, *Cac8I*, *Hpy8I*, *MlyI*, *PshAI*, *SspD51*, *BfrBI*, *BsaAI*, *BsrBI*, *BtrI*, *CdiI*, *CviJI*, *CviRI*, *Eco47III*, *Eco78I*, *EcoICRI*, *FnuDII*, *FspAI*, *HaeI*, *LpnI*, *MlyI*, *MslI*, *MstI*, *NaeI*, *NlaIV*, *NruI*, *NspBII*, *OliI*, *PmaCI*, *PshAI*, *PsiI*, *SrfI*, *StuI*, *XcaI*, *XmnI*, *ZraI* 및 이의 아이소스키조머(isoschizomer)로 구성된 군으로부터 선택된 제한 엔도뉴클레아제에 의해 독립적으로 인지 및 절단될 수 있다. 특정 실시예에서, 제한 부위들 RA 및 RB는 *SapI* 또는 *LguI* 제한 엔도뉴클레아제에 의해 인지 및 절단될 수 있다. *LguI*는 동일한 인지 및 절단 특이성을 갖는 *SapI*의 아이소스키조머(isoschizomer)이다.
- [0143] 몇몇 실시예에서, 본원에서 제공된 엔트리 벡터(entry vector)는 또한, 벡터 (예를 들어, 복제의 원점(origin))의 복제, 유지 또는 통합의 몇몇 기능을 일반적으로 갖는 하나 이상의 핵산 서열들 뿐만 아니라 선별표지(selectable marker)를 포함한다. 복제 원점(origin)들은 다중 결합의 원점(origin)-결합 단백질에 의해 인지되고 원점(origin) 부위에서 DNA 복제 효소를 결합하는데 중요한 역할을 하는 다수의 짧은 반복 서열들을 포함하는 특유의 폴리뉴클레오타이드들이다. 본원에서 제공된 엔트리 벡터 및 집합 벡터에서의 사용을 위한 복제의 적당한 원점(origin)들은, 그러나 이에 제한되지 않는, *E. coli* oriC, colE1 플라즈미드 원점(origin), 2 μ 및 ARS (둘다 효모 계통에 유용함), sf1, SV40 EBV oriP (포유동물 계통에 유용함), 또는 pSC101에서 발견되는 것들을 포함한다. 선별표지(selectable marker)는, 선별표지(selectable marker)를 포함하는 벡터를 사용하여 성공적으로 형질 변환되고 표지를 발현하는 세포의 성장을 위하여, 세포의 성장에 대항하기 위하여 선택되는 수단을 제공하기 때문에, 벡터 내에서 유용한 성분이 될 수 있다.
- [0144] 몇몇 실시예에서, 임의의 벡터는 본원에 제공된 바와 같은 엔트리 벡터(entry vector)를 구성하는데 사용될 수 있다. 특히, 업계에 알려진 벡터들과 상업적으로 이용가능한 벡터들 (및 이의 변종 또는 유도체)은, 본원에서 제공된 방법에서의 사용을 위한, 제한 부위 RA, 선택적으로 프라이머 결합 절편 PA 또는 어닐링될 수 있는 링커 서열 LA, 제한 부위 RY, DNA 절편 D, 제한 부위 RZ, 선택적으로 프라이머 결합 절편 PB 또는 어닐링될 수 있는 링커 서열 LB 및 제한 부위 RB를 포함하기 위하여 조작될 수 있다. 그러한 벡터들은, 예를 들어, Vector Laboratories Inc., InVitrogen, Promega, Novagen, NEB, Clontech, Boehringer Mannheim, Pharmacia, Epicenter, OriGenes Technologies Inc., Stratagene, Perkin Elmer, Pharmingen, Life Technologies, Inc. 및 Research Genetics로부터 얻을 수 있다. 특별히 관심있는 벡터들의 일반적인 계통은 원핵 및/또는 진핵 클로닝 벡터, 발현 벡터, 융합 벡터, 투-하이브리드(two-hybrid) 또는 역 투-하이브리드(reverse two-hybrid) 벡터, 서로 다른 호스트에서의 사용을 위한 셔틀(shuttle) 벡터, 돌연변이유발(mutagenesis) 벡터, 전사 벡터, 거대한 삽입물을 수용하기 위한 벡터, 기타 등등을 포함한다. 관심있는 기타 벡터들은 바이러스성 오리진 벡터(origin vector) (*M 13* 벡터, 박테리아 파지(phage) λ 벡터, 아데노바이러스 벡터 및 레트로바이러스 벡터), 많고, 적고, 조정가능한 복제 개수 벡터, 단일 호스트 (PACYC184 및 pBR322)와 진핵 에피솜(episomal) 복제 벡터 (pCDM8)에서의 조합에 사용되는 호환가능한 레플리콘(replicon)을 갖는 벡터를 포함한다.

[0145] 특정한 실시예에서, 본원에서 제공된 방법에 따른 사용을 위한 엔트리 벡터(entry vector)는 서열번호 207 내지 221의 뉴클레오타이드 서열을 갖는 pRYSE 벡터이다. pRYSE 벡터의 도식은 도 4에 나타냈으며 pRYSE 벡터의 제조는 하기 실시예 1에 제시하였다.

[0146] 6 집합 벡터

[0147] 다른 측면에서, 본 발명은 벡터, 예를 들어, 하나 이상의 집합된(assembled) 폴리뉴클레오타이드들에 수많은 폴리뉴클레오타이드 성분들을 삽입한 집합체에 사용될 수 있는, 집합 벡터를 제공한다. 몇몇 실시예에서, 집합 벡터는 선별표지(selectable marker), 복제의 원점(origin) 및 어닐링될 수 있는 링커 서열, 어닐링될 수 있는 링커 서열 쌍의 측면에 배치된 DNA 절편, 또는 한 쌍의 제한 부위의 측면에 배치된, 어닐링될 수 있는 링커 서열/프라이머 결합 절편 쌍의 측면에 배치된 DNA 절편을 포함하는 원형 폴리뉴클레오타이드이다. 제한 부위는 집합 반응(assembly reaction) 동안, 집합 벡터 골격으로부터 폴리뉴클레오타이드 성분의 절단을 촉진시키는 역할을 할 수 있다. 따라서, 몇몇 실시예에서, 집합 벡터는, 5'에서 3'의 방향으로, 제한 부위 RA, 프라이머 결합 절편 PA 또는 어닐링될 수 있는 링커 서열 LA, DNA 절편 D 및 제한 부위 RB를 포함하는 원형 폴리뉴클레오타이드이다. 몇몇 실시예에서, 집합 벡터는, 5'에서 3'의 방향으로, 제한 부위 RA, DNA 절편 D, 프라이머 결합 절편 PB 또는 어닐링될 수 있는 링커 서열 LB 및 제한 부위 RB를 포함하는 원형 폴리뉴클레오타이드이다. 몇몇 실시예에서, 집합 벡터는, 5'에서 3'의 방향으로, 제한 부위 RA, 프라이머 결합 절편 PA 또는 어닐링될 수 있는 링커 서열 LA, DNA 절편 D, 프라이머 결합 절편 PB 또는 어닐링될 수 있는 링커 서열 LB 및 제한 부위 RB를 포함하는 원형 폴리뉴클레오타이드이다.

[0148] 몇몇 실시예에서, 집합 벡터는, 5'에서 3'의 방향으로, 제한 부위 RA, 어닐링될 수 있는 링커 서열 LA, DNA 절편 D 및 제한 부위 RB (예를 들어, 5'-RA-LA-D-RB-3')를 포함하는 원형 폴리뉴클레오타이드이다. 몇몇 실시예에서, 집합 벡터는, 5'에서 3'의 방향으로, 제한 부위 RA, DNA 절편 D, 어닐링될 수 있는 링커 서열 LB 및 제한 부위 RB (예를 들어, 5'-RA-D-LB-RB-3')를 포함하는 원형 폴리뉴클레오타이드이다. 몇몇 실시예에서, 집합 벡터는, 5'에서 3'의 방향으로, 제한 부위 RA, 어닐링될 수 있는 링커 서열 LA, DNA 절편 D, 어닐링될 수 있는 링커 서열 LB 및 제한 부위 RB (예를 들어, 5'-RA-LA-D-LB-RB-3')를 포함하는 원형 폴리뉴클레오타이드이다. 몇몇 실시예에서, 집합 벡터는, 5'에서 3'의 방향으로, 제한 부위 RA, 프라이머 결합 절편 PA, DNA 절편 D, 어닐링될 수 있는 링커 서열 LB 및 제한 부위 RB (예를 들어, 5'-RA-PA-D-LB-RB-3')를 포함하는 원형 폴리뉴클레오타이드이다. 몇몇 실시예에서, 집합 벡터는, 5'에서 3'의 방향으로, 제한 부위 RA, 어닐링될 수 있는 링커 서열 LA, DNA 절편 D, 프라이머 결합 절편 PB 및 제한 부위 RB (예를 들어, 5'-RA-LA-D-PB-RB-3')를 포함하는 원형 폴리뉴클레오타이드이다. 예시적인 집합 벡터들은 도 1b 및 도 2에 나타냈다.

[0149] 몇몇 실시예에서, 프라이머 결합 절편 PA의 핵산 서열은 서열번호 24 및 25로 구성된 군으로부터 선택된다. 몇몇 실시예에서, 프라이머 결합 절편 PB의 핵산 서열은 서열번호 24 및 25로 구성된 군으로부터 선택된다. 몇몇 실시예에서, 프라이머 결합 절편 PA와 프라이머 결합 절편 PB의 핵산 서열은 서열번호 24 및 25로 구성된 군으로부터 선택된다. 바람직한 실시예에서, 프라이머 결합 절편 PA와 프라이머 결합 절편 PB의 핵산 서열은 동일하지 않다.

[0150] 몇몇 실시예에서, 어닐링될 수 있는 링커 서열 LA 또는 LB의 핵산 서열은 적어도 24개의 뉴클레오타이드이며 적어도 60°C의 T_m를 갖는다. 몇몇 실시예에서, 어닐링될 수 있는 링커 서열 LA의 핵산 서열은 서열번호 1 내지 23으로 구성된 군으로부터 선택된다. 몇몇 실시예에서, 어닐링될 수 있는 링커 서열 LB의 핵산 서열은 서열번호 1 내지 23으로 구성된 군으로부터 선택된다. 몇몇 실시예에서, 어닐링될 수 있는 링커 서열 LA와 어닐링될 수 있는 링커 서열 LB의 핵산 서열은 서열번호 1 내지 23으로 구성된 군으로부터 선택된다.

[0151] 몇몇 실시예에서, RA와 RB는 서열에서 동일하지 않다. 몇몇 실시예에서, RA와 RB는 동일한 제한 엔도뉴클레아제에 의해 절단될 수 있다. 몇몇 실시예에서, RA와 RB는 서열에서 동일하지 않다. 몇몇 실시예에서, 제한 부위들 RA 및 RB는 엇갈린(staggered) 말단, 예를 들어, 5' 또는 3' 오버hang(overhang)을 갖는 말단을 형성하는 제한 엔도뉴클레아제에 의해 절단될 수 있다. 다른 실시예에서, 제한 부위들 RA 및 RB는 평활 말단(blunt end)을 형성하는 제한 엔도뉴클레아제에 의해 절단될 수 있다.

[0152] 제한 부위들 RA 및 RB가 업계에 알려진 임의의 제한 부위가 될 수 있다고 하더라도, 하나 이상의 생물의 DNA (예를 들어, cDNA)에서 다소 드문 제한 부위 (예를 들어, 드문 커터(cutter))는 특히 유용하다. 몇몇 실시예에서, 제한 부위들 RA 및 RB는 인간 DNA의 상대적으로 드문 제한 부위를 갖는 제한 엔도뉴클레아제에 의해 인지

및 절단될 수 있다. 몇몇 실시예에서, 제한 부위들 RA 및 RB는 마우스 DNA의 상대적으로 드문 제한 부위를 갖는 제한 엔도뉴클레아제에 의해 인지 및 절단될 수 있다. 몇몇 실시예에서, 제한 부위들 RA 및 RB는 효모 DNA, 예를 들어, *Saccharomyces cerevisiae*, *Pichia pastoris*, *Kluyveromyces lactis*, *Arxula adeninivorans*, 또는 *Hansenula polymorpha*의 DNA에서, 상대적으로 드문 제한 부위를 갖는 제한 엔도뉴클레아제에 의해 인지 및 절단될 수 있다. 몇몇 실시예에서, 제한 부위들 RA 및 RB는 박테리아의 DNA, 예를 들어, *Escherichia coli* 또는 *Bacillus subtilis*의 DNA에서 다소 많지 않은 제한 부위를 갖는 제한 엔도뉴클레아제에 의해 인지 및 절단될 수 있다.

[0153] 몇몇 실시예에서, 제한 부위들 RA 및 RB는 IIS형 제한 엔도뉴클레아제에 의해 인지 및 절단될 수 있다. 적당한 IIS형 제한 엔도뉴클레아제의 예시적인 예는, 그러나 이에 제한되지 않는, *MssI*, *NruI* (*Bsp68I*, *MluB2I*, *Sbo13I*, *SpoI*), *SnaBI* (*BstSNI*, *Eco105I*), *SrfI* 및 *SwaI* (*BstRZ246I*, *BstSWI*, *MspSWI*, *SmII*), *HpaI*, *HincII*, *PshAI*, *OliI*, *AluI*, *Alw26I*, *BalI*, *DraI*, *DpnI*, *EcoR47III*, *EcoRCRI*, *EcoRV*, *FokI*, *HaeIII*, *HincII*, *MboI*, *MspAII*, *NaeI*, *RsaI*, *PvuII*, *ScaI*, *SmaI*, *SspI*, *StuI*, *XmnI*, *EcaBC3I*, *ScII*, *HincII*, *DraI*, *BsaBI*, *Cac8I*, *Hpy8I*, *MlyI*, *PshAI*, *SspD51*, *BfrBI*, *BsaAI*, *BsrBI*, *BtrI*, *CdiI*, *CviJI*, *CviRI*, *Eco47III*, *Eco78I*, *EcoICRI*, *FnuDII*, *FspAI*, *HaeI*, *LpnI*, *MlyI*, *MsII*, *MstI*, *NaeI*, *NlaIV*, *NruI*, *NspBII*, *OliI*, *PmaCI*, *PshAI*, *PsiI*, *SrfI*, *StuI*, *XcaI*, *XmnI*, *ZraI*, 또는 이의 아이소스키조머(isoschizomer)를 포함한다. 특정 실시예에서, 제한 부위들 RA 및 RB는 *SapI* 또는 *LguI* 제한 엔도뉴클레아제에 의해 인지 및 절단될 수 있다.

[0154] 바람직하게, 집합 벡터의 DNA 절편은 집합 벡터 내의 임의의 제한 부위 RA 및 RB를 절단할 수 있는 제한 엔도뉴클레아제에 의해 인지 및 절단될 수 있는 핵산 서열을 포함하지 않는다. 이것은, 폴리뉴클레오타이드 성분이 집합 벡터 골격으로부터 절단되는 동안, 집합 반응(assembly reaction)의 첫번째 단계 동안 DNA 절편이 손상되지 않는다는 것을 보증한다. 특정한 실시예에서, DNA 절편은 *SapI/LguI* 부위를 포함하지 않으며 RA와 RB는 *SapI* 또는 *LguI*에 의해 절단될 수 있다. 부위-특이적(site-directed) 돌연변이유발(mutagenesis) (참조 : Carter, *Bi. Chem. J.* 237:1-7 (1986); Zoller and Smith, *Methods Enzymol.* 154:329-50 (1987)), 카세트 돌연변이 유발(cassette mutagenesis), 제한 선택돌연변이유발(mutagenesis) (Wells et al, *Gene* 34:315-323 (1985)), 올리고뉴클레오타이드-매개(부위-특이적) 돌연변이유발(mutagenesis), PCR 돌연변이유발(mutagenesis), 기타 알려진 기술들은 엔트리 벡터(entry vector)에 DNA 절편이 연결되기 전 또는 후에 DNA 절편 내에 임의의 상기 서열을 개질하기 위하여 실시될 수 있다.

[0155] 몇몇 실시예에서, 본원에서 제공된 집합 벡터는 벡터의 복제, 유지, 또는 통합의 몇몇 기능(예를 들어, 복제의 원점(origin)) 뿐만 아니라 하나 이상의 선별표지(selectable marker)를 일반적으로 갖는 하나 이상의 핵산 서열들을 또한 포함한다. 복제 원점(origin)은 다중 결합의 원점(origin)-결합 단백질에 의해 인지되고 원점(origin) 부위에서 DNA 복제 효소를 결합시키는데 중요한 역할을 하는 다수의 짧은 반복 서열들을 포함하는 특이한 폴리뉴클레오타이드이다. 본원에서 제공된 엔트리 벡터 및 집합 벡터에서의 사용을 위한 복제의 적당한 원점(origin)은, 그러나 이에 제한되지 않는, *E. coli* *oriC*, *coleI* 플라즈미드 원점(origin), 2 μ 와 ARS (둘 다 효모 계통에서 유용함), *sfl*, SV40 EBV or iP (포유동물 계통에서 유용함), 또는 pSC101에서 발견되는 것들을 포함한다. 선별표지(selectable marker)를 포함하는 벡터를 사용하여 성공적으로 형질변환되고 상기 표지를 발현하는 세포의 성장을 위하여, 세포의 성장에 대항하기 위하여 선택되는 수단을 제공하기 때문에, 선별표지(selectable marker)는 벡터에서 유용한 성분이 될 수 있다.

[0156] 몇몇 실시예에서, 임의의 벡터는 본원에서 제공된 바와 같은 집합 벡터를 구성하는데 사용될 수 있다. 특히, 업계에 알려진 벡터들과 상업적으로 이용가능한 벡터들(및 이의 변종 또는 유도체)은, 본원에서 제공된 방법들에 사용하기 위한, 제한 부위 RA, 프라이머 결합 절편 PA 또는 어닐링될 수 있는 링커 서열 LA, DNA 절편 D, 프라이머 결합 절편 PB 또는 어닐링될 수 있는 링커 서열 LB 및 제한 부위 RB를 포함하도록 조작될 수 있다. 그러한 벡터들은, 예를 들어, Vector Laboratories Inc., InVitrogen, Promega, Novagen, NEB, Clontech, Boehringer Mannheim, Pharmacia, EpiCenter, OriGenes Technologies Inc., Stratagene, Perkin Elmer, Pharmingen, Life Technologies, Inc. 및 Research Genetics로부터 얻을 수 있다. 특히 관심있는 벡터들의 일반적인 계열은 원핵 및/또는 진핵 클로닝 벡터, 발현 벡터, 융합 벡터, 투-하이브리브(two-hybrid) 또는 역 투-하이브리브(reverse two-hybrid) 벡터, 서로 다른 호스트에서의 사용을 위한 셔틀 벡터, 돌연변이유발(mutagenesis) 벡터, 전사 벡터, 거대한 삽입물을 수용하기 위한 벡터, 기타 등등을 포함한다. 기타 관심있는 벡터는 바이러스의 오리진 벡터(origin vector) (M13 벡터, 박테리아 과지(phage) λ 벡터, 아데노바이러스 벡터 및 레트로바이러스 벡터), 많고, 적고, 조정가능한 복제 개수 벡터, 단일 호스트 (PACYC 184 및 pBR322)와 진핵 에피솜(episomal) 복제 벡터(pCDM8)에서 조합에 사용하기 위한 호환가능한 레플리콘(replicon)을 갖는 벡터를 포함한다.

[0157] 집합 벡터는 엔트리 벡터(entry vector)로부터 제조될 수 있다. 엔트리 벡터(entry vector)로부터 집합 벡터를 제조하기 위하여, 엔트리 벡터(entry vector)는 벡터를 선형으로 만들어서 RY와 RZ를 절단할 수 있는 하나 이상의 제한 엔도뉴클레아제를 사용하여 분해될 수 있으므로, 상기 엔트리 벡터는 DNA 절편을 수용할 수 있다. 본 발명의 집합 벡터를 형성하기 위하여 표준 클로닝 기술을 사용하여, DNA 절편은 RY와 RZ 부위에 연결될 수 있다. 예를 들어, DNA 절편은, 화학적 합성에 의하거나, cDNA 클로닝에 의하거나, 또는 원하는 세포로부터 정제된, 게놈 DNA, 또는 이의 절편의 클로닝에 의하거나, PCR 증폭과 클로닝에 의해, 복제된 DNA (예를 들어, DNA "라이브러리")로부터 업계에 알려진 표준 과정에 의해 수득될 수 있다. 예를 들어, Sambrook *et al.*, *Molecular Cloning, A Laboratory Manual*, 3d. ed., Cold Spring Harbor Laboratory Press, Cold Spring Harbor, New York (2001); Glover, D.M. (ed.), *DNA Cloning: A Practical Approach*, 2d. ed., MRL Press, Ltd., Oxford, U.K. (1995)를 참조한다.

[0158] 집합 벡터는 어닐링될 수 있는 링커 서열, 어닐링될 수 있는 링커 서열 쌍, 또는 DNA 절편의 부위에 측면으로 부착된 어닐링될 수 있는 링커 서열/프라이머 결합 절편 쌍을 포함하지 않는 다른 벡터로부터 또한 제조될 수 있다. 상기 벡터로부터 집합 벡터를 제조하기 위하여, 벡터는 DNA 절편의 삽입에 적당한 부위, 예를 들어, 다수의 클로닝 부위에서 벡터를 절단할 수 있는 하나 이상의 제한 엔도뉴클레아제를 사용하여 분해될 수 있으며, 이로써 벡터를 선형으로 만들어서 상기 벡터는 DNA 절편을 수용할 수 있다. 삽입되어야 하는 DNA 절편은, 예를 들어, 클로닝, 화학적 합성, 또는 PCR 증폭과 같이, 업계에서 알려진 표준 과정에 의해 수득될 수 있다. DNA 절편은 어닐링될 수 있는 링커 서열, 어닐링될 수 있는 링커 서열 쌍 또는 어닐링될 수 있는 링커 서열/프라이머 결합 절편 쌍의 측면에 배치된 DNA 절편을 포함한다. 따라서, 몇몇 실시예에서, DNA 절편은, 5'에서 3' 방향으로, 어닐링될 수 있는 링커 서열 LA 또는 프라이머 결합 절편 PA, DNA 절편 D 및 어닐링될 수 있는 링커 서열 LB 또는 프라이머 결합 절편 PB (예를 들어, 5'-LA-D-LB-3' 또는 5'-PA-D-LB-3' 또는 5'-LA-D-PB-3')를 포함한다. 몇몇 실시예에서, DNA 절편은, 5'에서 3'의 방향으로, DNA 절편 D 및 어닐링될 수 있는 링커 서열 LB 또는 프라이머 결합 절편 PB (예를 들어, 5'-D-LB-3' 또는 5'-D-PB-3')를 포함한다. 몇몇 실시예에서, DNA 절편은, 5'에서 3'의 방향으로, 어닐링될 수 있는 링커 서열 LA 또는 프라이머 결합 절편 PA 및 DNA 절편 D (예를 들어, 5'-LA-D-3' 또는 5'-PA-D-3')를 포함한다. DNA 절편은 어닐링될 수 있는 링커 서열, 어닐링될 수 있는 링커 서열 쌍 또는 어닐링될 수 있는 링커 서열/프라이머 결합 절편 쌍을 측면에 배치하는 한쌍의 제한 부위를 포함하며, 그 부위에서 제한 엔도뉴클레아제에 의한 절단은, DNA 절편이 삽입되어야 하는 벡터를 선형으로 만들어서 형성된 말단과 호환할 수 있는 말단을 형성한다. 선택적으로, DNA 절편이 형성될 수 있어서, 상기 DNA 절편은 상기 호환가능한 말단을 포함하며, 호환가능한 말단을 형성하기 위하여 제한 엔도뉴클레아제를 사용하여 추가적인 분해를 요구하지 않는다. 집합 벡터를 형성하기 위하여 선형으로 만들어진 벡터를 사용하여 DNA 절편의 연결함에 있어서, 호환가능한 말단을 형성하는데 사용된 제한 부위는 집합 벡터의 제한 부위 RA 및 RB로서 역할을 하기 위하여 보존될 수 있다. 선택적으로, 상기 연결은 원래의 제한 부위를 제거할 수 있지만, 추가적인 제한 부위가 집합 벡터의 제한 부위 RA 및 RB로서 역할을 할 수 있는 선형으로 만들어진 벡터에 존재할 수 있다.

[0159] 엔트리 벡터(entry vector) (예를 들어, pRYSE 벡터) 또는 다른 벡터 (예를 들어, pMULE 벡터)로부터 집합 벡터를 형성하는 예시적인 방법은 하기 실시예 6에 제시되었다.

7 어닐링될 수 있는 링커 서열

[0161] 다른 측면에서, 본 발명은 엔트리 벡터(entry vector)와 집합 벡터 내에 위치한 DNA 절편을 측면에 배치하는 어닐링될 수 있는 링커 서열을 제공한다. 어닐링될 수 있는 링커 서열은 집합 반응(assembly reaction)에서 인접한 폴리뉴클레오타이드 성분들 사이에 겹치는 서열을 제공하여, 집합체를 위한 폴리뉴클레오타이드 성분을 집합된(assembled) 폴리뉴클레오타이드로 준비시킨다. 따라서, 바람직한 실시예에서, 엔트리 벡터 및 집합 벡터의 어닐링될 수 있는 링커 서열 LA 및 LB는, 집합 반응(assembly reaction) 동안에 상보적인 어닐링될 수 있는 링커 서열에 효율적이고 정확한 프라이밍을 제공하도록 최적화된다.

[0162] 몇몇 실시예에서, 어닐링될 수 있는 링커 서열의 길이는 상보적인 어닐링될 수 있는 링커 서열과 알맞는 특이성을 제공할 수 있을 정도로 길지만, 집합 반응(assembly reaction)의 어닐링 온도에서 상보적인 어닐링될 수 있는 링커 서열에 용이하게 어닐링 할 수 있을 정도로 짧다. 몇몇 실시예에서, 어닐링될 수 있는 링커 서열의 길이는 숙주 세포 매개 상동 재조합(homologous recombination)이 상보적 서열(complement) 어닐링될 수 있는 링커 서열을 갖게 할 정도로 충분히 길다.

[0163] 몇몇 실시예에서, 어닐링될 수 있는 링커 서열은 약 5개, 10개, 15개, 20개, 25개, 30개, 35개, 40개, 45개,

50개, 55개, 60개, 65개, 70개, 75개, 또는 80개의 뉴클레오타이드 길이다. 몇몇 실시예에서, 어닐링될 수 있는 링커 서열은 적어도 10개, 12개, 14개, 16개, 18개, 20개, 22개, 24개, 26개, 28개, 또는 30개의 뉴클레오타이드 길이다. 몇몇 실시예에서, 어닐링될 수 있는 링커 서열은 30개, 40개, 50개, 60개, 70개, 80개, 90개, 100개, 500개, 1000개, 5000개, 또는 10,000개의 뉴클레오타이드 길이를 초과한다. 몇몇 실시예에서, 어닐링될 수 있는 링커(annealable linker)는 적어도 18개의 뉴클레오타이드 길이이며 3으로 나뉘어질 수 있는 갯수의 뉴클레오타이드 길이라서, DNA 절편을 코딩하기 위하여 연결될 때, 링커의 연속 판독(read-through) 전사를 촉진 할 수 있다. 특정한 실시예에서, 어닐링될 수 있는 링커(annealable linker)는 18개, 21개, 24개, 27개, 30개, 33개, 36개, 39개, 42개, 45개, 48개, 51개, 54개, 57개 또는 60개 뉴클레오타이드 길이다.

[0164] 몇몇 실시예에서, 어닐링될 수 있는 링커 서열은 다소 높은 융점 (T_m), 예를 들어, 어닐링될 수 있는 링커 (annealable linker) 두 가닥의(duplex) 서열의 1/2이 단일 가닥으로 분리될 온도를 갖는다. 어닐링될 수 있는 링커의 T_m 은 최근접 이웃 알고리즘(nearest neighbor algorithm)을 이용하여 SantaLucia, PNAS, 95:-1460-1465 (1998)에 따라 계산될 수 있다. 다소 높은 T_m 은 집합 반응(assembly reaction) 동안 더욱 특이한 프라이밍을 제공할 수 있다. 다소 높은 T_m 은 PCR의 어닐링 및 신장 단계의 조합을 허용하거나, PCR의 어닐링 및 신장 단계 사이의 온도를 조절하는데 필요한 양의 시간을 감소시켜서, 본 발명의 집합 방법을 사용하는데 있어서 효율성을 더 높일 수 있다. 따라서, 몇몇 실시예에서, 어닐링될 수 있는 링커(annealable linker) 두 가닥의(duplex) 서열은 약 60°C 내지 80°C의 T_m 을 갖는다. 몇몇 실시예에서, 어닐링될 수 있는 링커(annealable linker) 두 가닥의(duplex) 서열은 약 65°C 내지 75°C의 T_m 을 갖는다. 몇몇 실시예에서, 어닐링될 수 있는 링커(annealable linker) 두 가닥의(duplex) 서열은 50°C, 55°C, 60°C, 65°C, 70°C, 75°C, 80°C, 85°C, 또는 90°C를 초과하는 T_m 을 갖는다.

[0165] 몇몇 실시예에서, 어닐링될 수 있는 링커 서열들은, DNA 수준에서, 또는 RNA 수준에서 또는 DNA와 RNA 수준 모두에서, 본원에 제시된 방법의 조건 하에서, 문자내 (예를 들어, 동일한 문자 내) 상호작용을 통하여 형성된 인지가능한 2차 구조 (예를 들어, 헤어핀, 셀프-다이머(self-dimer))를 형성하지 않는다. DNA에서 2차 구조의 존재는 집합 반응(assembly reaction)의 집합된(assembled) 폴리뉴클레오타이드를 적게 생산하거나 전혀 생산하지 않을 수 있다. RNA에서 2차 구조의 존재는 감소된 번역 효율성을 유도할 수 있으며, 이것은, 프로모터와 단백질 코딩서열을 포함하는 폴리뉴클레오타이드 성분들을 집합된(assembled) 폴리뉴클레오타이드에 결합시키기 위하여 어닐링될 수 있는 링커 서열이 사용될 때 특히 중요하며, 상기 어닐링될 수 있는 링커 서열은 프로모터와 단백질 코딩서열 사이에 위치한다. 따라서, 본 발명의 집합 방법에 유용한 어닐링될 수 있는 링커 서열들은 2차 구조의 RNA 및/또는 DNA 구조를 형성하지 않도록 고안된다. 2차 구조의 RNA 또는 DNA 구조를 형성하기 위한 어닐링될 수 있는 링커 서열의 능력은, 예를 들어, IDT Oligo Analyzer (Integrated DNA Technologies, Coralville, IA), mFold (Zuker 2003 Nucleic acids Res. 31 (13), 3406-15), 또는 RNAfold (Hofacker & Stadler (2006) Bioinformatics 22 (10): 1172-6)와 같은 소프트웨어 도구들을 사용하여 측정될 수 있다. 일반적으로, 이러한 도구들은 선형 상태에서 접힌 상태로의 서열로 전이하는데 필요한 갑스 자유 에너지 (ΔG)를 계산한다. 더 큰 ΔG 일수록, 서열이 2차 구조를 덜 형성할 것이다. 따라서, 몇몇 실시예에서, 어닐링될 수 있는 링커 서열들은 선형 상태에서 접혀진 상태로의 전이를 위하여 더 큰 ΔG 값을 갖도록 고안된다. 몇몇 실시예에서, 어닐링될 수 있는 링커 서열들은 *Saccharomyces cerevisiae* 게놈에서 많이 발현된 유전자의 코딩서열의 즉각적인 업스트림에 존재하는 n-염기의 선형 상태에서 접혀진 상태로의 전이에 대한 ΔG 값과 동일하거나 그보다 큰, 선형 상태에서 접혀진 상태로의 전이에 대한 ΔG 값을 갖도록 고안되며, 상기 n은 어닐링될 수 있는 링커 서열에서 수많은 염기에 대응되는 정수를 나타낸다. 몇몇 실시예에서, 어닐링될 수 있는 링커 서열을 36개의 염기 길이이며, 선형 상태에서 접혀진 상태로의 전이에 대하여 -1 이상의 ΔG 값을 갖는다.

[0166] 몇몇 실시예에서, 어닐링될 수 있는 링커 서열들은 의도하지 않은 문자간 상호작용 (예를 들어, 서로 다른 문자들 사이)를 피하기 위하여 또한 고안된다. 따라서, 몇몇 실시예에서, 어닐링될 수 있는 링커 서열은, 본원에서 제공된 방법에 의해 폴리뉴클레오타이드 집합체에 요구된, 어닐링될 수 있는 링커 서열 (예를 들어, 벡터 골격 서열)을 포함하는 집합 벡터 내 임의의 기타 서열 및/또는, 상보적인 어닐링될 수 있는 링커 서열들로부터 떨어진 집합체 조성물의 다른 집합 벡터 내의 임의의 기타 서열과 실질적으로 어닐링하지 않는다. 몇몇 실시예에서, 어닐링될 수 있는 링커 서열은 본원에서 제공된 집합체 조성물의 집합 벡터 내 기타 어닐링될 수 있는 링커 서열들과 실질적으로 어닐링하지 않는다.

[0167] 몇몇 실시예에서, 어닐링될 수 있는 링커 서열은 높은 G-C 함량, 예를 들어, 어닐링될 수 있는 링커 서열 내 총 염기 개수의 백분율로서 어닐링될 수 있는 링커(annealable linker) 내 많은 구아닌과 시토신 뉴클레오타이드를 갖는다. 높은 G-C 함량은 일반적으로 높은 T_m 을 제공하기 때문에, 높은 G-C 함량을 갖는 어닐링될 수 있는 링커

서열들은 일반적으로 본 발명의 방법에 유용하며, 그 결과, 이것은 집합 반응(assembly reaction) 동안 더욱 특이한 프라이밍을 제공할 수 있으며, SOE/PCR의 어닐링 및 신장 단계의 조합을 혼용함으로써 시간과 공정의 절감을 제공할 수 있다. 몇몇 실시예에서, 어닐링될 수 있는 링커 서열의 G-C 함량은 약 20 내지 80%이다. 몇몇 실시예에서, 어닐링될 수 있는 링커 서열의 G-C 함량은 약 40 내지 60%이다. 몇몇 실시예에서, 어닐링될 수 있는 링커 서열의 G-C 함량은 약 40, 45, 50, 55, 60, 또는 70%이다. 특정한 실시예에서, 어닐링될 수 있는 링커 서열은 70%를 초과하는 G-C 함량을 갖는다. 높은 G-C 함량을 갖는 어닐링될 수 있는 링커 서열들의 예시적인 실시예는, 인지가능한 2차 DNA 구조를 형성하지 않으며 70°C 이상의 T_m를 갖거나, 서열번호 1 내지 8이다.

[0168]

몇몇 실시예에서, 어닐링될 수 있는 링커 서열은 높은 A-T 함량, 예를 들어, 어닐링될 수 있는 링커 서열 내 총 염기 개수의 백분율로서 어닐링될 수 있는 링커 서열 내 많은 아데닌 및 티민 뉴클레오타이드를 갖는다. 높은 A-T 함량은 실질적인 2차 구조를 형성하는 어닐링될 수 있는 링커 서열의 감소된 성향을 제공할 수 있으며, 이는, 프로모터와 단백질 코딩서열을 포함하는 폴리뉴클레오타이드를 집합된(assembled) 폴리뉴클레오타이드에 결합시키기 위하여, 프로모터와 단백질 코딩 사이에 위치한, 어닐링될 수 있는 링커 서열이 사용될 때 특히 중요할 수 있다. 몇몇 실시예에서, 어닐링될 수 있는 링커 서열의 A-T 함량은 약 20 내지 80%이다. 몇몇 실시예에서, 어닐링될 수 있는 링커 서열의 A-T 함량은 약 40 내지 60%이다. 몇몇 실시예에서, 어닐링될 수 있는 링커 서열의 A-T 함량은 약 30, 35, 40, 45, 50, 55, 또는 60%이다. 몇몇 실시예에서, 어닐링될 수 있는 링커 서열은 30%를 초과하는 A-T 함량을 갖는다. 몇몇 실시예에서, 3'-어닐링될 수 있는 링커 서열의 최대 26개의 염기의 서열은 공통 서열 5'-ANNNNNNNNNAANTANNTNANA-3'을 가지며, 상기 A는 아데닌을 나타내며, N은 임의의 뉴클레오타이드를 나타내고 T는 티민을 나타낸다. 이러한 공통 서열은 *Saccharomyces cerevisiae*의 계놈에서 높게 발현된 유전자의 시작 코돈의 업스트림에 존재하는 26개의 염기에서 종종 발견된다. 이러한 공통 서열을 포함하는 어닐링될 수 있는 링커 서열의 예시적인 실시예는, 다소 높은 A-T 함량을 가지며, 인지가능한 2차 구조의 RNA 또는 DNA 구조를 형성하지 않으며, 65°C 이상의 T_m를 가지며, 서열번호 9 내지 23이다.

[0169]

몇몇 실시예에서, 어닐링될 수 있는 링커 서열은 하나 이상의 제한 부위를 포함한다. 제한 부위의 어닐링될 수 있는 링커 서열로의 통합은, 엔트리 벡터(entry vector) 또는 집합 벡터 내 제한 부위 RA 및 RB를 유지하는 반면, 엔트리 벡터 또는 집합 벡터로부터 DNA 절편을 절단하게 한다. 어닐링될 수 있는 링커 서열 내 제한 부위는 DNA 절편(segment)의 기타 엔트리 벡터 또는 집합 벡터로의 방향성 서브클로닝(directional subcloning)을 또한 촉진시킨다. 이러한 특성은, 예를 들어, 하기에 제시된 서로 다른 어닐링될 수 있는 링커 서열 쌍을 포함하는 집합 벡터의 라이브러리를 형성하기 위하여, 동일한 DNA 절편을 포함하지만 서로 다른 어닐링될 수 있는 링커 서열 쌍 또는 프라이머 결합 절편/어닐링될 수 있는 링커 서열 상을 갖는 집합 벡터의 효율적인 구조를 촉진시킨다. 이러한 특성은 또한, 재-증폭에 대한 필요성과 DNA 절편을 포함하는 추가적 집합 벡터를 형성하기 위한 서열 DNA 절편에 대한 필요성을 제거할 수 있다. 따라서, 몇몇 실시예에서, 어닐링될 수 있는 링커 서열은 특유한 제한 부위를 포함한다. 몇몇 실시예에서, 제한 부위는 7개의 염기쌍 제한 부위이며, 예를 들어, 7개의 염기쌍 뉴클레오타이드 서열을 인지하는 제한 엔도뉴클레아제에 의해 절단될 수 있다. 몇몇 실시예에서, 제한 부위는 8개의 염기쌍 제한 부위를 포함한다. 특정한 실시예에서, 어닐링될 수 있는 링커 서열 내 제한 부위는 MreI, FseI, SbfI, AsiSI, NotI, AscI, 또는 BbvCI에 의해 인지 및 절단될 수 있다.

[0170]

몇몇 실시예에서, 어닐링될 수 있는 링커 서열은, 일단 코딩 DNA 절편에 연결된 링커를 연속 판독(read-through) 전사할 수 있게 하는 서열을 포함한다. 몇몇 실시예에서, 어닐링될 수 있는 링커 서열은 5'에서 3'의 방향으로, 그리고 3'에서 5'의 방향으로 연속 판독(read-through) 전사를 하게 한다. 이러한 실시예에서, 어닐링될 수 있는 링커 서열의 길이는, 바람직하게, 3에 의해 나누어질 수 있는 개수의 뉴클레오타이드이다.

[0171]

특정한 실시예에서, 어닐링될 수 있는 링커 서열은 *Escherichia coli* (*E. coli*) 또는 *Saccharomyces cerevisiae* (*S. cerevisiae*)에서 드물게 사용되는 코돈을 포함하지 않는다. *E. coli* 또는 *S. cerevisiae*의 이형(heterologous) 유전자의 효율적인 발현은, 드물게 사용된 코돈의 존재와, 드물게 사용된 코돈이 더욱 자주 사용된 코돈으로 대체될 때 종종 상승하는 이형(heterologous) 단백질의 발현 정도에 의해 역으로 영향을 받을 수 있다. 예를 들어, Williams et al., *Nucleic acids Res.* 16: 10453-10467, 1988 및 Hoog et al., *Gene* 43: 13-21, 1986를 참조한다. 따라서, 연속 판독(read-through) 서열을 포함하는 어닐링될 수 있는 링커 서열은, 바람직하게 *E. coli* 또는 *S. cerevisiae*에서 드물게 사용된 코돈을 포함하지 않아서, 어닐링될 수 있는 링커 서열을 포함하는 집합된(assembled) 폴리뉴클레오타이드에 의해 코딩된 단백질의 효율적인 발현을 가능하게 한다.

[0172]

몇몇 실시예에서, 일련의 어닐링될 수 있는 링커 서열은 의도된 호스트 생물에서 발견되지 않는 특이한 서열이다. 몇몇 실시예에서, 일련의 어닐링될 수 있는 링커 서열은 *E. coli*에서 발견되지 않는 특이한 서열이다. 다른

실시예에서, 일련의 어닐링될 수 있는 링커 서열은 *S. cerevisiae*에서 발견되지 않는 특이한 서열이다.

[0173]

몇몇 실시예에서, 적당한 어닐링될 수 있는 링커 서열은 테스트용 집합된(assembled) 폴리뉴클레오타이드에서 식별된다. 테스트용 집합된(assembled) 폴리뉴클레오타이드는 테스트되어야 하는 어닐링될 수 있는 링커 서열과 어닐링될 수 있는 링커 서열의 테스트를 허용하는 추가적 성분들을 포함한다. 예를 들어, 집합된(assembled) 폴리뉴클레오타이드 내 프로모터의 조절 하에 있도록, 어닐링될 수 있는 링커(annealable linker)가 프로모터 서열을 포함하는 첫번째 폴리뉴클레오타이드 성분;과 단백질 코딩서열을 포함하는 두번째 폴리뉴클레오타이드 성분을 결합시키는데 적당한지 테스트하기 위하여, 테스트용 집합된(assembled) 폴리뉴클레오타이드는, 5'에서 3'의 방향으로, 프라이머 결합 절편 또는 어닐링될 수 있는 링커 서열을 포함하는 첫번째 폴리뉴클레오타이드 성분; 프로모터와 테스트되어야 하는 어닐링될 수 있는 링커 서열, 리포터 유전자(reporter gene)를 코딩하는 DNA 절편; 및 5'에서 3'의 방향으로, 테스트 되어야 하는 어닐링될 수 있는 링커 서열, 리포터 유전자(reporter gene)를 코딩하는 DNA 절편 (예를 들어, 녹색 형광 단백질 (GFP)) 및 프라이머 결합 절편 또는 어닐링될 수 있는 링커 서열을 포함하는 두번째 폴리뉴클레오타이드 성분;으로부터 집합될 수 있다. 테스트용 집합된(assembled) 폴리뉴클레오타이드는 리포터 유전자(reporter gene)의 발현의 효율성을 위하여 생체 내 또는 생체 밖에서 테스트될 수 있다. 유사한 테스트 용 집합된(assembled) 폴리뉴클레오타이드들은, 증폭자(enhancer), 종결자(terminator), 폴리-A 꼬리, 핵 위치 신호(nuclear localization signal), mRNA 안정 신호(mRNA stabilization signal), 선별표지(selectable marker), 에피토프 태그(epitope tag) 코딩 서열, 분해 신호(degradation signal), 기타 등등과 같은 기타 성분들을 포함하는 DNA 절편을 포함하는 폴리뉴클레오타이드 성분들을 결합시키는데 어닐링될 수 있는 링커 서열의 적절성을 테스트하기 위하여 집합될 수 있다. 테스트용 집합된(assembled) 폴리뉴클레오타이드는 테스트를 가능하게 하는 추가적인 폴리뉴클레오타이드 성분들, 예를 들어, 생체 내 테스트를 위하여 숙주 세포로의 테스트용 집합된(assembled) 폴리뉴클레오타이드의 도입과 양성 형질변환체의 선택을 가능하게 하는 게놈 타겟팅(targeting) 서열과 선별표지(selectable marker)를 포함할 수 있다.

[0174]

표 1은 T_m , 제한 부위 및 서열번호(SEQ ID NO) 1 내지 23에 상응되는 예시적인 어닐링될 수 있는 링커 서열의 연속 판독(read-through) 아미노산을 나타낸다.

표 1

[0175]

어닐링할 수 있는 링커 서열	서열 이름	길이 (염기)	% G-C	% A-T	융점(T_m)	제한 효소 부위	연속판독(read-through) 아미노산	
							Fwd	Rev
SEQ ID NO: 1	RYSE 1	24	79.2	20.8	72.4			
SEQ ID NO: 2	RYSE 2	24	75.0	25.0	71.4	MreI		
SEQ ID NO: 3	RYSE 3	24	75.0	25.0	73.7	FseI		TAGQAR GD
SEQ ID NO: 4	RYSE 4	24	70.8	29.2	71.5	SbfI	NLQAA SAD	IGARGL QV
SEQ ID NO: 5	RYSE 5	24	70.8	29.2	71.2	AsiSI	NAIAD AAD	IGGVGD RV
SEQ ID NO: 6	RYSE 6	24	70.8	29.2	70.9	NotI	KAAAG EGD	ISLASG RL
SEQ ID NO: 7	RYSE 7	24	70.8	29.2	71.5	AscI	KARHG RRD	
SEQ ID NO: 8	RYSE 8	24	75.0	25.0	70.7	BbvCI		
SEQ ID NO: 9	RYSE 9	36	50.0	50.0	67.4			
SEQ ID NO: 10	RYSE 10	36	52.8	47.2	67.7			
SEQ ID NO: 11	RYSE 11	36	58.3	41.7	69.2			
SEQ ID NO: 12	RYSE 12	36	50.0	50.0	67.4			
SEQ ID NO: 13	RYSE 13	36	58.3	41.7	69.4			
SEQ ID NO: 14	RYSE 14	36	52.8	47.2	67.4			
SEQ ID NO: 15	RYSE 15	36	52.8	47.2	67.8			
SEQ ID NO: 16	RYSE 16	36	52.8	47.2	67.8			
SEQ ID NO: 17	RYSE 17	36	52.8	47.2	68.4			
SEQ ID NO: 18	RYSE 18	36	50.0	50.0	67.8			
SEQ ID NO: 19	RYSE 19	36	52.8	47.2	68.1			

SEQ ID NO: 20	RYSE 20	36	55.6	44.4	68.3			
SEQ ID NO: 21	RYSE 21	36	55.6	44.4	67.9			
SEQ ID NO: 22	RYSE 22	36	52.8	47.2	67.4			
SEQ ID NO: 23	RYSE 23	36	55.6	44.4	68.8			

[0176] 8 라이브러리

[0177] 다른 측면에서, 본 발명은 수많은 집합 벡터들을 포함하는 라이브러리를 제공한다. 라이브러리는 원핵세포 또는 진핵세포에서 기능적인 하나 이상의 집합된(assembled) 폴리뉴클레오타이드로 수많은 폴리뉴클레오타이드 성분들의 효율적인 집합을 촉진시키는 기능을 할 수 있어서, 따라서, 시간을 소모하는 제한 엔도뉴클레아제와 연결효소(ligase)에 기초한 클로닝 기술에 대한 필요성 없이, 특이한 생물, 예를 들면, 박테리아 또는 효모의 재조합 종(strain)의 형성을 촉진한다. 본원에서 제공된 집합 방법 및 조성물은, 발현 구성 내에서, 기능적 DNA 단위, 예를 들어, 프로모터, 증폭자(enhancer), 복제 원점(origin), 등등의 효율적인 대체 또는 도입을 촉진할 수 있어서, 호스트 생물 내 발현 구성의 복제, 및/또는 그로부터의 발현의 효율적인 최적화를 제공할 수 있다.

[0178] [00154] 라이브러리는 단일한 조성물 또는 컨테이너(container), 예를 들어, 본원에서 제공된 집합 방법을 실시하는데 적당한 조성물 또는 컨테이너(container) 내에서 집합된 수많은 집합 벡터들을 포함할 수 있다. 선택적으로, 라이브러리는 동일한 조성물 또는 컨테이너(container) 내에 집합되지 않은 수많은 집합 벡터들을 포함할 수 있다. 몇몇 실시예에서, 라이브러리는 적어도 3개, 적어도 6개, 적어도 10개, 적어도 20개, 적어도 50개, 또는 50개를 초과하는 집합 벡터들을 포함하며, 각각의 벡터는 DNA 절편을 포함한다.

[0179] 몇몇 실시예에서, 라이브러리는 수많은 집합 벡터들을 포함하며, 상기 각각의 집합 벡터들은, 5'에서 3'의 방향으로, 첫번째 제한 부위 RA, DNA 절편 D, 어닐링될 수 있는 링커 서열 LB 및 두번째 제한 부위 RB를 포함한다. 몇몇 실시예에서, 라이브러리는 수많은 집합 벡터들을 포함하며, 각각의 집합 벡터는, 5'에서 3'의 방향으로, 첫번째 제한 부위 RA, 프라이머 결합 절편 PA 또는 첫번째 어닐링될 수 있는 링커 서열 LA, DNA 절편 D 및 두번째 제한 부위 RB를 포함한다. 몇몇 실시예에서, 라이브러리는 수많은 집합 벡터들을 포함하며, 상기 각각의 집합 벡터들은, 5'에서 3'의 방향으로, 첫번째 제한 부위 RA, 첫번째 어닐링될 수 있는 링커 서열 LA, DNA 절편 D, 어닐링될 수 있는 링커 서열 LB 또는 프라이머 결합 절편 PB 및 두번째 제한 부위 RB를 포함한다. 몇몇 실시예에서, 라이브러리의 각각의 집합 벡터 내의 어닐링될 수 있는 링커 서열 쌍 또는 어닐링될 수 있는 링커 서열/1차 결합 절편 쌍은 동일한 서열을 포함하지 않는다. 몇몇 실시예에서, 각각의 집합 벡터 내 어닐링될 수 있는 링커 서열 LA 및/또는 LB의 핵산 서열은 서열번호 1 내지 23으로 구성된 군으로부터 선택된다. 몇몇 실시예에서, 각각의 집합 벡터 내 프라이머 결합 절편 PA 또는 PB의 핵산 서열은 서열번호 24 및 25로 구성된 군으로부터 선택된다.

[0180] 몇몇 실시예에서, 라이브러리는 하기의 각각의 벡터들 중 적어도 하나를 포함한다:

[0181] (a) 5'에서 3'의 방향으로, 제한 부위 RA, DNA 절편 D, 어닐링될 수 있는 링커 서열 LB 및 제한 부위 RB를 포함하는 원형 폴리뉴클레오타이드로 구성되는 벡터;

[0182] (b) 5'에서 3' 방향으로, 제한 부위 RA, 어닐링될 수 있는 링커 서열 LA, DNA 절편 D, 어닐링될 수 있는 링커 서열 LB 및 제한 부위 RB를 포함하는, 원형 폴리뉴클레오타이드로 구성되는 벡터; 및

[0183] (c) 5'에서 3'의 방향으로, 제한 부위 RA, 어닐링될 수 있는 링커 서열 LA, DNA 절편 D 및 제한 부위 RB₀를 포함하는 원형 폴리뉴클레오타이드로 구성된 벡터.

[0184] 몇몇 실시예에서, 라이브러리는 하기의 각각의 벡터들 중 적어도 하나를 포함한다:

[0185] (a) 5'에서 3'의 방향으로, 제한 부위 RA, 프라이머 결합 절편 PA, DNA 절편 D, 어닐링될 수 있는 링커 서열 LB 및 제한 부위 RB를 포함하는 원형 폴리뉴클레오타이드로 구성된 벡터;

[0186] (b) 5'에서 3'의 방향으로, 제한 부위 RA, 어닐링될 수 있는 링커 서열 LA, DNA 절편 D, 어닐링될 수 있는 링커 서열 LB 및 제한 부위 RB를 포함하는 원형 폴리뉴클레오타이드로 구성된 벡터; 및

[0187] (c) 5'에서 3' 방향으로, 제한 부위 RA, 어닐링될 수 있는 링커 서열 LA, DNA 절편 D, 프라이머 결합 절편 PB 및 제한 부위 RB₀를 포함하는 원형 폴리뉴클레오타이드로 구성된 벡터.

[0188] 몇몇 실시예에서, 프라이머 결합 절편 PA의 핵산 서열은 서열번호 24 및 25로 구성된 군으로부터 선택된다. 몇

몇몇 실시예에서, 프라이머 결합 절편 PB의 핵산 서열은 서열번호 24 및 25로 구성된 군으로부터 선택된다. 몇몇 실시예에서, 프라이머 결합 절편 PA와 프라이머 결합 절편 PB의 핵산 서열은 서열번호 24 및 25로 구성된 군으로부터 선택된다.

[0189] 몇몇 실시예에서, 라이브러리 내 임의의 어닐링될 수 있는 링커 서열 LA와 어닐링될 수 있는 링커 서열 LB의 핵산 서열은 서열번호 1 내지 23으로 구성된 군으로부터 선택된다. 몇몇 실시예에서, 라이브러리 내 어닐링될 수 있는 링커 서열 LA 중 적어도 하나와 어닐링될 수 있는 링커 서열 LB 중 적어도 하나의 핵산 서열은 서열번호 1 내지 23으로 구성된 군으로부터 선택된다. 몇몇 실시예에서, 라이브러리 내 어닐링될 수 있는 링커 서열 LA와 어닐링될 수 있는 링커 서열 LB의 각각의 핵산 서열은 서열번호 1 내지 23으로 구성된 군으로부터 선택된다.

[0190] 몇몇 실시예에서, DNA 절편 D는 선별표지(selectable marker), 프로모터, 게놈 타겟팅(targeting) 서열, 에피토프 태그(epitope tag)를 코딩하는 핵산 서열, 관심있는 유전자를 코딩하는 핵산 서열, 종결 코돈을 코딩하는 핵산 서열 및 lacZ로 구성된 군으로부터 선택된 핵산 서열을 포함한다.

[0191] 몇몇 실시예에서, 라이브러리는 하기의 각각의 핵산 분자 중 적어도 하나를 포함한다:

[0192] (a) 각각, 원형이며, 5'에서 3'의 방향으로, 첫번째 제한 부위 RA₀, 그룹 D₀, 어닐링될 수 있는 링커 서열 LB₀ 및 두번째 제한 부위 RB₀로부터 선택된 임의의 DNA 절편을 포함하는, 첫번째 핵산 분자;

[0193] (b) 각각, 원형이며, 5'에서 3'의 방향으로, 첫번째 제한 부위 RA_n, 첫번째 어닐링될 수 있는 링커 서열 LA_n, 그룹 D_n로부터 선택된 임의의 DNA 절편, 두번째 어닐링될 수 있는 링커 서열 LB_n 및 두번째 제한 부위 RB_n을 포함하는, 중간 핵산 분자(n은 1부터 중간 핵산 분자의 개수까지의 정수를 나타냄); 및

[0194] (c) 각각, 원형이며, 5'에서 3'의 방향으로, 첫번째 제한 부위 RA_m, 어닐링될 수 있는 링커 서열 LA_m, 그룹 D_m으로부터 선택된 임의의 DNA 절편, 두번째 제한 부위 RB_m을 포함하는, 마지막 핵산 분자(m은 중간 핵산 분자의 개수보다 큰 정수를 나타냄);

[0195] 여기에서, 제한 부위 RA₀부터 RB_m까지의 절단과 결과물 선형 핵산 분자의 변성에서, 각각의 어닐링될 수 있는 링커 서열 LB_(p-1)은 어닐링될 수 있는 링커 서열 LA_p의 상보적 서열(complement)에 하이브리드할 수 있으며, 상기 p는 1부터 m까지의 정수를 나타내며, 상기 각각의 그룹 D₀, ..., D_n, ..., 및 D_m은 하나 이상의 DNA 절편(segment)으로 구성된다. 몇몇 실시예에서, 첫번째 핵산 분자는 그룹 D₀으로부터 선택된 DNA 절편에 대해 5'에 위치한 프라이머 결합 절편 PA를 더 포함한다. 몇몇 실시예에서, 마지막 핵산 분자는 그룹 D_m으로부터 선택된 DNA 절편에 대해 3'에 위치한 프라이머 결합 절편 PB를 더 포함한다.

[0196] 몇몇 실시예에서, 제한 부위 RA₀부터 RB_m까지의 절단과 결과물 선형 핵산 분자의 변성에서, 각각의 어닐링될 수 있는 링커 서열 LB_(p-1)은, 성분 조성률(component composition)에서, 다른 어닐링될 수 있는 링커 서열 대비 어닐링될 수 있는 링커 서열 LA_p 또는 이들의 상보적 서열(complement)의 상보적 서열(complement)에 선택적으로 하이브리드될 수 있다. 몇몇 실시예에서, 각각의 어닐링될 수 있는 링커 서열 LB_(p-1)은 어닐링될 수 있는 링커 서열 LA_p과 서열에서 동일하다.

[0197] 특정 실시예에서, 제한 부위 RA₀부터 RB_m까지는 동일한 제한 엔도뉴클레아제에 의해 절단될 수 있어서 집합 벡터들로부터의 폴리뉴클레오타이드 성분들의 절단을 촉진할 수 있다. 몇몇 실시예에서, 제한 부위 RA₀부터 RB_m까지는 SapI 및 LguI 제한 엔도뉴클레아제들에 의해 절단될 수 있다.

[0198] 몇몇 실시예에서, 프라이머 결합 절편 PA의 핵산 서열은 서열번호 24 및 25로 구성된 군으로부터 선택된다. 몇몇 실시예에서, 프라이머 결합 절편 PB의 핵산 서열은 서열번호 24 및 25로 구성된 군으로부터 선택된다. 몇몇 실시예에서, 프라이머 결합 절편 PA와 프라이머 결합 절편 PB의 핵산 서열은 서열번호 24 및 25로 구성된 군으로부터 선택된다. 바람직한 실시예에서, 프라이머 결합 절편 PA와 프라이머 결합 절편 PB의 핵산 서열은 동일하지 않다.

[0199] 몇몇 실시예에서, 라이브러리 내 어닐링될 수 있는 링커 서열 LA와 어닐링될 수 있는 링커 서열 LB의 핵산 서열은 서열번호 1 내지 23으로 구성된 군으로부터 선택된다. 몇몇 실시예에서, 라이브러리 내 적어도 하나의 어닐

링될 수 있는 링커 서열 LA와 적어도 하나의 어닐링될 수 있는 링커 서열 LB의 핵산 서열은 서열번호 1 내지 23으로 구성된 군으로부터 선택된다. 몇몇 실시예에서, 라이브러리 내 각각의 어닐링될 수 있는 링커 서열 LA와 어닐링될 수 있는 링커 서열 LB의 핵산 서열은 서열번호 1 내지 23으로 구성된 군으로부터 선택된다. 몇몇 실시예에서, 조성을 내 각각의 어닐링될 수 있는 링커 서열 LA의 핵산 서열은 다른 핵산 서열과 동일하지 않다. 몇몇 실시예에서, 조성을 내 각각의 어닐링될 수 있는 링커 서열 LB의 핵산 서열은 다른 핵산 서열과 동일하지 않다.

[0200] 특정 실시예에서, 라이브러리는 하기의 핵산 분자를 포함한다:

[0201] (a) 2개의 첫번째 핵산 분자로서, 상기 하나의 첫번째 핵산 분자는, 5'에서 3'의 방향으로, 첫번째 제한 부위 RA₀, 프라이머 결합 절편 PA, DNA 절편 D₀₁, 어닐링될 수 있는 링커 서열 LB₀ 및 두번째 제한 부위 RB₀를 포함하며, 상기 다른 첫번째 핵산 분자는, 5'에서 3'의 방향으로, 첫번째 제한 부위 RA₀, 프라이머 결합 절편 PA, DNA 절편 D₀₂, 어닐링될 수 있는 링커 서열 LB₀ 및 두번째 제한 부위 RB₀를 포함하며, 상기 DNA 절편 D₀₁은 첫번째 게놈 타겟팅(targeting) 서열을 코딩하며, 상기 DNA 절편 D₀₂는 타겟 게놈 내 첫번째 게놈 타겟팅(targeting) 서열의 다운스트림에 위치한 두번째 게놈 타겟팅(targeting) 서열을 코딩하며, 상기 DNA 절편 D₀₂는 프라이머 결합 절편 PA와 어닐링될 수 있는 링커 서열 LB₀ 대비 DNA 절편 D₀₁에 대해 반대쪽 방향에 위치하며;

[0202] (b) 적어도 하나의 중간 핵산 분자로서, 상기 중간 핵산 분자는 5'에서 3'의 방향으로, 첫번째 제한 부위 RA_n, 첫번째 어닐링될 수 있는 링커 서열 LA_n, DNA 절편 D_n, 두번째 어닐링될 수 있는 링커 서열 LB_n 및 두번째 제한 부위 RB_n를 포함하며, 상기 n은 1부터 중간 핵산 분자의 개수까지의 정수를 나타내며; 및

[0203] (c) 2개의 마지막 핵산 분자로서, 상기 하나의 마지막 핵산 분자는, 5'에서 3'의 방향으로, 첫번째 제한 부위 RA_m, 어닐링될 수 있는 링커 서열 LA_m, DNA 절편 D_{m1}, 프라이머 결합 절편 PB 및 두번째 제한 부위 RB_m을 포함하며, 상기 다른 마지막 핵산 분자는, 5'에서 3'의 방향으로, 첫번째 제한 부위 RA_m, 어닐링될 수 있는 링커 서열 LA_m, DNA 절편 D_{m2}, 프라이머 결합 절편 PB 및 두번째 제한 부위 RB_m을 포함하며, 상기 m은 중간 핵산 분자의 개수보다 큰 정수를 나타내며, 상기 DNA 절편 D_{m1}은 선별표지(selectable marker)의 첫번째 절편을 코딩하며, 상기 DNA 절편 D_{m2}는 선별표지(selectable marker)의 두번째 절편을 코딩하며, 상기 DNA 절편 D_{m2}는 어닐링될 수 있는 링커 서열 LA_m과 프라이머 결합 절편 PB에 대비 DNA 절편 D_{m1}에 대해 반대쪽 방향에 위치하며, 상기 DNA 절편 D_{m1} 또는 DNA 절편 D_{m2}는 기능적 선별표지(selectable marker)를 형성하지 않지만, DNA 절편(segment) D_{m1}과 D_{m2}의 상동 재조합(homologous recombination)에서 기능적 선별표지(selectable marker)가 형성되며;

[0204] 상기 각각의 어닐링될 수 있는 링커 서열 LB_(p-1)은 어닐링될 수 있는 링커 서열 LA_p와 동일하며, 상기 p는 1부터 m까지의 정수를 나타낸다.

[0205] 몇몇 실시예에서, 라이브러리는 수많은 집합 벡터들을 포함하며, 상기 각각의 집합 벡터는 동일한 어닐링될 수 있는 링커 서열, 어닐링될 수 있는 링커 서열 쌍 또는 어닐링될 수 있는 링커 서열/1차 결합 절편 쌍을 포함하지만, 상기 벡터의 각각의 DNA 절편 D와 서열에서 다르다.

[0206] 다른 실시예에서, 라이브러리는 수많은 집합 벡터들을 포함하며, 상기 각각의 집합 벡터는 특유한 어닐링될 수 있는 링커 서열, 어닐링될 수 있는 링커 서열 쌍 또는 어닐링될 수 있는 링커 서열/프라이머 결합 절편 쌍의 측면에 배치된 동일한 DNA 절편 D를 포함한다. 그러한 라이브러리는 집합된(assembled) 폴리뉴클레오타이드로의 집합된 다른 DNA 절편(segment) 대비 특정한 위치 또는 배향으로의 DNA 절편 D의 빠른 집합을 촉진하는 기능을 할 수 있다.

[0207] 몇몇 실시예에서, 라이브러리의 구성원은 공동의 구조적 또는 기능적 특성을 갖는 DNA 절편(segment)을 포함한다. 예를 들어, 라이브러리는 동일한 기능적 DNA 단위를 포함하는 수많은 집합 벡터들을 포함할 수 있다. 예시적인 기능적 DNA 단위들은, 그러나 이에 제한되지 않는, 단백질-코딩 서열, 리포터 유전자, 형광 표지, 프로모터, 증폭자(enhancer), 종결자(terminator), 인트론, 엑손, 폴리-A 꼬리, 다수의 클로닝 부위, 핵 위치 신호(nuclear localization signal), 핵 배출 신호(nuclear export signal), mRNA 안정 신호(mRNA stabilization

signal), 선별표지(selectable marker), 통합 부위(integration loci), 에피토프 태그(epitope tag) 및 분해 신호(degradation signal)를 포함한다. 몇몇 실시예에서, 라이브러리는 수많은 집합 벡터들을 포함하며, 상기 각각의 집합 벡터는 동일한 프로모터를 포함한다. 집합 벡터는 업계에 알려진 임의의 원핵 또는 진핵 프로모터 서열을 포함할 수 있다. 예시적인 진핵 프로모터는, 그러나 이에 제한되지 않는, 메탈로티오네인(metallothionein) 프로모터, 항시성 아데노바이러스 메이저 레이트 프로모터(constitutive major late promoter), 텍사메타손-유도성 MMTV 프로모터, SV40 프로모터, MRP *pol III* 프로모터, 항시성 MPSV 프로모터, RSV 프로모터, 테트라사이클린-유도성 CMV 프로모터 (예를 들어, 인간 조기발현(immediate-Early) CMV 프로모터) 및 항시성 CMV 프로모터를 포함한다. 특정한 실시예에서, 집합 벡터는 효모 프로모터 서열을 포함한다. 예시적인 효모 프로모터는, 그러나 이에 제한되지 않는, PGAL3, PGAL7, PCTR3, PMET3, PPGK1, PTDH1, PTDH3, PFBA1, PTEF1, PEN01, PEN02, PCYC1, PTDH2, PCUP1, PGAL80, PGAL2, PBNA6, PTMA29, PSBP1, PPUP3, PACS2, PTP01, PRPT1, PAAT2, PAHP1, PSSE1, PTEF2, PNPL3, PPET9, PTUB2, POLE1, PCPR1, PIPPP1 및 PSOD1를 포함한다.

[0208] 몇몇 실시예에서, 라이브러리는 수많은 집합 벡터들을 포함하며, 상기 각각의 집합 벡터는 동일한 종결자(terminator) 서열을 포함한다. 집합 벡터는 업계에 알려진 임의의 원핵 또는 진핵 종결자(terminator) 서열을 포함할 수 있다. 특정한 실시예에서, 집합 벡터는 효모 종결자(terminator) 서열을 포함한다. 예시적인 효모 종결자(terminator)는, 그러나 이에 제한되지 않는, TADH1, TEN01, TEN02, TCYC1, TNNT80, TTDH3, TTDH1 및 TPGK1를 포함한다.

[0209] 몇몇 실시예에서, 라이브러리는 수많은 집합 벡터들을 포함하며, 상기 각각의 집합 벡터는 동일한 선별표지(selectable marker)를 포함한다. 집합 벡터는 업계에 알려진 임의의 원핵 또는 진핵 선별표지(selectable marker)를 포함할 수 있다. 선별표지(selectable marker)의 예는, 그러나 이에 제한되지 않는, 항생제 내성 표지 (예를 들어, 카나마이신, 앰피실린, 클로람페니콜, 젠타마이신, 또는 트리메토프림에 대한 내성을 코딩하는 유전자) 및 대사성 표지(metabolic marker)(예를 들어, 아미노산 합성 유전자 또는 운반 RNA 유전자)를 포함한다.

9 키트(Kit)

[0211] 다른 측면에서, 본원은 폴리뉴클레오타이드의 집합체 키트를 제공하며, 상기 키트는 2개 이상의 하기의 것들을 포함한다: (a) 본원에서 제시된 하나 이상의 엔트리 벡터(entry vector); (b) 상기 하나 이상의 엔트리 벡터(entry vector)의 제한 부위들 RA 및 RB를 절단할 수 있는 하나 이상의 제한 엔도뉴클레아제; (c) 상기 엔트리 벡터(entry vector)의 제한 부위들 RY 및 RZ를 절단할 수 있는 하나 이상의 제한 엔도뉴클레아제; 및 (d) 상기 하나 이상의 엔트리 벡터(entry vector)의 프라이머 결합 절편(segment)들 PA 및 PB에 어닐링할 수 있는 올리고뉴클레오타이드프라이머.

[0212] 몇몇 실시예에서, 상기 키트의 각각의 엔트리 벡터(entry vector)의 제한 부위 RA 및 RB는 SapI 제한 엔도뉴클레아제에 의해 인지 및 절단될 수 있으며, 상기 키트는 SapI 제한 엔도뉴클레아제를 포함한다. 몇몇 실시예에서, 상기 키트의 각각의 엔트리 벡터(entry vector)의 제한 부위 RY 및 RZ는 SchI (또는 MlyI) 제한 엔도뉴클레아제에 의해 인지 및 절단될 수 있으며, 상기 키트는 SchI (또한 MlyI) 제한 엔도뉴클레아제를 포함한다.

[0213] 몇몇 실시예에서, 키트 내 하나 이상의 엔트리 벡터(entry vector)의 프라이머 결합 절편 PA의 핵산 서열은 서열번호 24 및 25로 구성된 군으로부터 선택된다. 몇몇 실시예에서, 키트 내 하나 이상의 엔트리 벡터(entry vector)의 프라이머 결합 절편 PB의 핵산 서열은 서열번호 24 및 25로 구성된 군으로부터 선택된다. 바람직한 실시예에서, 프라이머 결합 절편 PA와 프라이머 결합 절편 PB의 핵산 서열은 동일하지 않다.

[0214] 몇몇 실시예에서, 키트 내 하나 이상의 엔트리 벡터(entry vector)의 어닐링될 수 있는 링커 서열 LA의 핵산 서열은 서열번호 1 내지 23으로 구성된 군으로부터 선택된다. 몇몇 실시예에서, 키트 내 하나 이상의 엔트리 벡터(entry vector)의 어닐링될 수 있는 링커 서열 LB의 핵산 서열은 서열번호 1 내지 23으로 구성된 군으로부터 선택된다. 몇몇 실시예에서, 키트 내 모든 엔트리 벡터(entry vector)의 어닐링될 수 있는 링커 서열 LA 및 어닐링될 수 있는 링커 서열 LB의 핵산 서열은 서열번호 1 내지 23으로 구성된 군으로부터 선택된다.

[0215] 몇몇 실시예에서, 키트는 pRYSE 벡터 #1, 서열번호 221와 같이 본원에서 제공된 서열을 포함한다. 몇몇 실시예에서, 키트는 pRYSE 벡터 #2, 서열번호 207와 같이 본원에서 제공된 서열을 포함한다. 몇몇 실시예에서, 키트는

pRYSE 벡터 #3, 서열번호 208와 같이 본원에서 제공된 서열을 포함한다. 몇몇 실시예에서, 키트는 pRYSE 벡터 #4, 서열번호 209와 같이 본원에서 제공된 서열을 포함한다. 몇몇 실시예에서, 키트는 pRYSE 벡터 #5, 서열번호 210와 같이 본원에서 제공된 서열을 포함한다. 몇몇 실시예에서, 키트는 pRYSE 벡터 #6, 서열번호 211와 같이 본원에서 제공된 서열을 포함한다. 몇몇 실시예에서, 키트는 pRYSE 벡터 #7, 서열번호 212와 같이 본원에서 제공된 서열을 포함한다. 몇몇 실시예에서, 키트는 pRYSE 벡터 #8, 서열번호 213와 같이 본원에서 제공된 서열을 포함한다. 몇몇 실시예에서, 키트는 pRYSE 벡터 #9, 서열번호 214와 같이 본원에서 제공된 서열을 포함한다. 몇몇 실시예에서, 키트는 pRYSE 벡터 #10, 서열번호 215와 같이 본원에서 제공된 서열을 포함한다. 몇몇 실시예에서, 키트는 pRYSE 벡터 #11, 서열번호 216와 같이 본원에서 제공된 서열을 포함한다. 몇몇 실시예에서, 키트는 pRYSE 벡터 #12, 서열번호 217와 같이 본원에서 제공된 서열을 포함한다. 몇몇 실시예에서, 키트는 pRYSE 벡터 #13, 서열번호 218와 같이 본원에서 제공된 서열을 포함한다. 몇몇 실시예에서, 키트는 pRYSE 벡터 #14, 서열번호 219와 같이 본원에서 제공된 서열을 포함한다. 몇몇 실시예에서, 키트는 pRYSE 벡터 #15, 서열번호 220와 같이 본원에서 제공된 서열을 포함한다.

[0216]

몇몇 실시예에서, 키트는 본원에서 제시된 폴리뉴클레오타이드 집합 방법을 설명하는 용도에 대한 지침을 더 포함한다. 몇몇 실시예에서, 내열성의 DNA 폴리머라제 (예를 들어, Pfu DNA 폴리머라제) 및 테옥시리보뉴클레오사이드 트리포스페이트 (dNTP)와 같은 폴리뉴클레오타이드 폴리머라제 또한, 키트 내에 존재한다. 몇몇 실시예에서, 집합된(assembled) 폴리뉴클레오타이드로 집합되는 폴리뉴클레오타이드 성분을 각각 포함하는 2개 이상의 집합 벡터는 키트 내에 제공될 수 있다. 예를 들어, 집합 벡터는 교정 및/또는 키트의 올바른 실시를 증명하기 위한 양성 대조군으로서의 사용에 유용한 폴리뉴클레오타이드 성분을 포함하도록 제공될 수 있다. 기타 실시예는, 그러나 이에 제한되지 않는, 집합 벡터는 폴리뉴클레오타이드 성분으로서 단백질-코딩 서열, 리포터 유전자 (reporter gene), 형광 표지(marker) 코딩 서열, 프로모터, 증폭자(enhancer), 종결자(terminator), 인트론, 엑손, 폴리-A 꼬리, 다수의 클로닝 부위, 핵 위치 신호(nuclear localization signal), mRNA 안정 신호(mRNA stabilization signal), 선별표지(selectable marker), 통합 부위(integration loci), 에피토프 태그(epitope tag) 코딩 서열 및 분해 신호(degradation signal)를 포함한다.

도면의 간단한 설명

[0217]

도 1a는 본 발명의 집합 벡터의 제조에 유용한 엔트리 벡터(entry vector)의 도식을 제공한다. 상기 벡터는 제한 부위 RA₀, 프라이머 결합 절편 PA 또는 어닐링될 수 있는 링커 서열 LA, 제한 부위 RY, DNA 절편 D, 제한 부위 RZ, 프라이머 결합 절편 PB 또는 어닐링될 수 있는 링커 서열 LB 및 제한 부위 RB를 포함한다.

도 1b는 집합 벡터를 형성하기 위하여 DNA 절편의 수용을 위한 엔트리 벡터(entry vector)의 예시적인 제조 방법을 제공한다. 실시예에서, RY=RZ=SchI이다. SchI를 사용한 분해, 즉 평활 말단(blunt end)을 형성할 수 있는 IIS형 제한 엔도뉴클레아제는 DNA 절편 D로 융합되도록, 열려져 있는 링커 부위를 갖는 벡터의 분리를 허용한다. 엔트리 벡터(entry vector)로의 D의 평활 말단(blunt-end) 연결은, 예를 들어, T4 DNA 연결효소(ligase)를 사용하는 종래의 방법에 의해 실시될 수 있다.

도 2는 수많은 집합 벡터 (첫번째, 중간 및 마지막)를 포함하는 집합체 조성물의 도식을 나타내며, 각각의 집합 벡터는 관심있는 DNA 절편 (D₀, D_n, D_m)을 포함한다. 첫번째 핵산 분자는 첫번째 제한 부위 RA₀, 프라이머 결합 절편 PA, DNA 절편 D₀, 어닐링될 수 있는 링커 서열 LB₀ 및 두번째 제한 부위 RB₀를 포함한다. 하나 이상의 중간 핵산 분자는 첫번째 제한 부위 RA_n, 첫번째 어닐링될 수 있는 링커 서열 LA_n, DNA 절편 D_n, 두번째 어닐링될 수 있는 링커 서열 LB_n 및 두번째 제한 부위 RB_n을 포함하며, 상기 n은 1부터 중간 핵산 분자의 개수까지의 정수를 나타내며; 마지막 핵산 분자는 첫번째 제한 부위 RA_m, 어닐링될 수 있는 링커 서열 LA_m, DNA 절편 D_m, 프라이머 결합 절편 PB, 두번째 제한 부위 RB_m을 포함하며, 상기 m은 중간 핵산 분자의 개수보다 큰 정수를 나타낸다.

도 3은 집합하는 예시적인 방법, 예를 들어, 4개의 폴리뉴클레오타이드 성분들로부터 집합된(assembled) 폴리뉴클레오타이드를 "스티칭(stitching)"하는 방법을 나타낸다. 집합될 DNA 절편을 포함하는 집합 벡터들은 하나의 싱글 튜브에 넣어진 후에, 집합 벡터 골격으로부터 폴리뉴클레오타이드 절편 성분을 분리하기 위하여 SapI를 사용하여 분해된다. SapI의 열 불활성화 후에, 폴리뉴클레오타이드 절편 성분들은 변성 조건을 겪게 된 후, 상보적인 어닐링될 수 있는 링커(annealable linker) 쌍의 하이브리드에 충분한 어닐링 조건을 겪게 된다. DNA 폴리머라제 및 dNTP의 존재 하에서 프라이머 신장을 한 후, PA 및 PB에 상보적인 프라이머가 첨가된 후, 종래의 PCR 증폭이 실시된다. 집합 반응의 결과에 따라, 5'에서 3'의 방향으로 집합된 폴리뉴클레오타이드 성분들 D₀, D₁,

D_2 및 D_3 를 포함하는 집합된(assembled) 폴리뉴클레오타이드가 형성된다.

도 4는 pRYSE 벡터의 맵(map)을 보여준다.

도 5는 SapI 제한 엔도뉴클레아제 (컬럼 정제 또는 열 불활성화)를 제거하는 서로 다른 방법, 기타 모든 절편들의 동일한 몰 농도를 갖는 가장 작은 절편의 서로 다른 집합 벡터 DNA 농도 (5 ng (낮은 DNA 농도) 또는 50 ng (높은 DNA 농도)) 및 PCR 증폭을 위한 서로 다른 어닐링 온도 (54°C 및 72°C)를 사용하여, 2개 내지 4개의 폴리뉴클레오타이드 성분들 (표 7의 집합체 1 내지 6)을 집합하여 얻은 집합된(assembled) 폴리뉴클레오타이드들을 보여준다.

도 6은 서로 다른 DNA 폴리머라제들 (Phusion (New England Biolabs, Ipswich, MA) 및 PfuUltraII (Stratagene/Agilent, La Jolla, CA))를 사용하여 6개 또는 9개 폴리뉴클레오타이드 성분들 (표 7의 집합체 7 및, 13 내지 16)을 집합하여 얻은 집합된(assembled) 폴리뉴클레오타이드들을 보여준다.

도 7은 pMULE 벡터의 맵(map)을 보여준다. pMULE 엔트리 벡터(entry vector)는, 프라이머 결합 절편(segment) 또는 어닐링될 수 있는 링커 서열이 없다는 점에서 pRYSE 엔트리 벡터(entry vector)와 다르다.

도 8은 집합된(assembled) 폴리뉴클레오타이드들을 숙주 세포 매개 상동 재조합(homologous recombination)에 의해 결합된(combined) 폴리뉴클레오타이드에 결합시키고, 상기 결합된(combined) 폴리뉴클레오타이드를 숙주 세포의 염색체에 통합시키는 예시적인 방법을 나타낸다. 집합된(assembled) 폴리뉴클레오타이드 A는 선별표지(selectable marker)의 비-기능적 첫번째 절편을 코딩하는 DNA 절편 D_{m1} 및 업스트림 게놈 타겟팅(targeting) 서열을 코딩하는 DNA 절편 D_{01} 을 포함한다. 집합된(assembled) 폴리뉴클레오타이드 B는 선별표지(selectable marker)의 비-기능적 두번째 절편을 코딩하는 DNA 절편 D_{m2} 및 다운스트림 게놈 타겟팅(targeting) 서열을 코딩하는 DNA 절편 D_{02} 를 포함한다. 숙주 세포는, 기능적 선별표지(selectable marker)를 포함하는 결합된(combined) 폴리뉴클레오타이드를 형성하기 위하여 집합된(assembled) 폴리뉴클레오타이드 A와 집합된(assembled) 폴리뉴클레오타이드 B를 DNA 절편(segment) D_{m1} 및 D_{m2} 의 상동(homology) 영역에서 재결합하고, 결합된(combined) 폴리뉴클레오타이드를 상동 재조합(homologous recombination)에 의해 숙주 세포 염색체에 삽입하기 위하여 DNA 절편(segment) D_{01} 및 D_{02} 에 의해 코딩된 게놈 타겟팅(targeting) 서열을 사용한다.

도 9는 숙주 세포에서 상동 재조합(homologous recombination)에 의해 집합된(assembled) 폴리뉴클레오타이드를 형성하고 집합된(assembled) 폴리뉴클레오타이드를 숙주 세포의 염색체로 통합하는 예시적인 방법을 나타낸다. 첫번째 단계에서, 집합 벡터를 포함하는 집합체 조성물은 제한 엔도뉴클레아제에 의해 분해되어, 집합 벡터 골격으로부터 폴리뉴클레오타이드 성분들의 절단을 유발한다. 두번째 단계에서, 폴리뉴클레오타이드 성분들은 숙주 세포에 도입되며, 여기에서, 집합된(assembled) 폴리뉴클레오타이드를 형성하기 위하여 어닐링될 수 있는 링커 서열의 상동(homology) 영역에서 재결합되고 상기 집합된(assembled) 폴리뉴클레오타이드는 숙주 세포의 염색체로 통합된다.

도 10은 동일한 반응에서 7개의 폴리뉴클레오타이드 성분들로부터 수많은 집합된(assembled) 폴리뉴클레오타이드를 집합하는 예시적인 방법을 나타낸다. 집합될 DNA 절편(segment)을 포함하는 집합 벡터는 하나의 싱글 튜브에 옮겨진 후 집합 벡터 골격으로부터 폴리뉴클레오타이드 성분들을 분리하기 위하여 SapI를 사용하여 분해된다. SapI의 열 불활성화 이후에, 폴리뉴클레오타이드 절편 성분들은 변성 조건을 겪게 되고, 상보적인 어닐링될 수 있는 링커(annealable linker) 쌍의 하이브리드에 충분한 어닐링 조건을 겪게 된다. DNA 폴리머라제 및 dNTP들의 존재 하에서 프라이머 신장 이후에, PA 및 PB에 상보적인 프라이머들이 첨가된 후, 종래의 PCR 증폭이 실시된다. 집합 반응(assembly reaction)은 5'에서 3' 방향으로 집합된 폴리뉴클레오타이드 성분들 $D_{01/02}$, $D_{1/2}$, D_3 및 $D_{41/42}$ 을 포함하는 집합된(assembled) 폴리뉴클레오타이드의 형성을 유발한다.

도 11은 조합적으로 결합된(combined) 폴리뉴클레오타이드들을 포함하는 수많은 숙주 세포들을 형성하는 예시적인 방법을 나타낸다. 집합된(assembled) 폴리뉴클레오타이드들 A1 및 A2 (이들은 각각, 동일한 업스트림 게놈 타겟팅(targeting) 서열 및 선별표지(selectable marker)의 비기능적인 동일한 첫번째 부분을 포함함) 및 집합된(assembled) 폴리뉴클레오타이드들 B1 및 B2 (이들은 각각 동일한 다운스트림 게놈 타겟팅(targeting) 서열 및 선별표지(selectable marker)의 비기능적인 동일한 두번째 부분을 포함함)는, 서로 다른 4개의 결합된(combined) 폴리뉴클레오타이드들, A1/B1, A1/B2, A2/B1 및 A2/B2를 형성하기 위하여 숙주 세포 매개 상동 재조합(homologous recombination)에 의하여 조합적으로 결합되며, 이들은 각각, 서로 다른 4개의 숙주 세포들을

형성하기 위하여 염색체로 삽입될 수 있는, 기능적 선별표지(selectable marker)를 포함한다.

도 12a는 조합적으로 접합된(assembled) 폴리뉴클레오타이드 및 조합적으로 접합되고(assembled) 결합된(combined) 폴리뉴클레오타이드들 및 예상된 접합되고(assembled) 결합된(combined) 폴리뉴클레오타이드들을 포함하는 효모 세포들의 높은 생산량의(high-throughput)의 형성을 위하여 실시예 10에서 사용된 폴리뉴클레오타이드 성분들을 보여준다. US = 업스트림 게놈 타겟팅(targeting) 서열, DS = 다운스트림 게놈 타겟팅(targeting) 서열, P = 다양한 프로모터 서열들, G = 다양한 단백질 코딩서열들, URA = 선별표지(selectable marker)의 5' 절편, RA3 = 선별표지(selectable marker)의 3' 절편, PA = 프라이머 결합 절편 PmeI-5', PB = 프라이머 결합 절편 PmeI-3', LB₀ = 어닐링될 수 있는 링커 서열 RYSE 2, LA_{n1} = 어닐링될 수 있는 링커 서열 RYSE 2, LB_{n1} = 어닐링될 수 있는 링커 서열 RYSE 15, LA_{n2} = 어닐링될 수 있는 링커 서열 RYSE 3, LB_{n2} = 어닐링될 수 있는 링커 서열 RYSE 16, LA_{n3} = 어닐링될 수 있는 링커 서열 RYSE 15, LB_{n3} = 어닐링될 수 있는 링커 서열 RYSE 3, LA_{n4} = 어닐링될 수 있는 링커 서열 RYSE 16, LB_{n4} = 어닐링될 수 있는 링커 서열 RYSE 4, LA_{m1} = 어닐링될 수 있는 링커 서열 RYSE 3, LA_{m2} = 어닐링될 수 있는 링커 서열 RYSE 4, LA_{m3} = 어닐링될 수 있는 링커 서열 RYSE 3를 나타낸다.

도 12b는 실시예 10에서 제시된 바와 같이 형성되고 1% 아가로스 겔 상에서 분해된 예시적인 접합된(assembled) 폴리뉴클레오타이드 (박스 부분)를 나타낸다.

도 12c는 실시예 10에서 제시된 바에 따라 얻은 예시적인 세포 콜로니에 대한 제한 분석(restriction analysis)을 나타낸다.

도 13a는 실시예 11에서 사용된 접합된(assembled) 폴리뉴클레오타이드 및 폴리뉴클레오타이드 성분과, 접합 및 숙주 세포에 의한 염색체의 통합(integration)으로부터 얻은 예상되는 염색체 위치를 나타낸다.

도 13b는 염색체로 통합된 접합된(assembled) 폴리뉴클레오타이드들을 포함하는, 실시예 11에서 형성된 효모 세포 형질변환체로부터 얻은 cPCR 분석 결과를 보여준다.

도 14는 염색체로 통합된 조합적으로 접합되고(assembled) 조합적으로 결합된(combined) 폴리뉴클레오타이드들 및 접합 및 숙주 세포 매개 상동 재조합(homologous recombination)의 조합에서 얻은 예상되는 결합된(combined) 폴리뉴클레오타이드들을 포함하는 효모 세포의 높은 생산량의(high-throughput) 형성을 위하여, 실시예 12에서 사용된 폴리뉴클레오타이드 성분들을 보여준다. US = 업스트림 게놈 타겟팅(targeting) 서열, DS = 다운스트림 게놈 타겟팅(targeting) 서열, P = 다양한 프로모터 서열, G = 다양한 단백질 코딩서열, URA = 선별표지(selectable marker)의 5' 절편, RA3 = 선별표지(selectable marker)의 3' 절편, PA = 프라이머 결합 절편 PmeI-5', PB = 프라이머 결합 절편 PmeI-3', LB₀ = 어닐링될 수 있는 링커 서열 RYSE 2, LA_{n1} = 어닐링될 수 있는 링커 서열 RYSE 2, LB_{n1} = 어닐링될 수 있는 링커 서열 RYSE 15, LA_{n2} = 어닐링될 수 있는 링커 서열 RYSE 3, LB_{n2} = 어닐링될 수 있는 링커 서열 RYSE 16, LA_{n3} = 어닐링될 수 있는 링커 서열 RYSE 15, LB_{n3} = 어닐링될 수 있는 링커 서열 RYSE 3, LA_{n4} = 어닐링될 수 있는 링커 서열 RYSE 16, LB_{n4} = 어닐링될 수 있는 링커 서열 RYSE 4, LA_{m1} = 어닐링될 수 있는 링커 서열 RYSE 3, LA_{m2} = 어닐링될 수 있는 링커 서열 RYSE 4, LA_{m3} = 어닐링될 수 있는 링커 서열 RYSE 3을 나타낸다.

발명을 실시하기 위한 구체적인 내용

[0218] 실시예

본 발명은 하기의 실시예에 의해 예시적으로 설명되며, 이것은 어떠한 방식으로도 본 발명을 제한하려는 의도가 아니다. 실시예에 제시된 *Saccharomyces cerevisiae* 구성은 *Saccharomyces cerevisiae* 종(strain) CEN.PK2로부터 유래되었다. *Saccharomyces cerevisiae* 종(strain) S288c과 달리, 종(strain) CEN.PK2의 게놈 서열은 대중적으로 이용할 수 없다. 제시된 구성의 몇몇은 서열이 밝혀진 것이어서, 제공된 서열들의 구성은 실제의 CEN.PK2-유래 구성이다. 서열이 밝혀지지 않은 구성에 대하여, 제공된 서열은 종(strain) S288c의 공개된 게놈 서열에 기초하기 때문에, 실제의 CEN.PK2-유래 구성의 서열과 다형성(polymorphic) 차이를 포함할 수 있다.

[0220] 실시예 1

- [0221] 본 실시예는 pRYSE 벡터를 만드는 방법을 제시한다. pRYSE 벡터는, 5'에서 3'의 방향으로, 첫번째 *SapI* 제한효소 인지 부위, 첫번째 어닐링될 수 있는 링커 서열 또는 프라이머 결합 절편, 첫번째 *SchI* 제한효소 인지 부위, 녹색 형광 단백질 (GFP) 또는 *lacZ* 표지 유전자, 두번째 *SchI* 제한효소 인지 부위, 두번째 어닐링될 수 있는 링커 서열 또는 프라이머 결합 절편 및 두번째 *SapI* 제한효소 인지 부위를 포함한다.
- [0222] β -락타마아제를 코딩하는 DNA 절편은, pUC19의 *bla* 유전자 내 *SchI* 제한효소 인지 부위가 PCR 프라이머 JCB158-17A (서열번호 227) 및 JCB1 58-17B (서열번호 228)을 사용한 pUC19의 부위-특이적(site-directed) 돌연변이유발(mutagenesis)에 의해 제거된 후에, 프라이머 JCB158-17C (서열번호 229) 및 JCB158-17D (서열번호 230)을 사용한 pUC19 벡터 (유전자 은행의 등록번호 L09137)로부터 PCT 증폭되었다. PCR 생산물은 겔 정제 된 후 TOPO 벡터 (Invitrogen, Carlsbad, CA)로 연결되고, 상기 결과물은 *SphI* 및 *MfeI* 제한효소를 사용하여 완전히 분해하여 다시 유리되어, "bla DNA 절편"을 생성하였다.
- [0223] DNA 절편들 1040 (서열번호 224), 1041 (서열번호 225) 및 1042 (서열번호 226)은 종합적으로 형성되었다 (Biosearch Technologies, Novato, CA). DNA 절편들 1040 및 1041은 *BstXI* 제한효소를 사용하여 완전히 분해되었고, 각각의 분해된 절편은, 제한효소 *SacI* 및 *KpnI*를 사용하여 pAM1466 (서열번호 223; Biosearch Technologies, Novato, CA에 의해 종합적으로 형성됨)를 완전히 커팅하여 형성된 2.65 kb 벡터 골격과 연결되었다. 1040_pAM1466 DNA 구성은 *BsmBI* 및 *BstXI* 제한효소를 사용하여 완전히 분해되었고, 상기 반응 혼합물은 겔 전기영동에 의해 분해되었고, 1040 DNA 절편을 포함하는 대략 3.5 kb DNA 절편은 겔 정제되었다. 1041_pAM1466 DNA 구성은 *BsaI* 및 *BstXI* 제한효소를 사용하여 완전히 분해되었고, 상기 반응 혼합물은 겔 전기영동에 의해 분해되었고, 및 1041 DNA 절편을 포함하는 대략 0.9 kb 1041 DNA 절편은 겔 정제되었다. 정제된 DNA 절편들이 연결되어, DNA 구성 1040_1041_pAM1466을 형성하였다. 1040_1041 DNA 절편을 형성하기 위한 프라이머들 J036 (서열번호 69) 및 J037 (서열번호 70), 1040_1041 DNA 절편의 말단 서열과 겹치는 말단 서열을 갖는 1042 DNA 절편을 형성하기 위한 프라이머들 J038 (서열번호 71) 및 J039 (서열번호 72), 및 2개의 PCR 생성물에 결합하기 위한 프라이머들 J039 (*SphI* 제한효소 인지 부위를 포함함) (서열번호 72) 및 J036 (*MfeI* 제한효소 인지 부위를 포함함) (서열번호 69)을 사용하는 PCR "스티칭(stitching)" 반응에 의해, DNA 절편 1042은 DNA 구성 1040_1041에 결합되었다. 상기 1040_1041_1042 PCR 생성물은 *SphI* 및 *MfeI* 제한효소를 사용하여 완전해 분해되었고, 상기 반응 혼합물은 겔 전기영동에 의해 분해되었고, 대략 2.4 kb 1040_1041_1042 DNA 절편은 겔 정제되었고, 정제된 DNA 절편은 겔 정제된 *bla* 절편에 연결되어, "1040_1041_1042_bla" DNA 구성을 형성하였다.
- [0224] GFP 유전자를 코딩하는 1040_1041_1042_bla DNA 구성의 절편은 PCR 프라이머 1 및 2 (표 2 참조)를 사용하여 PCR 증폭되었다. PCR 반응의 첫번째 단계에서 형성된 겔-추출된 GFP 절편 및 PCR 프라이머 3 및 4를 주형(template)으로 사용하는 PCR 증폭에 의해, *SacI* 및 *XhoI* 제한효소 인지 부위는 상기 증폭된 GFP 절편 말단에 첨가되었다(표 2 참조). 증폭된 PCR 생성물은 겔 추출된 후, *XhoI* 및 *SacI* 제한효소를 사용하여 완전히 분해한 후, 제한효소는 65°C에서 20분 동안 열 불활성화되었고, 분해된 PCR 생성물은 컬럼 정제된 후 겔 정제된, *XhoI* 및 *SacI* 제한효소를 사용하여 1040_1041_1042_bla DNA 구성을 완전히 분해하여 얻은 대략 2.2 kb DNA 절편에 연결되었다. 결과물 벡터는 PCR 프라이머들 5 및 6을 사용하여 PCR 증폭되었고 (표 3 참조), 결과물 혼합물은 겔 전기영동에 의해 분해되었고, 대략 2.2 kb "pRYSE 벡터 골격"이 겔 정제되었다.

표 2

표 2 - 어닐링할 수 있는 링커 쌍 또는 어닐링할 수 있는 링커/프라이머 결합 절편 쌍 및 SacI 및 Xhol 제한효소 부위의 측면에 배치된 GFP 삽입물을 형성하기 위하여 사용된 PCR 프라이머들						
GFP 절편	어닐링 할 수 있는 링커 또는 프라이머 결합 절편 1	어닐링 할 수 있는 링커 또는 프라이머 결합 절편 2	프라이머 1	프라이머 2	프라이머 3	프라이머 4
1	Pme1-5'	RYSE 1	J018 (SEQ ID NO: 73)	J073 (SEQ ID NO: 106)	J055 (SEQ ID NO: 88)	J064 (SEQ ID NO: 97)
2	RYSE 1	RYSE 2	J019 (SEQ ID NO: 74)	J074 (SEQ ID NO: 107)	J056 (SEQ ID NO: 89)	J065 (SEQ ID NO: 98)
3	RYSE 2	RYSE 3	J020 (SEQ ID NO: 75)	J029 (SEQ ID NO: 82)	J057 (SEQ ID NO: 90)	J066 (SEQ ID NO: 99)
4	RYSE 3	RYSE 4	J021 (SEQ ID NO: 76)	J030 (SEQ ID NO: 83)	J058 (SEQ ID NO: 91)	J067 (SEQ ID NO: 100)
5	RYSE 4	RYSE 5	J022 (SEQ ID NO: 77)	J031 (SEQ ID NO: 84)	J059 (SEQ ID NO: 92)	J068 (SEQ ID NO: 101)
6	RYSE 5	RYSE 6	J023 (SEQ ID NO: 78)	J032 (SEQ ID NO: 85)	J060 (SEQ ID NO: 93)	J069 (SEQ ID NO: 102)
7	RYSE 6	RYSE 7	J024 (SEQ ID NO: 79)	J033 (SEQ ID NO: 86)	J061 (SEQ ID NO: 94)	J070 (SEQ ID NO: 103)
8	RYSE 7	RYSE 8	J025 (SEQ ID NO: 80)	J034 (SEQ ID NO: 87)	J062 (SEQ ID NO: 95)	J071 (SEQ ID NO: 104)
9	RYSE 2	Pme1-3'	J020 (SEQ ID NO: 75)	J075 (SEQ ID NO: 108)	J057 (SEQ ID NO: 90)	J072 (SEQ ID NO: 105)
10	RYSE 3	Pme1-3'	J021 (SEQ ID NO: 76)	J075 (SEQ ID NO: 108)	J058 (SEQ ID NO: 91)	J072 (SEQ ID NO: 105)
11	RYSE 4	Pme1-3'	J022 (SEQ ID NO: 77)	J075 (SEQ ID NO: 108)	J059 (SEQ ID NO: 92)	J072 (SEQ ID NO: 105)
12	RYSE 5	Pme1-3'	J023 (SEQ ID NO: 78)	J075 (SEQ ID NO: 108)	J060 (SEQ ID NO: 93)	J072 (SEQ ID NO: 105)
13	RYSE 6	Pme1-3'	J024 (SEQ ID NO: 79)	J075 (SEQ ID NO: 108)	J061 (SEQ ID NO: 94)	J072 (SEQ ID NO: 105)
14	RYSE 7	Pme1-3'	J025 (SEQ ID NO: 80)	J075 (SEQ ID NO: 108)	J062 (SEQ ID NO: 95)	J072 (SEQ ID NO: 105)

[0225]

15	RYSE 8	Pme1-3'	J026 (SEQ ID NO: 81)	J075 (SEQ ID NO: 108)	J063 (SEQ ID NO: 96)	J072 (SEQ ID NO: 105)
----	--------	---------	-------------------------	--------------------------	-------------------------	--------------------------

[0226]

표 3

표 3 - pRYSE 벡터에 존재하는 어닐링할 수 있는 링커 쌍 또는 어닐링할 수 있는 링커 서열/프라이머 결합 절편 쌍 및 pRYSE 벡터 골격을 형성하는데 사용된 PCR 프라이머들				
pRYSE 벡터	어닐링 할 수 있는 링커 또는 프라이머 결합 절편 1 (표1참조)	어닐링 할 수 있는 링커 또는 프라이머 결합 절편 2 (표1참조)	프라이머 5	프라이머 6
1	Pme1-5'	RYSE 1	S001 (SEQ ID NO: 46)	S002 (SEQ ID NO: 47)
2	RYSE 1	RYSE 2	S003 (SEQ ID NO: 48)	S004 (SEQ ID NO: 49)
3	RYSE 2	RYSE 3	S005 (SEQ ID NO: 50)	S006 (SEQ ID NO: 51)
4	RYSE 3	RYSE 4	S007 (SEQ ID NO: 52)	S008 (SEQ ID NO: 53)
5	RYSE 4	RYSE 5	S009 (SEQ ID NO: 54)	S010 (SEQ ID NO: 55)
6	RYSE 5	RYSE 6	S011 (SEQ ID NO: 56)	S012 (SEQ ID NO: 57)
7	RYSE 6	RYSE 7	S013 (SEQ ID NO: 58)	S014 (SEQ ID NO: 59)
8	RYSE 7	RYSE 8	S015 (SEQ ID NO: 60)	S016 (SEQ ID NO: 61)
9	RYSE 2	Pme1-3'	S005 (SEQ ID NO: 50)	S018 (SEQ ID NO: 63)
10	RYSE 3	Pme1-3'	S007 (SEQ ID NO: 52)	S018 (SEQ ID NO: 63)
11	RYSE 4	Pme1-3'	S009 (SEQ ID NO: 54)	S018 (SEQ ID NO: 63)
12	RYSE 5	Pme1-3'	S011 (SEQ ID NO: 56)	S018 (SEQ ID NO: 63)
13	RYSE 6	Pme1-3'	S013 (SEQ ID NO: 58)	S018 (SEQ ID NO: 63)
14	RYSE 7	Pme1-3'	S015 (SEQ ID NO: 60)	S018 (SEQ ID NO: 63)
15	RYSE 8	Pme1-3'	S017 (SEQ ID NO: 62)	S018 (SEQ ID NO: 63)

[0227]

IacZ 유전자는 프라이머들 S027 (서열번호 65) 및 S028 (서열번호 66)를 사용하여 pUC 19 벡터로부터 PCR 증폭되었고, 각각의 프라이머는 SchI 제한효소 인지 부위를 포함한다. 상기 반응 혼합물은 겔 전기영동에 의해 분해되었고, 대략 0.5 kb PCR 생성물은 겔 정제되고, 정제된 PCR 생성물은 각각의 pRYSE 벡터 골격과 연결되었다. 부위-특이적(site-directed) 돌연변이유발(mutagenesis)은, 복제의 원점(origin)으로부터 SchI 제한효소 인지 부위를 제거하기 위하여 PCR 프라이머 L012 (서열번호 231) 및 L013 (서열번호 232)를 사용하여 결과물 벡터에서 실시되었다. 마지막으로, 두번째 부위-특이적(site-directed) 돌연변이유발(mutagenesis)은, *IacZ* 절편으로부터 SchI 제한효소 인지 부위를 제거하기 위하여, PCR 프라이머들 S036 (서열번호 67) 및 S037 (서열번호 68)을 사용하여 실시되어, pRYSE 벡터들 1 내지 15를 형성하였다(pRYSE 벡터들 및, pRYSE 벡터들 1 내지 15의 뉴클레오타이드 서열에 대한 서열번호 207의 플라즈미드 맵(map)에 대한 도 4를 참조).

[0229]

실시예 2

[0230] 본 실시예는 pRYSE 벡터들을 만드는 대안적 방법을 제시한다.

[0231] pRYSE 벡터들 1 내지 15는 주형(template)으로서 서열번호 207 내지 221를 사용하여 종합적으로 형성될 수 있다 (예를 들어, Biosearch Technologies, Novato, CA에 의함). 서로 다른 어닐링될 수 있는 링커 서열들을 포함하는 추가적 pRYSE 벡터는 주형(template)으로서 서열번호 221을 사용하여 종합적으로 형성될 수 있으며, 상기 서열번호 221에서 Pme1-5' 프라이머 결합 절편 및/또는 RYSE 1 어닐링될 수 있는 링커 서열들이 다른 적당한 어닐링될 수 있는 링커 서열 또는 프라이머 결합 절편으로 바뀌었다 (표 1 참조).

[0232] 실시예 3

[0233] 본 실시예는, 5'에서 3'의 방향으로, 첫번째 SapI 제한효소 인지 부위, 첫번째 SchI 제한효소 인지 부위, *lacZ* 표지 유전자, 두번째 SchI 제한효소 인지 부위 및 두번째 SapI 제한효소 인지 부위를 포함하는 pMULE 벡터를 만드는 방법을 제시한다. pMULE 벡터는 Mule을 복제하기 위하여 사용될 수 있다.

[0234] pRYSE 벡터 8의 골격은 프라이머들 K162 (서열번호 109) 및 K163 (서열번호 110)을 사용하여 PCR 증폭되었다. 상기 반응 혼합물은 겔 전기영동에 의해 분해되었고, 대략 2.2 kb 벡터 골격은 겔 정제되었다. SchI 제한효소를 사용하여 pRYSE 벡터 8을 완전히 분해하고, 상기 효소를 65°C에서 20분 동안 열 불활성화하고, 겔 전기영동에 의해 반응물 혼합물을 분해하고 및 대략 0.5 kb DNA 절편을 겔 정제함으로써, *lacZ* 유전자를 포함하는 DNA 절편이 형성되었다. *lacZ* 유전자를 포함하는 정제된 DNA 절편은 정제된 벡터 골격과 연결되어, pMULE 벡터를 형성하였다 (플라즈미드 맵(map)에 대한 도 7을 참조).

[0235] 실시예 4

[0236] 본 실시예는 "비트(Bit)"를 만드는 방법을 제시한다. 비트(Bit)는 본원에 제시된 방법들을 사용하여 집합된 (assembled) 폴리뉴클레오타이드로 집합될 수 있는 폴리뉴클레오타이드 성분들을 포함하는 집합 벡터들을 형성하기 위하여, pRYSE 벡터로 삽입될 수 있는 DNA 절편이다. 비트(Bit)는 유전자 또는 관심있는 유전 성분 (예를 들어, 프로모터, 종결자(terminator), 선별표지(selectable marker), 통합 부위(integration loci), 에피토프 태그(epitope tag), 위치 신호(localization signal), 분해 신호(degradation signal), 형광 표지, 다수의 클로닝 부위)을 코딩할 수 있다. 비트(Bit)는 표 4에 제시된 프라이머들을 사용하여 주형으로부터 PCR 증폭되었다.

표 4

표 4 - 증폭된 비트(Bit)				
Bit	Type *	프라이머	크기 (bp)	주형
atoB	Gs	L229 (SEQ ID NO: 40) L230 (SEQ ID NO: 41)	1185	<i>Escherichia coli</i> (유전자 은행 등록번호 NC_000913 영역:2324131..2325315)로부터의 atoB 유전자를 포함하는 플라즈미드 DNA
mvaS	Gs	L235 (SEQ ID NO: 42) L236 (SEQ ID NO: 43)	1152	<i>Saccharomyces cerevisiae</i> 에서의 발현에 최적화된 <i>Enterococcus faecalis</i> (유전자 은행 등록번호 AF290092 영역:142..1293) 코돈으로부터의 mvaS 유전자를 포함하고 효소 활성을 증가시키기 위하여 위치 110에서 알라닌을 글리신으로 변형한 것을 포함하는 합성 DNA 질본(Steussy et al.(2006) Biotechnology 45(48):14407-14414)을 참조)
ERG13-1	GsT	L109 (SEQ ID NO: 235) L110 (SEQ ID NO: 26)	1726	<i>Saccharomyces cerevisiae</i> 종 CEN.PK2 개놈 DNA
3' NDT80	D	L221 (SEQ ID NO: 34) L222 (SEQ ID NO: 35)	516	<i>Saccharomyces cerevisiae</i> 종 CEN.PK2 개놈 DNA
5' NDT80	U	L219 (SEQ ID NO: 32) L220 (SEQ ID NO: 33)	495	<i>Saccharomyces cerevisiae</i> 종 CEN.PK2 개놈 DNA
tP _{FBA1}	P	L225 (SEQ ID NO: 37) L057 (SEQ ID NO: 234)	526	<i>Saccharomyces cerevisiae</i> 종 CEN.PK2 개놈 DNA
tP _{TDH3}	P	L224 (SEQ ID NO: 36) L054 (SEQ ID NO: 233)	559	<i>Saccharomyces cerevisiae</i> 종 CEN.PK2 개놈 DNA
ERG10-1	Gs	L226 (SEQ ID NO: 38) L227 (SEQ ID NO: 39)	1182	<i>Saccharomyces cerevisiae</i> 에서의 발현에 최적화된 <i>Ralstonia eutropha</i> (유전자 은행 등록번호 NC_008313 영역:183291..184469) 코돈의 아세틸-CoA 아세틸트랜스퍼라제를 코딩한 후 추가적인 종결 코돈에 의해 합성된 질본
tENO1	T	L248 (SEQ ID NO: 44) L176 (SEQ ID NO: 27)	265	<i>Saccharomyces cerevisiae</i> 종 CEN.PK2 개놈 DNA
tTDH3	T	L185 (SEQ ID NO: 28) L186 (SEQ ID NO: 29)	260	<i>Saccharomyces cerevisiae</i> 종 CEN.PK2 개놈 DNA
HphA	M	TRIX_L_193 (SEQ ID NO: 184) TRIX_L_194 (SEQ ID NO: 185)	1912	TEF1 프로모터 및 <i>Kluyveromyces lactis</i> (각각, 유전자 은행 등록번호 CR382122 영역:788874..789380 및 787141..787496)의 종결자 및 <i>Klebsiella pneumoniae</i> 의 hph 유전자를 포함하는 플라즈미드 DNA
tHMG1	GsT	TRIX_L_232 (SEQ ID NO: 186)	1742	<i>Saccharomyces cerevisiae</i> 종 CEN.PK2 개놈 DNA

		TRIX_L_233 (SEQ ID NO: 187)		
tP _{GAL1,10}	P	TRIX_L_266 (SEQ ID NO: 190) TRIX_L_267 (SEQ ID NO: 191)	620	<i>Saccharomyces cerevisiae</i> 종 CEN.PK2 개놈 DNA
ERG10-2	GsT	TRIX_L_106 (SEQ ID NO: 170) TRIX_L_107 (SEQ ID NO: 171)	1467	<i>Saccharomyces cerevisiae</i> 종 CEN.PK2 개놈 DNA
ERG13-2	GsT	TRIX_L_109 (SEQ ID NO: 172) TRIX_L_110 (SEQ ID NO: 173)	1726	<i>Saccharomyces cerevisiae</i> 종 CEN.PK2 개놈 DNA
GAL80U S	U	JU-218-168-130- GAL80US-F (SEQ ID NO: 134) JU-219-168-130- GAL80US-R (SEQ ID NO: 135)	500	<i>Saccharomyces cerevisiae</i> 종 CEN.PK2 개놈 DNA
GAL80D S	D	JU-220-168-130- GAL80DS-F (SEQ ID NO: 136) JU-221-168-130- GAL80DS-R (SEQ ID NO: 137)	500	<i>Saccharomyces cerevisiae</i> 종 CEN.PK2 개놈 DNA
P _{TDH3}	P	L224 (SEQ ID NO: 36) TRIX_L_053 (SEQ ID NO: 169)	583	<i>Saccharomyces cerevisiae</i> 종 CEN.PK2 개놈 DNA

[0238]

표 4 - 증폭된 비트(계속됨)

Bit	Type *	프라이머	크기 (bp)	주형
NatA	M	TRIX_L_193 (SEQ ID NO: 184) TRIX_L_194 (SEQ ID NO: 185)	1456	TEF1 프로모터 및 <i>Kluyveromyces lactis</i> (각각, 유전자은행 등록번호 CR382122 영역:788874..789380 및 787141..787496)의 종결자 및 <i>S. noursei</i> 의 natl 유전자를 포함하는 플라즈미드 DNA
ERG12	GsT	TRIX_L_112 (SEQ ID NO: 174) TRIX_L_113 (SEQ ID NO: 175)	1582	<i>Saccharomyces cerevisiae</i> 종 CEN.PK2 개놈 DNA
ERG8	GsT	TRIX_L_118 (SEQ ID NO: 178) TRIX_L_119 (SEQ ID NO: 179)	1616	<i>Saccharomyces cerevisiae</i> 종 CEN.PK2 개놈 DNA
P _{GAL4oc}	P	TRIX_K_131 (SEQ ID NO: 165) PW-91-093-CPK422-G (SEQ ID NO: 162)	270	<i>Saccharomyces cerevisiae</i> 종 CEN.PK2(Griggs & Johnston(1991) PNAS 88(19):8597-8601)의 GAL4 유전자의 프로모터의 “중요한 구성요소의(operative constitutive)” 형태를 포함하는 플라즈미드 DNA
GAL4-1	G	JU-286-275-31-GAL4-F (SEQ ID NO: 140) JU-285-275-31-GAL4-FIX-R2 (SEQ ID NO: 139)	526	<i>Saccharomyces cerevisiae</i> 종 CEN.PK2 개놈 DNA
GAL4-2	G	JU-284-275-31-GAL4-FIX-F2 (SEQ ID NO: 138) JU-287-275-31-GAL4-R (SEQ ID NO: 141)	2414	<i>Saccharomyces cerevisiae</i> 종 CEN.PK2 개놈 DNA
KanA	M	TRIX_L_193 (SEQ ID NO: 184) TRIX_L_194 (SEQ ID NO: 185)	1696	TEF1 프로모터 및 <i>Kluyveromyces lactis</i> (각각, 유전자은행 등록번호 CR382122 영역:788874..789380 및 787141..787496)의 종결자 및 Tn903 트랜스포존의 kanR 유전자를 포함하는 플라즈미드 DNA
ERG19	GsT	TRIX_L_115 (SEQ ID NO: 176) TRIX_L_116 (SEQ ID NO: 177)	1441	<i>Saccharomyces cerevisiae</i> 종 CEN.PK2 개놈 DNA
ERG20	GsT	TRIX_L_124 (SEQ ID NO: 182) TRIX_L_125 (SEQ ID NO: 183)	1319	<i>Saccharomyces cerevisiae</i> 종 CEN.PK2 개놈 DNA
P _{GAL7}	P	TRIX_L_34 (SEQ ID NO: 186)	500	<i>Saccharomyces cerevisiae</i> 종

		166) TRIX_L_35 (SEQ ID NO: 167)		CEN.PK2 개놈 DNA
tP _{GAL7}	P	TRIX_L_34 (SEQ ID NO: 166) TRIX_L_36 (SEQ ID NO: 168)	476	<i>Saccharomyces cerevisiae</i> 종 CEN.PK2 개놈 DNA
IDI1	GsT	TRIX_L_121 (SEQ ID NO: 180) TRIX_L_122 (SEQ ID NO: 181)	1127	<i>Saccharomyces cerevisiae</i> 종 CEN.PK2 개놈 DNA
tP _{CTR3}	P	TRIX_K_0142 (SEQ ID NO: 163) TRIX_K_0143 (SEQ ID NO: 164)	710	<i>Saccharomyces cerevisiae</i> 종 CEN.PK2의 CTR3 유전자와의 프로모터를 포함하는 플라즈미드 DNA
LEU2US	U	JU-164-168-110-LEU2 US-f (SEQ ID NO: 129) JU-165-168-110-LEU2 US-r (SEQ ID NO: 130)	500	<i>Saccharomyces cerevisiae</i> 종 CEN.PK2 개놈 DNA
LEU2DS	D	JU-162-168-110-LEU2 DS-f (SEQ ID NO: 127) JU-163-168-110-LEU2 DS-r (SEQ ID NO: 128)	500	<i>Saccharomyces cerevisiae</i> 종 CEN.PK2 개놈 DNA
ERG9US	U	JU-108-168-110-ERG9 US-f (SEQ ID NO: 126) JU-172-168-110-ERG9 US-r1 (SEQ ID NO: 133)	499	<i>Saccharomyces cerevisiae</i> 종 CEN.PK2 개놈 DNA
ERG9CD S	G	JU-106-168-110-ERG9 CDS-f (SEQ ID NO: 124) JU-107-168-110-ERG9 CDS-r (SEQ ID NO: 125)	501	<i>Saccharomyces cerevisiae</i> 종 CEN.PK2 개놈 DNA
STE5US	U	TRIX_RN017 (SEQ ID NO: 192) TRIX_RN018 (SEQ ID NO: 193)	600	<i>Saccharomyces cerevisiae</i> 종 CEN.PK2 개놈 DNA
STE5DS	D	TRIX_RN019 (SEQ ID NO: 194) TRIX_RN020 (SEQ ID NO: 195)	600	<i>Saccharomyces cerevisiae</i> 종 CEN.PK2 개놈 DNA

표 4 - 증폭된 비트(계속됨)

Bit	Type *	프라이머	크기 (bp)	주형
URA3	M	JU-169-168-110-URA3-f (SEQ ID NO: 131) JU-170-168-110-URA3-r (SEQ ID NO: 132)	1554	<i>Saccharomyces cerevisiae</i> 종 CEN.PK2 개놈 DNA

* G=유전자; S=종결 코돈; T=종결자; M=표지; D=다운스트림 통합 영역; U=업스트림
통합 영역; P=프로모터.

[0240]

[0241]

PCR 증폭은, 제조업자가 제시한 프로토콜에 따라 Phusion DNA 폴리머라제 (New England Biolabs, Ipswich, MA)를 사용하여 이루어졌다. PCR 반응물은 겔 전기영동에 의해 분해되었고, 상기 비트(Bit)는 겔 정제되었고 정제된 비트(Bit)는 제조업자가 제시한 프로토콜에 따라 T4 폴리뉴클레오타이드 키나아제 (PNK) (New England Biolabs, Ipswich, MA)로 처리되었다. PNK는 65°C에서 20분 동안 열 불활성화 되었고, 샘플은 -20°C에서 저장되었다.

[0243]

실시예 5

[0244]

본 실시예는 "MULE"를 만드는 방법을 제시한다. MULE은 본원에 제시된 방법을 사용하여 집합된(assembled) 폴리뉴클레오타이드들에 집합될 수 있는 폴리뉴클레오타이드 성분을 포함하는 집합 벡터를 형성하기 위하여 pMULE 벡터로 삽입될 수 있는 DNA 절편이다. MULE은 유전자, 또는 어닐링될 수 있는 링커 서열 쌍 또는 어닐링될 수 있는 링커 서열 /프라이머 결합 절편 쌍의 측면에 배치된 관심있는 유전 성분(예를 들어, 프로모터, 종결자(terminator), 선별표지(selectable marker), 통합 부위(integration loci), 에피토프 태그(epitope tag), 위치 신호(localization signal), 분해 신호(degradation signal), 형광 표지, 다수의 클로닝 부위)를 코딩할 수 있다. MULE은, 표 5에 제시되어 있는 바와 같이, 프라이머를 사용하여 주형(template)으로부터 PCR 증폭되었으며, 상기 프라이머의 3' 말단은 타겟 서열에 어닐링되며 5' 말단은 어닐링될 수 있는 링커 서열 또는 프라이머 결합 절편을 포함한다(적당한 어닐링될 수 있는 링커 서열에 대한 표 1 참조).

표 5

표 5 - 증폭된 MULE				
MULE	Type *	프라이머	크기 (bp)	주형
tHMG1-a	G	KMH8-276-1-linker4.tHMG1.fwd (SEQ ID NO: 157) KMH9-276-1-linker9.tHMG1.rev (SEQ ID NO: 160)	179 4	RABit 254 프라즈미드 DNA
ERG12	G	KMH46-276-43- ERG12linker4.fwd (SEQ ID NO: 151) KMH14-276-4- linker9.ERG12.rev (SEQ ID NO: 145)	163 4	RABit 250 프라즈미드 DNA
ERG19	G	KMH47-276-43- ERG19linker4.fwd (SEQ ID NO: 152) KMH15-276-4- linker9.ERG19.rev (SEQ ID NO: 146)	149 3	RABit 241 프라즈미드 DNA
P _{TDH3-a}	P	KMH81-276-116- TDH3.rev.tHMG1 (SEQ ID NO: 155) S004 (SEQ ID NO: 49)	626	RABit 54 프라즈미드 DNA
P _{TDH3-b}	P	KMH91-276-116-TDH3.rev.FS (SEQ ID NO: 158) S004 (SEQ ID NO: 49)	546	RABit 54 프라즈미드 DNA
tHMG1-b	G	KMH82-276-116- tHMG1.fwd.TDH3 (SEQ ID NO: 156) S009 (SEQ ID NO: 54)	180 1	RABit 20 프라즈미드 DNA
IME1U S	U	KB454-266-53 (SEQ ID NO: 142) KB455-266-53 (SEQ ID NO: 143)	578	Saccharomyces cerevisiae 종 CEN.PK2 개놈 DNA
IME1D S	D	KMH93-276-130- 3'IME.linker4.fwd (SEQ ID NO: 161) KB457-266-53 (SEQ ID NO: 144)	554	Saccharomyces cerevisiae 종 CEN.PK2 개놈 DNA
LEU2	M	VH296-235-55-Leu2 12-1 F (SEQ ID NO: 30) VH296-235-55-Leu2 12-1 R (SEQ ID NO: 31)	179 5	Saccharomyces cerevisiae 종 CEN.PK2(Sikorski RS, Hieter(1989) Genetics 122(1):19-27)의 LEU2 위치를 포함하는 플라즈미드 DNA

[0245]

FS-a	G	KMH5-276-1-linker3.FS(Kozak).fwd (SEQ ID NO: 153) KMH7-276-1-linker4.TCYC1.rev (SEQ ID NO: 154)	198 1	Saccharomyces cerevisiae에서의 발현에 최적화된 Artemisia annua (유전자 은행 등록번호 AY835398) 코돈의 파네센 신타아제의 코딩 서열 및 Saccharomyces cerevisiae 종 CEN.PK2의 CYC1 유전자의 종결자를 포함하는 플라즈미드 DNA
FS-b	G	KMH92-276-116-FS.fwd.TDH3 (SEQ ID NO: 159) KMH7-276-1-linker4.TCYC1.rev (SEQ ID NO: 154)	197 6	Saccharomyces cerevisiae에서의 발현에 최적화된 Artemisia annua (유전자 은행 등록번호 AY835398) 코돈의 파네센 신타아제의 코딩 서열 및 Saccharomyces cerevisiae 종 CEN.PK2의 CYC1 유전자의 종결자를 포함하는 플라즈미드 DNA
URA3 블라스터	M	VH228-235-7- URA3LOF3RYSE12-1F (SEQ ID NO: 204) VH229-235-7- URA3LOF3RYSE12-1R (SEQ ID NO: 205)	156 5	URA-3 블라스터 주형 **

* G=유전자; s=종결 코돈; T=종결자; M=표지; D=다운스트림 통합 영역; U=업스트림 통합 영역; P=프로모터.

** URA-3 블라스터(blaster) 주형은 서열 A(PCR 프라이머들 TRIX_Z025(서열번호 196) 및 TRIX_Z026(서열번호 197)을 사용하는 서열번호 206을 포함하는 합성 DNA 절편으로부터 형성됨), 서열 B(PCR 프라이머들 TRIX_Z027(서열번호 198) 및 TRIX_Z028(서열번호 199)을 사용하는 서열번호 206을 포함하는 합성 DNA 절편으로부터 형성됨), URA3-c(PCR 프라이머들 TRIX_Z033(서열번호 200) 및 TRIX_Z036(서열번호 203)을 사용하는 Saccharomyces cerevisiae 종 CEN.PK2 개동 DNA로부터 형성됨), 및 URA3-d(PCR 프라이머들 TRIX_Z034(서열번호 201) 및 TRIX_Z035(서열번호 202)를 사용하는 Saccharomyces cerevisiae 종 CEN.PK2 개동 DNA로부터 형성됨)을 측면에 배치하는 DNA 절편을 첫 번째로 형성함으로써 만들어 진다. 그 후, 서열 A, URA3-c 및 URA3-d를 측면에 배치하는 DNA 절편은 PCR 프라이머들 TRIX_Z025 및 TRIX_Z034를 사용하는 DNA 절편으로 함께 스티칭되었고, DNA 절편들 URA3-c, URA3-d 및 서열 B를 측면에 배치하는 DNA 절편들은 PCR 프라이머들 TRIX_Z028 및 TRIX_Z033를 사용하는 DNA 절편으로 함께 스티칭되었다. 마지막으로 DNA 절편들 A 및 B는 PCR 프라이머들 TRIX_Z025 및 TRIX_Z028를 사용하여 함께 스티칭되어, URA-3 블라스터 주형을 형성하였다.

[0246]

PCR 증폭은, 제조업자가 제시한 프로토콜에 따라, Phusion DNA 폴리머라제 (New England Biolabs, Ipswich, MA)를 사용하여 실시되었다. PCR 반응물은 겔 전기영동에 의해 분해되었고, MULE은 겔 정제되었고, 정제된 MULE은, 제조업자가 제시한 프로토콜에 따라, T4 폴리뉴클레오타이드 키나아제 (PNK) (New England Biolabs, Ipswich, MA)로 처리되었다. PNK는 65°C에서 20분 동안 열 불활성화되었고, 샘플은 -20°C에서 저장되었다.

[0248]

실시예 6

[0249]

본 실시예는 집합 벡터를 형성하기 위하여 비트(Bit)를 pRYSE 벡터로 삽입하거나, MULE를 pMULE 벡터로 삽입하는 방법을 제시한다.

[0250]

pRYSE 벡터들 1 내지 8과 pRYSE 벡터 15는 SchI 제한효소를 사용하여 완전히 분해되었고, 분해된 DNA 절편은 Antarctic Phosphatase (New England Biolabs, Ipswich, MA)를 사용하여 처리되었다. 상기 포스파타아제는 65°C에서 20분 동안 열 불활성화되었고, 반응물 혼합물은 겔 전기영동에 의해 분해되었고 대략 2.2 kb pRYSE 벡터 골격(lacZ 결핍)은 겔 정제되었다. 정제된 pRYSE 벡터 골격은 표 6에 상세히 나와 있는 바와 같이 비트(Bit)와 연결되어, 집합 벡터를 형성하였다.

[0251]

pMULE 벡터는 SchI 제한효소를 사용하여 완전히 분해되었고, 반응물 혼합물은 겔 전기영동에 의해 분해되었고 대략 2.2 kb pMULE 벡터 골격(lacZ 결핍)은 겔 정제되었다. 정제된 pMULE 벡터 골격은 포스파타아제 (예를 들어, Antarctic Phosphatase (New England Biolabs, Ipswich, MA), CIAP (New England Biolabs, Ipswich, MA), SAP (New England Biolabs, Ipswich, MA; Fermentas, Glen Burnie, MD), 또는 FastAP (Fermentas, Glen Burnie, MD))로 처리되었고, 상기 포스파타아제는 열 불활성화되었고 (예를 들어, 65°C에서 20분) 및 pMULE 벡터 골격은 MULE과 연결되어 집합 벡터를 형성하였다.

표 6

표 6 - 형성된 집합 벡터		
Bit(표 4 참조)	pRYSE 벡터(표 3 참조)	집합 벡터
atoB	4	2
mvaS	7	5
ERG13-1	7	12
3' NDT80	15 10	29 24
5' NDT80	1 1	30 97
tP _{FBA1}	6	35
tP _{TDH3}	3	53
ERG10-1	4	60
tENO1	8	62
tTDH3	5	64
GAL80US	1	270
HphA	2	22
tHMG1	3	254
tP _{GAL1,10}	4	229
ERG10-2	5	244
ERG13-2	6	253
tP _{GAL1,10}	7	228
tHMG1	8	255
GAL80DS	15	271
LEU2US	1	187
NatA	2	262
ERG12	3	250
ERG8	5	252
P _{GAL4oc}	6	268
GAL4 *	7	265
LEU2DS	14	263
ERG9US	1	186
KanA	2	261
ERG19	3	241
ERG20	5	251
tP _{GAL7}	6	249
IDI1	7	237
tP _{CTR3}	8	269
ERG9CDS	15	185
P _{GAL7}	3	44
STE5US	1	567
URA3	2	556(방향 1) 555(방향 2)
P _{TDH3}	3	54
tHMG1	4	20
STE5DS	11	563

[0252]

연결은, 제조업자가 제시한 프로토콜에 따라, 50 ng 벡터 플렉, 3 물을 조과하는 비트(Bit) 및 연결효소(예를 들어, Quick Ligase (New England Biolabs, Ipswich, MA), T4 DNA 연결효소(균일하고 높은 농도; 벤더(vendor), Fermentas, Glen Burnie, MD), Fast Ligase (Fermentas, Glen Burnie, MD))를 사용하여 실시되었다.

* 비트(Bit) GAL4는, 프라이머들 JU-286-275-31-GAL4-F (서열번호 140) 및 JU-287-275-31-GAL4-R (서열번호 141)을 사용하여, 비트들 GAL4-1 및 GAL4-2 (표 4 참조)을 함께 스티칭(stitching)함으로써 형성되었다.

[0253]

[0254]

집합 벡터는 형질변환되어 화학 제품 TOP10 *Escherichia coli* 모세포 (Invitrogen, Carlsbad, CA) 성분으로 되었다. 숙주 세포 형질변환체는 100 ug/mL 카르베니실린 및 40 ug/mL X-gal을 포함하는 Luria Bertoni (LB) 아가에서 선택되었다. 단일한 백색 콜로니는 LB 아가로부터, 5 mL의 LB 액체 배지 및 카르베니실린을 포함하는 배

양 투브로 옮겨진 후, 상기 배양물은 회전 교반기에서 250 rpm에서 37°C에서 밤새도록 배양되었다. 플라즈미드 DNA는 추출된 후, 올바른 방향에서 올바른 서열을 포함하는 클론을 식별하기 위하여 배열되었다. 상기 세포들은 초저온 냉동 용기(cryo-vial)에서 400 uL 멀균 50% 글리세롤 및 600 uL 액체 배양물로 이루어진 1 mL 원액 부분 표본(aliquot)에서 -80°C로 저장되었다.

[0255] 실시예 7

[0256] 본 실시예는, 집합 벡터 및/또는 MULE를 사용하여 폴리뉴클레오타이드 성분들을 집합된(assembled) 폴리뉴클레오타이드로 집합하는 방법을 제시한다.

[0257] 집합 벡터 (표 7 참조)는 하나의 투브 (333 fmole의 각각의 RABit)에 함께 옮겨진 후, LguI 제한효소 (Fermentas, Glen Burnie, MD)를 사용하여 분해되었다. 제한효소는 컬럼 원심분리에 의해 제거되거나 65°C에서 20분 동안 열 불활성화되었다. MULE들 또는 집합된(assembled) 폴리뉴클레오타이드들을 포함하는 집합 반응 (assembly reaction)에 대해, 333 fmole의 각각의 MULE 또는 집합된(assembled) 폴리뉴클레오타이드 (표 7 참조)는 함께 하나의 투브에 옮겨지거나, 분해된 집합 벡터들에 첨가되었다. 샘플은 3개의 30 uL 반응물로 나뉜 후; 물, 버퍼, dNTP 및 DNA 폴리머라제가 각각의 반응물 혼합물에 첨가되고, 첫번째 단계의 PCR 증폭이 개시되었다. 샘플을 열음 위에 옮긴 후, 0.5 uM의 각각의 말단의 프라이머 (표 7)가 반응물 혼합물에 첨가된 후 및 두 번째 단계의 PCR 증폭이 실시되었다. 3개의 PCR 반응 혼합물이 하나의 투브에서 결합된 후, 반응물 혼합물은 겔 전기영동에 의해 분해되고, PCR 생성물은 겔 정제되었다.

표 7

표 7 - 집합된 폴리뉴클레오타이드의 집합체에 대한 말단 프라이머				
집합체	결합될 집합 베터(표 6 참조) 또는 MULE(표 5 참조)*	집합될 폴리뉴클레오타이드 크기(kb) (서열)	말단 프라이머 1	말단 프라이머 2
1	30_22_53_60	4.3	S000 (SEQ ID NO: 45)	S009 (SEQ ID NO: 54)
2	30_22_53	3.1	S000 (SEQ ID NO: 45)	S007 (SEQ ID NO: 52)
3	22_53_60	3.7	S002 (SEQ ID NO: 47)	S009 (SEQ ID NO: 54)
4	30_22	2.5	S000 (SEQ ID NO: 45)	S005 (SEQ ID NO: 50)
5	22_53	2.5	S002 (SEQ ID NO: 47)	S007 (SEQ ID NO: 52)
6	53_60	1.8	S004 (SEQ ID NO: 49)	S009 (SEQ ID NO: 54)
7	30_22_53_60_64_35_12_62 _29	7.7 (SEQ ID NO: 222)	S000 (SEQ ID NO: 45)	S019 (SEQ ID NO: 64)
8	30_22_53_60_64_35_5_62_ 29	7.1	S000 (SEQ ID NO: 45)	S019 (SEQ ID NO: 64)
9	30_22_53_2_64_35_5_62_2 9	7.1	S000 (SEQ ID NO: 45)	S019 (SEQ ID NO: 64)
10	60_64_35_5_62_29	4.1	S006 (SEQ ID NO: 51)	S019 (SEQ ID NO: 64)
11	2_64_35_5_62_29	4.1	S006 (SEQ ID NO: 51)	S019 (SEQ ID NO: 64)
Phase I-A	270_22_254_229_244_253	8.1 (SEQ ID NO: 111)	S000 (SEQ ID NO: 45)	S013 (SEQ ID NO: 58)
Phase I-B	228_255_271	3.0 (SEQ ID NO: 112)	S013 (SEQ ID NO: 58)	S019 (SEQ ID NO: 64)
Phase II complet e	187_262_250_229_252_268 _265_263	9.7 (SEQ ID NO:113)	S000 (SEQ ID NO: 45)	S019 (SEQ ID NO: 64)

[0258]

Phase III-A	186_261_241_229	4.4 (SEQ ID NO: 114)	S000 (SEQ ID NO: 45)	S008 (SEQ ID NO: 53)
Phase III-B	251_249_237_269_185	4.3 (SEQ ID NO: 115)	S009 (SEQ ID NO: 54)	S018 (SEQ ID NO: 63)
Phase I marker recyclin g	270_URA3blaster_44_FS-a_tHMG1-a	6.3 (SEQ ID NO: 116)	S000 (SEQ ID NO: 45)	S019 (SEQ ID NO: 64)
Phase II marker recyclin g	187_URA3blaster_44_FS-a_ERG12	6.2 (SEQ ID NO: 117)	S000 (SEQ ID NO: 45)	S019 (SEQ ID NO: 64)
Phase III marker recyclin g	186_URA3blaster_44_FS-a_ERG19	6.0 (SEQ ID NO: 118)	S000 (SEQ ID NO: 45)	S019 (SEQ ID NO: 64)
STE5 knocko ut	567_556_P _{TDH3} -a_tHMG1-b_563	5.2 (SEQ ID NO: 119)	S000 (SEQ ID NO: 45)	S019 (SEQ ID NO: 64)
IME1 knocko ut	IME1US_LEU2_P _{TDH3} -b_FS-b_IME1DS	5.4 (SEQ ID NO: 120)	S000 (SEQ ID NO: 45)	S019 (SEQ ID NO: 64)

PCR 증폭의 첫번째 단계는 하기와 같이 실시되었다 : 98°C에서 2분 동안 변성하는 사이클 1회; PCR 생성을 1 퀼로베이스 당 98°C에서 30초 동안 변성 및 72°C에서 30초 동안 어닐링/신장하는 사이클 5회. PCR 증폭의 두번째 단계는 하기와 같이 실시되었다 : 98°C에서 2분 동안 변성하는 사이클 1회; PCR 생성을 1 퀼로베이스 당 98°C에서 12초 동안 변성 및 72°C에서 20 내지 25초 동안 어닐링/신장하는 단계 35회; 72°C에서 7분 동안 최종 신장하는 사이클 1회; 및 4°C에서 최종 유지. 어닐링 온도가 72°C가 아닐 때(예를 들어, 54°C 또는 65°C일 때), PCR 증폭의 첫번째 단계에서, 1분간의 어닐링 단계 후, PCR 생성을 1 퀼로베이스 당 72°C에서 30초 동안의 신장 단계가 사용되었고, PCR 증폭의 두번째 단계에서, 15초간의 어닐링 단계 후, PCR 생성을 1 퀼로베이스 당 72°C에서 20초 동안의 신장 단계가 사용되었다.

* 집합 벡터는 숫자로 표기되었고, MULE는 이름으로 표기되었다.

[0259]

[0260] 도 5 및 6에서 나타난 바와 같이, 2 내지 9 폴리뉴클레오타이드 성분들은 최대 7.7 kb 길이의 집합된(assembled) 폴리뉴클레오타이드들로 정확하게 집합되었다.

[0261]

실시예 8

[0262] 본 실시예는 본원에 제시된 방법에 의해 집합된(assembled) 폴리뉴클레오타이드를 사용하여 유전적으로 변형된 호스트 미생물을 형성하는 방법을 제시한다.

[0263]

I-A 형태(Phase) 및 I-B 형태(Phase)의 집합된(assembled) 폴리뉴클레오타이드들은 (표 7 참조) TOPO Zero Blunt II 클로닝 벡터 (Invitrogen, Carlsbad, CA)로 복제되어, 각각, 플라즈미드를 TOPO-I-A 형태(Phase) 및 TOPO-I-B 형태(Phase)를 형성하였다. 50 μg/ml 카나마이신을 포함하는 LB 아가에서 성장한 TOP10 세포 (Invitrogen, Carlsbad, CA)에서 구성물이 증식되었다. 각각의 플라즈미드는 NotI 제한 엔도뉴클레아제를 사용하여 완전히 분해되었고, I-A 형태(Phase) 및 I-B 형태(Phase)의 삽입물들은 겔 정제 키트 (Qiagen, Valencia, CA)를 사용하여 겔 추출되었고, 동일한 몰비율의 정제된 DNA 절편들은 T4 DNA 연결효소(ligase) (New England Biolabs, Ipswich, MA)를 사용하여 연결되어, 완전한 I 형태(Phase I complete)의 집합된(assembled) 폴리뉴클레오타이드를 형성하였다. 상기 완전한 I 형태(Phase I complete)의 집합된(assembled) 폴리뉴클레오타이드는 TOPO Zero Blunt II 클로닝 벡터 (Invitrogen, Carlsbad, CA)로 복제되어, 플라즈미드 TOPO-I 형태(Phase)를 형성하였다. 50 μg/ml 카나마이신을 포함하는 LB 아가에서 성장된 TOP10 세포 (Invitrogen, Carlsbad, CA)에서 구성물이 증식되었다.

[0264]

완전한 II 형태(Phase II complete)의 집합된(assembled) 폴리뉴클레오타이드 (표 7 참조)는 TOPO Zero Blunt II 클로닝 벡터 (Invitrogen, Carlsbad, CA)로 복제되어, 플라즈미드 TOPO-II 형태(Phase)를 형성하였다. 50

$\mu\text{g}/\text{mL}$ 카나마이신을 포함하는 LB 아가에서 성장된 TOP10 세포 (Invitrogen, Carlsbad, CA)에서 구성물이 증식되었다.

[0265] III-A 형태(Phase) 및 III-B 형태(Phase)의 집합된(assembled) 폴리뉴클레오타이드들은 (표 7 참조) TOPO Zero Blunt II 클로닝 벡터 (Invitrogen, Carlsbad, CA)로 복제되어, 플라즈미드들 TOPO-III-A 형태(Phase) 및 TOPO-III-B 형태(Phase)를 각각 형성하였다. 50 $\mu\text{g}/\text{mL}$ 카나마이신을 포함하는 LB 아가에서 성장된 TOP10 세포 (Invitrogen, Carlsbad, CA)에서 구성물이 증식되었다. 각각의 플라즈미드는 BamHI 및 SbfI 제한 엔도뉴클레아제를 사용하여 완전히 분해되었고, III-A 형태(Phase) 및 III-B 형태(Phase)의 삽입물들은 겔 정제 키트 (Qiagen, Valencia, CA)를 사용하여 겔 추출되었으며 동일한 물비율의 DNA 절편들은 T4 DNA 연결효소(ligase) (New England Biolabs, Ipswich, MA)를 사용하여 연결되어, 완전한 III 형태(Phase III complete)의 집합된(assembled) 폴리뉴클레오타이드를 형성하였다. 상기 완전한 III 형태(Phase III complete)의 집합된(assembled) 폴리뉴클레오타이드는 TOPO Zero Blunt II 클로닝 벡터 (Invitrogen, Carlsbad, CA)로 복제되어, 플라즈미드 TOPO-III 형태(Phase)를 형성하였다. 50 $\mu\text{g}/\text{mL}$ 카나마이신을 포함하는 LB 아가에서 성장된 TOP10 세포 (Invitrogen, Carlsbad, CA)에서 구성물이 증식되었다.

[0266] 효모 세포 형질변환에 있어서, 25 mL의 Yeast Extract Peptone Dextrose (YPD) 배지는 단일 콜로니의 출발 호스트 종(strain)로 접종되었다. 상기 배양물은 200 rpm의 회전 교반기에서 30°C에서 밤새 성장되었다. 배양물의 OD600이 측정된 후, 배양물은 0.15의 OD600가 될 때까지 50 mL의 YPD 배지를 접종하는데 사용되었다. 새롭게 접종된 배양물은 0.7 내지 0.9의 OD600가 될 때까지 200 rpm의 회전 교반기에서 30°C에서 성장되었고, 상기 시점에서 세포들은 1 μg 의 DNA를 사용하여 형질변환되었다. 숙주 세포 형질변환체를 식별하기 위한 선택적 성분을 포함하는 아가에 세포들을 옮기기 전에, 4시간 동안 YPD 배지에서 세포들이 회복되도록 하였다.

[0267] 100 $\mu\text{g}/\text{mL}$ 카르바마이실린(carbamicillin) 및 50 $\mu\text{g}/\text{mL}$ 카나마이신을 포함하는 5 mL의 YPD 배지에서, 활성있는 건식 PE-2 효모 (Santelisa Vale, Sertaozinho, Brazil에서 1994년에 분리됨)를 재분산시킴으로써, 시작자(starter) 호스트 종(strain) Y1198이 형성되었다. 배양물은 200 rpm의 회전 교반기에서 30°C에서 밤새 배양되었다. 그 후, 부분표본(aliquot)의 10 μL 의 배양물을 YPD 플레이트 위에 옮겨진 후 건조되도록 하였다. 단일 콜로니에 대하여 상기 세포에 성공적으로 줄무늬를 넣은 후 30°C에서 2일 동안 배양되었다. 12개의 단일 콜로니를 골라, 새로운 YPD 플레이트에서 조금 떼어내어(조금 떼어내어(patched out)) 30°C에서 밤새 성장하도록 하였다. 콜로니의 종(strain) 식별은 제조업자의 설명서에 따라, Bio-Rad CHEF 계놈 DNA Plug Kit (Bio-Rad, Hercules, CA)를 사용하여 Bio-Rad CHEF DR II 시스템 (Bio-Rad, Hercules, CA)에서 염색체 크기를 분석함으로써 확인하였다. 하나의 콜로니를 골라 종(strain) Y1198로 저장하였다.

[0268] 종(strain) Y1661, Y1662, Y1663 및 Y1664는 종(strain) 홀배수체(haploid)를 제공함으로써 종(strain) Y1198로부터 형성되었다. 종(strain) Y1198는 롤러 드럼(roller drum) 내 유리 튜브에서 30°C에서 5 mL의 YPD 배지에서 밤새 성장되었다. OD600가 측정된 후 세포들은, 2% 포타슘 아세테이트를 포함하는 5 mL의 YP 배지에서 0.2의 OD600가 되도록 희석되었다. 배양물은 롤러 드럼(roller drum) 내 유리 튜브에서 30°C에서 밤새 성장되었다. OD600을 다시 측정한 후 4 OD600/mL의 세포들은 2분 동안 5,000g에서 원심분리함으로써 수집되었다. 세포 웰렛은 멀균수로 한번 수세된 후 0.02% 라피노스를 포함하는 3 mL의 2% 포타슘 아세테이트에서 재분산되었다. 상기 세포는 롤러 드럼(roller drum) 내 유리 튜브에서 30°C에서 3일 동안 성장되었다. 포자 형성은 현미경 검사법으로 확인되었다. 부분표본(aliquot)의 33 μL 의 배양물을 1.5 mL의 마이크로퓨지 튜브(microfuge tube)로 옮긴 후 2분 동안 14,000rpm에서 원심분리하였다. 세포 웰렛은 2 μL 의 10 mg/mL Zymolyase 100T (MP Biomedicals, Solon, OH)를 포함하는 50 μL 의 멀균수에 재분산된 후, 세포는 30°C 수조에서 10분 동안 배양되었다. 상기 튜브는 얼음으로 옮겨진 후 150 μL 의 얼음물이 첨가되었다. 부분표본(aliquot)의 10 μL 의 상기 혼합물을 12 mL YPD 플레이트에 첨가된 후 테트라드(tetrad)는 Singer MSM 300 해부 현미경(dissection microscope) (Singer, Somerset, UK)에서 해부되었다. YPD 플레이트는 3일 동안 30°C에서 배양된 후, 포자(spore)를 새로운 YPD 플레이트로 조금 떼어낸(patched out) 후 30°C에서 밤새 성장시켰다. 8개의 4개-포자(spore) 테트라드(tetrad)로부터 각각의 포자의 교배형이 콜로니 PCR에 의해 분석되었다. 2개의 MATA 및 2개의 MATalpha 포자(spore)를 갖는 단일한 4개 포자(spore) 테트라드(tetrad)를 골라, 종(strain) Y1661 (MATA), Y1662 (MATA), Y1663 (MATalpha) 및 Y1664 (MATalpha)로 저장하였다.

[0269] PmeI 제한 엔도뉴클레아제를 사용하여 완전히 분해된 플라즈미드 TOPO-I 형태(Phase)로 종(strain) Y1664를 형질변환함으로써 호스트 종(strain) 1515이 형성되었다. 숙주 세포 형질변환체는 300 $\mu\text{g}/\text{mL}$ 하이그로마이신(hygromycin) B를 포함하는 YPD 배지에서 선택되었다.

- [0270] PmeI 제한 엔도뉴클레아제를 사용하여 완전히 분해된 플라즈미드 TOPO-II 형태(Phase)로 종(strain) Y1515를 형질변환함으로 써호스트 종(strain) 1762가 형성되었다. 숙주 세포 형질변환체는 100 ug/mL 노르세오토리신(nourseothricin)을 포함하는 YPD 배지에서 선택되었다.
- [0271] PmeI 제한 엔도뉴클레아제를 사용하여 완전히 분해된 발현 플라즈미드 pAM404 및 플라즈미드 TOPO-III 형태(Phase)로 2개의 단계에서 종(strain) Y1762를 형질변환함으로써 호스트 종(strain) 1770이 형성되었다. 발현 플라즈미드 pAM404는, β -파네센 신타아제(β -farnesene synthase)를 코딩하는 뉴클레오타이드 서열을 pRS425-Gal1 벡터에 삽입함으로써 형성된, 플라즈미드 pAM353로부터 유래되었다 (Mumberg et. al. (1994) *NucL Acids. Res.* 22(25): 5767-5768). *Saccharomyces cerevisiae* (서열번호 121)에서의 발현에 최적화를 위하여 코돈-최적화된 *Artemisia annua* (유전자 은행의 등록번호 AY835398)의 코딩 서열을 주형(template)으로 사용하여, 뉴클레오타이드 서열 삽입물이 종합적으로 형성되었다. 종합적으로 형성된 뉴클레오타이드 서열은 5' *BamHI* 및 3' *XhoI* 제한 부위의 측면에 배치되어, 따라서 표준 pUC 또는 pACYC 오리진 벡터(origin vector)와 같은 클로닝 벡터의 호환가능한 제한 부위로 클론될 수 있다. *BamHI* 및 *XhoI* 제한효소를 사용하여 DNA 합성 구조를 완전히 분해함으로써, 종합적으로 형성된 뉴클레오타이드 서열이 분리되었다. 상기 반응 혼합물은 겔 전기영동에 의해 분해되어, β -파네센 신타아제(β -farnesene synthase) 코딩 서열을 포함하는 대략 1.7 kb DNA 절편이 겔 추출된 후 분리된 DNA 절편이 pRS425-Gal1 벡터의 *BamHI* *XhoI* 제한 부위로 연결되어 발현 플라즈미드 pAM353을 형성하였다. β -파네센 신타아제(β -farnesene synthase)를 코딩하는 뉴클레오타이드 서열은 프라이머들 GW-52-84 pAM326 *BamHI* (서열번호 188) 및 GW-52-84 pAM326 *NheI* (서열번호 189)을 이용하여 pAM353으로부터 PCR 증폭되었다. 결과물 PCR 생성물은 *BamHI* 및 *NheI* 제한효소를 사용하여 완전히 분해되었고, 상기 반응 혼합물은 겔 전기영동에 의해 분해되었고, β -파네센 신타아제(β -farnesene synthase) 코딩 서열을 포함하는 대략 1.7 kb DNA 절편은 겔 추출되고, 분리된 DNA 절편은 벡터 pAM178 (서열번호 122)의 벡터의 *BamHI* *NheI* 제한 부위로 연결되어, 발현 플라즈미드 pAM404를 형성하였다. pAM404를 갖는 숙주 세포 형질변환체는 pAM404는 메티오닌 및 루신이 결핍된 완전 합성 배지 (CSM)에서 선택되었다. pAM404 및 완전한 III 형태(Phase III complete)의 집합된(assembled) 폴리뉴클레오타이드를 갖는 숙주 세포 형질변환체는 메티오닌 및 루신이 결핍되고 200 ug/mL G418를 포함하는 CSM에서 선택되었다.
- [0272] 호스트 종(strain) 1793은 URA3 녹아웃(knockout) 구조 (서열번호 123)을 갖는 종(strain) Y1770을 형질변환함으로써 형성되었다. 녹아웃(knockout) 구조는, DNA 절편들 URA3US (PCR 프라이머들 KMH33-276-21-URA3 5'.fwd (서열번호 147) 및 KMH34-276-21-URA3 5'.rev (서열번호 148)을 사용하여 *Saccharomyces cerevisiae* 종(strain) CEN.PK2 계놈 DNA로부터 형성됨)과 URA3DS (PCR 프라이머들 KMH35-276-21-URA3 3'.fwd (서열번호 149) 및 KMH36-276-21-URA3 3'.rev (서열번호 150)를 사용한 후; PCR 프라이머들 KMH33-276-21-URA3 5'.fwd 및 KMH36-276-21-URA3 3'.rev를 사용하여 2개의 DNA 절편들을 서로 스티칭(stitching)하여 *Saccharomyces cerevisiae* 종(strain) CEN.PK2 계놈 DNA로부터 형성됨)를 첫번째로 형성함으로써 형성되었다. 숙주 세포 형질변환체는 5-FOA를 포함하는 YPD 배지로부터 선택되었다.
- [0273] 호스트 종(strain) YAAA는 I 형태(Phase)의 표지 리사이클링(marker recycling) 집합된(assembled) 폴리뉴클레오타이드 (표 7 참조)를 사용하여 종(strain) Y1793을 형질변환함으로써 형성되었다. 숙주 세포 형질변환체는 메티오닌 및 우라실이 결핍된 CSM에서 선택되었다. 회전 교반기에서 200 rpm에서 30°C에서 YPD 배지에서 밤새 세포를 성장시킨 후 5-FOA를 포함하는 아가로 세포를 옮김으로써 URA3 표지가 절단되었다. 표지 절단은 콜로니 PCR에 의해 확인되었다.
- [0274] 호스트 종(strain) YBBB는 II 형태(Phase)의 표지 리사이클링 집합된(assembled) 폴리뉴클레오타이드를 사용하여 종(strain) YAAA를 형질변환함으로써 형성되었다(표 7 참조). 숙주 세포 형질변환체는 메티오닌 및 우라실이 결핍된 CSM에서 선택되었다. 회전 교반기에서 200 rpm에서 30°C에서 YPD 배지에서 밤새 세포를 성장시킨 후 5-FOA를 포함하는 아가로 세포를 옮김으로써 URA3 표지가 절단되었다. 표지 절단은 콜로니 PCR에 의해 확인되었다.
- [0275] 호스트 종(strain) Y1912는 III 형태(Phase)의 표지 리사이클링 집합된(assembled) 폴리뉴클레오타이드를 사용하여 종(strain) YBBB를 형질변환함으로써 형성되었다(표 7 참조). 숙주 세포 형질변환체는 메티오닌 및 우라실이 결핍된 CSM에서 선택되었다. 회전 교반기에서 200 rpm에서 30°C에서 YPD 배지에서 밤새 세포를 성장시킨 후 5-FOA를 포함하는 아가로 세포를 옮김으로써 URA3 표지가 절단되었다. 표지 절단은 콜로니 PCR에 의해 확인되었다.
- [0276] 호스트 종(strain) Y1913은 STE5 녹아웃(knockout) 집합된(assembled) 폴리뉴클레오타이드를 사용하여 종

(strain) Y1912를 형질변환함으로써 형성되었다(표 7 참조). 숙주 세포 형질변환체는 메티오닌 및 우라실이 결핍된 CSM에서 선택되었다.

[0277] pAM404로부터 종(strain)을 고친 후(curing) IME1 녹아웃(knockout) 집합된(assembled) 폴리뉴클레오타이드를 사용하여 상기 결과물 종(strain)을 형질변환함으로써 호스트 종(strain) Y1915가 형성되었다 (표 7 참조). 종(strain) Y1913은 회전 교반기에서 200 rpm에서 30°C에서 비-선택적YPD 배지에서 증식되었다. 대략 100개의 세포가 YPD 고체 배지로 옮겨진 후 30°C에서 3일 동안 성장되도록 한 후, 메티오닌 및 루신이 결핍된 CSM 플레이트에서 복제-평판(replica-plated)되었고, 여기에서 세포들은 다시 30°C에서 3일 동안 성장되었다. 고쳐진 세포(cured cell)는, 루신을 포함하는 최소 배지에서 성장하는 능력과 루신이 결핍된 배지에서 성장하는 무능력(inability)에 의해 식별되었다. 콜로니와 같은 싱글(single)이 선택된 후 IME1 녹아웃(knockout) 집합된(assembled) 폴리뉴클레오타이드를 사용하여 형질변환되었다. 숙주 세포 형질변환체는 메티오닌 및 우라실이 결핍된 CSM에서 선택되었다.

[0278] 실시예 9

[0279] 본 실시예는, 본원에 제시된 창조적인 방법에 의해, 프로모터와 단백질 코딩서열을 코딩하는 폴리뉴클레오타이드 성분들을 집합된(assembled) 폴리뉴클레오타이드에 결합하는데 사용되는 어닐링될 수 있는 링커 서열들을 선택하는 방법을 제시한다.

[0280] 2개의 서로 다른 후보인 어닐링될 수 있는 링커 서열들, 어닐링될 수 있는 링커 서열 RYSE 15 (R15; 서열번호 15) 및 어닐링될 수 있는 링커 서열 RYSE 7 (R7; 서열번호 7) 이후에 프로모터들을 코딩하는 MULE 뿐만 아니라, 상기 2개의 어닐링될 수 있는 링커 서열들에 선행하여 GFP를 코딩하는 MULE가, 표 8에 제시된 바와 같이 PCR 증폭되었다.

표 8

표 8 - 프로모터 및, 어닐링할 수 있는 링커 서열들 RYSE 15(R15) 또는 어닐링할 수 있는 링커 서열 RYSE 7(R7)을 갖는 GFP를 코딩하는 증폭된 MULE				
MULE	TYPE *	프라이머들	크기 (bp)	주형
pGAL1-R15	P	Plan X19(SEQ ID NO:236) Plan X20(SEQ ID NO:237)	698	<i>Saccharomyces cerevisiae</i> 종 CEN.PK2 게놈 DNA
pTDH3-R15	P	Plan X47(SEQ ID NO:238) Plan X48(SEQ ID NO:239)	613	<i>Saccharomyces cerevisiae</i> 종 CEN.PK2 게놈 DNA
pCYC1-R15	P	Plan X11(SEQ ID NO:240) Plan X12(SEQ ID NO:241)	645	<i>Saccharomyces cerevisiae</i> 종 CEN.PK2 게놈 DNA
pGAL1-R7	P	Plan X19(SEQ ID NO:236) Plan X64(SEQ ID NO:242)	692	<i>Saccharomyces cerevisiae</i> 종 CEN.PK2 게놈 DNA
pTDH3-R7	P	Plan X47(SEQ ID NO:238) Plan X71(SEQ ID NO:243)	607	<i>Saccharomyces cerevisiae</i> 종 CEN.PK2 게놈 DNA
pCYC1-R7	P	Plan X11(SEQ ID NO:240) Plan X78(SEQ ID NO:244)	639	<i>Saccharomyces cerevisiae</i> 종 CEN.PK2 게놈 DNA
R7-GFP	GsT	Plan X96(SEQ ID NO:247) Plan X88(SEQ ID NO:245)	1378	RABit 634 플라즈미드 DNA **
A-GFP	GsT	Plan X89(SEQ ID NO:246) Plan X88(SEQ ID NO:245)	1385	RABit 634 플라즈미드 DNA **

PCR 반응물은 67 uL ddH₂O, 20 uL 5x HF 버퍼, 2 uL의 각각의 프라이머 (10uM), 1 uL dNTP 믹스 (200 uM), 1uL Phusion DNA 폴리머라제(New England Biolabs, Ipswich, MA), 및 9 uL YO02 게놈 DNA 또는 RABit 634 플라즈미드 DNA를 포함하였다.

PCR 증폭은 하기와 같이 실시되었다 : 98°C에서 2분 동안 변성하는 사이클 1회; 98°C에서 15초 동안 변성, 각각의 사이클마다 1°C씩 낮추면서 61°C에서 30초 동안 어닐링 및 72°C에서 1분 동안 신장하는 사이클 9회; 98°C에서 15초 동안 변성, 52°C에서 30초 동안 어닐링, 및 72°C에서 1분 동안 신장하는 단계 26회; 72°C에서 7분 동안 최종 신장하는 사이클 1회; 및 4°C에서 최종 유지.

* G=유전자; s=종결 코돈; T=종결자; P=프로모터.

** RABit 634는 녹색 형광 단백질 (GFP)의 코딩 서열을 뒤잇는 *Saccharomyces cerevisiae*의 ADH1 유전자의 종결자를 포함한다.

[0282] PCR 반응물은 겔 전기영동에 의해 분해되었고, MULE은 겔 정제되었고, 상기 정제된 MULE은 테스트용 집합된 (assembled) 폴리뉴클레오타이드를 결합하는데 사용되었다. 상기 말단에, 집합될 (표 9 참조) MULE 및 집합 벡터 (표 6 참조)는 튜브(333 fmole의 각각의 집합 벡터, 667 fmole의 각각의 MULE)에 함께 넣은 후 LguI 제한효소 (Fermentas, Glen Burnie, MD)를 사용하여 분해되었다. 제한효소는 65°C에서 20분 동안 열 불활성화되었다. 샘플은 3개의 30 uL의 반응물로 나뉘어지고; 물, 버퍼, dNTP 및 DNA 폴리머라제는 각각의 반응물 혼합물에 첨가되고 PCR 증폭의 첫번째 단계가 개시되었다. 그 후 말단의 프라이머는 반응물 혼합물에 첨가되고 PCR 증폭의 두 번째 단계가 실시되었다 (표 9 참조).

[0283] 3개의 PCR 반응물 혼합물이 하나의 튜브에서 결합되었고(combined), 상기 반응물 혼합물은 겔 전기영동에 의해 분해되었고, PCR 생성물은 겔 정제되었다.

표 9

표 9 - 테스트용 집합된 폴리뉴클레오타이드의 집합체에 대한 말단 프라이머

집합체	결합될 MULE(표 8 참조) 및 집합 벡터(표 6 참조)*	집합된 폴리뉴클레오타이드 크 기 (kb)	말단 프라이머 1	말단 프라이머 2
1	97_555_pGAL1-A_A-GFP_24	4.7	S000 (SEQ ID NO : 45)	S019 (SEQ ID NO : 64)
2	97_555_pTDH3-A_A-GFP_24	4.6		
3	97_555_pCYC1-A_A-GFP_24	4.7		
7	97_555_pGAL1-R7_R7-GFP_24	4.7		
8	97_555_pTDH3-R7_R7-GFP_24	4.6		
9	97_555_pCYC1-R7_R7-GFP_24	4.6		

PCR 반응물은 하기의 것들을 포함한다: 11 uL ddH₂O, 20 uL 5x HF 버퍼, 5 uL의 각각의 말단 프라이머(1 uM), 2 uL dNTP 믹스(200 uM), 1.8 uL Phusion DNA 폴리머라제 및 30 uL MULE 또는 LguI 분해된 결합 벡터.

PCR 증폭의 첫번째 단계는 하기와 같이 실시되었다: 98°C에서 2분 동안 변성하는 사이클 1회; 98°C에서 30초 동안 변성, 60°C에서 30초 동안 어닐링 및 72°C에서 2.5분 동안 신장하는 사이클 5회; 후에 2개의 말단 프라이머들을 첨가하고 4°C에서 유지한다. PCR 증폭의 두번째 단계는 하기와 같이 실시되었다 : 98°C에서 2분 동안 변성하는 사이클 1회; 98°C에서 12초 동안 변성, 60°C에서 30초 동안 어닐링 및 72°C에서 2.5분 동안 신장하는 단계 35회; 72°C에서 7분 동안 최종 신장하는 사이클 1회; 및 4°C에서 최종 유지.

* 결합 벡터는 숫자로 표기되었고, MULE는 이름으로 표기되었다.

[0285] 테스트용 집합된(assembled) 폴리뉴클레오타이드들은, URA3가 부족하고 GAL80 위치에서 HaeI가 삭제된 *Saccharomyces cerevisiae* 호스트 종(strain)을 형질변환하는데 사용되었다. 숙주 세포 형질변환체는 우라실이 결핍된 CSM에서 선택되었고, 집합된(assembled) 폴리뉴클레오타이드의 정확한 게놈 통합(integration)은 콜로니 PCR에 의해 확인되었다. 각각의 형질변환으로부터의 2개의 검증된 콜로니가 선택되어 2% 수크로오스를 포함하는 360 uL Bird Seed Medium (BSM)에 첨가된 후 배양물이 회전 교반기에서 999 rpm에서 30°C에서 48시간 동안 배양되었다. 부분표본(aliquot)의 14.4 uL를 취하여 각각의 웰에 넣고 96-웰 블록 플레이트에서 4% 수크로오스를

포함하는 1.1 mL BSM으로 이동시킨 후 회전 교반기에서 999 rpm에서 30°C에서 6시간 동안 배양하고, 각각의 배양물의 100 uL 지점에서 이들을 GFP 발현의 분석을 위하여 투명한 바닥 96-웰 플레이트의 웰로 옮겼다. 각각의 웰에서의 GFP 발현은 M5 Plate 리더 분광 광도계 (Molecular Devices, Sunnyvale, CA)에서 485 nm 여기 (excitation)된 후 515 nm 방출을 측정함으로써 분석되었다. 각각의 배양물에 대하여 세포 배양물 성장을 OD600 리딩(reading)으로 나눔으로써 측정된 GFP 농도가 표준화되었다.

[0286] 표 10에서 나타난 바와 같이, 어닐링될 수 있는 링커 서열 RYSE 7에 비하여, 어닐링될 수 있는 링커 서열 RYSE 15는 테스트용 집합된(assembled) 폴리뉴클레오타이드에서 GFP 리포터 유전자(reporter gene)의 상승된 GAL1, TDH3 및 CYC1 프로모터 유도 발현(driven expression)을 가능하게 하였다.

표 10

테스트용 집합된 폴리뉴클레오타이드에서 프로모터와 GFP 리포터 유전자 사이에 위치한 어닐링할 수 있는 링커 서열	평균 GFP 발현%			
	(3개의 균일한 대조군 구조* 중 하나를 포함하는 숙주 세포를 사용하여 얻은 평균 GFP 발현% 대비: 2개의 독립적인 숙주 세포 분리물)			
	GAL1 프로모터	TDH3 프로모터	CYC1 프로모터	상기 3개의 프로모터의 평균
R15	79.34	91.42	81.92	84.22
R7	27.43	54.68	46.31	42.81

* 균일한(seamless) 대조군 구조는, 프로모터 서열이 GFP 리포터 유전자에 균일하게 연결된 점(예를 들어, 어닐링할 수 있는 링커의 사이에 끼어들지 않음)을 제외하고 테스트용 집합된 폴리뉴클레오타이드와 동일한 구조를 가졌다.

[0288] 실시예 10

[0289] 본 실시예는 폴리뉴클레오타이드의 높은 생산량의(high-throughput) 조합적 집합 방법 및 조합적으로 결합된(combined) 폴리뉴클레오타이드를 포함하는 높은 생산량의(high-throughput) 숙주 세포의 형성 방법을 제시한다.

[0290] 본 실시예에서 사용된 폴리뉴클레오타이드 성분들 및, 상기 폴리뉴클레오타이드 성분들로부터 형성된 예상되는 집합된(assembled) 및 결합된(combined) 폴리뉴클레오타이드는, 도 12a에서 도식적으로 나타냈다. 폴리뉴클레오타이드 성분들은 업스트림 및 다운스트림 염색체의 타겟팅(targeting) 서열 (US 및 DS), 6개의 서로 다른 프로모터 (P), 35개의 서로 다른 단백질 (G), 및 어닐링될 수 있는 링커 서열 쌍 또는 프라이머 결합 절편/어닐링될 수 있는 링커 서열 쌍의 측면에 배치된, URA3 선별표지(selectable marker)의 5' 및 3' 절편 (각각, URA 및 RA3)을 코딩하는 DNA 절편(segment)을 포함하였다.

[0291] LguI 제한 엔도뉴클레아제를 사용하여 RABit 또는 MULE를 분해함으로써 집합 벡터로부터 폴리뉴클레오타이드 성분들이 분리되었다. 이 때문에, 96-웰 플레이트 ("LguI 분해 플레이트(Digestion Plates)")가 하기 표에 나타난 바와 같이 설정되었고 상기 플레이트는 75분 동안 37°C에서 배양되었고, 그 후에 LguI 제한 엔도뉴클레아제는 PCR 기기에서 20분 동안 65°C에서 열 불활성화되었다.

표 11

LguI 분해 플레이트	
성분(웰 당)	부피(uL)
667 fMole RABit 또는 MULE	가변적입
10x Tango 버퍼 (Fermentas, Glen Burnie, MD)	10
LguI (Fermentas, Glen Burnie, MD)	2.5
ddH2O	to 100

[0293] 폴리뉴클레오타이드 성분들은 SOE에 의해 집합되었다. 하기 표에 나타난 바와 같이, 각각의 LguI 분해 플레이트에 대하여, 3개의(triplicate) 96-웰 플레이트 ("SOE/PCR 플레이트")가 설정되었고 PCR 기계에서 열화학사이클(thermocycle) 되었다.

표 12

SOE/PCR 플레이트	
성분(웰 당)	부피(uL)
ddH ₂ O	41
5x Phusion HF 버퍼 (New England Biolabs, Ipswich, MA)	20
10 mM dNTP 믹스	2
Phusion DNA 폴리머라제 (New England Biolabs, Ipswich, MA)	1.8
	30
집합될 Lgul-분해된 RABit 또는 MULE	
	30 uL
	30 uL
	30 uL
Lgul 분해 플레이트 A B C SOE/PCR 플레이트	
	총: 95
열화학사이클(Thermocycling) 조건	
최초 변성	98°C 2 min
7 사이클	변성 98°C 30 sec 어닐링 67°C 30 sec 신장 72°C 5 min
유지	4°C ∞

[0294]

[0295] 집합된(assembled) 폴리뉴클레오타이드들은 PCR 증폭되었다. 하기 표에 나타난 바와 같이 각각의 SOE/PCR 플레이트는 추가 성분이 첨가된 후 PCR 기계에서 열화학사이클(thermocycle) 되었다. 대응되는 SOE/PCR 플레이트의 웰은 96-딥 웰 블록(deep well block)으로 넣어진 후, 제조업자가 제시한 프로토콜에 따라(대략 45 uL의 말기(end) 부피) Omega Bioteck E-Z 96® Cycle-Pure Kit (Omega Bio-Tek Inc., Norcross, GA)을 사용하여 집합된(assembled) 폴리뉴클레오타이드들이 정제되었다.

표 13

SOE/PCR 플레이트	
추가 성분 (웰 당)	부피 (uL)
말단 프라이머들 S000(SEQ ID NO : 45) 및 S019(SEQ ID NO : 64)의 10 mM 원액	10
열화학사이클(Thermocycling) 조건	
최초 변성	98°C 2 min
35 사이클	변성 98°C 12 sec 어닐링 67°C 30 sec 신장 72°C 4.5 min
최종 신장	72°C 7 min
유지	4°C ∞

[0297] 도 12b는, 예시적인 집합된(assembled) 폴리뉴클레오타이드들 (박스 부분)이 1% 아가로스 겔에서 분해되었음을 보여준다.

[0298] 클로닝을 위한 접착 말단(sticky end)을 형성하기 위하여 LguI 제한 엔도뉴클레아제를 사용하여 정제된 집합된(assembled) 폴리뉴클레오타이드들이 분해되었다. 이를 위하여, 하기 표에 나타난 바와 같이 96-웰 플레이트 ("플레이트에서의 LguI 집합된 폴리뉴클레오타이드 분해")가 설정되었고 상기 플레이트들은 60분 동안 37°C에서 배양되었고, 그 후 LguI 제한 엔도뉴클레아제는 PCR 기계에서 20 분 동안 65°C에서 열 불활성화되었다. LguI 분해된 집합된(assembled) 폴리뉴클레오타이드들은, 제조업자들이 추천하는 프로토콜에 따라 ZR-96 Zymoclean™ Gel DNA Recovery Kit (Zymo Research Corporation, Orange, CA)를 사용하여 겔 정제되었다.

표 14

LguI 집합된 폴리뉴클레오타이드 LguI 분해 플레이트	
성분(웰 당)	부피(uL)
정제된 집합된 폴리뉴클레오타이드	43
10x Tango 버퍼	5
LguI	2

[0300] 집합된(assembled) 폴리뉴클레오타이드들은 pUC-19계 벡터 골격으로 연결되었다. 상기 벡터로 어떠한 삽입물도 연결되지 않을 때, pTRC 프로모터 (예를 들어, *Saccharomyces cerevisiae*의 TRC 유전자의 프로모터)는 GluRS의 발현을 유발하고 숙주 세포를 죽인다. 96-웰 플레이트 ("연결 플레이트(Ligation Plates)")는 하기 표에 나타난 바와 같이 설정되었고 상기 플레이트는 15분 동안 24°C에서 배양되 후 밤새 16°C에서 배양되었다. 연결 생성물은, 제조업자가 제안한 프로토콜에 따라, ZR-96 DNA Clean & Concentrator™-5 (Zymo Research Corporation, Orange, CA)를 사용하여 정제되었다.

표 15

연결 플레이트	
성분(웰 당)	부피(uL)
ddH2O	5
10x T4 DNA Ligase 버퍼	2
벡터 골격	2
정제된 집합된 폴리뉴클레오타이드	10
T4 DNA 리가아제 (NEB, Ipswich, MA)	1

[0302] 연결 생성물은 *E. coli* 성분 세포로 전기천공되었다(electroporate). 하기 표에 나타난 바와 같이, 미리 냉각된 96-웰 전기천공(electroporation) 플레이트가 설정된 후, 전기천공이 실시되었다.

표 16

전기천공 플레이트	
성분(웰 당)	부피(uL)
정제된 연결 생성물	10
Lucigen 10G 성분 세포(Lucigen Corporation, Middleton, WI)	25
전기천공 설정	
2400V	750Ω
	25 uF

[0304] 250 uL의 미리 데워진 SOC를 포함하는 1.1 mL 96-웰 배양 플레이트 ("배양 플레이트(Culture Plate)")가 준비된 후, 각각의 웰로부터 100 uL SOC를 취하여, 전기천공(electroporation) 후에 즉시 전기천공(electroporation)된 세포에 첨가되었다. SOC와 세포들이 혼합되었고, 100 uL의 각각의 혼합물은 배양 플레이트로 다시 옮겨졌다. 배양 플레이트는 Multitron II Incubator Shaker (ATR Biotech, Laurel, MD)에서 1시간 동안 37°C에서 배

양되었다. 세포의 2개의 희석물 (3 μ L 및 240 μ L)은 50 μ g/mL 카나마이신을 포함하는 LB 아가에 옮겨진 후 37°C에서 밤새 배양되었다. 콜로니가 선택된 후, 웰 당 카나마이신을 갖는 1 mL LB 배지를 포함하는 96 딥 웰 플레이트에서 성장되었고, LguI 제한 엔도뉴클레아제를 사용하여 제한 분석(restriction analysis)을 위하여 DNA가 추출되었다. 대략 8 kb 결합된(combined) 폴리뉴클레오타이드를 포함하는 24개의 예시적인 콜로니 중 22개 대한 상기 제한 분석의 결과를 도 12c에 나타냈다.

[0305] 염색체로 통합된 결합된(combined) 폴리뉴클레오타이드들을 포함하는 효모 세포들은 말단 염색체의 타겟팅(targeting) 서열과 집합된(assembled) 폴리뉴클레오타이드들의 선별표지(selectable marker) 절편(segment) 사이의 숙주 세포 매개 상동 재조합(homologous recombination)에 의해 형성되었다. 이를 위하여, 하기 표에 나타낸 바와 같이, 96-웰 PCR 플레이트 ("효모 형질변환 플레이트(Yeast Transformation Plates)")가 준비된 후, PCR 기계에서 열 충격 형질변환(heat shock transformation)이 실시되었다.

표 17

효모 형질변환 플레이트	
성분(웰 당)	부피(μ L)
Miniprep DNA(20 ng/ μ L)	10
효모 세포 성분 *	40
PEG/SS/LiAc 마스터 믹스 **	200
열 충격	
30°C	30 min
42°C	45 min
24°C(선택적)	30 min
* 100 mL YPD에서 밤새 세포를 성장시키고, 배양물을 희석하고, 밤새 약 0.8의 OD600으로 성장시킨 후, 5분 동안 3,000g에서 배양물을 회전시키고, 1 L ddH2O를 사용하여 세포 펠렛을 수세하고, 1L 100 mM 리튬 아세테이트 (LiAc)로 상기 세포 펠렛을 수세하고, 100 mM LiAc에서 총 부피 18 mL까지 세포 펠렛을 재분산시켜서 제조됨.	
** 4개의 PCR 플레이트에 충분한 마스터 믹스는 100 mL 50% PEG, 끓는(적어도 10분 동안 95°C) 4 mL 단일 가닥의 DNA, 15 mL 1M LiAc를 포함한다.	

[0307] 효모 형질변환 플레이트는 2분 동안 2,000g에서 회전되었고, 상층물이 제거된 후 세포 펠렛들은 200 μ L ddH2O를 사용하여 3회 수세되었다. 세포 펠렛은, 이전에 제조된, 웰 당 360 μ L 차운 BSM을 포함하는 미리 냉각된 96-웰 배양 플레이트 ("시드 플레이트(Seed Plates)")로부터 취한 100 μ L cold Bird Seed Media (BSM)를 사용하여 재분산되었다. 재분산된 세포들은 시드 플레이트로 옮겨진 후 Multitron II Incubator Shaker에서 30°C에서 밤새 성장되었다. 상기 시드 플레이트는 5분 동안 3,000g에서 회전되고, 60 μ L의 액체를 제외하고 모두 제거되었고, 세포 펠렛을 재분산하기 위하여 덮개가 덮여진 시드 플레이트는 1,000rpm에서 교반되었다.

[0308] 실시예 11

[0309] 본 실시예는 숙주 세포 매개 상동 재조합(homologous recombination)에 의해 형성된 집합된 폴리뉴클레오타이드들을 포함하는 효모 세포들을 형성하는 방법을 제시한다.

[0310] 본 실시예에 사용된 집합된(assembled) 폴리뉴클레오타이드 및 폴리뉴클레오타이드 성분들 및 집합과 염색체의 통합(integration)에서 얻어진 예상되는 염색체의 위치는, 도 13a에 도식적으로 나타냈다.

[0311] 효모 세포 형질변환은 하기 표에 나타낸 바와 같이 실시되었다. 열 충격(heat shock) 후에, 세포들을 회전시켜 상층물이 제거된 후, 세포들은 400 μ L ddH2O에 재분산되었고 숙주 세포 형질변환체는 우라실 결핍 아가로 100 내지 200 μ L의 세포 분산물을 옮겨서 선택되었다.

표 18

효모 형질변환	
성분	부피(μ L)
성분 및 집합된 폴리뉴클레오타이드 (각각 300–500 ng)	20

효모 세포 성분 *	세포 펠렛 *
50% PEG 용액	240
1M LiAc pH 8.4-8.9	36
끓는 (95°C에서 5분 동안) 단일 가닥의 DNA (10 mg/mL) (Invitrogen, Carlsbad, CA)	10
ddH ₂ O	54
열 충격	
42°C	40 min
* 밤새 세포를 성장시키고, 배양물을 회석하고, 밤새 30°C에서 25 mL YPD에서 콜로니로부터 0.7 내지 0.9의 OD600으로 세포를 성장시킨 후, 5 내지 40 mL ddH ₂ O로 세포 펠렛을 수세한 후, 1 mL ddH ₂ O로 세포 펠렛을 수세한 후, 1 mL 100 mM 리튬 아세테이트 (LiAc)로 상기 세포 펠렛을 수세하고, 상기 세포를 침전시키기 위하여 30초 동안 마이크로센트리퓨저에서 회전시킨 후, 상충물을 제거시켜서 제조되었다.	

[0313] 집합된(assembled) 폴리뉴클레오타이드들의 성공적인 통합은 cPCR 프라이머 A, B, E 및 F (염색체의 통합(integration) 부위의 5' 접합부) 또는 cPCR 프라이머 C, D, G 및 H (염색체의 통합(integration) 부위의 3' 접합부)를 사용하여 cPCR에 의해 측정되었다 (도 13a). 도 13b에 나타낸 바와 같이, 분석된 모든 8개의 콜로니들은 예상되는 집합된(assembled) 폴리뉴클레오타이드의 양성 염색체의 통합(integration) 이벤트를 나타내는 700 bp PCR 밴드를 생성하였고, 원래의 위치에 생성되었을 950 bp PCR 밴드를 결핍하였다.

0314] 실시예 12

[0315] 본 실시예는 숙주 세포 매개 상동 재조합(homologous recombination)에 의해 형성된 조합적으로 집합된(assembled) 및 결합된(combined) 폴리뉴클레오타이드들을 포함하는 높은 생산량의(high-throughput)의 효모 세포의 형성 방법을 제시한다.

[0316] 본 실시예에서 사용된 폴리뉴클레오타이드 성분들 및 숙주 세포 매개 상동 재조합(homologous recombination)에 의한 집합 및 결합으로부터 얻은 예상되는 결합된(combined) 폴리뉴클레오타이드들은, 도 14A에 도식적으로 나타냈다. 폴리뉴클레오타이드 성분들은 업스트림 및 다운스트림 염색체의 타겟팅(targeting) 서열 (US 및 DS)을 코딩하는 DNA 절편, 6개의 서로 다른 프로모터 (P), 35개의 서로 다른 단백질 (G) 및 어닐링될 수 있는 링커 서열 쌍 또는 프라이머 결합 절편/어닐링될 수 있는 링커 서열 쌍의 측면에 배치된, URA3 선별표지(selectable marker)의 5' 및 3' 절편 (각각, URA 및 RA3)을 포함하였다.

[0317] LguI 제한 엔도뉴클레아제를 사용하여 RABit 또는 MULE를 분해함으로써, 집합 벡터로부터 폴리뉴클레오타이드 성분들이 분리되었다. 이를 위하여, 96-웰 플레이트 ("LguI 분해 플레이트(LguI Digestion Plate)")는 하기 표에 나타난 바와 같이 준비된 후 상기플레이트는 75분 동안 37°C에서 배양되었고, 그 후에 LguI 제한 엔도뉴클레아제는 PCR 기계에서 20분 동안 65°C에서 열 불활성화되었다.

표 19

LguI 분해 플레이트	
성분(웰 당)	부피(μL)
667 fMole RABit 또는 MULE	가변적임
10x Tango 버퍼 (Fermentas, Glen Burnie, MD)	5
LguI (Fermentas, Glen Burnie, MD)	2.5
ddH ₂ O	to 50

[0319] 염색체로 통합된(integrated), 조합적으로 집합된(assembled) 및 조합적으로 결합된(combined) 폴리뉴클레오타이드를 포함하는 효모 세포를 형성하기 위하여, 96-웰 PCR 플레이트 ("효모 형질변환 플레이트(Yeast Transformation Plate)")가 준비된 후, 열 충격 형질변환이 하기 표에 나타난 바와 같이 PCR 기계에서 실시되었다.

표 20

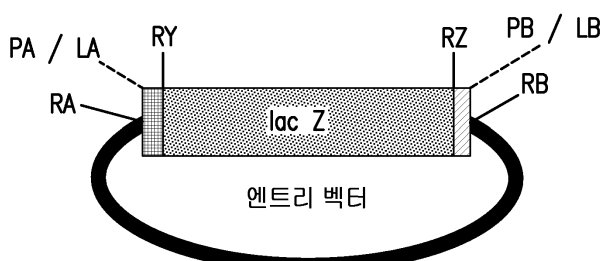
효모 형질변환 플레이트	
성분(웰 당)	부피(uL)
폴리뉴클레오타이드 성분	10
효모 세포 성분 *	40
PEG/SS/LiAc 마스터 믹스 **	200
열 충격	
30°C	30 min
42°C	45 min
24°C(선택적)	30 min
*100 mL YPD에서 밤새 세포를 성장시키고, 상기 배양물을 희석시키고 약 0.8의 OD600까지 밤새 성장시킨 후, 5분 동안 3,000g에서 배양물을 회전시킨 후, 1 L ddH2O를 사용하여 세포 펠렛을 수세하고, 1 L 100mM 리튬 아세테이트 (LiAc)를 사용하여 세포 펠렛을 수세한 후, 100 mM LiAc 내 총 18 mL의 부피까지 상기 세포 펠렛을 재분산시켜서 제조됨.	
**4개의 PCR 플레이트에 대한 마스터 믹스는 contains 100 mL 50% PEG, 4 mL의 끓는 (적어도 10 분 동안의 95°C) 단일 가닥 DNA, 15 mL 1 M LiAc를 포함한다.	

[0320] 효모 형질변환 플레이트가 2분 동안 2,000g에서 회전된 후 상층물은 제거되었으며, 세포 펠렛은 200 uL ddH2O를 사용하여 3회 수세되었다. 웰 당 360 uL의 차가운 BSM을 포함하는, 미리 제조된, 미리 냉각된 96-웰 배양 플레이트 ("시드 플레이트(Seed Plate)")로부터 취한 100 uL 차가운 Bird Seed Media (BSM)를 사용하여 세포 펠렛이 재분산되었다. 분산된 세포는 시드 플레이트로 옮겨진 후 Multitron II Incubator Shaker에서 30°C에서 밤새 성장되었다. 시드 플레이트는 5분 동안 3,000g에서 회전된 후, 60 uL를 제외하고 모든 액체가 제거된 후, 세포 펠렛을 재분산하기 위하여 덮개가 덮여진 시드 플레이트는 1,000rpm에서 교반되었다. 세포의 다양한 희석률은 우라실이 결합된 아가로 옮겨진 후 37°C에서 밤새 배양되었다. 기능적 URA3 선별표지(selectable marker)를 포함하는 효모 세포 형질변환체의 콜로니를 취하여 분석하였다.

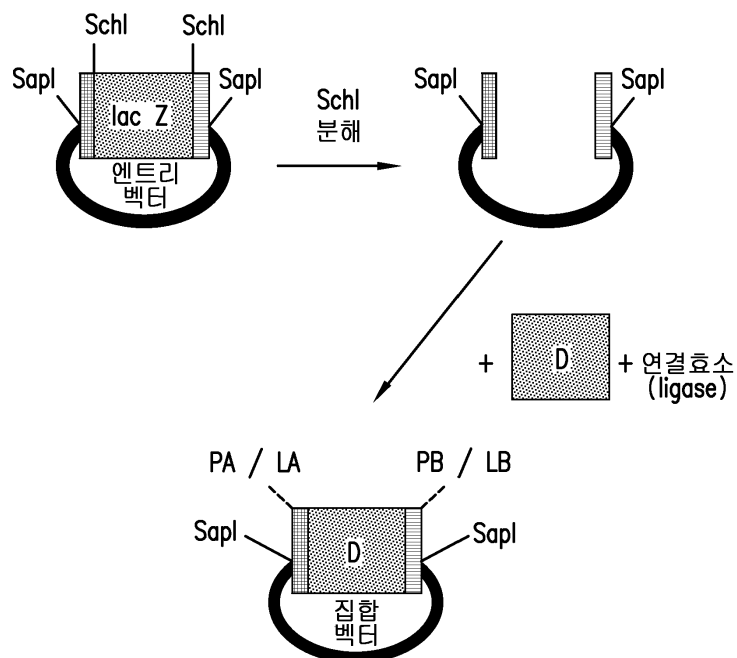
[0322] 각각의 공개 공보 또는 특허 출원이 특히, 그리고 개별적으로 인용에 의해 통합되는 것으로 나타나는 것처럼, 본 명세서에서 인용된 모든 공개 공보, 특히 및 특허 출원은 인용에 의해 본원에 통합된다. 명확히 이해시킬 목적으로 예시 및 실시예의 방법으로 어느 정도 상세하게 발명이 제시되었다고 하더라도, 첨부된 청구항의 사상 또는 범위에서 벗어남이 없이, 어떠한 변화 또는 변형이 본 발명의 내용에 이루어질 수 있다는 것은, 본 발명의 내용의 관점에서 당업자에게 분명할 것이다. 상기에 제시된 본 발명의 실시예는 단지 예시적인 것을 의도할 뿐이며 당업자는 통상적인 경험, 본원에 제시된 특정 공정에 대한 수많은 균등물 이상을 사용하지 않고도 인지하거나 확신할 수 있을 것이다. 그러한 모든 균등물들은 본 발명의 범위 내에 있는 것으로 간주되며 하기의 청구 항에 의해 뒷받침된다. 더욱이, 본 명세서 및 청구항에 사용된 바와 같은, 단수 형태들 "하나의(a 또는 an)" 및 "상기(the)"는, 분명하게 달리 표현하지 않는 한, 복수 형태를 포함한다.

도면

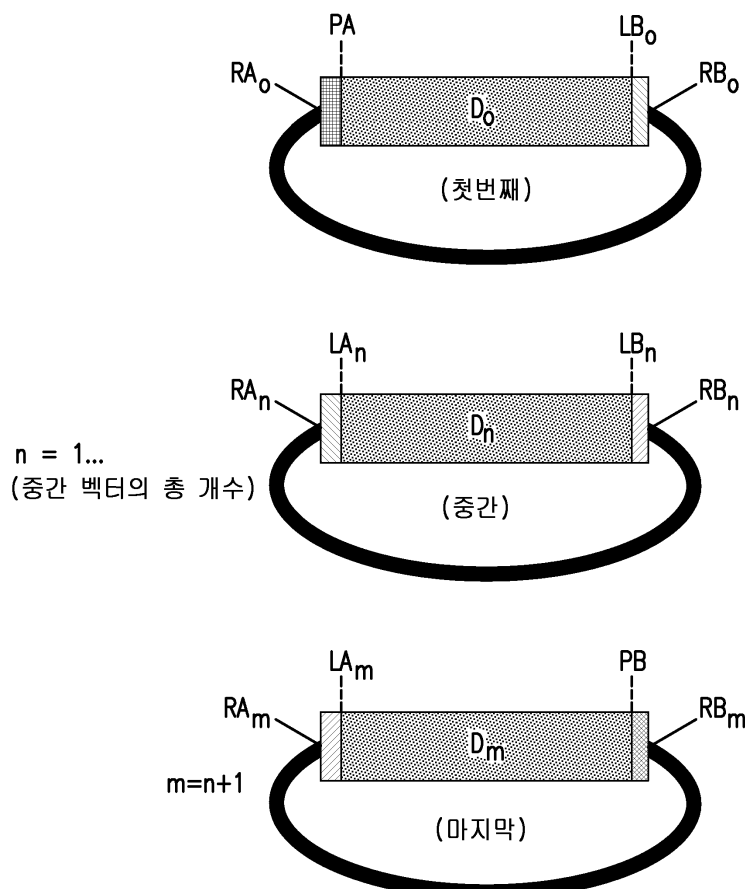
도면1a



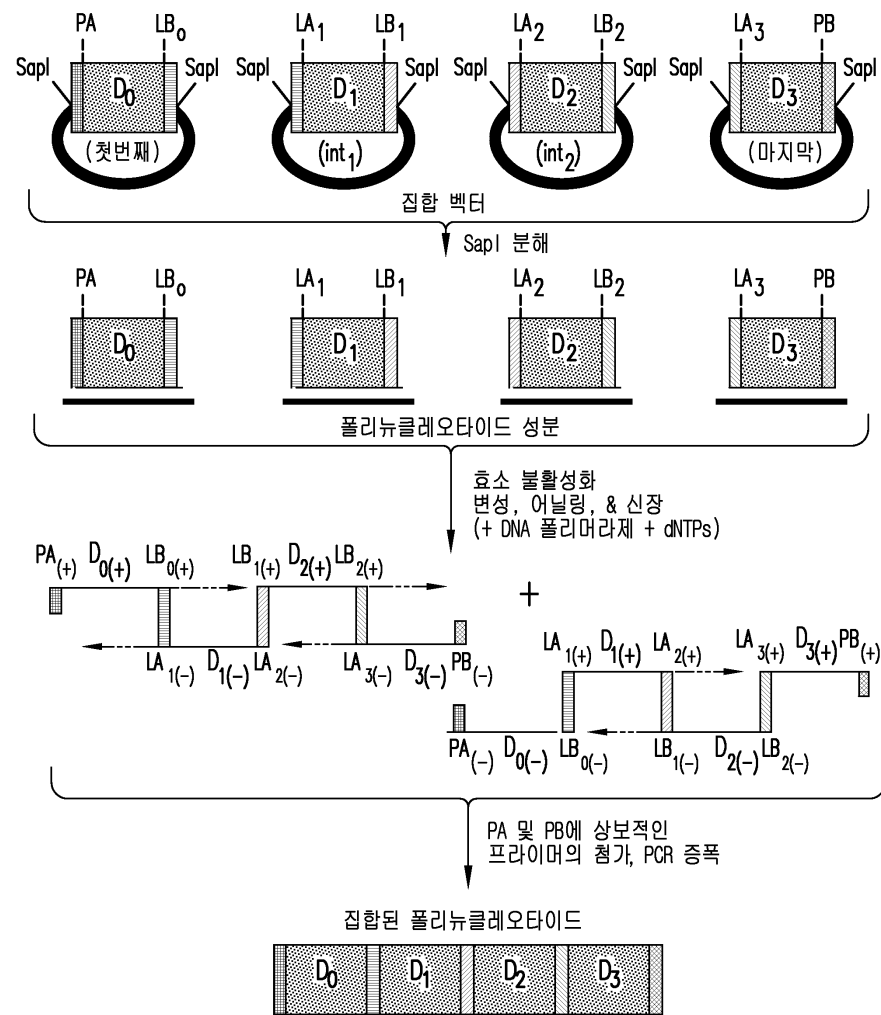
도면1b



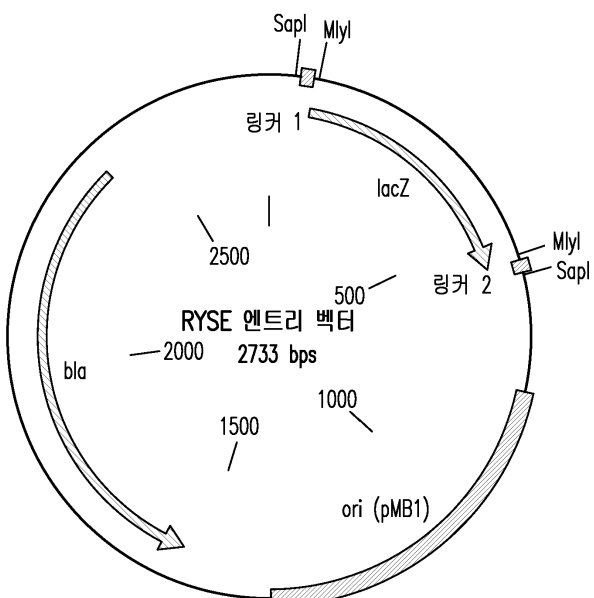
도면2



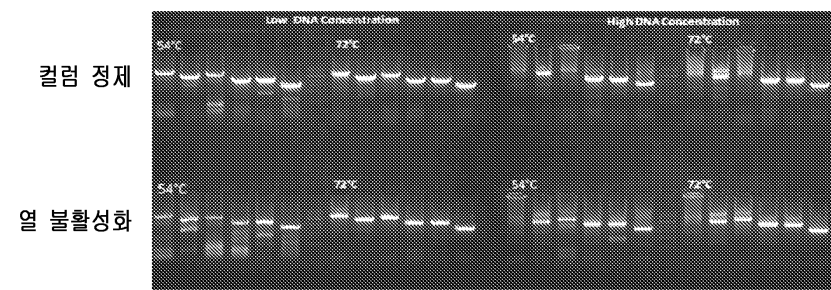
도면3



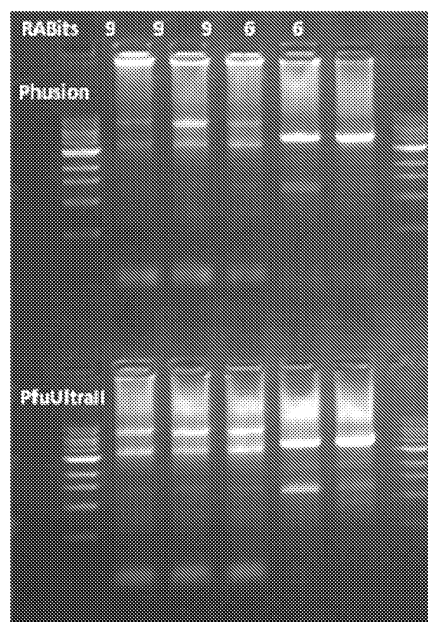
도면4



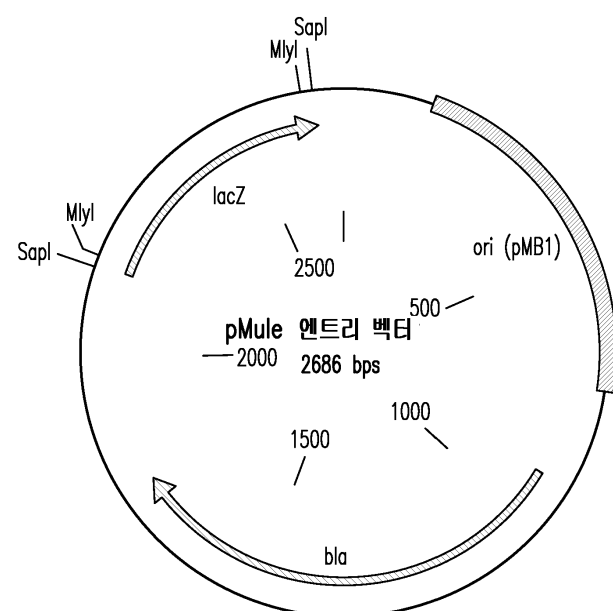
도면5



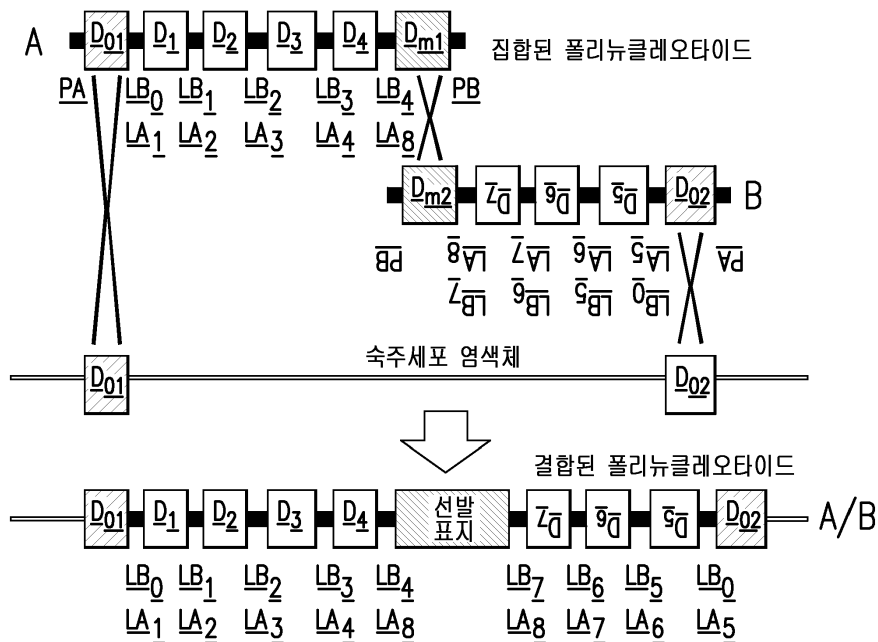
도면6



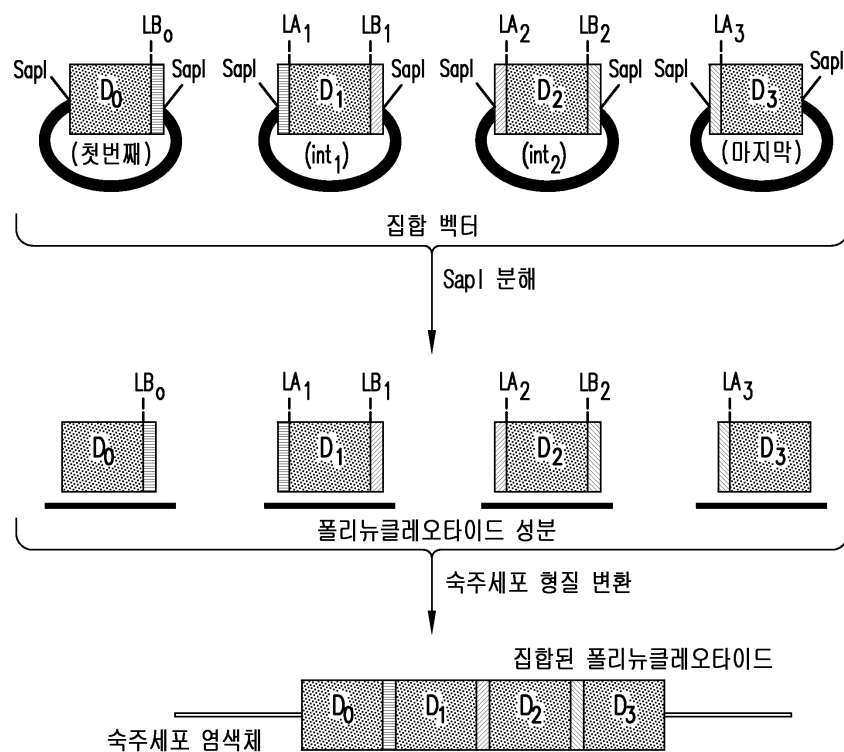
도면7



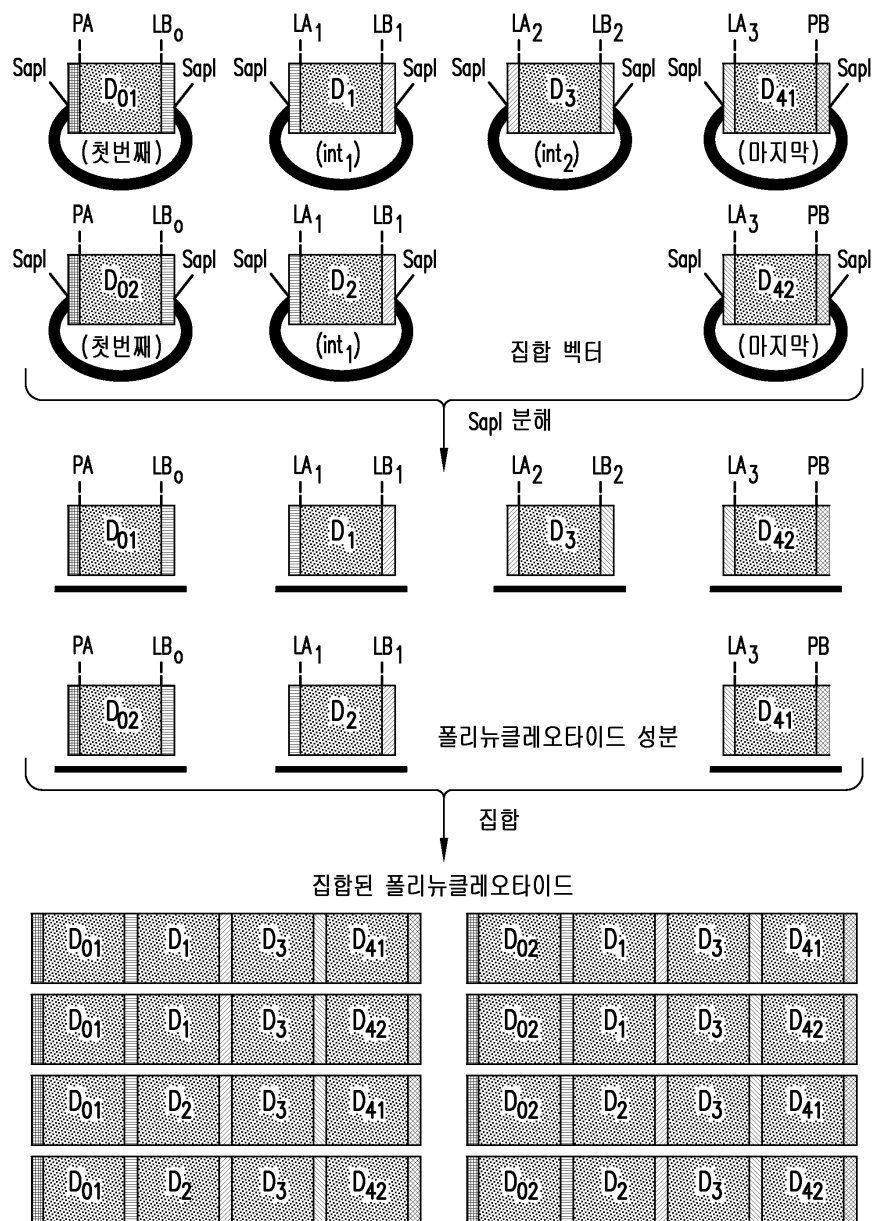
도면8



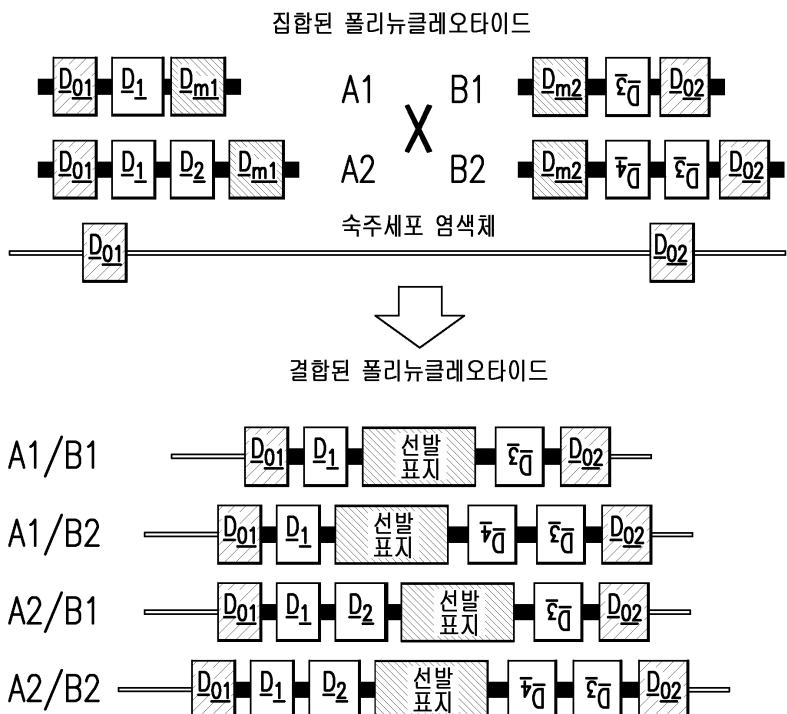
도면9



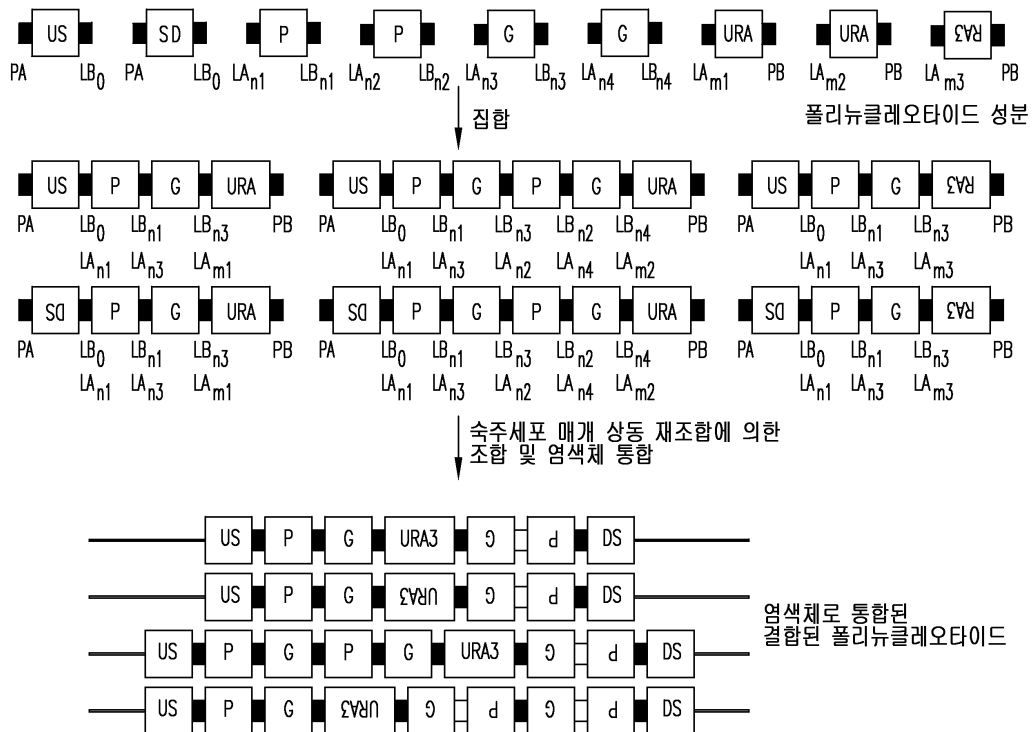
도면10



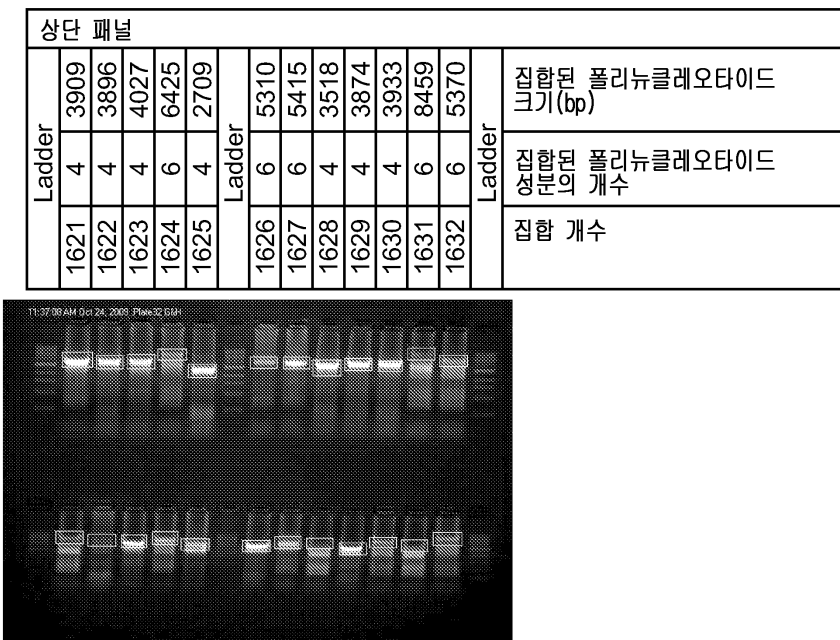
도면11



도면12a

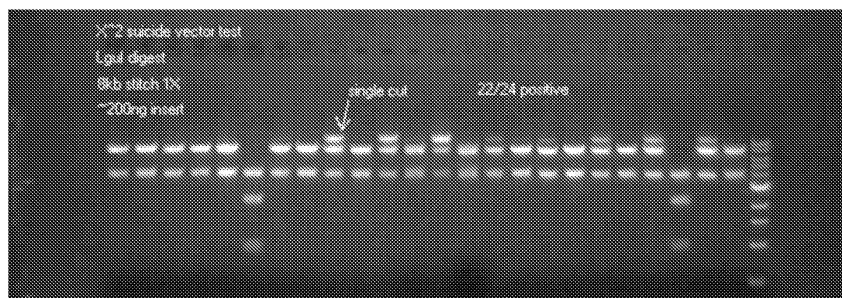


도면12b

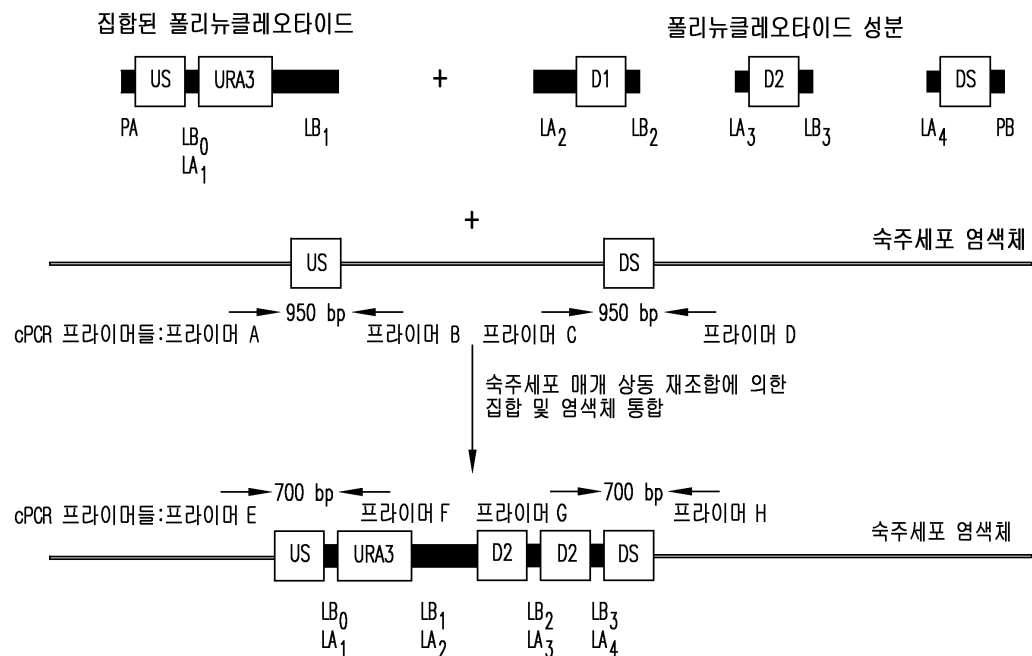


하단 표본		Ladder		집합 개수	
				집합된 폴리뉴클레오타이드 개수	
				집합된 폴리뉴클레오타이드 크기(bp)	
5316	4	1638			
6457	6	1639			
5492	6	1640			
3458	4	1641			
5453	6	1642			
4758	6	1643			
6818	6	1644			
		Ladder			

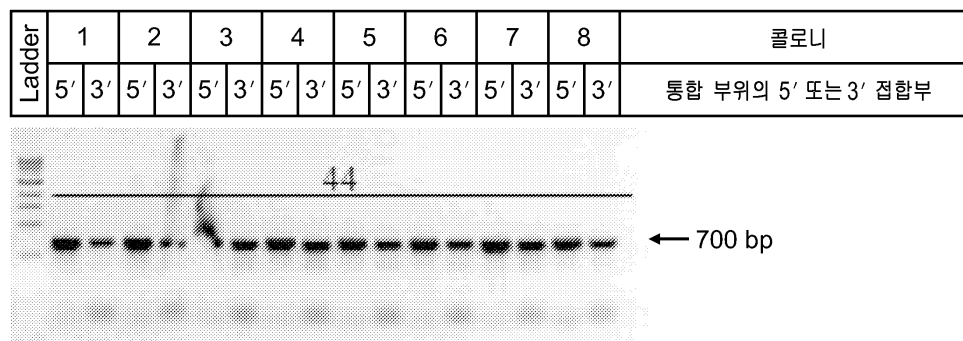
도면12c



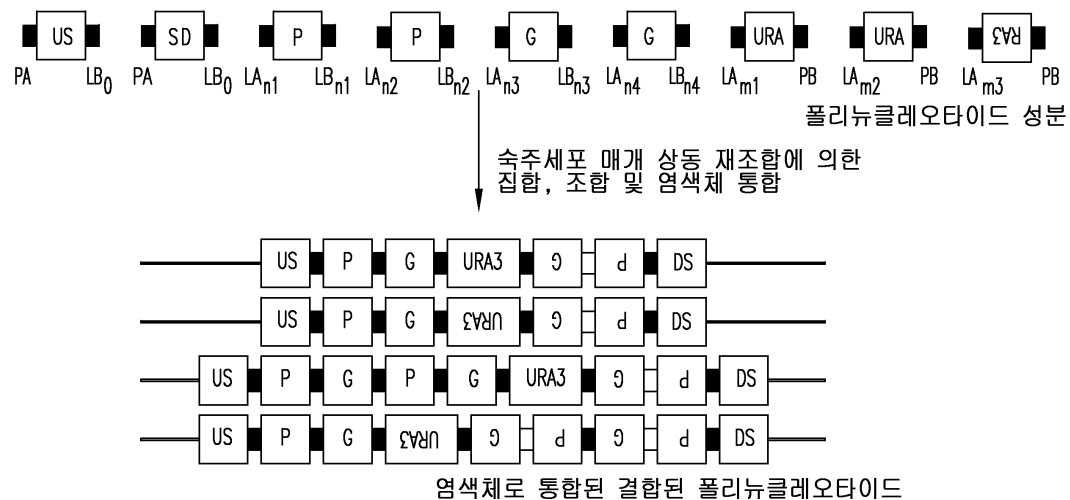
도면13a



도면13b



도면14



서 열 목 록

SEQUENCE LISTING

<110> Amyris Biotechnologies, Inc.

Serber, Zach

Lowe, Raymond

Ubersax, Jeffrey A.

Chandran, Sunil S.

Dean, Erik Jedediah

Platt, Darren M.

Takeoka, Kenneth Toshiki

<120> COMPOSITIONS AND METHODS FOR THE

ASSEMBLY OF POLYNUCLEOTIDES

<130> 11836-047-228

<150> 61/116,109

<151> 2008-11-19

<150> 61/162,230

<151> 2009-03-20

<160> 220

<170> FastSEQ for Windows Version 4.0

<210> 1

<211> 24

<212> DNA

<213> Artificial Sequence

<220>

<223> Linker Gold (Au)

<400> 1

gctcacacgc ggcgcagggg agcc

24

<210> 2

<211> 24

<212> DNA

<213> Artificial Sequence

<220>

<223> Linker Lapis (La)

<400> 2	
cgctcggtcca acgccccggg acct	24
<210> 3	
<211> 24	
<212> DNA	
<213> Artificial Sequence	
<220>	
<223> Linker Copper (Cu)	
<400> 3	
atccccgcgt gcttggccgg ccgt	24
<210> 4	
<211> 24	
<212> DNA	
<213> Artificial Sequence	
<220>	
<223> Linker Quartz (Qz)	
<400> 4	
aacctgcagg ccgcgcgcgc cgat	24
<210> 5	
<211> 24	
<212> DNA	
<213> Artificial Sequence	
<220>	
<223> Linker Iron (Fe)	
<400> 5	
aacgcgatcg ccgacgcccgc cgat	24
<210> 6	
<211> 24	
<212> DNA	
<213> Artificial Sequence	
<220>	
<223> Linker Obsidian (Ob)	
<400> 6	

aaggcggccg ctggcgaggg agat	24
<210> 7	
<211> 24	
<212> DNA	
<213> Artificial Sequence	
<220>	
<223> Linker Indigo (In)	
<400> 7	
aaggcgcgcc acgtcggtgc ggat	24
<210> 8	
<211> 24	
<212> DNA	
<213> Artificial Sequence	
<220>	
<223> Linker Silver (Ag)	
<400> 8	
agccccctcag ccccccttagc gtctcg	24
<210> 9	
<211> 28	
<212> DNA	
<213> Artificial Sequence	
<220>	
<223> Linker Pme1-5prime	
<400> 9	
gacggcacgg ccacgcgtt aaaccgcc	28
<210> 10	
<211> 28	
<212> DNA	
<213> Artificial Sequence	
<220>	
<223> Linker Pme1-3prime	
<400> 10	
cggtgtttaa accccagcgc ctggcggg	28

<210> 11
<211> 2737
<212> DNA
<213> Artificial Sequence
<220>
<223> pRYSE Entry vector 1
<400> 11

gtaaaacgac ggccagtatt aaccctact aaaggaaact cgaggcttt cagacggcac 60
ggccacgcgt ttaaacccgc tggcagactc catatgctat gcccacatcg agcagattgt 120
actgagatg caccatatgc ggtgtgaaat accgcacaga tgcgttaagga gaaaataccg 180
catcaggcgc cattcgccat tcaggctgctgcaactgttgg gaagggcgat cggtgcggc 240

ctcttcgcta ttacgccagc tggcgaaagg gggatgtgct gcaaggcgat taagttgggt 300
aacgccaggg tttcccgat cacgacgtt gaaaacgacg gccagtgaaat tcgagctcg 360
tacccgggaa tcctctagcg tcgacctgca ggcacatgcaag ctggcgtaa tcatggtcat 420
agctgttcc tgggtgaaat tggttatccgc tcacaattcc acacaacata cgagccggaa 480
gcataaagt taaaggctgg ggtgcctaat gagtgagctt actcacatatttgcgttgc 540
gcgcgtacgat gtcatccagc tcacacgcgg ccagggggag cctgaagagc gagctccgc 600
tgagaataa cttagcgtcat agctgttcc tgggtcgatc ggctgcggcg agcggatca 660
gctcactcaa aggccgtaat acggttatcc acagaatcag gggataacgc aggaaagaac 720

atgtgagcaa aaggccagca aaaggccagg aaccgtaaaa aggccgcgtt gctggcggtt 780
ttccataggc tccggcccccc tgacgagcat cacaaaaatc gacgctcaag tcagagggtgg 840
cgaaacccga caggactata aagataccag gcgttcccc ctggaaagctc cctcggtcg 900
tctcctgttc cgaccctgcc gcttacccga tacctgtccg ctttctccc ttcggaaagc 960
gtggcgctt ctcatagctc acgctgttagg tatctcaggcggtt cgttgcgtcc 1020
aagctggct gtgtgcacga acccccccgtt cagcccgacc gctgcgcctt atccggtaac 1080
tatcgtctt attccaaccc ggttaagacac gacttatcgc cactggcagc agccactgg 1140
aacaggatta gcagagcgag gtatgttaggc ggtgcgtacag agttcttggaa gtggtggcct 1200

aactacggct acactagaag aacagtattt ggtatctgctgctgaa gccagttacc 1260
ttcgaaaaaa gagttggtag ctcttgatcc ggcaaaacaaa ccaccgtgg tagcggtgg 1320
ttttttgttt gcaaggcagca gattacgcgc agaaaaaaag gatctcaaga agatccttg 1380
atctttctta cggggctgtga cgctcgtgg aacgaaaact cacgttaagg gatgggttc 1440
atgagattat caaaaaggat cttcacctag atcctttaa attaaaaatg aagttttaaa 1500

tcaatctaaa gtatatatga gtaacttgtt cgcatgctta ccaatgctta atcagtgagg 1560
 cacctatctc agcgatctgt ctatttcgtt catccatagt tgccctgactg cccgtcggt 1620
 agataactac gatacgggag ggcttaccat ctggccccag tgctgcaatg ataccgcgag 1680

acccacgctc accggctcca gatttatcg caataaacca gccagccgga agggccgagc 1740
 gcagaagtgg tcctgcaact ttatccgct ccatccagtc tattaaatgt tgccggaaag 1800
 ctagagtaag tagttcgcca gttaatagtt tgcgcaacgt tggtgccatt gctacaggca 1860
 tcgtgggtgc acgctcgctg ttgggtatgg cttcattcag ctccgggtcc caacgatcaa 1920
 ggcgagttac atgatcccc atgttgtca aaaaagcggt tagctccctc ggtccctcga 1980
 tcgttgtcag aagtaagttg gccgcagttg tatcactcat ggttatggca gcactgcata 2040
 attcttttac tgtcatgcca tccgtaagat gctttctgt gactggtgag tactcaacca 2100
 agtcattctg agaatagtgt atgcggcgac cgagttgctc ttgccccggc tcaatacggg 2160

ataataccgc gccacatagc agaactttaa aagtgtcat cattggaaaa cgttttcg 2220
 ggcgaaaact ctcaggatc ttaccgctgt tgagatccag ttcatgtaa cccactcg 2280
 cacccaaactg atcttcagca tcttttactt tcaccagcgt ttctgggtga gcaaaaacag 2340
 gaaggcaaaa tgccgcaaaa aagggaataa gggcgacacg gaaatgttga atactcatca 2400
 attgccttt tcaatattat tgaaggattt atcagggttta ttgtctcatg agcggttaca 2460
 tatttgaatg tatttagaaa aataaacaaa taggggttcc ggcacattt cccgaaaag 2520
 tgccacactga cgtctaagaa accattatta tcatgacatt aacctataaa aataggcgta 2580
 tcacgaggcc ctttcatctc ggcgtttcg gtgtatgcgg tgaaacctc tgacacatgc 2640

agctcccgga gacagtaca gcttgtctgt aagcgatgc cgggagcaga caagccgtc 2700
 agggcggtc agcggttgg cgggggtgtc ggggtc 2737

<210> 12

<211> 7692

<212> DNA

<213> Artificial Sequence

<220>

<223> DNA fragment resulting from Stitch 7

<400> 12

gacggcacgg ccacgcgtt aaaccgcctt ccaagctgac ataaatcgca ctttgtatct 60
 actttttttt attcgaaaac aaggcacaac aatgaatcta tgcgcgtgt agatttcaa 120
 tctcaagttt gtgtataga tagcggtata ttatagaact ataaagggtcc ttgaatatac 180

atagtgttccattcctatatactgtatatgtgactttacattgttacttccgcggctattt 240

gacgtttct gttcagggtcggttggag ggcaaatgtt cagaaaatcg gccaggccgt 300
atgacacaaa agagtagaaaa acgagatctc aaatatctcg aggctgtcc tctataacaac 360
cgcccagctc tctgacaaag ctccagaacg gtgtcttt gttcgaaaa gccaagggtcc 420
cttataatttgcctccattt tgtgtcacct attaagcaa aaaattgaaa gtttactaac 480
ctttcattaa agagaataaa caatattata aaaagcgctt aaagctcaca cgccggccagg 540
gggagccgag ctctcgaga agttaagatt atatgaataa ctaaatacta aatagaaatg 600
taaatatcgtt gagaacaaaa caaaaaaaaaa cgaacagaga aactaaatcc acattaaatg 660
agagttctat ctattagaaaa atgcaaactc caactaaatggaaaacaga taacctttt 720

tatTTTTTT taatgttga tattcgagtc ttttcttt gtaggttta tattcatcat 780
ttcaatgaardtaaaagaactcttttggtgcggaaatgaaaaaaaaggatTTTTT 840
catacttcta aagcttcaat tataacccaa aattttataaa atgaagagaa aaaatctagt 900
agtatcaagt taaacctatt ccttgcctt cgacgagtg ctggggcgctc ggTTTCCACT 960
atcgccgagt acttctacac agccatcggt ccagacggcc gcgcTTCTGC gggcgatttg 1020
tgtacgcccc acagtccccgg ctccggatcg gacgattgcg tcgcacatcgac cctgcgccca 1080
agctgcataca tcgaaattgc cgtcaaccaa gctctgatag agttggtaa gaccaatgcg 1140
gagcatatac gcccggagcc gggggatcc tgcaagctcc ggatgcctcc gctcgaagta 1200

gcgctctgc tgctccatac aagccaaacca cggcctccag aagaagatgt tggcaccc 1260
gtattggaa tccccgaaca tcgcctcgct ccagtcaatg accgctgtta tgccgcatt 1320
gtccgtcagg acattgttgg agccgaaatc cgcgtgcacg aggtgccgga cttcgggca 1380
gtcctcgccc caaagcatca gctcatcgag agcctgcgac acggacgcac tgacggtgtc 1440
gtccatcaca gttgccagt gatacacatg gggatcagca atcgccata taaaatcact 1500
ccatgtatgt tattgaccga ttccctgcgg tccgaatggg ccgaaccgc tcgtctggct 1560
aagatcgccc gcagcgatcg catccatggc ctccgcgacc ggctgcagaa cagcgggcag 1620
ttcggttca ggcaggctt gcaacgtgac accctgtgca cggcgggaga tgcaatagg 1680

caggctctcg ctgaattccc caatgtcaag cacttccgga atcgggagcgc cgcccgatgc 1740
aaagtgccga taaacataac gatcttgta gaaaccatcg ggcgcagctat ttacccgcag 1800
gacatatcca cgccttccta catgtcaagct gaaaggcacga gattttcgc cctccgagag 1860
ctgcatcagg tcggagacgc tgtcgactt ttcgatcaga aacttctcga cagacgtcgc 1920
ggtagttca ggctttca ttttaatgt tacttctt gcagtttaggg aactataatg 1980
taactcaaaa taagattaaa caaactaaaa taaaaagaag ttatacagaa aaacccatat 2040

aaaccagtac taatccataa taataataca caaaaaact atcaaataaa accagaaaac 2100
 agattgaata gaaaaatttt ttcgatctcc ttttatattc aaaattcgat atatgaaaaa 2160

gggaactctc agaaaatcac caaatcaatt taatttagatt tttctttcc ttctagcgtt 2220
 gaaaaagaaaa attttcttt ttttttttag aatgaaaaa ttttgcgtt aggaatcacc 2280
 gtataaaccc tgtataaacg ctactctgtt cacctgtgtt ggctatgatt gaccagggtt 2340
 tcattgttat tgcgagagag cgggagaaaa gaaccgatac aagagatcca tgctggata 2400
 gttgtctgtc caacactttg atgaacttgtt aggacgttga tgtgtattac tagtgtcgtc 2460
 gctcgtccaa cgccggcgga cctctttaa ttctgtgtt acccgatcat gcccaaata 2520
 gggggcggtt tacacagaat atataacatc gtaggtgtct gggtaacag tttatccctg 2580
 gcatccacta aatataatgg agcccgctt ttaagctggc atccagaaaa aaaaagaatc 2640

ccagcaccaa aatattgttt tttcaccaa ccatcagtcc ataggtccat tctcttagcg 2700
 caactacaga gaacaggggc acaaacaggc aaaaaacggg cacaacctca atggagtgt 2760
 gcaacctgcc tggagtaat gatgacacaa ggcaatttgc ccacgcgtt atctatctca 2820
 ttttcttaca ccttcttata cttctgtc tctctgtt ggaaaaagct gaaaaaaaaag 2880
 gttgaaacca gttccctgaa attattcccc tacttgacta ataagtatat aaagacggta 2940
 ggtattgatt gtaattctgt aatcttattt cttaaacttc ttaaattcta ctttatagt 3000
 tagtctttt ttagttta aaacaccaag aacttagttt cgatccccgc gtgcttggcc 3060
 ggccgtatga cagatgtgt aatagtatcc gccgcaagaa cagcagttgg aaagtttgg 3120

ggctctttg caaagattcc agcccctgaa ttaggagctg ttgttataaa agccgcactt 3180
 gaaagggcag gtgtgaagcc tgaacaagtc agtgaagtca taatgggtca agtttaact 3240
 gccggctcag gtcacaaaccc agccagacag gctgttata aagctggtt accggcaatg 3300
 gttcccgca tggactattaa caaagttgtt ggttccggcc ttaaaggcgt gatgttagct 3360
 gctaalcacaa taatggctgg ggtatgtgaa atagtagtgc ccggaggaca agagaatatg 3420
 agtgcagccc cacacgtttt accgggtcc agagatggat tccgtatggg tgacgctaag 3480
 ttagttgata ctatgatgtt agatggacta tggatgtct ataaccaata tcacatgggt 3540
 attacagccg aaaaacgtggc gaaagaatat gggattacga gagaagcaca ggtatgatcc 3600

gccgtggta gtcaaaataa ggcggaggcg gctcaaaaag ccggtaaatt tggatgaggaa 3660
 atagtagctg tccttataacc acagagaaaaa ggagatccgg ttgcctttaa aaccgatgag 3720
 tttgtcagac aaggcgccac attagacagc atgtctggtt tggaaacctgc ttttgataag 3780
 gccggggaccg tgaccgctgc taatgcgtca ggactaaacg atggagctgc ggcgggtgg 3840
 gttatgtctg ctgtttaaagc aaaagaatta gggtaactc cattagccac tatcaaattct 3900

tatgctaacg cgggggtgga cccaaaagtg atggaatgg gacctttcc agccagtaag 3960
 agggcgttat cttagggccga atggactctt caagacttg attaatggaa aattaatggaa 4020
 gcatttgcgg cacaggcgtt agctgtccac caacagatgg gttggatac aagtaaggc 4080

aatgttaatg gaggtgcaat cgccatttgtt caccaattt gtgcgtccgg atgtagaatt 4140
 ttagttaccc tactgcatga gatgaagagg cgtgatgcaa agaaaggctt agcttcgtt 4200
 tgtatcggtg gtggaatggg tgtggcatta gcagtcgagc gtaaataaaa cctgcaggcc 4260
 gcgagcgcgg attaagtgaa ttactttaa atcttgattt taaataaattt ttcttttat 4320
 agctttatga cttagttca atttatatac tattttatg acatttcga ttcatttgatt 4380
 gaaagcttg tttttttct ttagtgcgtt ttgcattttt ctgtcttt tcgccacatg 4440
 taatatctgt agtagatacc tgatacattt tggatgctga gtgaaattttt agttaataat 4500
 ggagggcgtc ttaataattt tggggatattt ggcttaacgc gategcgcac gcccggatt 4560

gacagcagga ttatcgtaat acgttaatagt tgaaaatctc aaaaatgtgt gggtcattac 4620
 gtaaataatg ataggaatgg gattttctta tttttctttt ttccatttcta gcagccgtcg 4680
 gaaaaacgtg gcatcctctc tttcgggtc aattggagtc acgctccgt gaggatcctc 4740
 tctttccata tctaacaact gaggcacgtaa ccaatggaaa agcatgagct tagcgttgct 4800
 ccaaaaaagt attggatggt taataccatt tgcgtttctt cttctgactt tgactctca 4860
 aaaaaaaaaa atctacaatc aacagatcgc ttcaattacg ccctcacaaa aactttttc 4920
 cttttcttc gcccacgtt aattttatcc ctcatgttgtt ctaacggatt tctgcacttg 4980
 atttattata aaaagacaaa gacataatac ttctctatca atttcagtttta ttgttcttcc 5040

ttgcgttattt ctctgttct tttttttttt ttgtcatata taaccaaggc ggccgctggc 5100
 gagggagata tgaaaactctc aactaaactt tggtgggtgtg gtattaaagg aagacttagg 5160
 ccgcaaaagc aacaacaattt acacaataca aacttgcaaa tgactgaact aaaaaaaca 5220
 aagaccgctg aacaaaaaac cagacctcaa aatgtcggtt taaaaggat ccaattttac 5280
 atcccaactc aatgtgtcaa ccaatctgag ctagagaaat ttgatggcgt ttctcaaggt 5340
 aaatcacaa ttggtctggg ccaaaccac atgttttttgc tcaatgacag agaagatatac 5400
 tactcgatgt ccctaactgtt ttgtctaaat ttgatcaaga gttacaacat cgacaccaac 5460
 aaaattggta gattagaagt cggtaactgaa actctgttgc acaagtccaa gtctgtcaag 5520

tctgtcttga tgcaattgtt tggtgaaaac actgacgtcg aaggtattga cacgttaat 5580
 gcctgttacg gtggtaacca cgcgttggc aactcttgc tcaatgacag taagggtgcc 5640
 tggatggta gagacgccc tgcgtttgc ggtgatatttgc ccatctacga taagggtgcc 5700
 gcaagaccaa ccgggtggc cggtaactgtt gctatgtgaa tcggccttgc tgctccaattt 5760

gtatttgact ctgtaagagc ttcttacatg gaacacgcct acgattttta caagccagat 5820
 ttcaccagcg aatacccta cgtcgatggt cattttcat taacttgtt cgtcaaggct 5880
 cttgatcaag ttacaagag ttattccaag aaggctattt ctaaagggtt gtttagcgt 5940
 cccgciggtt cgatgcgtt gaacgtttt aaatattcg actacaacgt tttccatgtt 6000

ccaacctgta aattggcac aaaatcatac ggttagattac tatataacga tttcagagcc 6060
 aatcctaat tggcccaga agttgacgcc gaattagcta ctcgcgatta tgacgaatct 6120
 ttaaccgata agaacattga aaaaactttt gttaatgtt ctaagccatt ccacaaagag 6180
 agagttgccc aatcttgat tggccaaca aacacaggta acatgtacac cgcatctgtt 6240
 tatccgcct ttcatctct attaaactat gttggatctg acgacttaca aggcaagcgt 6300
 gttggtttat ttcttacgg tccgggtta gctgcatttc tatattctt caaaattgtt 6360
 ggtgacgtcc aacatattat caaggaatta gatattacta acaaatttgc caagagaatc 6420
 accgaaactc caaaggatta cgaagctgcc atcgaattga gagaaaatgc ccatttgaag 6480

aagaacttca aacctcaagg ttccatttag catttgc当地 gtgggtttt ctacttgacc 6540
 aacatcgatg acaaatttag aagatcttac gatgttaaaa aataatctt ccccatcgat 6600
 tgcatttcgc tgaacccct tcataaatgc ttatatttt tggcagctg cttttttag 6660
 ctctcattta atagagtagt tttaatct atatactagg aaaactctt atttaataac 6720
 aatgatatat atatatattt tttaataaa gaattgtata tctatattta taacacaata 6780
 aatctaattt ctaactttt cttaaaggta aagcccaacc gatttttt ctatcaggc 6840
 gcgcacggc cgtgcggatt aaagctttt attaagcattt ctatcggaa aaacacgtt 6900
 ttttgcattt tatttcattt tcttagaata gtttagttt ttcattttt agtcacgaat 6960

gttttatgt tctatataagg gttgcaaaca agcattttc attttatgtt aaaacaattt 7020
 cagggttacc ttatttcgtt cttgtggta cgcgtgtatc cggccgtct tttggtcacc 7080
 catgtattta atggataaaa taattcttaa aagtggagct agtcagcccc tcagcccccc 7140
 tagcgtcgat aaactaatga tttaaatcg ttaaaaaat atgcgaattc tgtggatcga 7200
 acacaggacc tccagataac ttgaccgaag tttttcttc agtctggcgc tctcccaact 7260
 gagctaaatc cgcttactat ttgttatcg ttcccttcat atctacatag aataggttaa 7320
 gtatttattt agttgccaga agaactactg atagttggta atatttggtt aataatgaag 7380
 attgggtgaa taatttgata atttgagat tcaattgtt aatcaatgtt caatattatg 7440

tatacagagt atactagaag ttcttccgg agatcttgc gttcacaaaa ggaaatcgat 7500
 atttctacat aatattatca ttacttctt cccatcttattt atttgcattt cattattgtt 7560
 tatgtataat gcaataatga ttggtagttt ccaaacattt aatacgatcc tctgtatata 7620

ttctatgaat aattatcaca gcaacgttca attatcttca attccggtgt ttaaacccta 7680
 gcgcctggcg gg 7692<210> 13
 <211> 3627
 <212> DNA
 <213> Artificial Sequence
 <220>
 <223> Vector pAM1466
 <400> 13
 gcactttcg gggaaatgtg cgccgaaccc ctattgttt attttctaa atacattcaa 60

atatgtatcc gctcatgaga caataaccct gataaatgct tcaataatat tgaaaagga 120
 agagtatgag tattcaacat ttccgtgtcg cccttattcc ctttttgcg gcatttgcc 180
 ttcctgttt tgctcaccca gaaacgctgg tgaaagtaaa agatgctgaa gatcagttgg 240
 gtgcacgagt gggtaacatc gaactggatc tcaacagcgg taagatcctt gagagtttc 300
 gccccgaaga acgtttcca atgatgagca cttttaagt tctgctatgt ggcgcgtat 360
 tatcccgtat tgacgcccggg caagagcaac tcggtcgcgc catacaactat tctcagaatg 420
 acttggttga gtactcacca gtcacagaaa agcatttac ggatggcatg acagtaagag 480
 aattatgcag tgctgccata accatgagtg ataacactgc ggcacttta cttctgacaa 540

cgatcgagg accgaaggag ctaaccgctt ttttgaccaa catggggat catgttaactc 600
 gccttgatcg ttggaaaccg gagctgaatg aagccatacc aaacgacgag cgtgacacca 660
 cgatgcctgt agcaatggca acaacgttgc gcaaactatt aactggcgaa ctacttaactc 720
 tagcttcccg gcaacaatta atagactgga tggaggcgga taaagttgca ggaccacttc 780
 tgcgctcgcc cttccggct ggctggtttta ttgctgataa atctggagcc ggtgagcgtg 840
 ggtctcgccg tatcattgca gcaactgggc cagatggtaa gccctccgt atcgttagtt 900
 tctacacgac ggggagttag gcaactatgg atgaacgaaa tagacagatc gctgagatag 960
 gtgcctact gattaagcat tggtaactgt cagaccaagt ttactcatat atactttaga 1020

ttgatttaaa acttcatttt taatttaaaa ggatcttagt gaagatcctt tttgataatc 1080
 tcatgaccaa aatcccttaa cgtgagttt cgttccactg agcgtcagac cccgtagaaa 1140
 agatcaaagg atttcttga gatcctttt ttctgcgcgt aatctgctgc ttgcaaacaa 1200
 aaaaaccacc gctaccagcg gtggttgtt tgccggatca agagctacca actcttttc 1260
 cgaaggtaac tggttcagc agagcgcaga taccaaatac tgtccttcta gtgtagccgt 1320
 agttaggcca ccacttcaag aactctgttag caccgcctac atacctcgct ctgctaattcc 1380
 tgttaccagt ggctgctgcc agtggcgata agtcgtgtct taccgggttg gactcaagac 1440

gatagttacc ggataaggcg cagcggtcg gctgaacggg gggtcgtgc acacagccca 1500

gcttggagcg aacgacacct accgaactga gatacctaca gcgtgagcta tgagaaagcg 1560
 ccacgcttcc cgaagggaga aaggcgacg ggtatccggt aagcgccagg gtcggaacag 1620
 gagagcgcac gagggagctt ccagggggaa acgcctggta tctttatagt cctgtcggt 1680
 ttcccaccc ctgacttgag cgtcgattt tgtatgcgc gtcaggggg cgagccat 1740
 ggaaaaacgc cagcaacgcg gccttttac ggccctggc ctttgctgg cctttgctc 1800
 acatgttctt tcctgcgtta tcccctgatt ctgtggataa ccgtattacc gcctttgagt 1860
 gagctgatac cgctcgccgc agccgaacga ccgagcgcc gccagcgagc tcagtgagcg 1920
 aggaagcgga agagcgccca atacgcaaacc cgcctctccc cgccgttgg ccgatticatt 1980

aatgcagctg gcacgacagg tttcccgact ggaaagcgaa cagtggcgc aacgcaatta 2040
 atgtgagttt gctcactcat taggcaccccc aggcttaca ctttatgctt ccggctcgta 2100
 tgtttgtgg aatttgtgagc ggataacaat ttccacacagg aaacagctat gaccatgagt 2160
 ttaaacatga gcaaaggcga agaactgttc acggcggttg taccgatctt ggtggactg 2220
 gacggggatg tgaatggca caagtttca gtgagcgccg aaggagaagg cgatgcgacc 2280
 tacggcaaac tgaccctgaa attcatttgc accaccggta aacttcccggt gccgtggccc 2340
 accctgggtga ccaccccttgg ctatggcgta cagtggctcg cgccgttaccc ggatcacatg 2400
 aaacgccacg acttctttaa gagcgctatg ccagaggct acgtccagga acgcaccata 2460

ttcttcaaag acgacggcaa ctacaagacg cgcgtgaag tcaagttga agggacacg 2520
 ctgggtgaacc gtattgagct gaagggcatc gacttcaagg aggacggaa catcctggc 2580
 cataagctgg agtacaatta caacagccac aacgtgtata tcatggcgga caagcagaag 2640
 aacggcatca aggtcaactt caagatccgg cacaacatcg aggatggcag cgtgcagctg 2700
 gcggtatcatt atcaacagaa caccccgatt ggcgtggac cggtgctgct gcccgataat 2760
 cattacctga gtacccagag cgccctgagc aaggacccga atgagaagcg tgatcacatg 2820
 gtactgctgg aatttgtgac cgccgtggc atcaccacg gcatggatga actgtataaa 2880
 taaggtaccg cgcccgccgt ctccggggac agacgtctcg ccccttaggg tccatgcagt 2940

tggcttcgat ggtcttttt ttataggtcg agtaccaatt cgcctatag tgagtctat 3000
 tacaattcac tggccgtcg tttacaacgt cgtgactggg aaaaccctgg cgttacccaa 3060
 cttaatcgcc ttgcagcaca tcccccttc gccagctggc gtaatagcga agaggccgc 3120
 accgatcgcc ctcccaaca gttgcgcagc ctgaatggcg aatggacgc gcccgttagc 3180
 ggccgattaa ggcggccggg tgtgggttt acgcgcagcg tgaccgtac acttgccagc 3240
 gcccgtacgc ccgtccctt cgtttcttc cttcccttc tcgcccacgtt cgccggctt 3300

ccccgtcaag ctctaaatcg ggggctccct ttagggttcc gathtagtc tttacggcac 3360
 ctcgacccta aaaaacttga ttagggtat ggttcacgt a tggccatc gccctgatag 3420

acggtttc gccc ttgac gttggagtcc acgttctta atagtgact cttgttccaa 3480
 actgaaaca cactcaaccc tatctcggtc tattttt attataagg gatttgcgg 3540
 atttcggcct attggtaaa aatgagctg attaaca aattaacgc gaatttaac 3600
 aaaatattaa cgcttacaat ttaggt 3627

<210> 14

<211> 915

<212> DNA

<213> Artificial Sequence

<220>

<223> Synthetic DNA fragment 1040

<400> 14

taagtagttg accatagcta tggaaggct cacggaaatg ttgaatactc atcaattgcc 60
 ttttcaata ttattgaagc atttatcagg gttattgtct catgagcggt tacatattt 120

aatgtattta gaaaataaa caaatagggg ttccgcccac attccccga aaagtgcac 180
 ctgacgtcta agaaaccatt attatcatga cattaaccta taaaatagg cgtatcacga 240
 ggcctttca tctcgccgt ttccgtatg acggtaaaaa cctctgacac atgcagctcc 300
 cggagacagt cacagttgt ctgttaagcgg atgcgggag cagacaagcc cgtcaggcg 360
 cgtcagcggg ttttggggg tttccgggtt ggtttttttt gttttttttt 420
 taaagggAAC tcgaggctct tcacgctgtt ccaacgcgg cggaccttgg atgactcgct 480
 agccgccaa tacgcaaaacc gcctctcccc gcgcgttggc cgattcatta atgcagctgg 540
 cacgacaggt ttcccgactg gaaagcggc agtgagcgca acgcaattaa tgtgatgtt 600

ctca cattt aggcacccca ggctttacac ttatgttcc cggctcgat gttgtgttgg 660
 attgtgagcg gataacaattt tcacacaggg aacagctatg agcaaaaggcg aagaactgtt 720
 cacggcggtt gtaccgatcc tgggtggact ggacggggat gtgaatggc acaagtttc 780
 agtggcgcc gaaggagaag gcgatgcac ctacggaaa ctgaccctga aattcattt 840
 caccaccggta aacttcccg tgccgtggcc caccctggc accaccttgg gagacgcac 900
 gtacatggct tattt 915

<210> 15

<211> 882

<212> DNA

<213> Artificial Sequence

<220>

<223> Synthetic DNA fragment 1041

<400> 15

taatgtttt accatagcta tgaaaggctt ccctttggct atggcgata gtcgttcgct 60
 cgttacccgg atcacatgaa acgccacgac ttcttaaga gcgcgtatgcc agagggtac 120
 gtccaggaaac gcaccatatt ctcaaaagac gacggcaact acaagacgct cgctgaagtc 180
 aagttaaagg gggacacgct ggtgaaccgt attgagctga agggcatcga cttaaggag 240
 gacggaaaca tccggggcca taagctggag tacaattaca acagccacaa cgtgtatatc 300
 atggcggaca agcagaagaa cggcatcaag gtcaacttca agatccggca caacatcgag 360
 gatggcagcg tgcagctggc ggatcattat caacagaaca cccgattgg cgatggaccg 420

gtgcgtgc ccgataatca ttacctgagt acccagacg ccctgagcaa ggacccgaat 480
 gagaagctg atcacatggt actgctggaa ttgtgaccg cggctggcat caccacggc 540
 atggatgaac tgtataaata acatatggag tctgcatcg gtgttaaac cccagcgct 600
 ggcgggtgaa gagcgagctc ccgctgagca ataactagcg tcatacgctgt ttctggc 660
 gttcggctgc ggcgagcggt atcagctcac tcaaaggcgg taatacggtt atccacagaa 720
 tcagggata acgcaggaaa gaacatgtga gcaaaaggcc agcaaaaggc caggaaccgt 780
 aaaaaggccg ctttgctggc gttttccat aggctccgccc cccctgacga gcatcacaaa 840
 aatcgacgct caagttagag acgccacgta catggcttat tg 882

<210> 16

<211> 787

<212> DNA

<213> Artificial Sequence

<220>

<223> Synthetic DNA fragment 1042

<400> 16

taatgtttt accatagcta tgaaaggctt caagttagag gtggcgaaac ccgacaggac 60
 tataaagata ccaggcgaaa cccctggaa gctccctcggt gcgcgtatccct gttccgaccc 120
 tgccgcttac ccgataacctg tccgccttc tccctcggg aagcgtggcg ctgttctata 180
 gctcacgctg taggtatctc agttcggtgt aggtcgatcg ctccaaatcggtt ggctgtgtgc 240
 acgaaccccc ctttcagcccc gaccgctgctgccc ctttatccgg taactatcggtt cttgtgttcca 300

acccggtaag acacgactta tcgccactgg cagcagccac tgtaaacagg attagcagag 360

cgaggtatgt aggccgtgct acagagttct tgaagtggtg gcctaactac ggctacacta 420
 gaagaacagt atttgtatc tgcgtctgc tgaagccagt tacttcgga aaaagagttg 480
 gtagcttg atccggcaaa caaaccacccg ctggtagccg tggtttttt gtttgcaggc 540
 agcagattac ggcggaaaa aaaggatctc aagaagatcc ttgtatctt tctacgggt 600
 ctgacgctca gtggAACGAA aactcacgtt aagggatttt ggtcatgaga ttatcaaaaa 660
 ggatcttcac cttagatcctt ttaaattaaa aatgaagttt taaatcaatc taaagtatat 720
 atgagtaaac ttggtcgcat gcttaccaat gcttaatcag tggagacgcc acgtacatgg 780
 cttatig 787

<210> 17

<211> 36

<212> DNA

<213> Artificial Sequence

<220>

<223> Primer JCB158-17A

<400> 17

cgttcatcca tagttgcctg actgcccgtc gtgttag 36

<210> 18

<211> 36

<212> DNA

<213> Artificial Sequence

<220>

<223> Primer JCB158-17B

<400> 18

ctacacgacg ggcgtcagg caactatgga tgaacg 36

<210> 19

<211> 59

<212> DNA

<213> Artificial Sequence

<220>

<223> Primer JCB158-17C

<400> 19

atatgagtaa acttggtcgc atgcttacca atgcttaatc agtgaggcac ctatcttag 59

<210> 20

<211> 52

<212> DNA

<213> Artificial Sequence

<220>

<223> Primer JCB158-17D

<400> 20

ttgaaaaagg caatttatgtga gtattcaaca tttccgtgtc gcccttatttc cc 52

<210> 21

<211> 39

<212> DNA

<213> Artificial Sequence

<220>

<223> Primer L012

<400> 21

ccggtaacta tcgtcttgat tccaacccgg taagacacg 39

<210> 22

<211> 39

<212> DNA

<213> Artificial Sequence

<220>

<223> Primer L013

<400> 22

cgtgtcttac cgggttgaa tcaagacgtt agttaccgg 39

<210> 23

<211> 38

<212> DNA

<213> Artificial Sequence

<220>

<223> Primer L054

<400> 23

cgaaaactaag ttcttggtgt ttaaaaacta aaaaaaaag 38

<210> 24	
<211> 35	
<212> DNA	
<213> Artificial Sequence	
<220>	
<223> Primer L057	
<400> 24	
ggtttatatat gacaaaagaa aaagaagaac agaag	35
<210> 25	
<211> 29	
<212> DNA	
<213> Artificial Sequence	
<220>	
<223> Primer L109	
<400> 25	
atgaaaactct ctactaaact ttgttggtg	29
<210> 26	
<211> 28	
<212> DNA	
<213> Artificial Sequence	
<220>	
<223> Primer L110	
<400> 26	
atgagaaaaa aaatcggttg ggcttaac	28
<210> 27	
<211> 31	
<212> DNA	
<213> Artificial Sequence	
<220>	
<223> Primer L176	
<400> 27	
gactagctcc acitptaaga attatttatg c	31
<210> 28	
<211> 38	

<212> DNA

<213> Artificial Sequence

<220>

<223> Primer L185

<400> 28

gtgaattac tttaatctt gcattaaat aaatttc 38

<210> 29

<211> 30

<212> DNA

<213> Artificial Sequence

<220>

<223> Primer L186

<400> 29

aagccatat ccccaaatt attaagagcg 30

<210> 30

<211> 54

<212> DNA

<213> Artificial Sequence

<220>

<223> Primer VH296-235-55-Leu2 12-1 F

<400> 30

gctcacacgc gcccagggg agcccggtga gccattagta tcaatttgct tacc 54

<210> 31

<211> 57

<212> DNA

<213> Artificial Sequence

<220>

<223> Primer VH296-235-55-Leu2 12-1 R

<400> 31

aggcccgccg gcgttgacg agcgaggcgc ctgattcaag aaatatctt accgcag 57

<210> 32

<211> 27

<212> DNA

<213> Artificial Sequence

<220>

<223> Primer L219

<400> 32

ctccaagctg acataaatcg cactttg

27

<210> 33

<211> 39

<212> DNA

<213> Artificial Sequence

<220>

<223> Primer L220

<400> 33

tttaagcgt tttataata ttgttatttc tcttaatg

39

<210> 34

<211> 37

<212> DNA

<213> Artificial Sequence

<220>

<223> Primer L221

<400> 34

ataaaactaat gatTTaaat cgTTaaaaaa atatgcg

37

<210> 35

<211> 28

<212> DNA

<213> Artificial Sequence

<220>

<223> Primer L222

<400> 35

gaattgaaga taattgaacg ttgctgtg

28

<210> 36

<211> 28

<212> DNA

<213> Artificial Sequence

<220>

<223> Primer L224

<400> 36

cttttaattc tgctgttaacc cgtacatg 28

<210> 37

<211> 24

<212> DNA

<213> Artificial Sequence

<220>

<223> Primer L225

<400> 37

tgacacgcagg attatcgtaa tacg 24

<210> 38

<211> 27

<212> DNA

<213> Artificial Sequence

<220>

<223> Primer L226

<400> 38

atgacagatg tagtaatagt atccgcc 27

<210> 39

<211> 27

<212> DNA

<213> Artificial Sequence

<220>

<223> Primer L227

<400> 39

ttatattacgc tcgactgcta atgccac 27

<210> 40

<211> 26

<212> DNA

<213> Artificial Sequence

<220>

<223> Primer L229

<400> 40

atgaaaaatt gtgtcatcgt cagtgc	26
<210> 41	
<211> 32	
<212> DNA	
<213> Artificial Sequence	
<220>	
<223> Primer L230	
<400> 41	
ttaatcaat ctitcaatca ccatcgcaat tc	32
<210> 42	
<211> 26	
<212> DNA	
<213> Artificial Sequence	
<220>	
<223> Primer L235	
<400> 42	
atgaccatcg gtattgacaa gattag	26
<210> 43	
<211> 38	
<212> DNA	
<213> Artificial Sequence	
<220>	
<223> Primer L236	
<400> 43	
ttaattacga taagatctt cagttttttt aatgcgcag	38
<210> 44	
<211> 35	
<212> DNA	
<213> Artificial Sequence	
<220>	
<223> Primer L248	
<400> 44	
taaagctttt gattaaggct tcttagtccaa aaaac	35

<210> 45	
<211> 28	
<212> DNA	
<213> Artificial Sequence	
<220>	
<223> Primer S000	
<400> 45	
gacggcacgg ccacgcgtt aaaccgcc	28
<210> 46	
<211> 28	
<212> DNA	
<213> Artificial Sequence	
<220>	
<223> Primer S001	
<400> 46	
ggcggttaa acgcgtggcc gtgccgtc	28
<210> 47	
<211> 24	
<212> DNA	
<213> Artificial Sequence	
<220>	
<223> Primer S002	
<400> 47	
gctcacacgc gcccaggggg agcc	24
<210> 48	
<211> 24	
<212> DNA	
<213> Artificial Sequence	
<220>	
<223> Primer S003	
<400> 48	
ggctccccct gcccgctgt gagc	24
<210> 49	
<211> 24	

<212> DNA
<213> Artificial Sequence
<220>
<223> Primer S004
<400> 49
cgctcgtcca acgcccggcgg acct 24

<210> 50
<211> 24
<212> DNA
<213> Artificial Sequence
<220>
<223> Primer S005
<400> 50
aggccgcgcg gcgttggacg agcg 24
<210> 51
<211> 24
<212> DNA
<213> Artificial Sequence
<220>
<223> Primer S006
<400> 51
atccccgcgt gcttggccgg ccgt 24
<210> 52
<211> 24
<212> DNA
<213> Artificial Sequence
<220>
<223> Primer S007
<400> 52
acggccggcc aagcacgcgg ggat 24

<210> 53
<211> 24
<212> DNA

<213> Artificial Sequence

<220>

<223> Primer S008

<400> 53

aacctgcagg ccgcgagcgc cgat

24

<210> 54

<211> 24

<212> DNA

<213> Artificial Sequence

<220>

<223> Primer S009

<400> 54

atcggcgctc gccccgtca ggtt

24

<210> 55

<211> 24

<212> DNA

<213> Artificial Sequence

<220>

<223> Primer S010

<400> 55

aacgcgtatcg ccgacgcccgc cgat

24

<210> 56

<211> 24

<212> DNA

<213> Artificial Sequence

<220>

<223> Primer S011

<400> 56

atcggcgccgc tcggcgatcg cgtt

24

<210> 57

<211> 24

<212> DNA

<213> Artificial Sequence

<220>

<223> Primer S012

<400> 57

aaggcggccg ctggcgaggg agat 24

<210> 58

<211> 24

<212> DNA

<213> Artificial Sequence

<220>

<223> Primer S013

<400> 58

atctccctcg ccagcggccg cctt 24

<210> 59

<211> 24

<212> DNA

<213> Artificial Sequence

<220>

<223> Primer S014

<400> 59

aaggcgcgcc acggtcgtgc ggat 24

<210> 60

<211> 24

<212> DNA

<213> Artificial Sequence

<220>

<223> Primer S015

<400> 60

atccgcacga ccgtggcgcg cctt 24

<210> 61

<211> 24

<212> DNA

<213> Artificial Sequence

<220>

<223> Primer S016

<400> 61

agcccccctcag ccccccttagc gtcg	24
<210> 62	
<211> 24	
<212> DNA	
<213> Artificial Sequence	
<220>	
<223> Primer S017	
<400> 62	
cgacgcgtagg gggctgagg ggct	24
<210> 63	
<211> 28	
<212> DNA	
<213> Artificial Sequence	
<220>	
<223> Primer S018	
<400> 63	
cgggttttaa accccagcgc ctggcggg	28
<210> 64	
<211> 28	
<212> DNA	
<213> Artificial Sequence	
<220>	
<223> Primer S019	
<400> 64	
cccgccaggc gctgggttt aaacaccg	28
<210> 65	
<211> 37	
<212> DNA	
<213> Artificial Sequence	
<220>	
<223> Primer S027	
<400> 65	
tggatgactc gctagcgcgc aacgcaatta atgtgag	37

<210> 66

<211> 39

<212> DNA

<213> Artificial Sequence

<220>

<223> Primer S028

<400> 66

tggcagactc catatgctat gcggcatcag agcagattg 39

<210> 67

<211> 42

<212> DNA

<213> Artificial Sequence

<220>

<223> Primer S036

<400> 67

taccggggta tcctctagcg tcgacctgca ggcgtcaag ct 42

<210> 68

<211> 42

<212> DNA

<213> Artificial Sequence

<220>

<223> Primer S037

<400> 68

agcttgcatg cctgcaggc gacgcttagag gatccccgg ta 42

<210> 69

<211> 54

<212> DNA

<213> Artificial Sequence

<220>

<223> Primer J036

<400> 69

gccgcaaaaa aggaaataag ggcgacacgg aaatgttcaa tactcatcaa ttgc 54

<210> 70

<211> 42

<212> DNA

<213> Artificial Sequence

<220>

<223> Primer J037

<400> 70

cgggttcgc caccctgac ttgagcgtcg attttgtga tg 42

<210> 71

<211> 42

<212> DNA

<213> Artificial Sequence

<220>

<223> Primer J038

<400> 71

catcacaaaa atcgacgctc aagttagagg tggcgaaacc cg 42

<210> 72

<211> 55

<212> DNA

<213> Artificial Sequence

<220>

<223> Primer J039

<400> 72

ctgagatagg tgcctcaactg attaaggcatt ggtaaggcatg cgaccaagtt tactc 55

<210> 73

<211> 58

<212> DNA

<213> Artificial Sequence

<220>

<223> Primer J018

<400> 73

gacggcacgg ccacgcgtt aaaccgcctt ggatggatac gctagccgcc caatacgc 58

<210> 74

<211> 58

<212> DNA

<213> Artificial Sequence

<220>

<223> Primer J019

<400> 74

gctcacacgc ggcaggggg agccttggat ggatggatac gctagccgcc caatacgc 58

<210> 75

<211> 57

<212> DNA

<213> Artificial Sequence

<220>

<223> Primer J020

<400> 75

cgctcggtcca acgcggcgaccccttggatg gatggatacg ctagccgccca aatacgc 57

<210> 76

<211> 57

<212> DNA

<213> Artificial Sequence

<220>

<223> Primer J021

<400> 76

atccccgcgt gcttggccgg ccgttggatg gatggatacg ctagccgccca aatacgc 57

<210> 77

<211> 57

<212> DNA

<213> Artificial Sequence

<220>

<223> Primer J022

<400> 77

aacctgcagg ccgcgagcgc cgattggatg gatggatacg ctagccgccca aatacgc 57

<210> 78

<211> 57

<212> DNA

<213> Artificial Sequence

<220>

<223> Primer J023

<400> 78

aacgcgatcg ccgacgccc cgattggatg gatggatacg ctagccgcc aatacgc 57

<210> 79

<211> 57

<212> DNA

<213> Artificial Sequence

<220>

<223> Primer J024

<400> 79

aaggcggccg ctggcgaggg agattggatg gatggatacg ctagccgcc aatacgc 57

<210> 80

<211> 56

<212> DNA

<213> Artificial Sequence

<220>

<223> Primer J025

<400> 80

aaggcgcgcc acggtcgtgc ggatggatgg atggatacgc tagccgccca atacgc 56

<210> 81

<211> 58

<212> DNA

<213> Artificial Sequence

<220>

<223> Primer J026

<400> 81

agccctctag ccccccttagc gtcgttggat ggatggatac gctagccgcc caatacgc 58

<210> 82

<211> 56

<212> DNA

<213> Artificial Sequence

<220>

<223> Primer J029

<400> 82

acggccggcc aagcacgcgg ggattggcag gataccatat gttatttata cagtc 56

<210> 83

<211> 56

<212> DNA

<213> Artificial Sequence

<220>

<223> Primer J030

<400> 83

atcggcgctc gcccgtgca ggttggcag gataccatat gttatttata cagtc 56

<210> 84

<211> 56

<212> DNA

<213> Artificial Sequence

<220>

<223> Primer J031

<400> 84

atcgccggcg tcggcgatcg cgttggcag gataccatat gttatttata cagtc 56

<210> 85

<211> 56

<212> DNA

<213> Artificial Sequence

<220>

<223> Primer J032

<400> 85

atctccctcg ccagcggccg ctttggcag gataccatat gttatttata cagtc 56

<210> 86

<211> 56

<212> DNA

<213> Artificial Sequence

<220>

<223> Primer J033

<400> 86

atccgcacga ccgtggcgccg ctttggcag gataccatat gttatttata cagtc 56

<210> 87

<211> 56

<212> DNA

<213> Artificial Sequence

<220>

<223> Primer J034

<400> 87

cgacgctagg gggcgtgagg ggcttggcag gataccatat gttatttata cagtc 56

<210> 88

<211> 50

<212> DNA

<213> Artificial Sequence

<220>

<223> Primer J055

<400> 88

aaaggaaact cgaggcttt cagacggcac ggccacgcgt ttaaaccgcc 50

<210> 89

<211> 46

<212> DNA

<213> Artificial Sequence

<220>

<223> Primer J056

<400> 89

aaaggaaact cgaggcttt cagctcacac gcggccaggg ggagcc 46

<210> 90

<211> 46

<212> DNA

<213> Artificial Sequence

<220>

<223> Primer J057

<400> 90

aaaggaaact cgaggcttt cacgctcgta caacgcggc ggacct 46

<210> 91

<211> 46

<212> DNA

<213> Artificial Sequence

<220>

<223> Primer J058

<400> 91

aaaggaaact cgaggcttt caatccccgc gtgcttggcc ggccgt 46

<210> 92

<211> 46

<212> DNA

<213> Artificial Sequence

<220>

<223> Primer J059

<400> 92

aaaggaaact cgaggcttt caaacctgca ggccgcgagc gccgat 46

<210> 93

<211> 46

<212> DNA

<213> Artificial Sequence

<220>

<223> Primer J060

<400> 93

aaaggaaact cgaggcttt caaacgcgat cgccgacgcc gccgat 46

<210> 94

<211> 46

<212> DNA

<213> Artificial Sequence

<220>

<223> Primer J061

<400> 94

aaaggaaact cgaggcttt caaaggcgcc cgctggcgag ggagat 46

<210> 95

<211> 46

<212> DNA

<213> Artificial Sequence

<220>

<223> Primer J062

<400> 95

aaaggaaact cgaggcttt caaaggcgcg ccacggtcgt gcggat 46

<210> 96

<211> 46

<212> DNA

<213> Artificial Sequence

<220>

<223> Primer J063

<400> 96

aaaggaaact cgaggcttt caagccctc agcccccta gcgtcg 46

<210> 97

<211> 46

<212> DNA

<213> Artificial Sequence

<220>

<223> Primer J064

<400> 97

ctcagcggga gctcgcttt caggctccc ctggccgcgt gtgagc 46

<210> 98

<211> 46

<212> DNA

<213> Artificial Sequence

<220>

<223> Primer J065

<400> 98

ctcagcggga gctcgcttt caaggtccgc cggcggttggca cgagcg 46

<210> 99

<211> 46

<212> DNA

<213> Artificial Sequence

<220>

<223> Primer J066

<400> 99

ctcagcggga gctcgcttt caacggccgg ccaagcacgc gggat 46

<210> 100

<211> 46

<212> DNA

<213> Artificial Sequence

<220>

<223> Primer J067

<400> 100

ctcagcggga gctcgcttt caatcgccgc tcgcggcctg caggat 46

<210> 101

<211> 46

<212> DNA

<213> Artificial Sequence

<220>

<223> Primer J068

<400> 101

ctcagcggga gctcgcttt caatcgccgg cgtcgccgat cgcgat 46

<210> 102

<211> 46

<212> DNA

<213> Artificial Sequence

<220>

<223> Primer J069

<400> 102

ctcagcggga gctcgcttt caatctccct cgccagcgcc cgccat 46

<210> 103

<211> 46

<212> DNA

<213> Artificial Sequence

<220>

<223> Primer J070

<400> 103

ctcagcggga gctcgcttt caatccgac gaccgtggcg cgcctt	46
<210> 104	
<211> 46	
<212> DNA	
<213> Artificial Sequence	
<220>	
<223> Primer J071	
<400> 104	
ctcagcggga gctcgcttt cacgacgta gggggctga gggct	46
<210> 105	
<211> 50	
<212> DNA	
<213> Artificial Sequence	
<220>	
<223> Primer J072	
<400> 105	
ctcagcggga gctcgcttt caccgcagg gcgcgtgggt ttaaacaccg	50
<210> 106	
<211> 57	
<212> DNA	
<213> Artificial Sequence	
<220>	
<223> Primer J073	
<400> 106	
ggctccccct ggccgcgtgt gagcttggca ggataccata tgttatttat acagttc	57
<210> 107	
<211> 57	
<212> DNA	
<213> Artificial Sequence	
<220>	
<223> Primer J074	
<400> 107	
aggccgcggc gcgttggacg agcggtggca ggataccata tgttatttat acagttc	57

<210> 108

<211> 58

<212> DNA

<213> Artificial Sequence

<220>

<223> Primer J075

<400> 108

cccgccaggc gctgggttt aaacaccgtt ggcaggatac catatgttat ttatacag 58

<210> 109

<211> 20

<212> DNA

<213> Artificial Sequence

<220>

<223> Primer K162

<400> 109

tgaagagcga gctccgctg 20

<210> 110

<211> 24

<212> DNA

<213> Artificial Sequence

<220>

<223> Primer K163

<400> 110

tgaagagcct cgagttccct ttag 24

<210> 111

<211> 8139

<212> DNA

<213> Artificial Sequence

<220>

<223> Phase I-A stitch product

<400> 111

gacggcacgg ccacgcgtt aaaccgccc gatggaatcc cttccataga gagaaggagc 60

aagcaactga cccaatattg actgccactg gacctgaaga catgcaacaa agtgcagca 120

tagtgccggcc ttcttccat gctaattccgg tcactgccac tgctgtacg gaaaaccaac 180

ctaaaggat taacttcttc actataagaa aatcacacga gcgcggc 240

ttaaatggc gcaagtttc cgcttgtaa tatatattt taccccttc ttctctccc 300
 tgcaatataa tagtttaatt ctaatattaa taatatccta tattttcttc atttaccggc 360
 gcactctcgcc cgaaacgacc tcaaaatgtc tgctacattc ataataacca aaagctata 420
 actttttt ttgAACCTGA atatatatac atcacatgtc actgctggc cttggcacc 480
 agcgatatac atctcgatag ttggTTTCCC gttcttcca ctccgtcgc tcacacg 540
 ccagggggag ccgagctcct cgagaagtta agattatatg aataactaaa tactaaatag 600
 aaatgtaaat acagtggaa caaaacaaaa aaaaacgaac agagaaacta aatccacatt 660
 aattgagagt tctatctatt agaaaatgca aactccaact aaatggaaa acagataacc 720

tcttttattt ttttttaatg ttgatattc gagttttt ctttttttag gtttatattc 780
 atcatttcaa tgaataaaag aagtttcta ttttggttgc aaagaatgaa aaaaaggat 840
 ttttcatac ttctaaagct tcaattataa caaaaattt tataaatgaa gagaaaaat 900
 ctagtagtat caagttaaac ctattcctt gccctcgac gagtgctggc gcgtcg 960
 ccactatcg cgagtacttc tacacagca tcggccaga cggccgcgc tctgcggc 1020
 atttgtgtac gcccacagt cccggctcg gatcgacga ttgcgtcgca tcgaccctgc 1080
 gccaagctg catcatcgaa attgccgtca accaagctt gatagagttt gtcaagacca 1140
 atgcggagca tatacgcccg gagccgcgc gatcctgcaa gctccggatg cctccgtcg 1200

aagtagcgcgc tctgctgctc catacaagcc aaccacggcc tccagaagaa gatgtggcg 1260
 acctcgtatt ggaatcccc gaacatcgcc tcgctccagt caatgaccgc tggtatgcgg 1320
 ccattgtccg tcaggacatt gttggagccg aaatccgcgt gcacgaggtg ccggacttcg 1380
 gggcagtccg cggccaaag catcagctca tcgagagcct ggcgcacggc cgcaactgacg 1440
 gtgtcgcca tcacagttt ccagtatac acatgggat cagcaatcgca gcatatgaaa 1500
 tcacgccatg tagtgtattt accgattct tgccgtccga atggccgaa cccgctcg 1560
 tggctaagat cggccgcgc gatcgatcc atggcctcg cgaccggctg cagaacagcg 1620
 ggcagttcggtt tcaggcag gtcttgcaac gtgacacctt gtgcacggcg ggagatgcaa 1680

taggtcaggc tctcgctgaa ttccccatg tcaaggactt ccggaaatcg gaggcgcc 1740
 gatgcaaagt gccgataaac ataacgatct ttgttagaaac catcgccgc gctatttacc 1800
 cgcaggacat atccacgccc tcctacatcg aagctgaaag cacgagattc ttccgcctcc 1860
 gagagctgca tcaggtcgga gacgctgtcg aactttcgta tcagaaactt ctcgacagac 1920
 gtcgcgtga gttcaggctt ttcattttt aatgttactt ctcttcgt tagggacta 1980
 taatgttaact caaaataaga taaacaaac taaaataaaa agaagttata cagaaaaacc 2040

catataaaccc agtactaatac cataataataa atacacaaaaa aaactatcaa ataaaaccag 2100
aaaacagatt gaatagaaaa atttttcga tctcccttta tattcaaaat tcgatatatg 2160

aaaaaggaa ctctcagaaa atcaccaat caatttaatt agattttct ttccttcta 2220
gcgttggaaa gaaaaatttt tcttttttt ttagaaatg aaaaattttt gccgttagaa 2280
tcaccgtata aaccctgtat aaacgctact ctgttcacct gtgtaggcta tgattgaccc 2340
agtgttcatt gttattgcga gagagcggga gaaaagaacc gatacaagag atccatgctg 2400
gtatagttgt ctgtccaaca ctttgatgaa cttgtaggac gatgatgtgt attactagtg 2460
tcgacgctcg tccaacgccc gcggacctag ttatgacaat tacaacaaca gaattcttc 2520
tatatatgca cgaacttgta atatggaaga aattatgacg tacaaactat aaagtaaata 2580
ttttagttaa cacatggtgc tggttgctt cttttcaag agaataccaa tgacgtatg 2640

agatccaacc aaattcttag caatgttcaa ctcacaat gcggaaacat cacttttaa 3180
cactttctg acaacatcac caggaatagt agcttctgcg acgacactct taccacgacc 3240
ttcgatccag ttgatggcag ctggaaaa gtcggtacag tagttaccag aaacggagac 3300
aacctccata tcttcccagc catactcttc taccattgc ttaaatgagt attcgacacc 3360
cttagaaatc atattcatac ccattgcgtc accagtagtt gttctaaatc tcatgaagag 3420
taaatctcct gctagacaag tttgaatatg ttgcagacgt gcaaattttt atgttagagt 3480
aaaagctttt ttaattgcgt ttgtccctc ttctgagttt aaccatatct tacaggcacc 3540
agatcttttc aaagttggga aacggactac tgggccttt gtcataccat ctttagttaa 3600

aacagttgtt gcaccaccgc cagcattgat tgccttacag ccacgcatgg cagaagctac 3660
caaacaaccc tctgttagtt ccattggat atgataagat gtaccatcga taaccaaggg 3720
gcctataaca ccaacggca aaggcatgta acctataaca ttttcacaac aagcgccaaa 3780
tagcgggtcg tagtcataat ttttatatgg taaacgatca gatgctaata caggagcttc 3840
tgccaaattt gaaagagcct tcctacgtac cgcaaccgct ctctgtatcacctaattt 3900

tttctccaaa gcgtacaaag gtaacttacc gtgaataacc aaggcagcga cctcttggtt 3960
 cttaattgt ttgttatttc cactactaa taatgcctct aattcttcta aaggacgtat 4020
 tttcttatcc aagcttcaa tatcgccgga atcatcttcc tcactagatg atgaagggcc 4080

tgtgagctc gattgcgcag atgataaact tttgacttgc gatccagaaaa tgactgtttt 4140
 attggtaaaa actgggttag aagccctttg tacaggagca gtaaaagact tcttggtgac 4200
 ttcagtcctc accaattgtat ctgcagccat atccccgcgt gcttggccgg ccgttacttt 4260
 tttttggat ggacgcaaag aagttaata atcatattac atggcaatac caccatatac 4320
 atatccatat ctaatcttac ttatatgtt tgaaatgta aagagcccc ttatcttagc 4380
 ctaaaaaaac ctctctttg gaactttcag taatacgctt aactgctcat tgctatattg 4440
 aagtacggat tagaagccgc cgagcggcgc acagccctcc gacggaagac tctccctcg 4500
 gcgtcctggc cttcacccgt cgcgttctg aaacgcagat gtgcctcgac ccgcactgct 4560

ccgaacaata aagattctac aatactagct ttatggta tgaagaggaa aaatggcag 4620
 taacctggcc ccacaaacct tcaaatac acatcaaatt aacaaccata ggataataat 4680
 gcgattagtt tttagcctt atttctgggg taattaatca gcaagcgat gattttgtat 4740
 ctattaacag atatataaat gcaaaagctg cataaccact ttaactaata cttaacat 4800
 tttcggttg tattacttct tattcaatg tcataaaagt atcaacaaaa aattgttaat 4860
 atacctctat actaacctg caggccgcga gcgccgat atctcagaac gtttacattg 4920
 tatcgactgc cagaaccccc attggttcat tccagggttc tctatctcc aagacagcag 4980
 tggaattggg tgcgttgct taaaaggcg cttggctaa gttccagaa ttggatgcat 5040

ccaaggattt tgacgaaatt attttggta acgttcttc tgccaaatttggccaaagctc 5100
 cggccagaca agttgtttg gctgccgggt tgagtaatca tategttgca agcacagttt 5160
 acaaggctcg tgcattccgct atgaaggca tcattttggg tgctcaatcc atcaaatgtg 5220
 gtaatgtiga ttttgtcgta gctgggtt gtgaatctat gactaacgcg ccataactaca 5280
 tgccagcgcg ccgtgcgggt gccaaatttggccaaactgt tcttgggtat ggtgtcgaaa 5340
 gagatgggtt gaacgatgcg tacgatggtc tagccatggg tgtacacgcgaa gaaaagtgtg 5400
 cccgtgatttggatattact agagaacaac aagacaattt tgccatcgaa tcctaccaaa 5460
 aatctcaaaa atctcaaaaag gaaggttaat tcgacaatga aattgtaccc tttaccattt 5520

agggatttag aggtaaacgt gatactcaag tcacgaagga cgaggaacct gcttagattt 5580
 acgttgaaaa attgagatct gcaaggactg ttttccaaaa agaaaacggt actgttactg 5640
 ccgctaaacgc ttctccaaatc aacgatggtc ctgcagccgt catcttgggt tccgaaaaag 5700
 ttttgaagga aaagaatttgg aagccctttgg ctattatcaa aggttgggtt gaggccgctc 5760

atcaaccagc tgatttaca tgggctccat ctctgcagt tccaaaggct ttgaaacatg 5820
 ctggcatcga agacatcaat tctgttgatt actttgaatt caatgaagcc tttcggtt 5880
 tcggtttgtt gaacactaag atttgaagc tagaccatc taaggttaat gtatatggtg 5940
 gtgcgttgtc tctaggtcac ccattgggtt gttcgtgc tagagtgggtt gttacactgc 6000

tatccatctt acagcaagaa ggaggttaaga tcgggttgtc cgccatttgt aatgggttg 6060
 gtggtgcttc ctctattgtc attgaaaaga tatgattacg ttctgcgatt ttctcatgtat 6120
 cttttcata aaatacataa atatataaat ggcttatgt ataacaggca taatttaag 6180
 ttttatttgc gattcatcgt tttcaggtt ctcaaaccgtt gaggtgtgcc ttttactta 6240
 ctttccgcc ttggcaagct ggccgggtga tacttgacca agttccacta attacigaca 6300
 tttgtggtat taactcggtt gactgctcta caattgttagg atgttaatca atgtcttggc 6360
 tgcctaaccgc gatcgccgac gcccggata tgagaaaaaa aatcggttgg gcttaacttt 6420
 aaagaaaaaa gttgagatta gatttattgt gttataaata tagatataca attcttata 6480

aaaaaaaaat atatatatat cattgttattt aaataaagag tttccatgt atatagatta 6540
 aaaaactact ctattaaatg agagctaaaa aaagcaggct gcaaaaaaaaa taaagcattt 6600
 atgaaggggg ttcagcaaga tgcaatcgat ggggaagat tatttttaa catcgtaaga 6660
 tcttctaaat ttgtcatcga tttggtaaa gtagtaaaca ccacttgca aatgctcaat 6720
 ggaaccttga gtttgaagt ttttctcaa atggcattt tctctcaatt cgatggcagc 6780
 ttgcataatcc ttggagttt cggtgattct ctggctaat ttgttagtaa tatctaattc 6840
 ctgtataata tttggacgt caccaacaat ttgcagaa tatagagatg cagctaaacc 6900
 ggaaccgtaa gaaaataaac caacacgctt gcctgttaag tcgtcagatc caacatagg 6960

taatagagat gcaaaggccg cataaacaga tgccgtgtac atgttacctg tttttgttg 7020
 aacaatcaa gattggcaaa ctctctttt gtggatggc ttagcaacat taacaaaagt 7080
 ttttcaatg ttcttatcgg ttaaagattt gtcataatcg cgagtagcta attccggcgtc 7140
 aacttctggg aacaatttgc gattggctt gaaatcgta tataatc taccgtatga 7200
 ttttggacc aatttacagg ttggacatg gaaaacgtt tagtgcataat atttcaaaac 7260
 gttcaagca tccgaaccag cgggatcgctt aaccaaccct ttagaaatag cttcttgg 7320
 ataactctt gaaatcgat caagagcctt gacgtacaa gttaatgaa aatgaccatc 7380
 gacgtacggg tattcgctgg tggaaatctgg ctgtaaaaa tcgtaggcgt gttccatgt 7440

agaagctttt acagagtcaa atacaattgg agcatcagga ccgttccaca tagcaacagt 7500
 accggcacca ccgggtggc ttgcggcacc cttatcgtag atggcaatat caccgcaac 7560
 tacaatggcg tcttaccat cccatgcgtt agattcaatc cagttcaag agttgaacaa 7620

cgcgttggta ccaccgtaac aggcattaag cgtgtcaata cttcgacgt cagtgtttc 7680
 accaaacaat tgcataaga cagacttgac agacttggac ttgtcaatca gagttttagt 7740
 accgacttct aatctaccaa ttttgggt gtcgtgtg taactcttga tcaacttaga 7800
 caaaacagtt agggacatcg agtagatatc ttctctgtca tttgacaaaag acatgttgt 7860
 ttggcccaga ccaattgtgt atttaccttg agaaacgccca tcaaatttct cttagctcaga 7920

ttgggtgaca cattgagttt ggatgtaaat ttggataacct ttaataccga cattttgagg 7980
 tctggtttt ttttcagcgg tctttgttt ttttagttca gtcatttgca agtttgtatt 8040
 gtgttaattgt ttttgctttt gcggcctaag tcttcctta ataccacacc aacaaagttt 8100
 agtagagagt ttccataaggc ggccgcgtggc gagggagat 8139<210> 112
 <211> 2962

<212> DNA

<213> Artificial Sequence

<220>

<223> Phase I-B stitch product

<400> 112

aaggcggccg ctggcgaggg agataagtat agaggtataat taacaatttt ttgttgatac 60
 ttttatgaca tttaataag aagtaataca aaccgaaaat gttgaaagta tttagttaag 120

tggtatgca gctttgcat ttatatatct gttaatagat caaaaatcat cgcttcgtg 180
 attaattacc ccagaataaa ggctaaaaaa ctaatcgcat tattatccta tggtgttaa 240
 tttgattcgt tgattgaag gtttgggg ccaggttact gccaattttt cctttcata 300
 accataaaag cttagtattgt agaatctta ttgttcggag cagtgcggcg cgaggcacat 360
 ctgcgttca ggaacgcgac cggtaagac caggacgcac ggaggagagt cttccgtcg 420
 agggctgtcg cccgctcgcc ggcttctaat ccgtacttca atatagcaat gagcagttaa 480
 gcgttactt gaaagttcca aagagaaggt ttttttaggc taagataatg gggcttta 540
 cattccaca acatataagt aagatttagat atggatatgt atatgggtt attgccatgt 600

aatatgatta taaaacttct ttgcgtccat caaaaaaaaa agtaaaggcg cgccacggc 660
 gtgcggatat ggctgcagat caattggta agactgaagt caccaagaag tctttactg 720
 ctccgtaca aaaggcttct acaccagtt taaccaataa aacagtcat tctggatcga 780
 aagtcaaaag ttatcatct ggcatacgaa gctcatcagg accttcatca tcttagtgagg 840
 aagatgattc cgcgcattt gaaagcttgg ataagaaaat acgtccctta gaagaattag 900
 aagcattatt aagtagtgga aataaaaaac aattgaagaa caaagaggc gctgccttgg 960
 ttattcacgg taagttacct ttgtacgctt tggagaaaaa attaggtgat actacgagag 1020

cggttgcggt acgttaggaag gctttcaa tttggcaga agtcctgta ttagcatctg 1080

atcgttacc atataaaaat tatgactacg accgcgtatt tggcgcttgt tgtgaaaatg 1140
 ttataggta catgccttg cccgtggtg ttataggccc ctgggtatc gatggtacat 1200
 cttatcatat accaatggca actacagagg gttgttggt agttctgcc atgcgtggct 1260
 gtaaggcaat caatgctggc ggtggtgcaaa caactgttt aactaaggat ggtatgacaa 1320
 gagggccagt agtccgttcc caaacttga aaagatctgg tgcctgtaag atatggttag 1380
 actcagaaga gggacaaaac gcaattaaaa aagctttaa ctctacatca agattgcac 1440
 gtctgcaaca tattcaaact tgtctagcag gagatttact ctcatgaga tttagaacaa 1500
 ctactggtga cgcacatgggt atgaatatga tttctaagggt tgctgaatac tcattaaagc 1560

aaatggtaga agagtatggc tggaaagata tggaggttgt ctccgtttct ggtaactact 1620
 gtaccgacaa aaaaccagct gccatcaact ggatcgaagg tcgtggtaag agtgcgtcg 1680
 cagaagctac tattcctggt gatgttgtca gaaaagtgtt aaaaagtgtat gttccgcat 1740
 tggttgagtt gaacattgct aagaatttgg ttggatctgc aatggctggg tctgtggtg 1800
 gattaacgc acatgcagct aatttagtga cagctgttt ctggcatta ggacaagatc 1860
 ctgcacaaaa tgtcgaaagt tccaactgta taacattgtat gaaagaagtg gacggtgatt 1920
 tgagaatttc cgtatccatg ccatccatcg aagtaggtac catcggtggt ggtactgttc 1980
 tagaaccaca aggtgccatg ttggacttat taggtgtaag aggcccacat gctaccgctc 2040

ctggtaccaa cgacacgtcaa ttagcaagaa tagttgcctg tgccgtcttg gcaggtgaat 2100
 tattccttatg tgctgcccta gcagccggcc atttggttca aagtcatatg acccacaaca 2160
 gaaaaacctgc tgaaccaaca aaacctaaca atttggacgc cactgatata aatcgttga 2220
 aagatgggtc cgtcacctgc attaaatctt aaacttagtc atacgtcatt ggtattctct 2280
 tgaaaaagaa gcacaacagc accatgtgtt acgtaaaata ttactttat agttgtacg 2340
 tcataatttc ttccatatta caagttcggtg catatata aagaattctg ttgttgtaat 2400
 tgtcataact agcccctcag cccccctcag gtcgaagcat ctggcctgt gcttggcccc 2460
 cagtgcagcg aacgttataa aaacgaatac tgagttatata tctatgtaaa acaaccatata 2520

catttcttgt tctgaacttt gtttacctaa ctagttttaa atttcccttt ttcgtgcattg 2580
 cgggtgttct tatttatttag catactacat ttgaaatatac aaatttcctt agtagaaaaag 2640
 tgagagaagg tgcaactgaca caaaaaataa aatgttagt ataactgtca aaactttgca 2700
 gcagcgggca tccttccatc atagcttcaa acatattagc gttcctgtatc ttcataccgg 2760
 tgctcaaataat gatcaaacaactgttattt ccaagaataa aacgcaagggc tgccttcaaa 2820
 aactgatcca ttagatcctc atatcaagct tcctcataga acgcccattt acaataagca 2880

tgtttgctg ttatcacccgg gtgatagggtt tgctcaacca tggaaggttag catgcggtgt 2940
 ttaaacccca gcgcctggcg gg 2962

<210> 113

<211> 9664

<212> DNA

<213> Artificial Sequence

<220>

<223> Phase II complete stitch product

<400> 113

gacggcacgg ccacgcgtt aaaccgccta ggataattat actctatttc tcaacaagta 60
 attgggtgtt tggccgagcg gtctaggcg cctgattcaa gaaatatctt gaccgcgtt 120
 aactgtggga atactcaggt atcgtaagat gcaagagttc gaatctctta gcaaccatta 180
 ttttttcct caacataacg agaacacaca ggggcgtat cgacacagaat caaattcgat 240
 gactggaaat ttttggtaa tttcagaggt cgcctgacgc atataccctt ttcaactgaa 300
 aaattgggag aaaaaggaaa ggtgagagcg cgggaacccgg ctttcatat agaatagaga 360

agcgttcatg actaaatgct tgcatcacaa tacttgaagt tgacaatatt atttaaaggac 420
 ctattgtttt ttccaatagg tggtagcaa tcgtcttact ttctaaacttt tcttaccttt 480
 tacatttcag caataatataat atatatattt caaggatata ccattctagc tcacacgcgg 540
 ccagggggag cctcgacact agtaatacac atcatcgcc tacaaggta tcaaagtgtt 600
 ggacagacaa ctataccagc atggatctt tggatcggtt ctttctccc gctctctcgc 660
 aataacaatg aacactgggt caatcatagc ctacacaggt gaacagagta gcgtttatac 720
 agggttata cggtgattcc tacggcaaaa attttcatt tctaaaaaaa aaaagaaaaa 780
 ttttcttc caacgctaga aggaaaagaa aaatctaatt aaattgattt ggtgatttc 840

tgagagttcc cttttcata tatcgaattt tgaatataaa aggagatcga aaaaattttt 900
 ctattcaatc tggggctgg ttttatttga tagttttttt gtgtattattt attatggatt 960
 agtactgggtt tttatgggtt tttctgtata actttttttt attttagttt gtttaatctt 1020
 atttttaggtt acattatagt tccctaaactg caagagaagt aacattaaaa atgaccactc 1080
 ttgacgacac ggcttaccgg taccgcacca gtgtccggg ggacgccgag gccatcgagg 1140
 cactggatgg gtccttcacc accgacacccg tcttccgcgt caccgcacc gggacggct 1200
 tcaccctgcg ggaggtgccg gtggacccgc ccctgaccaa ggtgtcccc gacgacgaat 1260
 cggacgacga atcgacgccc ggggaggacg gcgacccgga ctcccgacg ttcgtcgct 1320

acggggacga cgccgacctg gcgggctcg tggcgtctc gtactccgac tggaaccgcc 1380
 ggctgaccgt cgaggacatc gaggtcgccc cggagcacccg ggggcacggg gtcgggcgcg 1440
 cgttgatggg gctcgacg gagttcgccc gcgagcgggg cgccggcac ctctggctgg 1500
 aggtcacaa cgtcaacgca cggcgaatcc acgcgtaccg gggatgggg ttacccctct 1560
 gcggcctgga caccgcctg tacgacggca ccgcctcgga cggcagcag ggccttaca 1620
 tgagcatgcc ctgcccctga gtttaacttg atactactag atttttctc ttcatattata 1680
 aaattttgg ttataattga agcttttagaa gtatgaaaaa atcctttttt ttcatatttt 1740
 gcaacccaaa taagaagctt cttttattca ttgaaatgtt gaatataaac ctaacaaaag 1800

aaaaagactc gaatatcaaa cattaaaaaa aaataaaaaga gtttatctgt tttccattt 1860
 agttggagtt tgcatttctt aatagataga actctaattt aatgtggatt tagttctct 1920
 gttcgaaaaa tttgttttg ttctactgt atttacattt ctatttagta ttttagttatt 1980
 catataatct taacttctcg aggagctccg ctcgtccaac gccggcggac ctattcgccg 2040
 gtggaaaggac ctgtggagg aatatgaagt tgatagctca aaggatttga atggctattt 2100
 aactgattt gagtcaatgtt atcaaggata ctatggctg cttaaatttc attctgtctt 2160
 cggaaagctga attgatacta cggaaaattt tttttgttt ctctttctat ctttattaca 2220
 taaaactca tacacagtta agataaaaaa caactaataa ataatgccta tcgcaaattt 2280

gcttatgaag tccatggtaa attcgtgttt cctggcaata atagatctc aatttgtgc 2340
 ttttgttag ttttattttc aaataattgg aatactaggg atttggattt aagatctta 2400
 ttcaaatttt ttgcgtttaa caaacagcag ccagtcacccac ccaagtcgtt ttcaatgtc 2460
 tcgtaactaa aatcatcttg caatttctt ttgaaactgtt caatttgcgtt ttgagtaatg 2520
 tctttcgta acaaagtcaa agagcaaccg ccggccaccag caccggtaag ttttgtggag 2580
 ccaattctca aatcatcgct cagattttta ataagttcta atccaggatg agaaacaccg 2640
 attgagacaa gcagtccatg atttattttt atcaattcca atagttgttc atacagttca 2700
 ttatttagttt ctacagcctc gtcatcggtt cctttacatt tacttaactt agtcatgttc 2760

tctaagcctt gttaggcaca ttcacccatg gcatctagaa ttggcttcat aacttcagga 2820
 aatttctcg tgaccaacac acgaacgcga gcaacaagat cttttgtaga ctttggattt 2880
 ctagtatagg ttggatcat tggaaatggctt gggaaatcat ctaagaactt aaaattgttt 2940
 gtgtttattt ttccattatg tgagtctttt tcaaatacgaa gggcattacc ataagtggcc 3000
 acagcgttat ctattcctga aggggtaccg tgaatacact tttcacctat gaaggccat 3060
 tgattcacta tatgcttatac gtttctgac agctttcca agtcatggatg tccttataac 3120
 ccccccaagt aggccatagc taaggccagt gatacagaaa tagaggcgct tgagccaaac 3180

ccagcaccga tggtaaagt agacttaaa gaaaacttaa tattcttgc atggggcat 3240

ttacttatat gttgtgaaa tgtaaagac cccattatct tagcctaaaa aaacttctc 3780
tttggaaactt tcagtaatac gcttaactgc tcattgctat attgaagtac ggattagaag 3840
ccgcccggcg ggcgacagcc ctccgacgga agactctct ccgtgcgtcc tggtcttcac 3900
cggtcgcgtt cctgaaacgc agatgtgcct cgccgcac tgctccgaac aataaagatt 3960
ctacaatact agctttatg gttatgaaga gaaaaattg gcagtaacct ggcgccacaa 4020
accttcaaat caacgaatca aattaacaac cataggataa taatgcgatt agtttttag 4080
ccttatttct gggtaattt atcagcgaag cgatgattt tgatctatta acagatata 4140
aaatgcaaaa gctgcataac cactttaact aatacttca acatttcgg tttgtattac 4200

ttcttattca aatgtataa aagtatcaac aaaaaattgt taatataacct ctataactaa 4260
cctgcaggcc gcgagcgccg atatgtcaga gttgagagcc ttcatgtcccc cagggaaagc 4320
gttactagct ggtggatatt tagtttaga tccgaaatat gaagcattt tagtcggatt 4380
atcgccaaga atgcatgttg tagcccatcc ttacggttca ttgcaagagt ctgataaagt 4440
tgaagtgcgt gtgaaaagta aacaatttaa agatggggag tggctgttacc atataagtcc 4500
taaaactggc ttcattcctg tttcgatagg cgatctaag aacccttca ttgaaaaagt 4560
tatcgctaac gtatTTAGCT acTTAAGGCC taACATGGAC gACTACTGCA atAGAAACTT 4620
gttcgttatt gatattttct ctgatgtatgc ctaccattct caggaggaca gcgttaccga 4680

acatcggtggc aacagaagat tgagtttca ttgcacaga attgaagaag ttcccaaacc 4740
agggctggc tcctcgccag gtttagtcac agtttaact acagcttgg cctcctttt 4800
tgtatcgac ctggaaaata atgttagacaa atatagagaa gttattcata atttatcaca 4860
agttgctcat tgtcaagctc aggtaaaat tggaaagcggg tttagatgttag cgccggcagc 4920
atatggatct atcagatata gaagattccc acccgcattt atctctaatt tgccagatata 4980
tggaaagtgtt acttacggca gttaaactggc gcatttggtt aatgaagaag actggaaat 5040

aacgattaaa agtaaccatt tacttcggg attaactta tggatggcg atattaagaa 5100
 tggttcagaa acagtaaaac tggccagaa ggtaaaaat tggtatgatt cgcatatgcc 5160

gaaaaagttt aaaaatatata cagaactcga tcatgaaat tcttagattt tggatggact 5220
 atctaaacta gatcgcttac acgagactca tgacgattac agcgatcaga tatttgagtc 5280
 tcttggagg aatgactgta cctgtcaaa gtatctgag atcacagaag ttagagatgc 5340
 agttgccaca attagacgtt ccttagaaa aataactaaa gaatctggc ccgatatcga 5400
 acctccccgtt ccaaacttagct tattggatga ttgcagacc taaaaggag ttcttacttg 5460
 cttataacctt ggtgctggc gttatgacgc cattgcagt attgctaagc aagatgtga 5520
 tcttagggct caaacccgtt atgacaaaag attttctaa gttcaatggc tggatgtaac 5580
 tcaggctgac tgggggttta ggaaagaaaa agatccggaa acttatctt ataataact 5640

taaggttagat aatagtggc catgtgacat ctttataat gtgaagttt aagtgaccgc 5700
 gcttaacatc taaccattca tcttccgata gtacttggaa ttgttcctt cggccgcatt 5760
 ataaaaattcg ttaatgggt acaagctata catactagga tgaggatggt actgagaacg 5820
 ataaataaac ttcttagata tataactta tgtcattaa atataaataa agtgcgtt 5880
 agcttggaaag tgtgcactaa cgcgatcgcc gacgcccggc atgatgtgtt ttactgtgt 5940
 cgacgacagc attcgcccg tattttttt attctacaaa cttctataa tttcaaagta 6000
 tttacataat tctgtatcgt ttaatcacc ataatactgt ttcttgcatt tagtgcatt 6060
 aattttccct atttttactt cggcccttt tctgtttat gagctattt ttccgtcatc 6120

cttcggatc cagatttca gtttcatctc cagatttgtt ctacgtaatg cacccatca 6180
 ttttaagaga ggaaggccgc cgctggcgag ggagatatga agctactgtc ttctatcgaa 6240
 caagcatgct atatttgcg actaaaaag ctcaagtgtt ccaaagaaaa accgaagtgc 6300
 gccaagtgtc tgaagaacaa ctgggagtgt cgctactctc caaaaccaa aaggctccg 6360
 ctgacttaggg cacatctgac agaagtggaa tcaaggctag aaagactggaa acagctat 6420
 ctactgattt ttccctcgaga agaccttgcg atgatgttga aaatggattt tttacaggat 6480
 ataaaaagcat tggtaacagg attatttgcg caagataatg tgaataaaga tgccgtcaca 6540
 gatagattgg cttcagtgaa gactgatgtt cctctaaat tggacagca tagaataagt 6600

gcgcacatcat catcgaaaga gagtagtaac aaaggtaaaa gacagtgcgatgatcgatt 6660
 gactcggcag ctcatcatga taactccaca attccgttgg attttatgcc cagggatgca 6720
 ctcatggat ttgattggc tgaagaggat gacatgtcgatggcttgccttgcataa 6780
 acggacccca acaataatgg gttcttggc gacggttctc tcttgcattt tcttcgtatc 6840
 attggcttta aaccggaaaa ttacacgaaatctaacgtt acaggctccc gaccatgatt 6900

acggatagat acacgttggc ttctagatcc acaacatccc gttacttca aagtatctc 6960
 aataatttc accctactg ccctatcgta cactcacca cgctaattgtat gttgtataat 7020
 aaccagattg aaatcgcgtc gaaggatcaa tggcaaattcc ttttaactg catattagcc 7080

attggagcct ggtgtataga ggggaatct actgatatacg atgttttta ctatcaaaat 7140
 gctaaatctc attgacgag caaggtcttc gagtcagggtt ccataatttt ggtgacagcc 7200
 ctacatcttc tgtcgcgata tacacagtgg aggcagaaaa caaatacttag ctataatttt 7260
 cacagcttt ccataagaat ggccatatca ttggcgttga atagggacct cccctcgcc 7320
 ttcagtgata gcagcattct ggaacaaaga cgccgaattt ggtggctgt ctactttgg 7380
 gagatccaat tgtccctgct ttatggtcga tccatccagc ttctcagaa tacaatctcc 7440
 ttcccttctt ctgtcgacga tgtgcagcgt accacaacag gtccaccat atatcatggc 7500
 atcattgaaa cagcaaggctt cttacaaggttt tcataaaaaa tctatgaact agacaaaaaca 7560

gtaactgcag aaaaaagtcc tatatgtgca aaaaaatgct tgatgatttg taatgagatt 7620
 gaggagggtt cgagacagggc accaaagttt ttacaaatgg atatccac caccgctcta 7680
 accaatttgt tgaaggaaca cccttggta tccttacaa gattcgaact gaagtggaaa 7740
 cagttgtctc ttatcattta tgtattaaga gatTTTCA ctaattttac ccagaaaaag 7800
 tcacaacttag aacaggatca aatgatcat caaagttatg aagttaaacg atgctccatc 7860
 atgttaagcg atgcagcaca aagaactgtt atgtctgtaa gtagctataat ggacaatcat 7920
 aatgtcaccc catatTTGCTG ctggaattgt tcttattact tggtaatgc agtcttagta 7980
 cccataaaga ctctactctc aaactcaaaa tcgaatgctg agaataacga gaccgcacaa 8040

ttattacaac aaattaacac tggctgtatg ctatTTAAAC aactggccac tttaaaatc 8100
 cagacttgcg aaaaatacat tcaagttactg gaagaggat gtgcgcgtt tctgttatca 8160
 cagtgtgcaatccattacc gcatatcgt tataacaata gtaatggtag cgccattaaa 8220
 aatattgtcg gtctgcaac tatcgccaa taccctactc ttccggagga aaatgtcaac 8280
 aatatcgtt taaaatgtt ttctcttgc tcaatggc ctccacgtt ggcattgaaa 8340
 tcaggagcaa gtttcgttcaag tctgttatcta accgtccacc ctctcgtaac 8400
 tctccagtga caataccaag aagcacaccc tgcgtatcgct cagtcacgcc ttttcttaggg 8460
 caacagcaac agtgcataatc attagtgcacca ctgacccgtt ctgtttgtt tggggcgcc 8520

aattttatc aaagtggaa tattgtgtat agtcattgtt ctttacttt cactaacatgt 8580
 agcaacggtc cgaacctcat aacaactcaa acaaattctc aagcgcttc acaaccaatt 8640
 gcctcctcta acgttcatga taacttcatg aataatgaaa tcaatggtag taaaattgtat 8700
 gatggtaata attcaaaacc actgtcacct gttggacgg accaaactgc gtataacgca 8760

tttggaatca ctacaggat gtttaatacc actacaatgg atgatgtata taactatcta 8820
 ttcgatgatg aagatacccc accaaaccca aaaaagagt aaaatgaatc gtagatactg 8880
 aaaaaccccg caagttcaact tcaactgtgc atcgtgcacc atctcaattt ctttcattta 8940
 tacatcgttt tgcccttt tatgttaacta tactcctcta agttcaatc ttggccatgt 9000

aacctctgat ctatagaatt ttttaatga ctagaattaa tgcccatctt tttttggac 9060
 ctaaattctt catgaaaata tattacgagg gcttattcag aagcttcgct caaaggcg 9120
 ccacggtcgt gcggataaag attcttttt ttatgatat ttgtacataa actttataaa 9180
 tgaaattcat aatagaaacg acacgaaatt acaaataatgga atatgttcat agggtagacg 9240
 aaactataata cgcaatctac atacatttt caagaaggag aaaaaggagg atgtaaagga 9300
 atacaggtaa gcaaattgat actaatggct caacgtgata agaaaaaaga attgcactt 9360
 aacattaata ttgacaagga ggagggcacc acacaaaaag ttaggtgtaa cagaaaatca 9420
 taaaactatg attcttaatt tatataattgg aggattttct caaaaaaaaa aaaaatacaa 9480

caaataaaaa acactcaatg acctgaccat ttgatggagt ttaagtcaat accttcttga 9540
 accattttccc ataatggta aagttccctc aagaattttt ctctgtcaga aacggcctta 9600
 acgacgttgtt cgaccccttc ttctgtacta aatctacggt gttaaaccc cagcgcctgg 9660
 cggg 9664<210> 114

<211> 4380

<212> DNA

<213> Artificial Sequence

<220>

<223> Phase III-A stitch product

<400> 114

gacggcacgg ccacgcgtt aaaccgccaa aagtgcagct cagagcccc agcaccagta 60
 ttagaggta taatggctg cgaaggctgc taaaatgcag tggaggccgt gtacccttg 120

ccaaattggc tattggaatc ggcagagaac ctgggtcccg ttctagagac cctgcgagcg 180
 tgtcccggtg ggttctggga gctctaactc cgccaggaact acaaaccttg cttacacaga 240
 gtgaacctgc tgcctggcgt gctctgactc agtacatttc atagccatc ttcaacaaca 300
 ataccgactt accatcctat ttgcttgcc cttttcttt tccactgcac tttgcac 360
 aaggcgttat cggtttggg tttagtgctt aaacgagcag cgagaacacg accacggct 420
 atataaatgg aaagtttagga cagggccaa gaataagagc acagaagaag agaaaagacg 480
 aaaagcagaa gcgaaaacg tatacacgtc acatatcaca cacacacgt cacacgcggc 540

caggggggac ctcgacacta gtaatacaca tcatcgctt acaagttcat caaagtgttg 600

gacagacaac tataccagca tggatctttt gtatcggtc ttttctccg ctctctcgca 660
 ataacaatga acactgggtc aatcatagcc tacacagggt aacagagtag cgtttataca 720
 gggtttatac ggtgattctt acggcaaaaa ttttcattt ctaaaaaaaaaaa aaagaaaaat 780
 ttttcttcc aacgcgtt aaaaagaaa aatctaatta aattgattt gtgattttct 840
 gagagttccc ttttcatat atcgaattt gaatataaaa ggagatcgaa aaaattttc 900
 tattcaatct gtttcttgtt ttatattgtt agttttttt tgatttattt ttatggatta 960
 gtactggttt atatggttt ttctgtataa cttctttta tttagttt ttaatctta 1020
 tttttagtta cattatagtt ccctaactgc aagagaagta acattaaaaa tggtaagga 1080

aaagactcac gtttcgagggc cgcgattaaa ttccaacatg gatgctgatt tataatggta 1140
 taaatggct cgcgataatg tcggcaatc aggtgcgaca atctatcgat tgtatggaa 1200
 gccccatgcg ccagagttgt ttctgaaaca tggcaaagggt agcgttgcca atgatgttac 1260
 agatgagatg gtcaactaa actggctgac ggaattttagt cctctccga ccatcaagca 1320
 ttttatcgatc actctgtatg atgcatggttt actcaccact gcgtatccccg gcaaaacagc 1380
 attccaggta tttagaagaat atcctgattc aggtgaaaat attgtttagt cgctggcagt 1440
 gttcctgcgc cggttgcatt cgattcctgt ttgttaattt ccttttaaca gcgatcgctg 1500
 atttcgtctc gctcaggcgc aatcacgaat gaataacggt ttgggtttagt cgagtgtttt 1560

tgtatgacgag cgtaatggct ggcctgttga acaagttctgg aaagaaatgc ataagctttt 1620
 gccattctca ccggatttcag tcgtcaactca tgggtatttc tcacttgata accttattttt 1680
 tgacgagggg aaattaatag gttgtattga tgggtggacga gtcggaaatcg cagaccgata 1740
 ccagatctt gccatcttat ggaactgcctt cggtgagttt tctcttcat tacagaaacg 1800
 gcttttcaa aaatatggta ttgataatcc tgatataat aaattgcagt ttcattttgt 1860
 gctcgatgag ttttcttaag tttaacttga tactactaga tttttctct tcatttataa 1920
 aattttttgtt tataattgaa gcttttagaag tatgaaaaaa tcctttttt tcatttttg 1980
 caacccaaat aagaagcttc ttttattcat tgaaatgtt aatataaacc taacaaaaga 2040

aaaagactcg aatatacaaac attaaaaaaa aataaaaagag gttatctgtt ttcccatata 2100
 gttggagttt gcattttctta atagatagaa ctctcaatata atgtggattt agtttctctg 2160
 ttctttttttt ttgtttttgt tctcaactgtt tttacatttc tattttagt ttagttattc 2220
 atataatctt aacttctcgaa ggagctccgc tcgtccaacg ccggcggacc tcttgcata 2280
 agtgggtctg tttagacagct acgaaataagg aaattccgaa gcatgttaggg aggtcatgt 2340
 atgaaaaaagc aaaagagtag gcatcaaaaaa gtttcttattt caagtggtaa ctgctgttaa 2400

aattaagata ttataaaatt gaagcttggc cgttccgacc aataccgtag ggaaacgtaa 2460
 attagctatt gtaaaaaaaaag gaaaagaaaaaa gaaaagaaaa atgttacata tcgaatttgat 2520

cattttcctt tggtagacca gtcttcgcgt caatcaaaga ttctttgtt tcttgtggc 2580
 ctgaaccgac ttgagttaaa atcaactctgg caacatcctt ttgcaactca agatccaatt 2640
 cacgtgcagt aaaggtagat gattcaaatt gatggttgaa agcctcaagc tgctcagtag 2700
 taaatttctt gtcccatcca ggaacagagc caaacaattt atagataaat gcaaagagtt 2760
 tcgactcatt tttagtcaag tagtacaaca cagcatttgg acctgcata aacgtgtatg 2820
 caacgattgt ttctccgtaa aactgattaa tgggtggca ccaactgtatg atacgcttgg 2880
 aagtgtcatt caigtagaat attggaggaa aagagtccaa acatgtggca tggaaagagt 2940
 tggaatccat cattgtttcc ttgcaaaagg tggcgaaatc ttttcaaca atggctttac 3000

gcatgacttc aaatctctt ggtacgacat gttcaattct ttcttaaat agttcgagg 3060
 ttgccacggt caattgcata ccctgagtgg aactcacatc ctttttaata tcgctgacaa 3120
 ctaggacaca agcttcatc tgaggccagt cagagctgtc tgegatttgt actgcccattgg 3180
 aatcatgacc atcttcagct tttccattt cccaggccac gtatccgcca aacaacgtc 3240
 tacaagctga accagacccc tttcttgcta ttcttagatat ttctgaagtt gactgtggta 3300
 attggtataa cttagcaatt gcagagacca atgcagccaa gccagcagcg gaggaagcta 3360
 aaccagctgc ttagggaaatg ttatcccgg agacaatgtg gagttccat tgagataatg 3420
 tggcaatga ggcgtccccc gattccattt cttttttaa ttggcgtagg tcgcccac 3480

aattttgagt tcttcattt tcgtatgtgt gtgggtctcc attaaccac aaagtgtcgc 3540
 gttcaaaactc aggtgcagta gcccgcagg tcaacgttct gaggtcatct tgcgataaag 3600
 tcactgatat ggacgaattt gtgggcagat tcaacttgcgt gtccctttc ccccaataact 3660
 taagggttgc gatgttgacg ggtgcggtaa cggatgtgt gttaaacggc atatccccgc 3720
 gtgcctggcc gcccgttact ttttttttgg atggacgcaa agaagttaa taatcatatt 3780
 acatggcaat accaccat atcatatccat atctaattt acttatatgt tgtggaaatg 3840
 taaagagccc cattatcttta gcctaaaaaa accttcattt tggaacttcc agtaatacgc 3900
 ttaactgctc attgtatata tgaagtacgg attagaagcc gcccggcggc cgacagccct 3960

ccgacggaag acttcctcc gtgcgtccctg gtcttcaccg gtgcgttcc tggaaacgcag 4020
 atgtgcctcg cccgcactg ctccgaacaa taaagattct acaataactag cttttatgg 4080
 tatgaagagg aaaaatttggc agtaaacctgg ccccacaaac cttcaaatca acgaatcaa 4140
 ttaacaacca taggataata atgcgattag ttttttagcc ttatcccgg ggttaattat 4200
 cagcgaagcg atgattttg atctattaac agatataataa atgcaaaagc tgcataacca 4260

ctttaactaa tacttcaac atttcggtt tgtattactt ctattcaaa tgtcataaaa 4320
 gtatcaaca aaaattgtta atataccctct atacttaacc tgccggccgc gagcgccgat 4380

<210

> 115

<211> 4284

<212> DNA

<213> Artificial Sequence

<220>

<223> Phase III-B stitch product

<400> 115

aacctgcagg ccgcgagcgc cgatatggct tcagaaaaag aaatttaggag agagagattc 60
 ttgaacgttt tccttaaatt agtagaggaa ttgaacgcat cgctttggc ttacggatg 120
 cctaaggaag catgtgactg gatatccccac tcattgaact acaacactcc aggccgtaag 180
 ttaaatagag gttgtccgt tggacacg tatgctattc tctccaacaa gaccgttcaa 240
 caattggggc aagaagaata cggaaagggtt gctattctag gttggatcat tgagtgttg 300
 caggctact tcttggtcgc cgtatgatg atggacaatg ccattaccag aagaggccaa 360

ccatgttgtt acaagggttcc tgaagttggg gaaattgcca tcaatgacgc attcatgtta 420
 gaggctgcta tctacaagct ttgaaatct cacttcagaa acggaaaata ctacatagat 480
 atcacccaaat tggccatga agtccacccaa cttaccgaat tggccaaattt gatggactta 540
 atcaatgcac ctgaagacaa agtccacttg agtaagttct ccctaaagaa gcactccccc 600
 atagttactt tcaagactgc ttactattct ttctacttgc ctgtcgattt ggctatgtac 660
 gttggccgta tcacagatga aaaggatttgg aaacaaggcca gagatgtctt gattccattt 720
 ggtgaatattt tccaaatttca agatgactac tttagactgct tcggtaacccaa agaacagatc 780
 ggttaagatcg gtacagatata ccaagataac aaatgttctt gggtaatcaa caaggcatta 840

gaacttgcctt ccgcagaaca aagaaagact tttagacgaaa attacggtaa gaaggactca 900
 gtcgcagaag ccaaatttcaaa aagattttc aatgacttga aaatcgacca gtttacccac 960
 gaatatgaag agtctgttgc caaggatttgg aaggccaaatg tctcccaagt cgacgactct 1020
 cgtggcttca aagccgacgt ctttaactgctt ttttttgc aaggccaaatg gagaagtaaa 1080
 taagacttggaa agcgttcaat cgataaaaat tggaaatcacg attagataag gaccatgtat 1140
 aagaaatata tacttccact ataataatagt ataagttac agataattat ctcttgattt 1200
 accgttacac gtgactaaag gacgctttt ctcagccaaat gaaagtgaag aaaaacttga 1260
 tcggaaatata cgggttagtac gtaaaaggaa ctttggccac ccccaaaaaa ttttacccata 1320

aaatatttat gggcattatt atgcagagca tcaacatgt aaaaaaaagg cggccgctgg 1860
cgagggagat atgactgccg acaacaatag tatgccccat ggtgcagtat cttagttacgc 1920
caaattatgt caaaacccaa cacctgaaga catttggaa gagtttcctg aaattattcc 1980
attacaacaa agacctaata cccgatctag tgagacgtca aatgacgaaa gcggagaaac 2040
atgttttct ggtcatgtat aggagcaat taagttatg aatgaaaatt gtattgttt 2100
ggattgggac gataatgcta ttggtgccgg taccaagaaa gtttgtcatt taatggaaaa 2160
tattgaaaag gtttactac atcgtgcatt ctccgtctt atttcaatg aacaaggta 2220
attactttta caacaagag ccactgaaaa aataacttgc cctgatctt ggactaacac 2280

atgtctcatccactatgtattgatgacgaatttagtttggtaagggtaagctagacga 2340
taagattaaggcgcttattatcgccgcgttggaaaactatgtatgttattcc 2400
agaagatgaaactaagacaagggttaagtttcactttttaaacagaatccattacatggc 2460
accaggcaatgaaccatgggttgaacatgaaattgatttacatccttatttataagatcaa 2520
cgctaaagaaacttgactgtcaacccaaa cgtcaatgaa gtttagagacttcaaatgggt 2580
ttcaccaaatgatttggaaaactatgtttgc tgacccaaatgtacaatgttacgccttggtt 2640
taagatttttgcgagaattacttattcaa ctggtgggagcaatttagatgaccttctgaa 2700
agtggaaaatgacaggcaatttcataagaatgctataacaa cgcgtcaataatataggcta 2760

cataaaaaatc ataataaactt tgttatcata gcaaaatgtg atataaaacg tttcatttc 2820
cctgaaaaat agtaaaaata ggcgacaaaaa atccttagta atatgtaaac ttatatttct 2880
ttatttatcc acagaactct gaatatacat tgattgttca cattttttt ttctcttctc 2940
aatttccctt gattatattc aaaaggttat tggcctttg aatgttccc actgatgaag 3000
gcgcgccacg gtctgcgga tgtatccaa tgagaatcgc tagaaatgct ttaccagaac 3060
tagactactt gtcgcagatc actttgaac tgtatgagag tacggatgct tctggtaaaa 3120
aatcgccatc cattagactg aaaatgtctc ctgggtgtca tactcgagat ccgttagatg 3180

ttcaattaga tgacaggcat tatattagtt gtattccaaa gattccctg acgaaggcatt 3240

tggatatgga ctacgttcaa cagaaatiga gaaacaattt accagggtc attatgcctc 3300
 cgaatttac accagtaaac attacgagcc ccaacttgag tttccagaaa cgcaaaacca 3360
 gaagaaagtc ggtatctgtt gagaagttga agcttctgc ctgtccgga tcttcatcat 3420
 ctacctccgt taacaagaca ttagattagt gatcacaccc aattttaat ttagcaaccc 3480
 aaaataaata agtatttact caacttttt ttaataaaaaaaa aaaacttaat tgaatttgc 3540
 tcgcgatctt taggtccggg gtttcgtt aaccctaga cgagcaattt agccctaa 3600
 gnatatacgt cagagcacat taattagtga catataccta tataaagagc aacccctcc 3660
 gatagacttga taatttatct tatttcattt cctaacactt tggcgaaaga agagggataa 3720

aaacagacga aagccctca gccccctag cgtcgatggg aaagctatta caatggcat 3780
 tgcattccgtt cgagatgaag gcagcttga agctgaattt ttgcagaaca ccgttattct 3840
 ccatctatga tcagtccacg tctccatatac tcttgcactg tttcgaactg ttgaacttga 3900
 cctccagatc gtttgcgtt gtgatcagag agctgcattcc agaattgaga aactgtgtta 3960
 ctctctttta ttgtattta agggcttgg ataccatcga agacgatatg tccatcgaaac 4020
 acgatttga aattgacttgc ttgcgtact tccacgagaa attgttgtt actaaatgga 4080
 gtttcgacgg aatggcccc gatgtgaagg acagagccgt tttgacagat ttcaatcga 4140
 ttcttattga attccacaaa ttgaaaccag aatatcaaga agtcatcaag gagatcaccg 4200

agaaaatggg taatggtatg gccgactaca tcttagatga aaattacaac ttgaatcggt 4260

gtttaaaccctt cagcgctgg cggg 4284

<210> 116

<211> 6344

<212> DNA

<213> Artificial Sequence

<220>

<223> Phase I marker recycling sttch product

<400> 116

gacggcacgg ccacgcgtt aaaccgccc gatggaatcc ctccataga gagaaggagc 60

aagcaactga cccaatattt actgccactg gacctgaaga catgcaacaa agtgcac 120

tagtggggcc ttcttccat gctaattccgg tcactgccac tgcgtctacg gaaaaccaac 180

ctaaaggat taacttcttc actataagaa aatcacacga ggcggcggac gatgtctcg 240

tttaaatggc gcaagtttc cgctttgtaa tatatattta tacccttcc ttctctcccc 300

tgcaatataa tagttaatt ctaatattaa taatatccta tattttcttc atttaccggc 360
 gcactctgc cgaaacgacc taaaatgtc tgctacattc ataataacca aaagctcata 420
 acttttttt ttgaacctga atatatatac atcacatgtc actgctggc cttgccgacc 480
 agcgataca atcicgatag ttggttcc gttcttcca ctcccgtcgc tcacacgccc 540
 ccagggggag cctcactatt attccataag atgatcatta gcattacgtt caaaacgagt 600
 acaaataact taagtaataa cacgagccat atgaccatta gcaagatgac aagcaagtta 660
 agaccaatca gctccatca tagcatcgc ttaacgttca ccattaataa gagtagaaat 720

ttcacccatca agacaataac gatttcgtg gtaataactg atataattaa attgaagctc 780
 taatttgta gtttagtata catgcattt cttataatac agtttttag ttttgctggc 840
 cgcacatcttctt caaatatgtt tcccgccgtg ctttctgtt acgttccaccc tctacccat 900
 catcccttcc cttgcaaat agtcccttcc caacaataat aatgtcagat cctgttagaga 960
 ccacatcatc cacgggttcta tactgttgc ccaatgcgtc tccctgtca tctaaaccca 1020
 cacgggtgt cataatcaac caatcgtaac cttcatctt tccaccatg tctctttag 1080
 caataaagcc gataacaaaa tctttgtcac tcttcgaat gtcaacagta cccttagtat 1140
 atttccagt agctaggag cccttgcgtt acaattctgc taacatcaaa aggcccttag 1200

gttcctttgt tacttcttcc gcccctgtt tcaaaccgtt aacaataacct gggccccacca 1260
 caccggtgttgc attcgtaatg tctgcccatt ctgttattct gtatacaccc gcagagtact 1320
 gcaatttgac tgtattacca atgtcagcaat atttctgtc ttcaagagt aaaaaattgt 1380
 acttggcgga taatgcctt agcggcttaa ctgtgcctc caigaaaaaa tcagtcaaga 1440
 tatccacatg ttttttagt aaacaaattt tgggacctaa tgcttcaact aactccagta 1500
 attccttgggt ggtacgaaca tccaatgaag cacacaagtt tgtttgcatt tcgtgcattga 1560
 tattaaatag ctggcagca acaggactag gatgagtagc agcacgttcc ttatatgttag 1620
 ctttcgacat gatttatctt cgtttgcgtt aggttttgcgtt tctgtgcagt tgggttaaga 1680

atactggca atttcatgtt tcttcaacac cacatatgcg tataataacc aatctaagtc 1740
 tgtgctcctt cttcggttct tccttctgtt cggagattac cgaatcaaaa aaatttcaaa 1800
 gaaaccggaa tcaaaaaaaaaa gaacaaaaaaaaa aaaaaagatg aattgaaaag ctttatggac 1860
 cctgaaacca ctcactatta ttccataaga tgatcattag cattacgttca aaaacgagta 1920
 caaataactt aagtaataac acgagccata tgaccattag caagatgaca agcaagttaa 1980
 gaccaatcag ctccatcat agcatcagtt taacgttccat cattaataag agtagaaatt 2040
 tcacccatca gacaataacg atttcgtgc gctcgtccaa cgccggcgga cctgacggta 2100
 gcaacaagaa tatagcacga gccgcggagt tcatttcgtt actttgata tcactcacaa 2160

ctattgcgaa gcgttcagt gaaaaaatca taaggaaaag ttgttaatat tattggtagt 2220
 attcgttgg taaagtagag gggtaattt ttcccctta tttgttcat acattctaa 2280
 attgcttgc ctctcctttt ggaaagctat acttcggagc actgttgagc gaaggctcat 2340
 tagatataatt ttctgtcatt tcccttaacc caaaaataag ggaaagggtc caaaaagcgc 2400
 tcggacaact gttgaccgtg atccgaagga ctggctatac agtgttcaca aaatagccaa 2460
 gctgaaaata atgtgtagct atgttcagtt agtttggcta gcaaagatataaaaac 2520
 cgaaaaatatt tatggcatt attatgcaga gcatcaacat gataaaaaaa aacagttgaa 2580
 tattccctca aaaatccccg cgtgcttggc cggccgtaat taataatgtc aactttgcct 2640

atttctctg tgtcatttc ctcttctaca tcaccattag tcgtggacga caaagtctca 2700
 accaagcccg acgttatcag acatacaatg aatttcaatg cttctatttgggagatcaa 2760
 ttcttgacct atgatgagcc tgaagattt gttatgaaga aacaattagt ggaggaatta 2820
 aaagaggaag ttaagaagga attgataact atcaaagggtt caaatgagcc catcagcat 2880
 gtgaaatttga ttgaatttatt ttagtgcgtt caacgtttag gtatagctt ccatttggaa 2940
 gaagagatcg aggaagctt gcaacatata catgttacct atggtaaca gtgggtggat 3000
 aggaaaaatt tacagagttt ttcattgtgg ttcaagggtt tgctcaaca gggctttaac 3060
 gtctccctcg gcgtttcaa agactttatg gacgaaaaag gtaaattcaa agagtctta 3120

tgcaatgatg cacaaggaat attagccta tatgaagctg catttatgag ggttgaagat 3180
 gaaaccatct tagacaatgc ttggaaattc acaaaaagttc atttagatatacatgcaaaa 3240
 gaccatctt gcgttcttc attgcgtaca caaatccatc aagccttaaa acaaccttta 3300
 agaaggagat tagcaaggat tgaaggcatta cattacatgc caatctacca acaggaaaca 3360
 tctcatgatg aagtattgtt gaaatttagcc aagttggatt tcagtgttt gcagtctatg 3420
 cataaaaagg aattgtcaca tatctgttaag tggtgaaag atttagattt acaaaaataag 3480
 ttacctttag tacgtgatcg tgggtcgaa ggctacttct ggatattgtc catatactat 3540
 gagccacaac acgctagaac aagaatgttt ttgatgaaaa catgcgtgt gtttagtagtt 3600

ttggacgata ctttgataa ttatggaca tacgaagaat tggagatttt tactcaagcc 3660
 gtcgagagat ggtctatctc atgcttagat atgttgcgg aatataatgaa attaatctac 3720
 caagaattag tcaatttgca tggaaatg gaagaatctt tggaaaagga gggaaagacc 3780
 tatcagattc attacgttaa ggagatggct aaagaattag ttcgttaattt ctttagtagaa 3840
 gcaagatgggt tgaaggaagg ttatatgcct actttagaa aatacatgtc tgggtctatg 3900
 gttactggta ctatggttt gatgattgca aggtcctatg ttggcagagg agacattgtt 3960
 actgaagaca cattcaaattt ggtttctatg taccacca ttatataaagc ttccctgtgt 4020

atagtaagat taatggacga tattgtatct cacaaggaag aacaagaag aggacatgtg 4080

gcttcatcta tagaatgtt ctctaaagaa tcaggtgctt ctgaagagga agcatgtgaa 4140
 tatattatgtt gaaaaggta ggtgcctgg aaagtaatca atagagaatc tttgcgtcca 4200
 acagccgttc cctcccttt gttaatgcc acaataaact tagtagaaat gtgtgaggc 4260
 ttgtactctg ttaatgtgg tttactcat gctgagggtg acatgaaatc ttatgtgaa 4320
 tccttcgtt ttcacccat ggtcggtt gctagctaag atccgcctta accgaaaagg 4380
 aaggagttt acaacctgaa gtctaggtcc ctatttattt tttatgtt atgttagtat 4440
 taagaacgtt atttatattt caaattttc tttttttct gtacagacgc gtgtacgcat 4500
 gtaacattat acgtaaaaacc ttgcttgaga aggtttggg acgctcgaag aacgtcagg 4560

ccgcgagcgc cgatagttt gacaattaca acaacagaat tctttctata tatgcacgaa 4620
 cttgtatat ggaagaaatt atgacgtaca aactataaag taaatattt acgtaacaca 4680
 tggtgctgtt gtgctcttt tcaagagaa taccaatgac gtatgactaa gtttaggatt 4740
 taatgcaggt gacggaccca tcttcaaacc gatttataatc agtggcgccaaatgttag 4800
 gttttgtgg ttcagcaggt ttcctgtgt gggtcatatg actttgaacc aaatggccgg 4860
 ctgctaggc agcacataag gataattcac ctgccaagac ggcacaggca actattctg 4920
 ctaattgacg tgcgttgta ccaggagcgg tagcatgtgg gcctcttaca cctaataagt 4980
 ccaacatggc accttgtgtt tctagaacag taccaccacc gatggtacct acttcgtatgg 5040

atggcatgga tacggaaatt ctcaaatac cgtccacttc tttcatcaat gttatacgt 5100
 tggaacttgc gacattttgt gcaggatctt gtcctaattgc caagaaaaca gctgtcacta 5160
 aattagctgc atgtgcgtt aatccacca cagaccgc cattgcagat ccaaccaat 5220
 tcttagcaat gttcaactca accaatgcgg aaacatcaat ttttaacact tttctgacaa 5280
 catcaccagg aatagtagct tctgcgacga cacttacc acgacccctcg atccagttga 5340
 tggcagctgg tttttgtcg gtacagtagt taccagaaac ggagacaacc tccatatctt 5400
 cccagccata ctcttctacc atttgctta atgagtttac gacaccctta gaaatcatat 5460
 tcatacccat tgcgtcacca gtagttgttc taaaatctcat gaagagtaaa tctcctgtca 5520

gacaagttt aatatgttgc agacgtgcaatcttgatgt agagttaaaa gctttttaa 5580
 ttgcgttttgc tcccttttctt gaggtaacc atatcttaca ggcaccagat ctttcaag 5640
 ttggaaacgc gactactggg cctttgtca taccatccctt agttaaaaaca gttttgcac 5700
 caccggccagc attgattgcc ttacagccac gcatggcaga agtacccaaacaaatccctg 5760
 tagttgcattt tggatatgttcaagatgtac catcgataac caagggccttataacacaa 5820
 cggccaaagg catgtaacctt ataacattt cacaacaagc gccaatatacg cggtcgtagt 5880

cataatttt atatggtaaa cgatcagatg ctaatacagg agttctgcc aaaattgaaa 5940
gagccttcct acgtaccgca accgctctcg tagtacccacc taatttttc tccaaagcgt 6000

acaaggtaa ctaccgtga ataaccagg cagcgcaccc tttgttctc aattgtttg 6060
tattccact actaataat gttctaatt cttctaaagg acgtatccc ttatccaaggc 6120
tttcaatatac gcggaaatca tttcctcac tagatgatga aggtcctgat gagctcgatt 6180
gcccagatga taaacttttgc acttcgatc cagaatgac tgtttattt gttaaaactg 6240
gtgttagaaggc ctttgtaca ggacgatgaa aagacttctt ggtgacttca gtcttcacca 6300
attggctgc agccatcggt gtttaaaccc cagcgcctgg cggg 6344<210> 117

<211> 6184

<212> DNA

<213> Artificial Sequence

<220>

<223>

> Phase II marker recycling stitch product

<400> 117

gacggcacgg ccacgcgtt aaaccgccta ggataattat actctatttc tcaacaaggta 60
attgggtgtt tggccgagcg gtctaggcg cctgattcaa gaaatatctt gaccgcgtt 120
aactgtggga atactcaggat atcgtaagat gcaagagtcc gaatctctt gcaaccattt 180
ttttttcct caacataacg agaacacaca gggcgctat cgacacgaaat caaattcgat 240
gactggaaat ttttgtttaa tttcagaggt cgcctgacgc atataacctt ttcaactgaa 300
aaattggag aaaaaggaaa ggtgagagcg ccggAACCGG CTTTCCATAG AGAATAGAGA 360
agcgttcatg actaaatgct tgcatcaca tacttgaaat tgacaatattt attaaggac 420

ctattgttt ttccaatagg tggttagcaa tcgtctact ttctaaacctt tcttaccc 480
tacatttcag caataatataat atatataattt caaggatata ccattcttagc tcacacgcgg 540
ccagggggag cctcactattt attccataag atgatcatta gcattacgtt caaaacgagt 600
acaataact taagtaataa cacgagccat atgaccat gcaagatgac aagcaagttt 660
agaccaatca gttccatca tagcatcagc ttaacgttca ccattaataa gagtagaaat 720
ttcacccatca agacaataac gatttcggtt gtaataactg atataattt attgaagctc 780
taatttgta gtttagtata catgcattt cttataatac agtttttag ttttgctggc 840
cgcatcttct caaatatgct tcccagccgtt ctttctgtt acgttccaccc tctaccc 900

catcccttcc ctttgcataat agtcctcttc caacaataat aatgtcagat cctgttagaga 960
ccacatcatc cacggttcttata tactgttgc ccaatgcgtc tcccttgcata tctaaaccca 1020

caccgggtgt cataatcaac caatcgtaac cttcatctt tccaccatg tctcttgag 1080
 caataaagcc gataacaaaa tctttgtcac tcttcgaat gtcaacagta cccttagtat 1140
 attctccagt agctaggag cccttgcatt acaattctgc taacatcaaaggcctctag 1200
 gttcccttgt tacttcttcc gccgcctgt tcaaaccgt aacaataacct gggcccacca 1260
 cacgggtgc attcgtaatg tctgccatt ctgctattct gtatacaccc gcagagtact 1320
 gcaatttgac tgtattacca atgtcagcaa atttctgtc ttcaagagt aaaaaattgt 1380

acttggcgga taatgcctt agcggttaa ctgtgcctc catggaaaaa tcagtcaga 1440
 tatccacatg tggttttagt aaacaaattt tggttgcctaa tgcttcaact aactccagta 1500
 attcccttgtt ggtacgaaca tccaatgaag cacacaaggtt tggttgcctt tcgtgcata 1560
 tattaaatag ctggcagca acaggactag gatgagtagc agcacgttcc ttatatgttag 1620
 ctggcatacat gatttatctt cggttgcgtt aggttttgtt tctgtgcagt tggtttaaga 1680
 atactggca atttcatgtt tcttcaacac cacatatgcg tatataacc aatctaagtc 1740
 tgtgctcctt ctttcgttct tccttctgtc cggagattac cgaatcaa aatttcaaa 1800
 gaaaccggaa tcaaaaaaaaaa gaacaaaaaaaaa aaaaaagatg aattgaaaag ctgtatggac 1860

cctgaaacca ctcaacttta ttccataaga tgatcattag cattacgttcaaaaacgagta 1920
 caaataactt aagtaataac acgagccata tgaccattag caagatgaca agcaagttaa 1980
 gaccaatcag ctccatcat agcatcagct taacgttccat cattaataag agtagaaattt 2040
 tcacccatcaa gacaataacg atttcgtgc gtcgtccaa cgccggcgga cctgacggta 2100
 gcaacaagaa tatagcacga gccgcggagt tcatttcgtt actttgtata tcactcacaa 2160
 ctattgcgaa gcgcgttgcgtt gaaaaatca taaggaaaatggtaat tattggtagt 2220
 attcgtttgg taaagtagag gggtaattt ttcccttta tttgttcat acattttttaa 2280
 attcgtttgc ctccctttt ggaaagctat acttcggagc actgttgcgc gaaggctcat 2340

tagatataatt ttctgtcatt ttcccttaacc caaaaataag ggaaagggtc caaaaagcgc 2400
 tcggacaact gttgaccgtg atccgaagga ctggctatac agtgcataca aaatagccaa 2460
 gctgaaaata atgtgttagct atgttcgtt agtttggctt gcaagatataaaaacgaggt 2520
 cgaaaaatatt tatggcatt attatgcaga gcatcaacat gataaaaaaaaaaacatgtgaa 2580
 tattccctca aaaatccccg cgtgcttggc cggccgtat taataatgtc aactttgcct 2640
 atttcttctg tgcattttc ctcttctaca tcaccattag tcgtggacga caaagtctca 2700
 accaagcccg acgttatcag acatacaatg aattcaatg ctcttatttg gggagatcaa 2760
 ttcttgaccc atgtgagcc tgaagattt gttatgaaga aacaattgtt ggaggaatta 2820

aaagaggaag ttaagaagga attgataact atcaaagggtt caaatgagcc catgcagcat 2880

gtgaaattga ttgaattaat ttagtgcgtt caacgtttag gtatacgta ccattttgaa 2940
 gaagagatcg aggaagcttt gcaacatata catgttacct atggtaaca gtgggtggat 3000
 aaggaaaatt tacagagtat ttcatgtgg ttcatgtgt tgcgtcaaca gggcttaac 3060
 gtctccctcg gcgtttcaa agactttatg gacgaaaaag gttaatcaa agagtctta 3120
 tgcaatgtatc cacaaggaat attagccta tatgaagctg cattatgag gttgaagat 3180
 gaaaccatct tagacaatgc ttggaaattc acaaaagttc atttagatcatagcaaaa 3240
 gaccatctt gcgattcttc attgcgtaca caaatccatc aagccttaaa acaacctta 3300

agaaggagat tagcaaggat tgaagcatta cattacatgc caatctacca acagggaaaca 3360
 tctcaatgtatc aagtattgtt gaaatttagcc aagtggatt tcagtgttt gcagtctatg 3420
 cataaaaagg aattgtcaca tatctgtaa tggtggaaag attttagatc acaaaataag 3480
 ttaccttatg taegtatcg ttgtgtcgaa ggctacttct ggatattgtc catatactat 3540
 gagccacaac acgctagaac aagaatgtt ttgatgaaaa catgcgtgt gtttagtagtt 3600
 ttggacgata ctttgataa ttatggaaaca tacgaagaat tggagattt tactcaagcc 3660
 gtcgagagat ggtctatctc atgcttagat atgttgcccg aatatatgaa attaatctac 3720
 caagaattag tcaatttgca tgtggaaatg gaagaatctt tggaaaagga gggaaagacc 3780

tatcagattc attacgttaa ggagatggct aaagaattag ttcgttaatta ctttagtagaa 3840
 gcaagatggt tgaaggaagg ttatatgcct actttagaaag aatacatgtc tggttctatg 3900
 gttactggta ctatggttt gatgattgca aggtctatg ttggcagagg agacattgtt 3960
 actgaagaca cattcaaatg gtttctagt tacccaccta ttattaaagc ttccgtgtta 4020
 atagaatgtatc taatggacga tattgtatct cacaaggaag aacaagaaag aggacatgtg 4080
 gcttcatcta tagaatgtta ctctaaagaa tcaggtgctt ctgaagagga agcatgtgaa 4140
 tatatttagta gggaaatgtt ggtatgcctgg aaagtaatca atagagaatc tttgcgtcca 4200
 acagccgttc cttcccttt gttatgcca gcaataaact tagctagaat gtgtgaggc 4260

ttgtactctg ttaatgtatgg tttactcat gctgagggtg acatgaaatc ttatatgaa 4320
 tccttctcg ttcatcctat ggtcggttga gcttagtaag atccgcctta accggaaaagg 4380
 aaggagttttag acaacctgaa gtcttaggtcc ctatttatc tttttagatc atgttagat 4440
 taagaacgtt atttatattt caaattttc tttttttct gtacagacgc gtgtacgcat 4500
 gtaacattat actgaaaacc ttgcttgaga aggtttggg acgctcgaag aacctgcagg 4560
 ccgcgagcgc cgttaattcgc gggtgaaagg accttgtgaa ggaatatgaa gttgatagct 4620
 caaaggattttagttaactgatt atgagtcaat gtatcaagga tactatggc 4680
 tgcttaatttcaattctgtc ttgaaatgtt gaaatgtatac tacgaaaaat tttttttgt 4740

ttcttttct atcttattata cataaaactt catacacagt taagattaaa aacaactaat 4800
 aaataatgcc tatcgcaaat tagcttatga agtccatgtt aaattcgtgt ttcctggcaa 4860
 taatagatcg tcaatttggtt gctttgtgtt agttttattt tcaaataatt ggaatactag 4920
 ggattigatt ttaagatctt tattcaaattt ttttgcgtt aacaaacagc agccagtc 4980
 acccaagtct gttcaaatg tctcgtaact aaaatcatct tgcaatttct ttttggaaact 5040
 gtcaatttgc tcttgagtaa tgtcttcg taacaaagtc aaagagcaac cgccgccacc 5100
 agcaccggta agtttgggg agccaattct caaatcatcg ctcagatttt taataaggtc 5160
 taatccagga tgagaaacac cgattgagac aagcgttca tgatttattt ttatcaattc 5220

caatagttgt tcatacagtt cattatttttgc tcgtcatcg tgccttaca 5280
 tttacttaac ttagtcatga tctctaagcc ttgttagggca cattcacccca tggcatctag 5340
 aattgggttc ataacttcag gaaatttctc ggtgaccaac acacgaacgc gagcaacaag 5400
 atctttgtt gaccttggaa ttctgtata ggtttaggatc attggaaatgg ctggaaatc 5460
 atctaagaac taaaattgt ttgtgtttat tggccatata tgtgagtctt ttcaatag 5520
 cagggcatta ccataagtgg ccacagcgatc atctattcct gaaggggtac cgtgaataca 5580
 ctttcacccat atgaggccc attgattcac tatagtctt tcgtttctg acagcttcc 5640
 caagtcatttta gatcttattt acccccccaaa gtagggccata gctaaggcca gtgatacaga 5700

aatagaggcg cttagccca acccagcacc gatggtaaa gtagacttta aagaaaactt 5760
 aatatttttgc gcatggggc ataggcaac aaacatatac agaaacaaa acgttgtcatg 5820
 gtagtggaaat gattcgata gtttagctaa caacggatcc aaaagactaa cgagttcctg 5880
 agacaagcca tcgggtggctt gtttagccctt ggccatattt tggagtttta ctgtatcctc 5940
 ggtgatggca ttgaaatcat tggatggatca cttatgatata aagctaatgt ccggaaatgc 6000
 caattcaata gtagtgggtg cagatgactc gcttatttgc agttaggttc tcaacgcaga 6060
 cacactagca ggcacggcag gcttggtaa cacagcagag tggccatcaa aaataataac 6120
 ctttcccggt gcagaagtttta agaacggtaa tgacatcggtt gttaaaccc cagccctgg 6180

cggg 6184<210> 118

<211> 6042

<212> DNA

<213> Artificial Sequence

<220>

<223> Phase III marker recycling stitch product

<400> 118

gacggcacgg ccacgcgttt aaaccgccaa aagtgcagct cagagcccccc agcaccagta 60

ttagagggtca taatgggctg cgaagcctgc taaaatgcag tggaggccgt gtacccttg 120
ccaaattggc tatttggaaatc ggcagagaac ctgggtcccg ttcttagagac cctgcgagcg 180
tgtccccgtg ggttctggga gctctaactc cgccaggaaact acaaacccttg cttacacaga 240
gtgaacctgc tgccctggcgt gctctgactc agtacatttc atagcccatc ttcaacaaca 300

ataccgactt accatcctat ttgcttgcc cttttcttt tccactgcac ttgcacatcg 360
aaggcgttat cggtttggg ttttagtgcct aaacgagcag cgagaacacg accacgggct 420
atataaatgg aaagtttagga caggggcaaa gaataagagc acagaagaag agaaaagacg 480
aaaagcagaa gcggaaaaacg tatcacgtc acatatcaca cacacacgct cacacgccc 540
cagggggagc ctcactatta ttccataaga tgatcattag cattacgttc aaaacgagta 600
caaataactt aagtaataac acgagccata tgaccattag caagatgaca agcaagttaa 660
gaccatatcag ctccatcat agcatcagct taacgttcac cattaataag agtagaaatt 720
tcacaccttcaa gacaataacg atttcgtgg taataactga tataattaaa ttgaagctt 780

aatttgtgag ttttagtatac atgcattac ttataataca gtttttagt tttgctggcc 840
gcatcttc aaatatgttt cccagcctgc ttttctgtaa cgttcacccct ctaccttagc 900
atcccttccc tttgcaaata gtccttcc aacaataata atgtcagatc ctgttagagac 960
cacatcatcc acggttctat actgttgacc caatgcgtct cccttgtcat ctaaaccac 1020
accgggtgtc ataatcaacc aatcgtaacc ttcatctttt ccacccatgt ctctttgagc 1080
aataaagccg ataacaaaat ctgtcact cttcgcaatg tcaacagtac ccttagata 1140
ttctccagta gcttagggagc cttgtcatga caattctgtct aacatcaaaa ggcctctagg 1200
ttcttttgtt acttcttcgg cgcgcgttcaaaaccgtta acaataccgtggccaccac 1260

accgtgtcga ttcgtaatgt ctgccattc tgctattctg tatacacccg cagagtactg 1320
caatttgact gtattaccaa tgtcagcaaa ttttctgtct tcgaagagta aaaaattgtt 1380
cttggcgat aatgcctta gcggcttaac tgtgccctcc atggaaaaat cagtcaagat 1440
atccacatgt gtttttagta aacaatttt gggacctaact gcttcaacta actccagtaa 1500
ttccttggtg gtacgaacat ccaatgaagc acacaagttt gtttgccttt cgtgcatgt 1560
attaaatagc ttggcagcaa caggactagg atgagtagca gcacgttct tatatgtac 1620
tttcgacatg atttatcttc gttccctgca ggttttgtt ctgtgcagtt gggtaagaa 1680
tactggcaca tttcatgtt cttcaaacacc acatatgcgt atatataccca atctaagtct 1740

gtgctccttc cttcgtttcc cttctgctc ggagattacc gaatcaaaaa aatttcaaag 1800
aaacctggaaat caaaaaaaaaaag aaaaaaaaaaaa aaaaagatga attgaaaagc tttatggacc 1860
ctgaaaccac tcactattat tccataagat gatcatttagc attacgttca aaacgagtac 1920

aaataactta agtataaca cgagccatat gaccattgc aagatgacaa gcaagttaag 1980
 accaatcagc ttccatcata gcatcagctt aacgttcacc attaataaga gtagaaattt 2040
 caccttcaag acaataacga tttcgtcg ctcgtccac gccggccgac ctgacggtag 2100
 caacaagaat atagcacgag ccgcggagtt catttcgtt ctttgatata cactcacaac 2160
 tattgcgaag cgcttcagtg aaaaaatcat aaggaaaagt tgtaaatattt attggtagta 2220

ttcgttggt aaagtagagg gggtaatttt tccccttat tttgttcata cattctaaa 2280
 ttgccttgcc tctcctttt gaaagctata cttcggagca ctgttgagcg aaggctcatt 2340
 agatataattt tctgtcattt tccttaaccc aaaaataagg gaaagggtcc aaaaagcgt 2400
 cggacaactg ttgaccgtga tccgaaggac tggctataca gtgttaccaa aatagccaag 2460
 ctgaaaataa tggtagcta tggtagttt gttggcttag caaagatata aaagcaggc 2520
 gaaaaatattt atggcatta ttatgcagag catcaacatg ataaaaaaaaa acagttgaat 2580
 attccctcaa aaatccccgc gtgcggcc ggccgtatt aataatgtca actttgccta 2640
 tttctctgt gtcatttcc tcttctacat caccattgt cgtggacgac aaagtctcaa 2700

ccaagccga cgttatcaga catacaatga atttcaatgc ttctatttg ggagatcaat 2760
 tcttgaccta tggatggctt gaagatttag ttatgaagaa acaatttagt gaggaaattaa 2820
 aagaggaagt taagaaggaa ttgataacta tcaaagggtc aaatgagccc atgcagcatg 2880
 tggaaatttattt tggatattt gatgctgttc aacgtttagg tatacgatc cattttgaag 2940
 aagagatcga ggaagcttgc caacatatac atgttaccta tggtaacag tgggtggata 3000
 aggaaaattt acagagtattt tcattgttgtt tcaggttgtt gctcaacag ggcttaacg 3060
 tctcctctgg cgtttcaaa gactttatgg acgaaaaagg taaattcaaa gagtctttat 3120
 gcaatgatgc acaaggaata ttagccttat atgaagctgc atttatgagg gttgaagatg 3180

aaaccatctt agacaatgct ttggaaattca caaaaggttca ttttagatatac atagcaaaag 3240
 acccatcttgc cgtttttca ttgcgtacac aaatccatca agcctaaaaa caaccctttaa 3300
 gaaggagattt agcaaggattt gaagcattac attacatgcc aatctaccaa cagggaaacat 3360
 ctcatgtga agtattgttg aaattagccca agttggattt cagtgtttt cagtttatgc 3420
 ataaaaagga attgtcacat atctgttaatg ggtggaaaga ttttagattt caaaataagt 3480
 taccttatgtt acgtgtatcgtt gttgtcgaaag gctacttctg gatattgtcc atatactatg 3540
 agccacaaca cgcgttggaaaca agaatgtttt tggatggaaac atgcgttgg ttagtagttt 3600
 tggacgatac ttttgataat tatggaaacat acgaaagattt ggagatttt actcaagccg 3660

tcgagagatg gtctatctca tgcttagata tggatggccgaa atatatgaaa ttaatctacc 3720
 aagaatttagt caatttgcattt gttggaaatgg aagaatctt ggaaaaggag ggaaagacct 3780

atcagattca ttacgttaag gagatggcta aagaattagt tcgtaattac ttagtagaaag 3840
 caagatggtt gaaggaaagg tatatgccta cttagaaga atacatgtct gtttctatgg 3900
 ttactggta cttatggttt atgattgcaa ggtcctatgt tggcagagga gacattgtta 3960
 ctgaagacac aticcaaatgg gtttctatgt acccacat tattaagct tcctgtgtaa 4020
 tagtaagatt aatggacgat attgtatctc acaaggaaga acaagaaaaga ggacatgtgg 4080
 cttcatctat agaatgttac tctaaagaat caggtgcttc tgaagagggaa gcatgtgaat 4140

atattatgttaga gaaagtttag gatgcctggaa aagtaatcaa tagagaatct ttgcgtccaa 4200
 cagccgttcc ctccctttt ttaatgccag caataaactt agctagaatg tgtgaggct 4260
 tgtactctgt taatgtatgt tttactcatg ctgagggtaga caigaaatct tataatgaatg 4320
 ccttcctcgat tcacccatg gtcgttttag ctagctaaga tccgctctaa ccgaaaagggaa 4380
 aggagttaga caacctgaag tctaggccc tattttttt tttatagtt tgtagtatt 4440
 aagaacgtta ttatatttc aaattttct tttttctg tacagacgcg tgtacgcgt 4500
 taacattata ctgaaaacct tgcttgagaa ggtttggaa cgctcgaaga acctgcaggc 4560
 cgcgagcgcc gatcttgtgc taagtggtgc tgtagacag ctacgaataa gaaaaattccg 4620

aagcatgttag ggaggtcatg atatgaaaaa gcaaaagagt aggcatcaaa aagtttctca 4680
 ttcaagtggta aactgctgtt aaaattaaga tatttataaa ttgaagctt gtcgttccga 4740
 ccaataccgtt agggaaacgtt aaattagcta ttgtaaaaaa agggaaaagaa aagaaaagaa 4800
 aaatgttaca tatcaatttgc atcttattcc ttggtagac cagtcttgc gtcaatcaaa 4860
 gattcgtttgc ttcttgtgg gcctgaacccg acttgagtta aaatcactt ggcaacatcc 4920
 ttttgcactt caagatccaa ttacgtgca gttaaaggtag atgattcaaa ttgatggttg 4980
 aaaggctcaa gctgctcagt agtaaatttgc ttgtcccatc caggaacaga gccaaacaat 5040
 ttatagataa atgcaaaagag ttgcactca ttgcacttca agtagtacaa cacagcattt 5100

ggacctgtcat caaacgtgta tgcaacgatt gtttctccgtt aaaactgatt aatgggtgg 5160
 caccaactgat tgatacgctt ggaagtgtca ttcatgtaga atattggagg gaaagagtcc 5220
 aaacatgtgg catggaaaga gttggaaatcc atcattgttt ctttgcaaa ggtggcgaaa 5280
 tcttttcaa caatggctt acgcatgact tcaaatctt ttggtagac atgttcaattt 5340
 ctttctttaa atagttcgga ggttgccacg gtcaattgca taccctgagt ggaactcaca 5400
 tccttttaa tatcgctgac aactaggaca caagcttca tctgaggcca gtcagagctg 5460
 tctgcgattt gtactgccat ggaatcatga ccatttcag ctttccat ttcccaggcc 5520
 acgtatccgc caaacaacga tctacaagctt gaaccagacc ctttcttgc tattcttagat 5580

atttctgaag ttgactgtgg taattggat aacttagcaa ttgcagagac caatgcagca 5640

aagccagcag cgaggagaagc taaaccagct gctgttagaa agttatccc ggagacaatg 5700
tggagttcc atttagataa tgtggcaat gaggcgct tcgattccat ttccttcct 5760
aattggcgta ggtcgccag acaatttga gttcttcat tgtcgatgct gtgtggttct 5820
ccatttaacc acaaagtgtc gcgttcaaac tcaggcgag tagcccgaga ggtcaacgtt 5880
ctgaggtcat ctgcgataa agtcaactgat atggacgaat tggtggcag attcaacttc 5940
gtgtccctt tcccccaata ctttaggggtt gcgtatgttgc cgggtgcggt aacggatgct 6000
gtgtaaacgg

tcatcggtt taaaacccca gcgcctggcg gg 6042<210> 119

<211> 5213

<212> DNA

<213> Artificial Sequence

<220>

<223> STE5 knockout stitch product

<400> 119

gacggcacgg ccacgcgtt aaaccgccac gaagtgactg acagaatact gacatcagct 60
gattctcat agagctgttt ctctgataac acgttgtttg aacatcgaca agatgaaaat 120
ctagaagtat caagttcct taaaaggat atataacaga ttctaaaact gacagaaata 180
tttcgagtga agaagaagcg taaatattt gatcttcgg cagttctact ctgatacatt 240
tttgaagtag gagagtcat tagaaggcgt attgctaat agtagaaagc aggctgtgc 300

acatgaatta attaaaaat ataaaggtag tgattagacg acacatgtcc ataggtaacc 360
tgtcataatt ttgaacaatt tcccttctt tctttttt tttgggtgc ggcgatgt 420
agcttgtaa ttacacatc atgtactttt ctgcatcaaa atatgaaagg cgatagtagc 480
taaagaaaat accgagaatt tcctcgaaaa gttgacgaca aaagaaaggc ataaaaaagt 540
aatttggaaaa tattttaaaa ctgttttaac ccatctagca tccgcgctaa aaaaggaaga 600
tacaggatac agcggaaaca acttttaagc tcacacgcgg ccagggggag ccatgcgtcc 660
atcttacag tcctgtctta ttgttcttgc tttgtcccc gtaaaatact gttacttggt 720
tctggcgagg tattggatag ttccctttta taaaggccat gaagctttt cttccaatt 780

ttttttttt cgtcattata gaaatcatta cgaccgagat tcccggtaa taactgat 840
aattaaattt aagctctaattt ttgtgagttt agtatacatg catttactta taatacagt 900
tttagttt gctggccgca tcttctcaaa tatgttccc agctgttctt tctgtacgt 960
tcaccctcta ccttagcatc cttccctt gcaaatagtc ctttccaac aataataatg 1020
tcagatcctg tagagaccac atcatccacg gttctatact gttgacccaa tgcgtctccc 1080
ttgtcatcta aacccacacc ggggtgcata atcaaccaat cgtaacccttc atcttcca 1140

cccatgtctc tttagcaat aaagccgata acaaaatctt tgcgctctt cgcaatgtca 1200
acagtacct tagtatattc tccagtagct agggagccct tgcataaca ttctgctaac 1260

atcaaaaggc ctctaggttc ctttgtaact tcttcggccg cctgctcaa accgctaaca 1320
atacctgggc ccaccacacc gtgtgcattc gtaatgtctg cccattctgc tattctgtat 1380
acacccgcag agtactgcaat tttactgtta ttaccaatgt cagcaaattt tctgtctcg 1440
aagagtaaaa aattgtactt ggccgataat gccttagcg gcttaactgt gccctccatg 1500
aaaaaaatcg tcaagatatac cacatgttt ttttagtaaac aaattttggg acctaatact 1560
tcaactaact ccagtaattc ctgggtggta cgaacatcca atgaagcaca caagttgtt 1620
tgctttcgt gcatgatatt aaatagcttgcagcaacag gactaggatg agtagcagca 1680
cgttccttat atgtacgttt cgacatgatt tatcttcgtt tcctgcaggt ttttgttctg 1740

tgcagttggg ttaagaatac tggcaattt catgtttctt caacaccaca tatgcgtata 1800
tataccaatc taagtctgtc ctcccttcgtt cgttcttcgtt tctgctcgaa gattaccgaa 1860
tcaaaaaaaat ttcaaaagaaa ccgaaatcaa aaaaaagaac aaaaaaaaaa aagatgaatt 1920
gaaaagctt atggaccctg aaaccacagc cacattaacc ttctttgatg gtcaaaactt 1980
atccttcacc ataaatatgc ctgcaaaaaa aggttaattaa catatataga attacattat 2040
ttatgaaata tcatactat ctcttagcat cttaatctt tttctacatc agataacttc 2100
ggttgttat catcgtctgtt atgtcatca attggcgcag tagcctcaat ttcaacgtcg 2160
tttactctg gtgtttgttc atgtgcagat ccatgagatg atgaaccgct cgtccaaacgc 2220

cggccggacct cttaatttgc tgcgttaacc cgtacatgcc caaaataggg ggcgggttac 2280
acagaatata taacatcgta ggtgtctggg tgaacagttt attcctggca tccactaaat 2340
ataatggagc ccgtttta agctggcatc cagaaaaaaa aagaatccc gcaccaaaat 2400
attgtttct tcaccaacca tcaattttata ggtccattct cttagcgaa ctacagagaa 2460
caggggcaca aacaggcaaa aaacgggcac aacctcaatg gagtgatgca acctgcctgg 2520
agtaatgtat gacacaaggc aattgaccca cgcatttgc tatctcattt tcttacacct 2580
tcttacact tctgtctctt ctgatttggaa aaaagctgaa aaaaaagggtt gaaaccagtt 2640
ccctgaaattt attccctac ttgactaata agtataaaa gacggtaggtt attgattgtt 2700

attctgtaaa tctatttctt aaacttctta aattctactt ttatagtttgc tctttttttt 2760
agttttaaaa cccaagaac ttagtttgcataaaacacac ataaacaaac aaattaataa 2820
tggctgcaga ccaattggtg aagactgaag tcaccaagaa gtctttactt gctcctgtac 2880
aaaagggctt tacaccagtt ttaaccaata aaacagtcat ttctggatgc aaagtcaaaa 2940
gtttatcatc tgcgaatcg agctcatcg gacccatc atcttagtgcgaa gaagatgatt 3000

cccgcgatat tgaaagcttg gataaaaaaa tacgtccttt agaagaattt gaagcattat 3060
taatgtgg aaatacaaaa caattgaaga acaaagaggt cgctgccttg gttattcacg 3120
gtaaatgttacc ttgttagcgt tttggaaaaaa aatttagtgta tactacgaga ggccgttgcgg 3180

acgcaatgg tatgaatatg atttctaagg gtgtcgaata ctcataaag caaatggtag 3720
aagagtatgg ctgggaagat atggaggttg tctccgttc tggttaactac tgtaccgaca 3780
aaaaaccagc tgccatcaac tggatcgaag gtctgtggtaa gagtgtcgac gcagaagcta 3840
ctattcctgg tcatgttgct agaaaaagtgt taaaaagtga tgttccgca ttgggttgagt 3900
tgaacattgc taagaatttg gttggatctg caatggctgg gtcgttggt ggatttaacg 3960
cacatgcagc taatttatgt acagctgttt tcttggcatt aggacaagat cctgcacaaa 4020
atgtcgaaag ttccaactgt ataacattga tgaaagaagt ggacggtgat ttgagaattt 4080
ccgttatccat gccatccatc gaagtaggta ccatcggtgg tggtactgtt ctagaaccac 4140

aagggtgccat gttggactta ttagtgtaa gaggcccaca tgctaccgct cctggtagcca 4200
acgcacgtca attagcaaga atagttgcct gtggcgctt ggcagggtaa ttatccttat 4260
gtgctgcctt agcagccggc catttggttc aaagtcatat gacccacaac aggaaacctg 4320
ctgaaccaac aaaacctaac aatttggacg ccactgatat aaatcgttt aagatgggt 4380
ccgtcacctg cattaaatcc taaacttagt catacgcat tggattctc ttgaaaaaga 4440
agcacaacag caccatgtt tacgtaaaat atttacttta tagttgtac gtcataattt 4500
cttccatatt acaagttcggt gcataatata gaaagaattct gtttgtaa ttgtcataac 4560
taaacctgcag gccgcgagcg ccgatagttt acactaaattt ttatgcataataaaaaagaa 4620

```
agcatccccg caaactttc gtaactacat attgttacat agttgattc cgtgaattg 4680  
aagtggacgc agttcttctt agtcttcaa gttcatagta aatagacatt acccaaagat 4740  
ctctttcttg tcttgatctt gccataaaa ccattgactt gccgctcaca cctaacttt 4800  
tagtggaaatg gatcttatct gtgttacttg gaacattaga gttattcaag tcagttccg 4860
```

gagcagaagg tggtaata ttattatctt gtctaccata atttgcgtt tattgtttt 4920
 cattccctt ctctgttaag cgattgctag aaagggcacg cttgttcca aaccaaagcg 4980
 taaagcatcg cgaactctcg tttctacag atcgccatcc gtcataa actcgtgg 5040
 gagcgigggta tccatagttt atttcgtcaa aagtacgatc tctctgcaga aggtcttagtt 5100

ctgttggtt cccagagtat aggttagcaat cgtcaatcg aatggttaca taatgagcat 5160
 actccaaac ttccttagca aaacccggtg tttaaacccc agcgcctggc ggg 5213<210> 120
 <211> 5417

<212> DNA

<213> Artificial Sequence

<220>

<223> IME1 knockout stitch product

<400> 120

gacggcacgg ccacgcgtt aaaccgccat ccaattccctc tattatatgc atacat 60
 ttgttgatt atctatgctg tttataatat cgtatatagt taatgaataa ccctacaaca 120
 cgaagggcag taatatatttc tgattctcg ttgaaatttc aaattttca agctggtctt 180
 actcggcagg taggaacttc ccagtggcgc tgagtttctt ctccgaaagg tatttatcat 240

tatgcacgac aagtgcgatt caatcgaaag attataaatt tcgcgatgaa caacatctga 300
 taaaaaaaaaaa attaaaaaac aataatctaa atgatatgta tgggttaaaa aggatgtatg 360
 gatggagggt tggcataaaa atgaaaggca gaagatggc gcgtaaaaag gtatagat 420
 cgtacgtcac cgtcacaaaa atcactcata gaatgcacta tcatccttac aataccatac 480
 cagccgcaag aaaaaaagaa aaaaaaatca attcatatca tatattatct atatcatgct 540
 gttcttccg ccacgctcac acgcggccag ggggagcccg ttgagccatt agtataatt 600
 tgcttacctg tattcctta ctatcctct ttttctctt ctgataaat gtatgtatg 660
 tgcgtatata gttcgtcta ccctatgaac atattccatt ttgtaatttc gtgtcggttc 720

tattatgaat ttcatatata aagtttatgt acaaataatca taaaaaaaaaaa gaatctttt 780
 aagcaaggat ttcttaact tttcggcga cagcatcacc gacttcggtg gtactgttg 840
 aaccacctaa atcaccagtt ctgatacctg catccaaac cttttaact gcatctcaa 900
 tggccttacc ttcttcaggc aagttcaatg acaattcaa catcatgca gcagacaaga 960
 tagtggcgat aggtcaacc ttattcttg gcaaattctgg agcagaaccg tggcatgg 1020
 cgtacaaacc aaatgcgggtt ttcttgtctg gcaaagaggc caaggacgca gatggcaaca 1080
 aacccaagga acctggata acggaggctt catcgagat gatatcacca aacatgttgc 1140

tggtgattat aataccattt aggtgggaa ggttttaac taggatcatg gcggcagaat 1200

caatcaattt atgttgaacc ttcaatgttag ggaattcggtt ctgtatgggtt tcctccacag 1260
 ttttctcca taatcttcaa gaggccaaaa gattagctt atccaaggac caaataggca 1320
 atggggctc atgtttagg gccatgaaag cggccattct tggatctt tgacttctg 1380
 gaacgggtta ttgttcaactt tcccaagcga caccatcacc atcgcttcc tttcttctac 1440
 caaagtaaat acctcccact aattctctga caacaacgaa gtcatcacct ttagcaaatt 1500
 gtggcttgc tggagataag tctaaaagag agtcggatgc aaagttacat ggtcttaagt 1560
 tggcgtaaca ttgaagttct ttacggattt ttgttcaagg ttaacactac 1620
 cggtacccca tttaggacca gccacagcac ctaacaaaac ggcataacc ttcttgagg 1680

cttccagcgc ctcatctgga agtgggacac ctgttagcatc gatagcagca ccaccaatta 1740
 aatgatttc gaaatcgaac ttgacattgg aacgaacatc agaaatagct ttaagaacct 1800
 taatggcttc ggctgtgatt tcttgaccaa cgtggtcacc tggcaaaacg acgatcttct 1860
 tagggcaga catagggca gacattagaa tggtatatcc ttgaaatata tatatatatt 1920
 gctgaaatgt aaaaggttaag aaaagttaga aagtaagacg attgctaacc acctattgga 1980
 aaaaacaata ggtccttaaa taatattgtc aactcaagt attgtatgc aagcatttag 2040
 tcatgaacgc ttctctattc tatatgaaaaa gccggttccg gcctctcacc tttcctttt 2100
 ctcccaattt ttcatgttcaa aaaggtatata gctcaggcg acctctgaaa ttaacaaaaa 2160

atttccagtc atcgaatttgc attctgtcgat atagcgcccc tggatgttct cgttatgttgc 2220
 aggaaaaaaa taatgggtgc taagagatttgc gaactcttgc atcttacgtt acctgagtt 2280
 tcccacagtt aactgcggtc aagatatttgc ttgaatcagg cgccctcgctc gtccaaacgcc 2340
 ggcggaccc ttttaatttgc gctgttaccc gtacatgccc aaaaatagggg gcggttaca 2400
 cagaatataat aacatcgtag gtgtctgggtt gaacagtttgc ttcctggcat ccactaaata 2460
 taatggagcc cgctttttaa gctggcatcc agaaaaaaaaa agaatcccac cacaaaaata 2520
 ttgttttttttccat caccacat cagttcatag gtccatttgc tttagcgac tacagagaac 2580
 aggggcacaa acaggcaaaa aacgggcaca acctcaatgg agtgtatgc acctgcctgga 2640

gtaaatgttgc acacaaggca attgacccac gcatgtatct atctcatttt cttacaccc 2700
 ctattaccc ttgttgc tggatgttgc aagatgttgc aaaaatgggg aaaccatgtt 2760
 cctgaaattttccat tggatgttgc aacatgttgc ttcctggcat ccactaaata 2820
 ttgttgcattt ctatttgcattt aacttgcattt attcttgcattt ttttttttttccat 2880
 gtttttttttccat tggatgttgc aacatgttgc ttcctggcat ccactaaata 2940
 gtcaacttttgc ctttttttttccat tggatgttgc ttcctggcat acatcaccat tagtcgttgc 3000

cgacaaagtc tcaaccaagc ccgacgttat cagacataca atgaattca atgcttctat 3060
 ttggggagat caattcttga cctatgatga gcctgaagat ttagttatga agaaacaatt 3120

agtggaggaa taaaagagg aagttaaagaa ggaattgata actatcaaag gttcaaatga 3180
 gcccattgcag catgtgaaat tgattgaatt aattgtatgt gttcaacgtt taggtatagc 3240
 ttaccatttt gaagaagaga tcgaggaagc tttgcaacat atacatgtt cctatggta 3300
 acagtgggtg gataaggaaa atttacagag tatttcatgt tggttcaggt tggtgcgtca 3360
 acagggtttt aacgtctcct ctggcggtt caaagactt atggacgaaa aaggtaaatt 3420
 caaagagtct ttatgcaatg atgcacaagg aatattagcc ttatatgaag ctgcattat 3480
 gaggttigaa gaigaaacca tcttagacaa tgctttggaa ttcacaaaag ttcatttiga 3540
 tatcatagca aaagacccat cttgcgattc ttcattgcgt acacaaatcc atcaagcatt 3600

aaaacaacct ttaagaagga gattgaagca ttacattaca tgccaatcta 3660
 ccaacaggaa acatctcatg atgaagtatt gttgaaatata gccaaggttgg atttcagtgt 3720
 tttgcagtct atgcataaaa aggaattgtc acatatctgt aagtggtgaa aagatttiga 3780
 tttacaaaat aagttacattt atgtacgtga tcgtgtgtc gaaggctact tctggatatt 3840
 gtccatatac tatgagccac aacacgctag aacaagaatg ttttgatga aaacatgcat 3900
 gtggtagta gtttgacg atacttttga taattatgga acatacgaag aattggagat 3960
 ttttactcaa gccgtcgaga gatggctat ctcatgetta gatatgttgc ccgaatatata 4020
 gaaatataatc taccatcata tagtcaattt gcatgtggaa atggaaat ctttggaaaa 4080

ggagggaaag acctatcaga ttcattacgt taaggagatg gctaaagaat tagtcgtaa 4140
 ttacttagta gaagcaagat ggttgaagga aggttatatg cctacttttag aagaatacat 4200
 gtctgtttct atggttactg gtacttatgg tttgatgatt gcaaggctt atgtggcag 4260
 aggagacattt gttactgaag acacattcaa atgggtttct agttacccac ctattattaa 4320
 agctccctgt gtaatagtaa gattaatgga cgatattgtt ttcacacaagg aagaacaaga 4380
 aaggagcatgt gtggcttcat ctatagaatgt ttactctaaa gaatcagggtt cttctgaaga 4440
 ggaagcatgt gaatataatata gtaggaaatgt tgaggatgcc tggaaatgaa tcaatagaga 4500
 atctttgcgtt ccaacagccg ttcccttccc tttgttaatg ccagcaataa acttagctag 4560

aatgtgtgag gtcttgtact ctgttaatga tggttttact catgctgagg gtgacatgaa 4620
 atcttatatg aagtccttct tcgttcatcc tatggtcgtt tgagctatgt aagatccgt 4680
 ctaaccgaaa aggaaggagt tagacaacctt gaagtctagg tccctatata tttttttata 4740
 gttatgttag tattaagaac gttatataat tttcaatgtt ttctttttt tctgtacaga 4800
 cgcgtgtacg catgtacat tatactgaaa accttgctt agaagggtttt gggacgctcg 4860

aagaacctgc aggccgcgag cgccgatctc gaaaagtact acaatcttcc cccttcctc 4920
 aaaatatatac cattcacact catttctta tttccattgt ctactcaaa ttgctaagaa 4980
 tttgtgtatt tgcatatata tatatttat ataggtatat atatgtattc aatgtctcaa 5040

gctccatgac ataataccgt agcggttatta gccttatcgt atgtcgat gggaaaggag 5100
 attcgttta atcttggaaa accttcgttag cgaataatgc gacataaaatc ttgagagagt 5160
 acatcaccaa attcacccgt ttaaaccgca ccatcgtgct ttgcattctt attcctttg 5220
 cctacactaa aattatttagc atttctctaa atgagctcca gtgaagacga agacgacaag 5280
 ttcttgtatg gtccgactc cgaatttagca ctacccat ctaaacgatc aagagatgat 5340
 gaagcagacg caggcgctc cagtaatcct gatatagtta aaaggcaaac ggtgtttaaa 5400

ccccagcgcc tggcggg 5417<210>

121

<211> 1737

<212> DNA

<213> Artificial Sequence

<220>

<223> beta-farnesene synthase of Artemisia annua codon-optimized
 for expression in Saccharomyces cerevisiae

<400> 121

ggatccatgt caacttgcc tatttcttct gtgtcatttt cctcttctac atcaccattta 60
 gtcgtggacg acaaagtctc aaccaagccc gacgttatca gacataaat gaatttcaat 120
 gcttcttattt ggggagatca attcttgacc tatgtatgagc ctgaagatTTT agttatgaag 180
 aaacaatttag tggaggaattt aaaagaggaa gttaagaagg aattgataac tatcaaaggat 240
 tcaaatgagc ccatgcagca tgtgaaattt attgaattaa ttgtatgtgt tcaacgttta 300

ggtatacgctt accatTTGAGAAGAGATC gaggaagctt tgcaacatTTT acatgttacc 360
 tatggtaac agtgggtgga taaggaaat ttacagatgt tttcatgtg gttcaggTTT 420
 ttgcgtcaac agggctttaa cgtctcctct ggcgtttca aagactttt ggacgaaaaaa 480
 ggtaaattca aagagtctt atgcaatgt gcacaaggaa tattagcctt atatgaagct 540
 gcatttatga gggttgaaga tggaaaccatc ttagacaatg ctttggaaattt cacaaaaggTTT 600
 catttagata tcatacgaaa agacccatct tgcgattttt cattgcgtac acaaatccat 660
 caaggcttaa aacaaccttt aagaaggaga ttagcaagga ttgaagcattt acattacatg 720
 ccaatctacc aacaggaaac atctcatgtt gaagtattgt tgaaatttagc caagttggat 780

ttcagtgTTT tgcaGTCTAT gcataaaaag gaattgtcac atatctgtaa gtggtgaaa 840

gatttagatt tacaaaataa gttaccttat gtacgtgatc gtgttgtcga aggctacttc 900
 tggatattgt ccatatacta tgagccacaa cacgctagaa caagaatgtt tttgatgaaa 960
 acatgcgtt ggttagtagt ttggacatc actttgata attatggAAC atacgaagaa 1020
 ttggagattt ttactcaagc cgtcgagaga tggctatct caigcttaga tatgttgccc 1080
 gaatatatga aattaatcta ccaagaatta gtcaattgc atgtggaaat ggaagaatct 1140
 ttggaaaagg agggaaagac ctatcagatt cattacgta aggagatggc taaagaatta 1200
 gttcgtaatt acttagtaga agcaagatgg ttgaaggaag gttatatgcc tactttgaaa 1260

gaatacatgt ctgttctat ggtaactggt acttatggtt tcatgattgc aaggccat 1320
 gttggcagag gagacattgt tactgaagac acatcaaat gggttctat ttaccacct 1380
 attattaaag ctctctgtgt aatagtaaga ttaatggacg atattgtatc tcacaaggaa 1440
 gaacaagaaa gaggacatgt ggcttcatct atagaatgtt actctaaaga atcaggtgct 1500
 tctgaagagg aagcatgtga atatattgtt aggaaagtgg aggatgcctg gaaagtaatc 1560
 aatagagaat cttagcgtcc aacagccgtt ccctccctt tgtaatgcc agcaataaac 1620
 ttagctagaa tgggtgaggt ctgtactct gttaatgtt gtttactca tgctgagggt 1680
 gacatgaaat ctatatgaa gtcctcttc gttcatccctt tggtcggtt actcgag 1737

<210> 122

<211> 7348

<212> DNA

<213> Artificial Sequence

<220>

<223> Vector pAM178

<400> 122

tcgcgcgtt cgggtatgac ggtggaaacc tctgacacat gcagctcccg gagacggta 60
 cagcttgcgtt gtaagcggat gcccggagca gacaagcccg tcagggcgcg tcagcgggt 120
 ttggcgggtg tcggggctgg cttaactatg cggcatcaga gcagatgtt ctgagatgc 180
 accatatcga ctacgtcgta aggccgttc tgacagatgtt aaattcttgc gggactttc 240
 accattatgg gaaatgcttc aagaaggat tgacttaaac tccatcaaattt ggtcaggta 300
 ttgagtgttt ttatgtttt gtatgtttt ttgttttagag aaaatcctcc aatatcaaattt 360

taggaatcgt agtttcatga ttttctgtta cacctaactt tttgtgtgtt gccctccctcc 420
 ttgtcaatataatgttaaa gtcaattct ttttccttat cacgttgagc cattagatc 480
 aatttgcgtt cctgtattcc ttactatcc tccttttctt cttctgtat aatgtatgt 540
 agattgcgtt tatagtttcg tctaccctat gaacatattc catttgtaa tttcggtcg 600

tttctattat gaatttcatt tataaagtt atgtacaaat atcataaaaa aagagaatct 660
 tttaagcaa ggatttctt aacttctcg gcgacagcat caccgactc ggtggtaactg 720
 ttggaaccac ctaaatcacc agttctgata cctgcatcca aaacctttt aactgcatct 780
 tcaatggcct tacttcttc aggcaagttc aatgacaatt tcaacatcat tgccagcagac 840

aagatagtgg cgatagggtc aactttattc tttggcaaat ctggagcaga accgtggcat 900
 ggttcgtaca aaccaaatgc ggtgttctt tctggcaaag aggccaagga cgccatggc 960
 aacaaaccca aggaacctgg gataacggag gcttcatcg agatgatatac accaaacatg 1020
 ttgcgtgtga ttataatacc atttaggtgg gttgggttct taactaggat catggcggca 1080
 gaatcaatca atigatgttg aaccttcaat gtagggatt cgttcttgat gtttccccc 1140
 acagtttttc tccataatct tgaagaggcc aaaagattag ctttatccaa ggaccaaata 1200
 ggcaatggtg gctcatgttg tagggccatg aaagccgca ttcttgtat tcttcact 1260
 tctggaacgg tgtattgttc actatccaa gcgacaccat caccatgtc ttcccttc 1320

ttaccaaagt aaataacctc cactaattct ctgacaacaa cgaagtcgt accttagca 1380
 aattgtggct tgattggaga taagtctaaa agagagtcgg atgcaaagtt acatggctt 1440
 aagttggcgt acaattgaag ttcttacgg atttttagta aaccttggc aggtctaaca 1500
 ctaccgtac cccattnagg accagccaca gcacctaaca aaacggcatc aaccttctt 1560
 gaggttcca ggcctcatc tgaaagtggg acacctgttag catcgatagc agcaccacca 1620
 attaaatgt ttgcataatc gaacttgaca ttggaaacgaa catcagaaat agcttaaga 1680
 acctaattgg ctccggctgt gatttcttga ccaacgttgt cacctggcaa aacgacgatc 1740
 ttcttagggg cagacattac aatggatat ccttggaaata tatataaaaa aaggcgccctt 1800

agaccgctcg gccaaacaac caattacttgg tttggaaata gaggataatt atccataaaa 1860
 tataacgttt ttgaacacac atgaaacaagg aagtacagga caattgttta tgaagagaat 1920
 gtggattttt atgtattgt tggtttccat tttttataaa ggcaataataa ttaggtatgt 1980
 ggtatatacta gaagttctcc tcgaccgtcg atatgcgttg tggaaataccg cacagatg 2040
 taaggagaaa ataccgtac agggaaattgt aaacgttaat atttttttaa aattcgcgtt 2100
 aaatttttgt taaatcgatc catttttaa ccaataggcc gaaatcgca aaatccctt 2160
 taaatcaaaa gaatagacgg agatagggtt gagttttttt ccagttggg acaagagttc 2220
 actattaaag aacgtggact ccaacgtcaa agggcgaaaa accgtctatc agggcgatgg 2280

ccccactacgt gaaccatcac cctaatcaag tttttgggg tcgaggtgcc gtaaagcact 2340
 aaatcggaac cctaaaggga gcccccgatt tagagttga cggggaaagc cggcgaacgt 2400
 ggcgagaaag gaaggaaaga aagcgaaagg agcggcgct agggcgctgg caagtgtac 2460

ggtcacgctg cgcttaacca ccacacccgc cgcttaat gcgcgtac agggcgctc 2520
 ggcattcg cattcaggc tgcgaactg ttggaaaggg cgatcggtgc gggctcttc 2580
 gctttacgc cagctgaatt ggagcgacct catgctatac ctgagaaagc aacctgacct 2640
 acagggaaaga gtiaactcaag aataagaatt ttgcgtttaa aacctaagag tcactitaa 2700
 atttgtatac acttattttt ttataactt attaataat aaaaatcata aatcataaga 2760

aattcgctt tttagaagtg tcaacaacgt atctaccaac gatttgaccc tttccatct 2820
 ttctgtaaat ttctggcaag gtagacaagg cgacaaccc ttgtggagac ttgaccaa 2880
 ctctggcgaa gaattgttaa ttaagagctc agatcttac gtcgtcatcc ttgtatcca 2940
 tcgatactag tgcggccgcc cttagttag ggttgaatc gaatttcaa aaattcttac 3000
 tttttttt gatggacgca aagaagttt ataatcatat tacatggcat taccaccata 3060
 tacatatcca tatacatatc catacttaat cttaattata tggtgtggaa atgtaaagag 3120
 cccattatc ttgcctaaa aaaaccttct cttagttagt tttagtaata cgcttaactg 3180
 ctcatgttata tattgtttagt cggatttagaa gccggccgagc gggtgacagc cctccgaagg 3240

aagactctcc tccgtgcgtc ctgcgttca ccggcgctg tcctgaaacg cagatgtgcc 3300
 tcgcggca ctgtccgaa caataaagat tctacaatac tagttttat ggttatgaag 3360
 aggaaaaatt ggcagtaacc tggccccaca aacccctaaa tgaacgaatc aaattaacaa 3420
 ccataggatg ataatgcgt tagtttttgc ctcttatttc tggtgttattt aatcagcgaa 3480
 gcgatgattt ttgtatctt aacagatata taaatgcataa aactgcataa ccactttaac 3540
 taatacttca aacatttcg gtttgttata ctcttatttc aaatgtataa aaagtatcaa 3600
 caaaaaattt ttaatataacc tctataactt aacgtcaagg agaaaaaaacc ccggatccgt 3660
 aatacgactc actataggc cccggcgctg acatggaaaca gaagttgatt tccgaagaag 3720

acctcgagta agttggta cggcgcttagc taagatccgc tctaaccgaa aaggaaggag 3780
 ttagacaacc tgaagtctag gtcccttattt atttttttat agttatgtta gtattaagaa 3840
 cgttatttat atttcaattt ttctttttt ttctgtacag acgcgtgtac gcatgtaca 3900
 ttatactgaa aacccgtt gagaaggaaa tggacgcgtc gaagatccag ctgcattaaat 3960
 gaatcgccca acgcgcgggg agaggcggtt tgcgtattgg ggcgttccgc gtttccgc 4020
 tcactgactc gctgcgtcg tgcgttccgc tgcggcgagc ggtatcagct cactcaaagg 4080
 cggttaatcg gttatccaca gaatcaggaa ataacgcagg aaagaacatg tgagcaaaag 4140
 gcccggccaa gcccggccaa cgtaaaaagg ccgcgttgct gggttttc cataggtcc 4200

gccccctga cgagcatcac aaaaatcgac gctcaagtca gaggtggcga aacccgacag 4260
 gactataaag ataccaggcg tttccccctg gaagctccct cgtgcgtct cctgttccga 4320

ccctgccgct taccggatac ctgtccgect ttctcccttc gggaaagcgtg gcgcgttctc 4380
 atagctcacg ctgttaggtat ctcagttcggt tggtaggtcggt tcgcgtccaag ctgggctgtg 4440
 tgcacgaacc cccccgttcag cccgaccgct gcgccttatac cgtaactat cgttttgagt 4500
 ccaacccgtt aagacacgac ttatcgccac tggcagcagc cactggtaac aggatttagca 4560
 gagcgaggta tggtaggcgtt gctacagagt tcttgaagtgt gtggcctaactac tacggctaca 4620
 ctagaaggac agtatttggat atctgcgtc tgctgaagcc agttaccttc ggaaaaagag 4680

ttggtagctc ttgatccggc aaacaaacca ccgctggtag cggtgggtttt ttttttgca 4740
 agcagcagat tacgcgcaga aaaaaggat ctcaagaaga tcctttgate ttttctacgg 4800
 ggtctgacgc tcagtggAAC gaaaactcac gttaaggat tttggcatg agatatacaa 4860
 aaaggatctt cacctagatc ctttaaattt aaaaatgaag ttttaaatca atctaaagta 4920
 tata>tagta aacttggtct gacagttacc aatgettaat cagtggggca cctatctcag 4980
 cgatctgtct atttcgttca tccatagttt cctgactccc cgtcgtagtataactacga 5040
 tacgggaggg cttaaccatct ggccccagtg ctgcaatgtt accgcgagac ccacgctcac 5100
 cggctccaga ttatcagca ataaaccagc cagccggaag ggccgagcgc agaagtggtc 5160

ctgcaacttt atccgcctcc atccagttca ttaattgttgc cgggaagct agagtaagta 5220
 gttcgccagt taatagtttgc cgcacgttgc ttgcattgc tacaggcatc gtgggtcac 5280
 gctcgctgtt tggtaggcgtt tcattcagct ccgggtccca acgtcaagg cgagttacat 5340
 gatccccat gtgtgcAAA aaagcggttgc gtccttcgg tccctccgatc gttgtcagaa 5400
 gtaagttggc cgcgtgttta tcactcatgg ttatggcagc actgcataat tctttactg 5460
 tcatgccatc cgtaaagatgc tttctgtga ctggtagtca ctcaaccaag tcattctgag 5520
 aatagtgtat gccccggaccg agttgtctt gcccggcgtc aatacgggat aataccgcgc 5580
 cacatagcag aactttaaaaa gtgctcatca ttggaaaacg ttcttcgggg cgaaaaactct 5640

caaggatctt accgtgttgc agatccagttt cgtatgtacc cactcgatca cccaaactgtat 5700
 cttcagcatc ttttactttc accagcggtt ctgggtgagc aaaaacagga aggcaaaatg 5760
 ccgcaaaaaa gggataagg ggcacacggaa aatgttgaat actcataactc ttcccttttc 5820
 aatattatttgc aagcattttt cagggttattt gtctcatgag cggatacata tttgaatgt 5880
 tttagaaaaaa taaaacaaata ggggttccgc gcacatttc ccggaaaatgtt ccacctgaac 5940
 gaagcatctg tgtttcattt tggtagaacaat aatgtcaacg cgagagcgct aattttca 6000
 acaaagaatc tgagctgcat ttttacagaa cagaaatgca acgcgaaagc gctatttac 6060
 caacgaagaa tctgtgttcc atttttgtaa aacaaaaatgtt caacgcgaga ggcgttat 6120

ttcaaaacaaa gaatctgagc tgcatttttca cagaacagaa atgcaacgcg agagcgctat 6180

tttaccaaca aagaatctat acttctttt tggtaacaa aaatgcattc cgagagcgct 6240
 attttctaa caaagcatct tagattactt ttttctcct ttgtgcgctc tataatgcag 6300
 tctcttata accttttgcga ctgttagtcc gttaaggta gaagaaggct acttgggt 6360
 ctatccctc ttccataaaa aaagccgtac tccactccc gcgttactg attactagc 6420
 aagctgcggg tgcatttttt caagataaag gcatccccga ttatattcta taccatgtg 6480
 gattgcgcat acttggtaa cagaaagtga tagcgttcat gattcttcata tggcagaaa 6540
 attatgaacg gtttcttcta ttttctct atatactacg tatagaaaaat gtttacattt 6600

tcgtattgtt ttgcattcac tctatgaata gttctacta caatttttt gtctaaagag 6660
 taatactaga gataaacata aaaaatgtag aggtcgagg tagatgcaag ttcaaggagc 6720
 gaaagggtgaa tgggttagtt atataggat atagcacaga gatataatgc aaagagatac 6780
 ttttgagcaa ttttgtgaa agcggattc gcaatattt agtagctgt tacagtcgg 6840
 tgcgttttg gtttttggaa agtgcgtctt cagagcgtt ttggtttca aaagcgtct 6900
 gaagttccta tactttctag agaataggaa cttcggaaata ggaacttcaa agcgttccg 6960
 aaaacgagcg ctccgaaaa tgcaacgcga gctgcgcaca tacagctcac tggcacgtc 7020
 gcacctatat ctgcgttgc cctgtatata tatatacatg agaagaacgg catagtcgt 7080

gtttatgctt aatgcgtac ttatatgcgt ctatattgtt aggatgaaag gtagtctagt 7140
 acctcctgtg atattatccc attccatgcg gggtatcgta tgcttcctc agcactaccc 7200
 tttagctgtt ctatatgcgt ccactcctca attggattag tctcatcctt caatgctatc 7260
 atttcccttg atattggatc atactaagaa accattatta tcatgacatt aacctataaa 7320
 aataggcgta tcacgaggcc ctgcgtc 7348<210> 123

<211> 746

<212> DNA

<213> Artificial Sequence

<220>

<223> URA3 knockout construct

<400> 123

tgcgaggcat atttatggtg aaggataagt tttgaccatc aaagaaggaa atgtggctg 60

tggtttcagg gtcataaag ctttcaatt catttttt tttttgttc tttttttga 120
 ttccggtttc ttggaaattt ttttggatcg gtaatctccg agcagaagga agaacgaagg 180
 aaggaggcaca gacttagatt ggtatataa cgcataatgtg gtgttgaaga aacatgaaat 240
 tgcccaatc tcttaaccca actgcacaga acaaaaacct gcaggaaacg gtcacacgc 300
 ggccaggggg agccctgtat tataagtaaa tgcatgtata ctaaactcac aaatttagagc 360

ttcaatttaa ttatatcagt tattacccgg gaatctcggt cgtaatgatt tctataatga 420
 cggaaaaaaa aaaattggaa agaaaaagct tcatggcctt tataaaaagg aactatccaa 480
 tacctcgcca gaaccaagta acagtatTTT acggggcaca aatcaagaac aataagacag 540

gactgtaaag atggacgcat tgaactccaa agaacaacaa gagttccaaa aagtagtgga 600
 acaaaagcaa atgaaggatt tcatgcgtt gtactctaatt ctggtagaaa gatgttcac 660
 agactgtgtc aatgacttca caacatcaaa gctaaccaat aaggaacaaa catgcattcat 720
 gaagtgctca gaaaagttct tgaagc 746

<210> 124

<211> 27

<212> DNA

<213> Artificial Sequence

<220>

<223> Primer JU-106-168-110-ERG9 CDS-f

<400> 124

atggaaagc tattacaatt ggcattt 27

<210> 125

<211> 34

<212> DNA

<213> Artificial Sequence

<220>

<223> Primer JU-107-168-110-ERG9 CDS-r

<400> 125

attcaagttt taatTTTcat ctaagatgtt gtccg 34

<210> 126

<211> 20

<212> DNA

<213> Artificial Sequence

<220>

<223> Primer JU-108-168-110-ERG9 US-f

<400> 126

aaaagtgcag ctcagagccc 20

<210> 127

<211> 37

<212> DNA

<213> Artificial Sequence

<220>

<223> Primer JU-162-168-110-LEU2 DS-f

<400> 127

aaagattctc ttttttatg atatttgtac ataaaact

37

<210> 128

<211> 28

<212> DNA

<213> Artificial Sequence

<220>

<223> Primer JU-163-168-110-LEU2 DS-r

<400> 128

tagatttagt actgaagagg aggtcgac

28

<210> 129

<211> 37

<212> DNA

<213> Artificial Sequence

<220>

<223> Primer JU-164-168-110-LEU2 US-f

<400> 129

taggataatt atactctatt tctcaacaag taattgg

37

<210> 130

<211> 41

<212> DNA

<213> Artificial Sequence

<220>

<223> Primer JU-165-168-110-LEU2 US-r

<400> 130

tagaatggta tatccttgaa atatatataat atatattgct g

41

<210> 131

<211> 25

<212> DNA

<213> Artificial Sequence

<220>

<223> Primer JU-169-168-110-URA3-f

<400> 131

gttcatcatc tcatggatct gcaca

25

<210> 132

<211> 23

<212> DNA

<213> Artificial Sequence

<220>

<223> Primer JU-170-168-110-URA3-r

<400> 132

atgcgtccat ctttacagtc ctg

23

<210> 133

<211> 60

<212> DNA

<213> Artificial Sequence

<220>

<223> Primer JU-172-168-110-ERG9 US-r1

<400> 133

gtgtgtgtgt gatatgtgac gtgtatacgt tttccgcttc tgctttcggt cttttctttt 60

<210> 134

<211> 25

<212> DNA

<213> Artificial Sequence

<220>

<223> Primer JU-218-168-130-GAL80US-F

<400> 134

cagatggaat ccctccata gagag

25

<210> 135

<211> 20

<212> DNA

<213> Artificial Sequence

<220>

<223> Primer JU-219-168-130-GAL80US-R

<400> 135

gacgggagtg gaaagaacgg

20

<210> 136

<211> 21

<212> DNA

<213> Artificial Sequence

<220>

<223> Primer JU-220-168-130-GAL80DS-F

<400> 136

aagcatcttgcctgtgctt g

21

<210> 137

<211> 23

<212> DNA

<213> Artificial Sequence

<220>

<223> Primer JU-221-168-130-GAL80DS-R

<400> 137

catgtaccttccatggtttggc

23

<210> 138

<211> 44

<212> DNA

<213> Artificial Sequence

<220>

<223> Primer JU-284-275-31-GAL4-FIX-F2

<400> 138

ggattttatg cccaggatg cacttcatgg atttggatgg tctg

44

<210> 139

<211> 44

<212> DNA

<213> Artificial Sequence

<220>

<223> Primer JU-285-275-31-GAL4-FIX-R2

<400> 139	
cagaccaatc aaatccatga agtgcatacc tggcataaa atcc	44
<210> 140	
<211> 29	
<212> DNA	
<213> Artificial Sequence	
<220>	
<223> Primer JU-286-275-31-GAL4-F	
<400> 140	
atgaagctac tgtttctat cgaacaagg	29
<210> 141	
<211> 24	
<212> DNA	
<213> Artificial Sequence	
<220>	
<223> Primer JU-287-275-31-GAL4-R	
<400> 141	
tgagcgaagc ttctgaataa gccc	24
<210> 142	
<211> 50	
<212> DNA	
<213> Artificial Sequence	
<220>	
<223> Primer KB454-266-53	
<400> 142	
gacggcacgg ccacgcgtt aaaccgcatt ccaattccctc tattatatgc	50
<210> 143	
<211> 41	
<212> DNA	
<213> Artificial Sequence	
<220>	
<223> Primer KB455-266-53	
<400> 143	
ggctccccct ggccgcgtt gagcgtggcg gaaagaacag c	41

<210> 144

<211> 50

<212> DNA

<213> Artificial Sequence

<220>

<223> Primer KB457-266-53

<400> 144

ccggccaggc gctgggttt aaacaccgtt tgcctttaa ctatatcagg 50

<210> 145

<211> 54

<212> DNA

<213> Artificial Sequence

<220>

<223> Primer KMH14-276-4-linker9.ERG12.rev

<400> 145

ccggccaggc gctgggttt aaacaccgtt gtcattaccg ttcttaactt ctgc 54

<210> 146

<211> 49

<212> DNA

<213> Artificial Sequence

<220>

<223> Primer KMH15-276-4-linker9.ERG19.rev

<400> 146

ccggccaggc gctgggttt aaacaccgtt gaccgttac acagcatcc 49

<210> 147

<211> 40

<212> DNA

<213> Artificial Sequence

<220>

<223> Primer KMH33-276-21-URA3 5 prime fwd

<400> 147

tgcaggcat atttatggtg aaggataagt tttgaccatc 40

<210> 148

<211> 64

<212> DNA

<213> Artificial Sequence

<220>

<223> Primer KMH34-276-21-URA3 5 prime rev

<400> 148

ggctccccct gcccggtgt gagccgttc ctgcagggtt ttgttgtc cagttgggtt 60

aaga 64

<210> 149

<211> 73

<212> DNA

<213> Artificial Sequence

<220>

<223> Primer KMH35-276-21-URA3 3 prime fwd

<400> 149

gctcacacgc gcccaggggg agccctgtat tataagtaaa tgcatgtata ctaaactcac 60

aaatttagagc ttc 73

<210> 150

<211> 40

<212> DNA

<213> Artificial Sequence

<220>

<223> Primer KMH35-276-21-URA3 3 prime rev

<400> 150

gcttcaagaa ctttctgag cacttcatga tgcatgttg 40

<210> 151

<211> 44

<212> DNA

<213> Artificial Sequence

<220>

<223> Primer KMH46-276-43-ERG121inker4.fwd

<400> 151

aacctgcagg ccgcgagcgc cgatattcgc gggtggaagg acct 44

<210> 152

<211> 49

<212> DNA

<213> Artificial Sequence

<220>

<223> Primer KMH47-276-43-ERG19linker4.fwd

<400> 152

aacctgcagg ccgcgagcgc cgatcttgtg ctaagtgggtg ctgttagac 49

<210> 153

<211> 59

<212> DNA

<213> Artificial Sequence

<220>

<223> Primer KMH5-276-1-linker3.FS(Kozak).fwd

<400> 153

atcccccggt gcttggccgg ccgtaattaa taatgtcaac tttgcctatt tcttctgtg 59

<210> 154

<211> 46

<212

> DNA

<213> Artificial Sequence

<220>

<223> Primer KMH7-276-1-linker4.TCYC1.rev

<400> 154

tacggcgctc gcccctgca gttcttcga gcgtccaaa accttc 46

<210> 155

<211> 53

<212> DNA

<213> Artificial Sequence

<220>

<223> Primer KMH81-276-116-TDH3.rev.tHMG1

<400> 155

ggctcgacg cattataat ttgtttttt atgtgtttt attcgaaact aag 53

<210> 156

<211> 56

<212> DNA

<213> Artificial Sequence

<220>

<223> Primer KMH82-276-116-tHMG1.fwd.TDH3

<400> 156

cgaataaaaca cacataaaca aacaaattaa taatggctgc agaccaattg gtgaag 56

<210> 157

<211> 56

<212> DNA

<213> Artificial Sequence

<220>

<223> Primer KMH8-276-1-linker4.tHMG1.fwd

<400> 157

aacctgcagg ccgcgagcgc cgatagttat gacaattaca acaacagaat tcttc 56

<210> 158

<211> 56

<212> DNA

<213> Artificial Sequence

<220>

<223> Primer KMH91-276-116-TDH3.rev.FS

<400> 158

taggcaaagt tgacattatt aatttgttg tttatgtgt tttattcgaa actaag 56

<210> 159

<211> 54

<212> DNA

<213> Artificial Sequence

<220>

<223> Primer KMH92-276-116-FS.fwd.TDH3

<400>

159

aaacacacat aaacaaacaa attaataatg tcaacttgc ctatttcttc tgtg 54

<210> 160

<211> 48

<212> DNA

<213> Artificial Sequence

<220>

<223> Primer KMH9-276-1-linker9.thMG1.rev

<400> 160

ccgcggcaggc gctgggttt aaacaccgat ggctgcagac caattggt 48

<210> 161

<211> 47

<212> DNA

<213> Artificial Sequence

<220>

<223> Primer KMH93-276-130-3 prime IME.linker4.fwd

<400> 161

aacatgcagg ccgcgagcgc cgatctcgaa aagtactaca atttcc 47

<210> 162

<211> 44

<212>

DNA

<213> Artificial Sequence

<220>

<223> Primer PW-91-093-CPK422-G

<400> 162

gatgtgtatt actagtgtcg acgacagcat tcgcccagta tttt 44

<210> 163

<211> 24

<212> DNA

<213> Artificial Sequence

<220>

<223> Primer TRIX_K_0142

<400> 163

gtattcaat gagaatcgct agaa 24

<210> 164

<211> 23

<212> DNA

<213> Artificial Sequence

<220>

<223> Primer TRIX_K_0143
<400> 164
ttcgctgtt tttatccctc ttc 23

<210> 165
<211> 20
<212> DNA
<213> Artificial Sequence
<220>
<223> Primer TRIX_K_131
<400> 165
cctctttaa aatgatggcg 20
<210> 166
<211> 30
<212> DNA
<213> Artificial Sequence
<220>
<223> Primer TRIX_L_034
<400> 166
gacggtagca acaagaatat agcacgagcc 30
<210> 167
<211> 36
<212> DNA
<213> Artificial Sequence
<220>
<223> Primer TRIX_L_035
<400> 167
tttgaggga atattcaact gttttttt atcatg 36
<210> 168
<211> 34
<212> DNA
<213> Artificial Sequence
<220>
<223> Primer TRIX_L_036

<400> 168

tttttatca tggatgct ctgcataata atgc 34

<210> 169

<211> 34

<212> DNA

<213> Artificial Sequence

<220>

<223> Primer TRIX_L_053

<400> 169

tttgggtt taatgtgttt tattcgaaac taag 34

<210> 170

<211> 27

<212> DNA

<213> Artificial Sequence

<220>

<223> Primer TRIX_L_106

<400> 170

atgtctcaga acgtttacat tgtatcg 27

<210> 171

<211> 27

<212> DNA

<213> Artificial Sequence

<220>

<223> Primer TRIX_L_107

<400> 171

aggcagccaa gacattgatt aacatcc 27

<210> 172

<211> 29

<212> DNA

<213> Artificial Sequence

<220>

<223> Primer TRIX_L_109

<400> 172

atgaaactct ctactaaact ttgttggtg 29

<210> 173	
<211> 28	
<212> DNA	
<213> Artificial Sequence	
<220>	
<223> Primer TRIX_L_110	
<400> 173	
atgagaaaaaa aaatcggttg ggcttaac	28
<210> 174	
<211> 26	
<212> DNA	
<213> Artificial Sequence	
<220>	
<223> Primer TRIX_L_112	
<400> 174	
atgtcattac cgttcttaac ttctgc	26
<210> 175	
<211> 25	
<212> DNA	
<213> Artificial Sequence	
<220>	
<223> Primer TRIX_L_113	
<400> 175	
attcgcgggt ggaaggacct tgtgg	25
<210> 176	
<211> 27	
<212> DNA	
<213> Artificial Sequence	
<220>	
<223> Primer TRIX_L_115	
<400> 176	
atgaccgtt acacagcatc cgttacc	27
<210> 177	

<211> 25
<212> DNA
<213> Artificial Sequence
<220>
<223> Primer TRIX_L_116
<400> 177
cttggtctaa gtgggtgtgt tagac 25
<210> 178
<211> 25
<212> DNA
<213> Artificial Sequence
<220>
<223> Primer TRIX_L_118
<400> 178
atgtcagagt tgagagcctt cagtg 25
<210> 179
<211> 23
<212> DNA
<213> Artificial Sequence
<220>
<223> Primer TRIX_L_119
<400> 179
agtgcacact ttcaagctaa cac 23
<210> 180
<211> 27
<212> DNA
<213> Artificial Sequence
<220>
<223> Primer TRIX_L_121
<400> 180
atgactgccc acaacaatag tatgcc 27
<210> 181
<211> 26
<212> DNA

<213> Artificial Sequence	
<220>	
<223> Primer TRIX_L_122	
<400> 181	
catcagtggg aaacattcaa gaggcc	26
<210> 182	
<211> 30	
<212> DNA	
<213> Artificial Sequence	
<220>	
<223> Primer TRIX_L_124	
<400> 182	
atggcttcag aaaaagaaat taggagagag	30
<210> 183	
<211> 30	
<212> DNA	
<213> Artificial Sequence	
<220>	
<223> Primer TRIX_L_125	
<400> 183	
tgaggtcgtt gccttccta ttattatatg	30
<210> 184	
<211> 28	
<212> DNA	
<213> Artificial Sequence	
<220>	
<223> Primer TRIX_L_193	
<400> 184	
tgcacactag taatacacat catcggtcc	28
<210> 185	
<211> 28	
<212> DNA	
<213> Artificial Sequence	
<220>	

<223> Primer TRIX_L_194
<400> 185
gagctcctcg agaagttaag attatatg 28

<210> 186
<211> 26
<212> DNA
<213> Artificial Sequence
<220>
<223> Primer TRIX_L_194
<400> 186
atggctgcag atcaattggt gaagac 26
<210> 187
<211> 32
<212> DNA
<213> Artificial Sequence
<220>
<223> Primer TRIX_L_233
<400> 187
agttatgaca attacaacaa cagaattctt tc 32
<210> 188
<211> 32
<212> DNA
<213> Artificial Sequence
<220>
<223> Primer GW-52-84 pAM326 BamHI
<400> 188
taataaggat ccatgtcaac tttgcctatt tc 32
<210> 189
<211> 32
<212> DNA
<213> Artificial Sequence
<220>
<223> Primer GW-52-84 pAM326 NheI

<400> 189	
ttatagtag ctcaaacgac cataggatga ac	32
<210> 190	
<211> 26	
<212> DNA	
<213> Artificial Sequence	
<220>	
<223> Primer TRIX_L_266	
<400> 190	
tactttttt ttggatggac gcaaag	26
<210> 191	
<211> 29	
<212> DNA	
<213> Artificial Sequence	
<220>	
<223> Primer TRIX_L_267	
<400> 191	
aagtatagag gtatattaac aatttttg	29
<210> 192	
<211> 30	
<212> DNA	
<213> Artificial Sequence	
<220>	
<223> Primer TRIX_RN017	
<400> 192	
acgaagtgac tgacagaata ctgacatcag	30
<210> 193	
<211> 30	
<212> DNA	
<213> Artificial Sequence	
<220>	
<223> Primer TRIX_RN018	
<400> 193	
ttaaaagttg ttccgcgt atcctgtatc	30

<210> 194

<211> 30

<212> DNA

<213> Artificial Sequence

<220>

<223> Primer TRIX_RN019

<400> 194

agtatacact aaatttatg caataataaa

30

<210> 195

<211> 30

<212> DNA

<213> Artificial Sequence

<220>

<223> Primer TRIX_RN020

<400> 195

ggtttgcta aggaagttt ggagtatgct

30

<210> 196

<211> 26

<212> DNA

<213> Artificial Sequence

<220>

<223> Primer TRIX_Z025

<400> 196

cacgaaaatc gttattgtct tgaagg

26

<210> 197

<211> 52

<212> DNA

<213> Artificial Sequence

<220>

<223> Primer TRIX_Z026

<400> 197

gcttatgga ccctgaaacc actcactatt attccataag atgatcatta gc

52

<210> 198

<211> 54

<212> DNA

<213> Artificial Sequence

<220>

<223> Primer TRIX_Z027

<400> 198

gcttcaattt aattatatca gttattacca cgaaaatcgt tattgtcttg aagg 54

<210> 199

<211> 30

<212> DNA

<213> Artificial Sequence

<220>

<223> Primer TRIX_Z028

<400> 199

tcactattat tccataagat gatcatttagc 30

<210> 200

<211> 22

<212> DNA

<213> Artificial Sequence

<220>

<223> Primer TRIX_Z033

<400> 200

gtggtttcag ggtccataaa gc 22

<210> 201

<211> 28

<212> DNA

<213> Artificial Sequence

<220>

<223> Primer TRIX_Z034

<400> 201

gtaataactg atataattaa attgaagc 28

<210> 202

<211> 39

<212> DNA

<213> Artificial Sequence

<220>

<223> Primer TRIX_Z035

<400> 202

ctgttgacat tgcgaagagt gacaaagatt ttgttatcg 39

<210> 203

<211> 39

<212> DNA

<213> Artificial Sequence

<220>

<223> Primer TRIX_Z036

<400> 203

cgataacaaa attttgtca ctttcgcaa tgtcaacag 39

<210> 204

<211> 45

<212> DNA

<213> Artificial Sequence

<220>

<223> Primer VH228-235-7-URA3LOF3RYSE12-1F

<400> 204

gctcacacgc ggccaggggg agcctacta ttattccata agatg 45

<210> 205

<211> 46

<212> DNA

<213> Artificial Sequence

<220>

<223> Primer VH229-235-7-URA3LOF3RYSE12-1R

<400> 205

aggtccgccc gcgttggacg agcgcacgaa aatcgattt gtcttg 46

<210> 206

<211> 198

<212> DNA

<213> Artificial Sequence

<220>

<223> Synthetic DNA fragment

<400> 206

cacgaaaatc gtattgtct tgaaggtgaa atttctactc ttattaatgg tgaacgttaa 60
 gctgatgcta ttagtggaaac tgattggctc taacttgctt gtcataatgc taatggcat 120
 atggctcgta ttattactta agttatgtt actcgtttg aacgtaatgc taatgatcat 180
 cttatggaaat aatagtga 198

<210> 207

<211> 2733

<212> DNA

<213> Artificial Sequence

<220>

<223> pRYSE Entry vector 2

<400> 207

gtaaaacgac ggccaggatt aaccctcaact aaaggaaact cgaggcttt cagctcacac 60
 gcggccagggg ggagcctggc agactccata tgctatgccc catcagagca gattgtactg 120

agagtgcacc atatgcggtg taaaataccg cacagatgca taaggagaaa ataccgatc 180
 aggccatttgcg cggcatttcg gctgcgcaac tggggaaag ggcgatcggt gcggccctct 240
 tcgttattac gccagctggc gaaaggggaa tggctgtcaa ggcgatataag ttggtaacg 300
 ccagggtttt cccagtcacg acgttgtaaa acgacggcca gtgaattcga gctcggtacc 360
 cggggatctt ctatcgatcg cctgcaggca tgcaagctt gctaatcat ggtcatagct 420
 gtttctgtg taaaattgtt atccgctcac aattccacac aacatacgag ccgaaagcat 480
 aaagtgtaaa gcctgggtg cctaatgagt gagctaacatc acattaattt cggtgcgcgc 540
 tagcgagtca tccacgctcg tccaaacgccc gcggacccctt aagagcgagc tcccgttag 600

caataactag cgtcatagct gtttctggg tgcgttcggct gggcgagcg gtatcgatc 660
 actcaaaggc ggtataatcggtt ttatccacag aatcaggggaa taacgcagga aagaatgtt 720
 gagcaaaagg ccagcaaaag gccaggaacc gtaaaaaggc cgcgttgctg gctttttcc 780
 ataggctcg cccccctgac gagcatcaca aaaatcgacg ctcaagttagt aggtggcga 840
 acccgacagg actataaaga taccaggcgat ttccccctgg aagctccctc gtgcgtctc 900
 ctgttccgac cctggcgctt acccgatacc tgcgttcggctt tctcccttgc ggaagcggtgg 960
 cgcttctca tagctcacgc tgcgttgcgtt gtaggtcgatc cgctccaagc 1020
 tgggctgtgt gcacgaaccc cccgttcagc ccgaccgctg cgccttatcc ggtaactatc 1080

gtcttgattc caaccggta agacacgact tatcgccact ggcagcagcc actggtaaca 1140
ggatttagcag agcgaggat gttagcggtg ctacagagt tttgaagtgg tggcctaact 1200
acggctacac tagaagaaca gtatttggta tctgcgtct gctgaagcca gttaccctcg 1260
gaaaaagagt tggtagctct tgatccggca aacaaaccac cgctggtagc ggtggtttt 1320
ttgtttgcaa gcagcagatt acgcccggaa aaaaaggatc tcaagaagat cctttgtatct 1380
tttctacggg gtctgacgct cagtggAACG aaaactcagc ttaaggatt ttggcatga 1440
gattatcaa aaggatctc accttagatcc tttaaatatta aaaaatgaagt tttaaatcaa 1500
tctaaagtat atatgagtaa ctggtcgca tgcttacca tgcttaatca gtgaggcacc 1560

tatctcagcg atctgtctat ttgcgtcatc catagttgcc tgactgccc tcgtgttagat 1620
aactacgata cgggagggct taccatctgg ccccagtgt gcaatgatac cgcgagaccc 1680
acgtcaccc gctccagatt tattcagaat aaaccagcca gccggaaggg ccgagcgcag 1740
aagtggtcct gcaactttt ccgcctccat ccagtctatt aatttgtgcc gggaaagctag 1800
agtaagtagt tcgccagttt atagttgcg caacgttgtt gccattgcta caggcatcgt 1860
ggtgtcacgc tcgtcggtt gatatggcttc attcagctcc ggttcccaac gatcaaggcg 1920
agttacatga tccccatgt tgtcaaaaa agcggttagc tccttcggtc ctccgatcgt 1980
tgtcagaagt aagttggccg cagtgttatac actcatggtt atggcagcac tgcataattc 2040

tcttactgtc atgccccatccg taagatgctt ttctgtgact ggtgagttact caaccaagtgc 2100
atctctgagaa tagtgttatgc ggcgcaccgag ttgctcttgc ccggcgtaa tacgggataa 2160
taccgcgccta catagcagaa cttaaaaagt gctcatcatt ggaaaaacgtt cttcgccccg 2220
aaaactctca aggatcttac cgctgttgag atccagttcg atgtaacccca ctgcgtgcacc 2280
caactgatct tcagcatctt ttactttcac cagcgtttctt gggtagccaa aaacagggaaag 2340
gcaaaaatgcc gcaaaaaagg gaataaggc gacacggaaa tggtaatac tcatcaatttgc 2400
cccttttcaatttatttgcatccatca gggttattgtt ctcatgagcgttacatatttgc 2460
tgaatgtattt tagaaaaata aacaaatagg gggtccgcgc acatttcccc gaaaagtgc 2520

acctgacgtc taagaaacca ttatttatcat gacattaacc tataaaaata ggcgtatcac 2580
gaggccctt catctcgcbc gttcggtgta tgacggtgaa aacctctgac acatgcagct 2640
cccgaggaca gtcacagctt gtctgtaaagc ggatgccggg agcagacaag cccgtcaggg 2700
cgcgtcagcg ggtgtggcg ggtgtcgcccc ctg 2733

<210> 208

<211> 2733

<212> DNA

<213> Artificial Sequence

<220>

<223> pRYSE Entry vector 3

<400> 208

gtaaaacgac ggccagtatt aaccctact aaagggaact cgaggcttt cacgctcg 60
caacgcggc ggaccttggc agactccata tgctatgcgg catcagagca gattgtactg 120

agagtgcacc atatcggtg taaaatccg cacagatcgc taaggagaaa ataccgcac 180
aggccattt cggccatttc gctgcgaac ttgtggaaag ggcatcggt gcggccct 240
tcgcttattac gccagctggc gaaaggggga tgtgtgcaaa ggcatattaag ttgggtaaac 300
ccagggttt cccagtcacg acgttgtaaa acgacggcca gtgaattcga gctcggtacc 360
cggggatctt cttagcttga cctgcaggca tgcaagcttg ggtaatcat ggtcatagct 420
gtttctgtg taaaattgtt atccgctcac aattccacac aacatacggc ccggaaagcat 480
aaagtgtaaa gcctgggtg cctaattggat gagctaaactc acattaattt cgttgcgcgc 540
tagcgagtc tccaatcccc gcgtgtttgg ccggccgttg aagagcggac tcccgcttag 600

caataactag cgtcatacg tttccctggg tcgttgcgt gcggcgagcg gtatcagtc 660
actcaaaggc ggtataacgg ttatccacag aatcagggga taacgcagga aagaacatgt 720
gagcaaaagg ccagcaaaag gccaggaacc gtaaaaaggc cgcttgctg gcgttttcc 780
ataggctccg cccccctgac gagcatcaca aaaatcgacg ctcaagttag aggtggcga 840
acccgacagg actataaaga taccaggcgt ttccccctgg aagtccttc gtgcgtctc 900
ctgttccgac cctgccgcctt acccgatacc tgtccgcctt tctcccttcg ggaagcgtgg 960
cgctttctca tagctcacgc tgttaggtatc tcagttcggt gtaggtcggt cgctccaagc 1020
tgtggctgtgt gcacgaaccc cccgttcagc ccgaccgcgt gcgcattatcc ggtaaactatc 1080

gtcttgattc caaccggta agacacgact tatgccact ggcagcagcc actggtaaca 1140
ggatttagcag agcgaggat gttagccgtg ctacagagtt cttgaagtgg tggcttaact 1200
acggctacac tagaagaaca gtatggta tctgcgtct gctaaagcca gttaccttcg 1260
gaaaaagagt tggttagctt tgatccggca aacaaaccac cgctggtagc ggtggtttt 1320
tttgttgc当地 gcagcagatt acgcgcagaa aaaaaggatc tcaagaagat cctttgatct 1380
tttctacggg gtctgacgct cagtggAACG aaaactcacg ttaaggatt ttggcatga 1440
gattatcaa aaggatctt acctagatcc tttaaatta aaaaatgaagt tttaaatcaa 1500
tctaaatgtat atatgagtaa ctggctgc当地 tgcttaccaa tgcttaatca gtggcacc 1560

tatctcagcg atctgtctat ttgcgttcatc catagttgcc tgactgcccc tcgtgttagat 1620
aactacgata cgggaggggct taccatctgg ccccaagtgtct gcaatgatac cgcgagaccc 1680

acgctcaccg gctccagatt tatcagcaat aaaccagcca gccggaaggg ccgagcgcag 1740
 aagtggctt gcaactttat ccgcctccat ccagtcatt aattgttgcc ggaaagctag 1800
 agtaagttagt tcgccagtt atagttcg 1860
 ggtgtcacgc tcgtcgttt gtagtgcatttcc attcagctcc ggtcccaac gatcaaggcg 1920
 agttacatga tccccatgt tgtcaaaaaa agcggttagc tccttcggc ctccgatcgt 1980
 tgtcagaagt aagttggccg cagtgttac actcatggt atggcagcac tgcatata 2040

tcttactgtc atgccatccg taagatgct ttctgtact ggtgagact caaccaagtc 2100
 attctgagaa tagtgtatgc ggcgaccgag ttgctctgc ccggcgtaa tacggataa 2160
 taccgcgcca catagcagaa cttaaaaagt gctcatcatt ggaaaacgtt cttcgccg 2220
 aaaactctca aggatcttac cgctgtttagt atccagttcg atgttaacccca ctgcgtgcacc 2280
 caactgatct tcagcatctt ttactttcac cagcgttct gggtgagcaa aaacagggaa 2340
 gcaaaatgcc gcaaaaaagg gaataaggc gacacggaaa tggtaatac tcatcaattt 2400
 ccttttcaa tattattgaa gcatttatca gggttattgt ctcatgagcg gttacataattt 2460
 tgaatgtatt tagaaaaata aacaaatagg ggttccgcgc acatcccc gaaaagtgcc 2520

acctgacgac taagaaacca ttattatcat gacattaacc tataaaaata ggcgtatcac 2580
 gagggccctt catctcgccg gtttcggta tgacggtgaa aacctctgac acatgcagct 2640
 cccggagaca gtcacagctt gtctgttaagc ggatgccggg agcagacaag cccgtcaggg 2700
 cgcgtcagcg ggtgttggcg ggtgtcgccc ctg 2733

<210> 209

<211> 2733

<212> DNA

<213> Artificial Sequence

<220>

<223> pRYSE Entry vector 4

<400> 209

gtaaaaacgac gcccagtatt aaccctact aaaggaaact cgaggctt caatcccc 60
 gtgcttggcc gcccgttggc agactccata tgctatgcgg catcagagca gattgtactg 120

agagtgccacc atatgcggtg taaaataccg cacagatgcg taaggagaaa ataccgcac 180
 aggcgcatt cggcatttcag gctgcgcaac tggggaaag ggcatcggt gcggccctt 240
 tcgcattttc ggcagctggc gaaaggggaa tggctgtcaaa ggcatatgggtaac 300
 ccagggtttt cccagtcacg acgttgaaa acgacggcca gtgaattcga gtcggtaacc 360
 cggggatcct ctagcgtcga cctgcaggca tgcaagctt gctaatcat ggtcatagct 420

gtttcctgtg tgaattgtt atccgctcac aattccacac aacatacgag ccggaagcat 480
 aaagtgtaaa gcctgggtg cctaattgact gagctaactc acattaattt cgttgcgcgc 540
 tagcgagtca tccaaacctg caggccgcga gcccgcattt aagagcgagc tcccgttag 600

caataactag cgtcatagct gtttcctggg tcgttcggct gcggcgagcg gtatcagctc 660
 actcaaaggc ggtataacgg ttatccacag aatcaggaga taacgcagga aagaacatgt 720
 gagcaaaagg ccagcaaaag gccaggaacc gtaaaaaggc cgcgttgctg gcgttttcc 780
 ataggctccg cccccctgac gagcatcaca aaaatcgacg ctcaagtcag aggtggcga 840
 acccgacagg actataaaga taccaggcgt ttccccctgg aagctccctc gtgcgtctc 900
 ctgttccgac ccigccgctt acccgatacc tgcgtccctt tctcccttcg ggaagcgtgg 960
 cgcttctca tagtcacgc tgcgttgtc tcagttcggt gtaggtcggt cgctccaagc 1020
 tggctgtgt gcacgaaccc cccgttcage ccgaccgtg cgccttatcc ggttaactatc 1080

gtcttgcattt caaccggta agacacgact tatgcctact ggcagcagcc actggtaaca 1140
 ggatttagcag agcgaggtat gtaggcggtg ctacagagtt ctgttgttgg tggcttaact 1200
 acggctacac tagaagaaca gtatggta tctgcgtct gtcgaagcca gttaccttcg 1260
 gaaaaagagt tggtagctt tgatccggca aacaaccac cgctggtagc ggtgggtttt 1320
 ttgttgcaa gcagcagatt acgcccggaa aaaaaggatc tcaagaagat ctttgatct 1380
 tttctacggg gtcgtacgct cagttggacg aaaactcactc ttaaggatt ttggcatga 1440
 gattatcaa aaggatctt accttagatcc tttaaatataaaaatgat tttaaatcaa 1500
 tctaaatgtt atatgagtaa ctggcgca tgcttaccaa tgcttaatca gtgaggcacc 1560

tatctcagcg atctgtctat ttgttcatc catagttgcc tgactgccc tcgtgttagat 1620
 aactacgata cgggagggtt taccatctgg ccccagtgt gcaatgatac cgccggaccc 1680
 acgctcacgg gctccagatt tatcgcaat aaaccagcca gccggaaaggc ccggcgccag 1740
 aagttgtcct gcaactttt ccgcctccat ccgtctatt aattgttgcc gggagctag 1800
 agtaagttagt tcgcccgttta atagttgcg caacgttgtt gccattgtca caggcatgt 1860
 ggtgtcacgc tcgtcggtt gtagggcttc attcagctcc ggttcccaac gatcaaggcg 1920
 agttacatga tccccatgt tgcgtttttt aagcggttagc tccttcggc tcctcgatgt 1980
 tgtcagaagt aagttggccg cagttttatc actcatggtt atggcagcac tgcataattc 2040

tcttactgtc atgcctccg taagatgtt ttctgtgact ggtgagttact caaccaagtc 2100
 attctgagaa tagtgtatgc ggcgaccgag ttgtcttgc ccggcgtaa tacggataa 2160
 taccgcgcca catagcagaa cttaaaagt gtcgtatcatt gggaaacgtt ctccggccg 2220
 aaaactctca agatcttac cgctgtttagt atccagttcg atgtaaacca ctcgtgcacc 2280

caactgatct tcagcatctt ttactttcac cagcggttct gggtgagcaa aaacaggaag 2340
 gcaaaaatgcc gcaaaaaagg gaataaggc gacacggaaa tggtaatac tcatcaattg 2400
 ccttttcaa tattattgaa gcatttatca gggttattgt ctcatgagcg gttacatatt 2460
 tgaatgtatt tagaaaaata aacaaatagg ggttccgcgc acatcccc gaaaagtgcc 2520

acctgacgta taagaaacca ttattatcat gacattaacc tataaaaata ggcgtatcac 2580
 gagggccctt catctcgccg gtttcggta tgacggtaaa aacctctgac acatgcagct 2640
 cccggagaca gtcacagctt gtctgttaa ggtatccggg agcagacaag cccgtcaggg 2700
 cgcgtagcgg ggtgttggcg ggtgtcggg ctg 2733

<210> 210

<211> 2733

<212> DNA

<213> Artificial Sequence

<220>

<223> pRYSE Entry vector 5

<400> 210

gtaaaaacgac gcccagtatt aaccctcact aaagggaaact cgaggctttt caaacctgca 60
 ggccgcgagc gccgattggc agactccata tgctatgcgg catcagagca gattgtactg 120

agagtgcacc atatgcggtg taaaataccg cacagatgca taaggagaaa ataccgatc 180
 aggccgcatt cggcatttcg gctgcgcac tggggaaag ggccatcggt gcggccctct 240
 tcgctattac gccagctggc gaaaggggaa tggctgcac ggcgatataag ttggtaacg 300
 ccagggtttt cccagtcacg acgttgtaaa acgacggcca gtgaattcga gctcggtacc 360
 cggggatctt ctgcgtcga cctgcaggca tgcaagctt ggcataatcat ggtcatagct 420
 gtttccctgtg taaaattgtt atccgctcact aattccacac aacatacggcc 480
 aaagtgtaaa gcttgggtg ctaatgagt gagctaactc acattaattt cgttccgcgc 540
 tagcgagtca tccaaacgac atcgccgacg ccggcattt aagagcgagc tcccgcttag 600

caataactag cgtcatagct gtttccctggg tcgttccggct gcccggagcg gtatcagtc 660
 actcaaaggc ggtataatcgg ttatccacag aatcaggaa taacgcagga aagaacatgt 720
 gagcaaaaagg ccagcaaaag gccaggaacc gtaaaaaggc cgcgttgctg gcgttttcc 780
 ataggctccg cccccctgac gagcatcaca aaaatcgacg ctcaagttagt aggtggcgaa 840
 acccgacagg actataaaga taccaggcggt ttccccctgg aagctccctc gtgcgtctc 900
 ctgttccgac cctgcccgtt acccgatacc tgtccgcctt tctccctcg ggaagcgtgg 960
 cgcttctca tagtcacgc tgttaggtatc tcagttccgggt gttagtcgtt cgctccaaggc 1020

tgggctgtgt gcacgaaccc cccgttcagc ccgaccgctg cgccttatcc ggtaactatc 1080

gtcttgcattt caacccggta agacacgact tatgccact ggcagcagcc actggtaaca 1140
 ggatttagcag agcgaggatg ttaggcggtg ctacagagtt ctgttgttgg tggcttaact 1200
 acggctacac tagagaaca gtatggta tctgcgtct gctgaagcca gttacccctcg 1260
 gaaaaagagt tggtagctct tgatccggca aacaaaccac cgctggtagc ggtggtttt 1320
 ttgtttgcaa gcagcagatt acgcgcagaa aaaaaggatc tcaagaagat ccttgatct 1380
 tttctacggg gtcgtacgct cagtggaaacg aaaactcacg ttaaggattt ttggcatga 1440
 gattatcaa aaggatctt acctagatcc tttaaatataaaaatgat tttaaatcaa 1500
 tctaaagtat atatgagtaa ctggtcga tgcttaccaa tgcttaatca gtgaggcacc 1560

tatctcagcg atctgtctat ttcgttcatc catatgtcc tgactgccc tcgtgtat 1620
 aactacgata cgggagggtt taccatctgg ccccaagtgt gcaatgatac cgccgagaccc 1680
 acgctcaccc gctccagatt tatcagcaat aaaccagcca gccggaaggg ccgagcgcag 1740
 aagtggtcct gcaactttat ccgcctccat ccagtctatt aattgttgcc gggaaagctag 1800
 agtaagtatc tcgcagtttta atagtttgcg caacgttggt gccattgtca caggcatcgt 1860
 ggtgtcacgc tcgtcggtt gtagggcttc attcagctcc ggttcccaac gatcaaggcg 1920
 agttacatga tccccatgt tgtcaaaaaa agcggttagc tccttcggc ctccgatcgt 1980
 tgtcagaagt aagttggccg cagtgttatac actcatgtt atggcagcac tgctataattc 2040

tcttactgtc atgcccattcg taagatgttt ttctgtgact ggtgagttact caaccaagtc 2100
 attctgagaa tagtgtatgc ggcgaccgag ttgtcttgc cggcgtaa tacggataa 2160
 taccgcgcca catagcagaa cttaaaatgt gctcatcatt ggaaacgtt ctccggggcg 2220
 aaaactctca aggttaccccg cgtgttgag atccagttcg atgtaaacca ctcgtgcacc 2280
 caactgatct tcagcatctt ttactttcac cagcgtttct gggtgagcaa aaacaggaag 2340
 gcaaaaatgcc gcaaaaaagg gaataaggc gacacggaaa tggtaatac tcatcaattt 2400
 ccttttcaa tattattgaa gcatttatca gggttattgt ctcatgagcg gttacatatt 2460
 tgaatgtatt tagaaaaata aacaaatagg ggttccggc acatcccc gaaaagtgcc 2520

acctgacgtc taagaaacca ttattatcat gacattaacc tataaaaata ggcgtatcac 2580
 gagggcccttt catctcgcc gtttcggta tgacggtaaa aacctctgac acatgcagct 2640
 cccggagaca gtcacagctt gtctgttaacg ggttccggg agcagacaag cccgtcagg 2700
 cgccgtcagcg ggttccggc ggttccggg ctg 2733

<210> 211

<211> 2733

<212> DNA

<213> Artificial Sequence

<220>

<223> pRYSE Entry vector 6

<400> 211

gtaaaacgac gccagttt aaccctact aaaggaaact cgaggcttt caaacgcgt 60
 cgccgacgcc gccgattggc agactccata tgctatgcgg catcagagca gattgtactg 120

agagtgcacc atatgcgtt taaaataccg cacagatgca taaggagaaa ataccgatc 180
 aggccattt cccatttcag gctgcgttcaac ttgtggaaag ggcatcggt gcggccct 240
 tcgttattac gccagctggc gaaaggggta tggctgtcaa ggcatattaag ttggtaacg 300
 ccagggtttt cccatgttacg acgttgtaaa acgacggcca gtgaattcga gtcggtaacc 360
 cggggatcctt ctatcgatcga cctgcaggca tgcaagcttgc gctaatcat ggtcatagct 420
 gtttcctgtt taaaattttt atccgcttac aattccacac aacatacgag ccggaaagcat 480
 aaagtgtaaa gcctgggtt ctaatgagt gagctaactc acattaattt cttgcgcgc 540
 tagcgatca tccaaaggcg gcccgtggcg agggagattt aagagcgagc tcccgcttag 600

caataacttgcgtt gtttcctggg tcgttgcgtt gcccggatcg gtatcagtc 660
 actcaaaggc ggtataatcggtt tttccacag aatcaggggta taacgcagga aagaacatgt 720
 gagcaaaagg ccagcaaaag gccaggaacc gtaaaaaggc cgcgttgctg gcgttttcc 780
 ataggctccg cccccctgac gagcatcaca aaaatcgacg ctcaagttagt aggtggcgaa 840
 acccgacagg actataaaga taccaggcg tttccctgg aagctccctc gtgcgtctc 900
 ctgttccgac cctggcgctt acccgatacc tggccgtt tctccctcg ggaagcgtgg 960
 cgctttctca tagtcacgc tggatgttgc tggatgttgc tggatgttgc 1020
 tggctgtgtt gcacgaaccc cccgttcagc ccgaccgctg cgccttatcc ggtactatc 1080

gtcttgattt caacccggta agacacgact tatcgccact ggcagcagcc actggtaaca 1140
 ggatttagcag acggaggatgtt gtagggcggtt ctacagaggctt tggcttaact 1200
 acggctacac tagaagaaca gtatggta tctgcgttct gctgaagccaa gttacctcg 1260
 gaaaaagagt tggtagctt tggatccggca aacaaaccac cgctggtagc ggtgggtttt 1320
 ttgtttgcaaa gcacgagattt acgcgcagaa aaaaaggatc tcaagaagat ctttgatct 1380
 tttctacggg gtcgtacgtt cagtgaaacg aaaactcacg ttaaggattt ttggatcgaa 1440
 gattatcaaa aaggatcttcc acctagatcc ttttaatattt aaaaatgaat tttaaatcaa 1500
 tctaaatgtt atatgatcaa cttggatcgca tgcttaccaa tgcttaatca gtgaggcacc 1560

tatctcagcg atctgtctat ttgcgttcatc catagttgcc tgactgccc tcgtgttagat 1620
 aactacgata cggggaggc taccatctgg ccccaagtgt gcaatgatac cgccgagacc 1680
 acgctcaccc gctccagatt tatcagcaat aaaccagcca gccggaaggg ccgagcgcag 1740
 aagtggtcct gcaactttat ccgcctccat ccagtcatt aatgttgcc gggaaagtag 1800
 agtaagtagt tcgcagtttta atagtttgcg caacgttgc gccattgcta caggcatgt 1860
 ggtgtcacgc tcgtcggtt gatatggcttc attcagctcc gggtcccaac gatcaaggcg 1920
 agttacatga tccccatgt tgtcaaaaaa agcggttgc tccttcggc ctccgatgt 1980
 tgtcagaagt aagttggccg cagtgttatac actcatgtt atggcagcac tgcatataattc 2040

tcttactgtc atgcccattcg taagatgtt ttcttgtact ggtgagttact caaccaagtc 2100
 attctgagaa tagtgttatgc ggcgaccgag ttgtcttgc ccggcgtcaa tacggataa 2160
 taccggcca catagcagaa cttaaaagt gtcatcatt ggaaaacgtt cttcgccgg 2220
 aaaactctca aggtatcttac cgctgttgcg atccagttcg atgtaaacca ctcgtgcacc 2280
 caactgtatct tcagcatctt ttactttcac cagcgtttct gggtgagcaa aaacaggaag 2340
 gcaaaatgcc gcaaaaaagg gaataaggc gacacggaaa tggtaatac tcatcaattt 2400
 ccttttcaa tattattgaa gcatttatca gggttattgt ctcatgagcg gttacatatt 2460
 tgaatgtatt tagaaaaata aacaaatagg ggttccgcg acatcccc gaaaagtgc 2520

acctgacgtc taagaaacca ttattatcat gacattaacc tataaaaata ggcgtatcac 2580
 gagggccctt catctcgcc gtttcggta tgacggtaaa aacctctgac acatgcagct 2640
 cccggagaca gtacacagtt gtctgttaagc ggatgccggg agcagacaag cccgtcagg 2700
 cgcgtcagcg ggtgttggcg ggtgtcgggg ctg 2733

<210> 212

<211> 2733

<212> DNA

<213> Artificial Sequence

<220>

<223> pRYSE Entry vector 7

<400> 212

gtaaaaacgac gcccaggatt aaccctact aaaggaaact cgaggcttt caaaggccgc 60
 cgctggcgag ggagattggc agactccata tgctatgcgg catcagagca gattgtactg 120

agagtgcacc atatgcggtg tgaaataccg cacagatgcg taaggagaaa ataccgcac 180
 aggcgccatt cgcatttcag gctgcgcac tggggaaag ggcgatcggt gccccctct 240
 tcgttattac gccagctggc gaaaggggga tgtgctgcaaa ggcgatataag ttggtaacg 300

ccagggttt cccagtcacg acgttgtaaa acgacggcca gtgaattcga gctcggtacc 360
 cggggatcct ctacgctcga cctgcaggca tgcaagctg gcgtaatcat ggtcatagct 420
 gtttcctgtg taaaattgtt atccgctcac aattccacac aacatacggc ccgaaagcat 480
 aaagtgtaaa gccggggtg cctaattgagt gagctaactc acattaatig cgttgcgc 540
 tagcgagtca tccaaaggcg cgccacggc gtgcggattg aagagcgagc tcccgttag 600

caataactag cgtcatagct gtttcctggg tcgttcggct gcccggagcg gtatcagctc 660
 actcaaaggc ggtataatcgg ttatccacag aatcaggggta taacgcagga aagaacatgt 720
 gagcaaaagg ccagcaaaag gccaggaacc gtaaaaaggc cgcgttgctg gcgttttcc 780
 ataggctccg cccccctgac gagcatcaca aaaatcgacg ctcaagttag aggtggc 840
 acccgacagg actataaaga taccaggcgt ttccccctgg aagctccctc gtgcgtctc 900
 ctgttcgac cctggcgctt acccgatacc tgtccgcctt tctcccttc ggaagcgtgg 960
 cgcttctca tagtcacgc tgttaggtatc tcagttcggt gtaggtcggt cgctccaagc 1020
 tggctgtgt gcacgaaccc cccgttcagc ccgaccgtg cgccatatcc ggttaactatc 1080

gtcttgattt caacccggta agacacgact tatcgccact ggcagcagcc actggtaaca 1140
 ggatttagcag agcgaggatgtt gtaggcggcgtt ctacagagtt ctgttgttgg tggcttaact 1200
 acggctacac tagagaaca gtatggta tctgcgcctt gctgaagcca gttaccttcg 1260
 gaaaaagagt tggtagctct tgatccggca aacaaaccac cgctggtagc ggtggtttt 1320
 ttgtttgcaa gcacgagattt acgacggcggaa aaaaaggatc tcaagaagat ccttgatct 1380
 tttctacggg gtcgtacgctt cagttggaaacg aaaactcactt ttaaggattt ttggcatga 1440
 gattatcaa aaggatctt accttagatcc tttaaatatcaaaaatgtttaatcaa 1500
 tctaaagtat atatgatcaa cttggtcga tgcttaccaa tgcttaatca gtgaggcacc 1560

tatctcagcg atctgtctat ttgttcatc catagttgcc tgactgccc tcgtgttagat 1620
 aactacgata cggggaggcctt taccatctgg ccccaactgt gcaatgatac cgccggaccc 1680
 acgctcaccc gtcggcgtt tatttttttttccat aaaccggcca gccggaaaggcc cgagcgcag 1740
 aagtggcctt gcaactttt ccggcctccat ccagtttattt aatttttttttccat gggaaagcttag 1800
 agtaagtatgt tcggcgttta atagtttgcg caacgttggcc gccattgtt caggcatgt 1860
 ggtgtcacgc tcgtcggtt gtagggcttccatttccat ggttcccaac gatcaaggcg 1920
 agttacatga tccccatgt tggcaaaaaa agcggttagc tcgttcggc tcgttccatgt 1980
 tgtcagaagt aagtggcccg cagttttatc actcatgtt atggcagcac tgcataatcc 2040

tcttactgtc atccatccg taagatgttt ttctgtgact ggtgagttact caaccaagtc 2100
 attctgagaa tagtgtatgc ggcgaccgag ttgtcttgc ccggcgtaa tacggataaa 2160

taccgcgcca catagcagaa cttaaaaagt gctcatcatt ggaaaacgtt cttcgccggc 2220
 aaaactctca aggatcttac cgctgtttag atccagttcg atgtAACCCCA ctcgtgcacc 2280
 caactgatct tcagcatctt ttactttcac cagcgtttct gggtgagcaa aaacaggaag 2340
 gcaaaaatgcc gcaaaaaagg gaataaggc gacacggaaa tggtaatac tcatcaatgg 2400
 ccttttcaa tattattgaa gcatttatca gggttattgt ctcatgagcg gttacatatt 2460
 tgaatgtatt tagaaaaata aacaaatagg ggttccgcgc acatcccc gaaaagtgcc 2520

acctgacgtc taagaaacca ttattatcat gacattaacc tataaaaata ggcgtatcac 2580
 gagggccctt catctcgcc gtttcggta tgacggtaaa aacctctgac acatgcgact 2640
 cccggagaca gtcacagctt gtctgttaagc ggtggccggg agcagacaag cccgtcaggg 2700
 cgcgtcagcg ggtgttggcg ggtgtcgggg ctg 2733

<210> 213

<211> 2733

<212> DNA

<213> Artificial Sequence

<220>

<223> pRYSE Entry vector 8

<400> 213

gtaaaaacgac gcccagtatt aaccctcaact aaagggaaact cgaggcttt caaaggcgc 60
 ccacggtcgt gcggattggc agactccata tgctatgcgg catcagagca gattgtactg 120

agagtgcacc atatcggtt tgaaataccg cacagatgac taaggagaaa ataccgcac 180
 aggcgccatt cggcatttcag gctgcgcac tggggaaag ggcgatcggt ggggcctct 240
 tcgctattac gccagctggc gaaaggggga tggctgcaaa ggcgatataag ttggtaacg 300
 ccagggttt cccagtcacg acgttgtaaa acgacggcca gtgaattcga gctcggtacc 360
 cgggatcct ctagcgtcga cctgcaggca tgcaagcttg gcgtaatcat ggtcatagct 420
 gtttcctgtt tggaaattgtt atccgctcac aattccacac aacatacgg cggaaagcat 480
 aaagtgtaaa gcctgggtt cctaattgatgatc gagctaaactc acattaattt cgttccgcgc 540
 tagcgagtca tccaagcccc tcagcccccc tagcgtcgtt aagagcgagc tcccgcttag 600

caataactag cgtcatagct gtttcctggg tcgttcggct gggcgagcg gtatcagctc 660
 actcaaaggc ggtataacgg ttatccacag aatcaggaa taacgcagga aagaacatgt 720
 gagcaaaaagg ccagcaaaaag gccaggaacc gtaaaaaggc cgcttgctg gcgttttcc 780
 ataggctccg cccccctgac gagcatcaca aaaatcgacg ctcaagtcag aggtggcgaa 840
 acccgacagg actataaaga taccaggcgt ttccccctgg aagctccctc gtgcgtctc 900

ctgttccgac cctggcgctt acccgatacc tgtccgcctt tctcccttcg ggaagcgtgg 960
 cgctttctca tagctcacgc tgttaggtatc tcagttcggt gttagtcgtt cgctccaaggc 1020
 tgggctgtgt gcacgaaccc cccgttcagc ccgaccgctg cgccttatcc ggtaactatc 1080

gtcttgattc caacccggta agacacgact tatcgccact ggcagcagcc actggtaaca 1140
 ggatttagcag agcgaggat gttaggcggtg ctacagagt cttgaagtgg tggctaact 1200
 acggctacac tagaagaaca gtatttggtt tctgcgcctt gctgaagcca gttaccttcg 1260
 gaaaaagagt tggtagctct tgatccggca aacaaaccac cgctggtagc ggtggtttt 1320
 ttgtttgcaa gcagcagatt acgcgcagaa aaaaaggatc tcaagaagat ctttgatct 1380
 tttctacggg gctcgcgcct cagtggaaacg aaaactcacg ttaaggatt ttggcatga 1440
 gattatcaaa aaggatcttc acctagatcc tttaaattha aaaaatgaatg tttaaatcaa 1500
 tctaaaggat atatgagtaa cttggtcga tgcttaccaa tgcttaatca gtgaggcacc 1560

tatctcagcg atctgtctat ttcgttcatc catagttgcc tgactgccc tcgtgttagat 1620
 aactacgata cgggagggct taccatctgg ccccagtgt gcaatgatac cgcgagaccc 1680
 acgctcaccg gctcagatt tatcagcaat aaaccagcca gccggaaggg ccgagcgcag 1740
 aagtggtcct gcaactttat ccgcctccat ccagtcatt aattgttgcc gggagctag 1800
 agtaagttagt tcgccagttt atagtttgcg caacgttgc gccattgcta caggcatgt 1860
 ggtgtcacgc tcgtcggtt gtagggcttc attcagctcc ggtcccaac gatcaaggcg 1920
 agttacatga tccccatgt tgcacaaaaa agcggttagc tccttcggc ctccgatcgt 1980
 tgtcagaagt aagttggccg cagtgttac actcatgtt atggcagcac tgctataattc 2040

tcttactgtc atgcacatccg taagatgtt ttctgtgact ggtgagtagt caaccaagtc 2100
 attctgagaa tagtgtatgc ggcgaccgag ttgctttgc cggcgtaa tacggataa 2160
 taccgcgcca catagcagaa cttaaaagt gctcatcatt ggaaacgtt cttcgccgc 2220
 aaaactctca aggtatccac cgctgttgcg atccagttcg atgtacccca ctcgtgcacc 2280
 caactgtatc tcagcatctt ttacttcac cagcgttct gggtagccaa aaacaggaag 2340
 gcaaaatgcc gcaaaaaagg gaataaggc gacacggaaa tggtaatac tcatcaattg 2400
 ccttttcaa tattattgaa gcatttatca gggttattgt ctcatgagcg gttacatatt 2460
 tgaatgtatt tagaaaaata aacaaatagg ggttccgcg acatttcccc gaaaagtgc 2520

acctgacgtc taagaaacca ttattatcat gacattaacc tataaaaata ggcgtatcac 2580
 gagggcccttt catctcgccg gtttcggta tgacggtaaa aacctctgac acatgcagct 2640
 cccggagaca gtcacagctt gtctgttaacg ggttccggg agcagacaag cccgtcagg 2700
 cgcgtcagcg ggttggcg ggttccggg ctg 2733

<210> 214

<211> 2737

<212> DNA

<213> Artificial Sequence

<220>

<223> pRYSE Entry vector 9

<400> 214

gtaaaacgac ggccagtatt aaccctact aaaggaaact cgaggcttt cacgctcg 60
 caacgcggc ggaccttggc agactccata tgctatcg 120

agagtgcacc atatgcggtg taaaataccg cacagatg 180
 aggcccatt cggcatttcag gctgcgcaac tggggaaag ggcatcggt gccccctt 240
 tcgttattac gccagctggc gaaagggggtaa tggctgcaaa ggcgat 300
 ccagggtttt cccagtcacg acgttgtaaa acgacggcca gtgaattcga gctcggtacc 360
 cgggatcct ctgcgtcga cctgcaggca tgcaagctt gctaattat 420
 gtttctgtg taaaattttt atccgctac aattccacac aacatacg 480
 aaagtgtaaa gcctgggtg ctaatgagt gagctaactc acattaattt cggtgcgc 540
 tagcgagtca tccacgggtt taaaacccca ggcctggc ggtgaagagc gagctccgc 600

tgagcaataa ctgcgtcat agctgttcc tgggtcg 660
 gctcactcaa aggccgtaat acggttatcc acagaatcag gggataacgc aggaaagaac 720
 atgtgagcaa aaggccagca aaaggccagg aaccgtaaaa aggcgcgtt gctggcg 780
 ttccataggc tccgcggcc tgacgagcat cacaatc gacgctcaag tcagagg 840
 cgaacccga caggactata aagataccg gcgttcccc ctggaaactc cctcg 900
 tctcgttcc cgaccctgcc gcttacccga tacgtccg ctttccttcc ttcggaa 960
 gtggcgctt ctcatacgac acgtgttagt tatctcagg tggtaggt cttcg 1020
 aagctggct gtgtgcacga acccccggtt cagccgacc gctgcgcctt atccgtaac 1080

tatcgcttg attccaaccc ggtaaagacac gacttatcg cactggcagc agccactgg 1140
 aacaggatta gcagagcgag gtatgttagc ggtgtacag agttctt 1200
 aactacggct acactagaag aacagtattt ggtatctcg ctgtgtt 1260
 ttccggaaaaa gagttggtag ctgtgttcc ggcaaaacccaa ccaccgtgg tagcggt 1320
 tttttgtttt gcaaggcagca gattacgcgc agaaaaaaag gatctcaaga agatcc 1380
 atctttcttca cggggctgtga cgctcagtgg aacgaaaact cacgttaagg gatggc 1440
 atgagattat caaaaaggat cttcacctag atcctttaa attaaaaatg aagttt 1500

tcaatctaaa gtatatatga gtaacttggt cgcatgctta ccaatgctta atcagtgagg 1560

cacctatctc agcgatctgt ctatttcgtt catccatagt tgccctgactg cccgtcggt 1620
 agataactac gatacgggag ggcttaccat ctggccccag tgctgcaatg ataccgcgag 1680
 acccacgctc accggctcca gatttatcg caataaacca gccagccgga agggccgagc 1740
 gcagaagtgg tcctgcaact ttatccgct ccatccagtc tattaaatgt tgccggaaag 1800
 ctagagtaag tagttcgcca gttaatagtt tgcgcaacgt ttttgccatt gctacaggca 1860
 tcgtgggtgc acgctcgatcg tttggatgg cttcattcag ctccgggtcc caacgatcaa 1920
 ggcgagttac atgatcccc atgttgtca aaaaagcggt tagctccctc ggtccctcg 1980
 tcgttgtcag aagtaagttt gcccagttt tatcactcat gtttatggca gcactgcata 2040

attctttac tgtcatgcca tccgtaagat gctttctgt gactggtgag tactcaacca 2100
 agtcattctg agaatagtgt atgcggcgac cgagttgctc ttgcccggcg tcaatacggg 2160
 ataataccgc gccacatagc agaactttaa aagtgtcat cattggaaaa cgttttcg 2220
 ggcgaaaaact ctcaaggatc ttaccgctgt tgagatccag ttcatgtaa cccactcg 2280
 cacccaactg atttcagca tctttactt tcaccagcgt ttctgggtga gcaaaaacag 2340
 gaaggcaaaa tgccgcaaaa aagggaataa gggcgacacg gaaatgtga atactcatca 2400
 attgccttt tcaatattat tgaaggattt atcagggttta ttgtctcatg agcggttaca 2460
 tatttgaatg tatttagaaa aataaacaaa taggggttcc ggcacattt cccgaaaaag 2520

tgccacactga cgtctaagaa accattatta tcatgacatt aacctataaa aataggcgta 2580
 tcacgaggcc cttcatctc ggcgtttcg gtgtatgcgg tgaaaacctc tgacacatgc 2640
 agctccggaa gacagtccaa gcttgtctgt aagcggatgc cgggagcaga caagccgctc 2700
 agggcgctc agcgggtt ggcgggtgtc ggggctg 2737

<210> 215

<211> 2737

<212> DNA

<213> Artificial Sequence

<220>

<223> pRYSE Entry vector 10

<400> 215

gtaaaacgac ggccagtatt aaccctcaact aaaggaaact cgaggcttt caatccccgc 60

gtgcgtggcc ggccgttggc agactccata tgctatgcgg catcagagca gattgtactg 120

agagtgcacc atatgcggtg taaaataccg cacagatgcg taaggagaaa ataccgcata 180

agggccatt cggcattcag gctgcgcaac tggggaaag ggcatcggt gcggccct 240
 tcgttattac gccagctggc gaaaggggga tggctgcaaa ggcgatataag ttggtaacg 300
 ccagggttt cccagtacg acgttgtaaa acgacggcca gtgaattcga gtcggtacc 360
 cgggatctt ctacgtcga cttgcaggca tgcaagcttg gcgtaatcat ggtcatatgc 420
 gtttctgtg tggaaattgtt atccgctac aattccacac aacatacggc ccggaaagcat 480
 aaagtgtaaa gcctgggtg cctaatgagt gagctaactc acattaattt cggtgcgc 540
 tagcgagtca tccacggtgtt taaacccca ggcctggcg ggtgaagagc gagctccgc 600

ttagcaataa ctacgtcat agctgttcc tgggtcggtc ggctgcggcg agcgttatca 660
 gctcaactaa aggccgtaat acggttatcc acagaatcag gggataacgc aggaaagaac 720
 atgtgagcaa aaggccagca aaggccagg aaccgtaaaa aggccgcgtt gtcggcg 780
 ttccataggc tccggcccccc tgcggatcat cacaaaaatc gacgtcaag tcagagggtgg 840
 cggaaacccga caggactata aagataccag gcgttcccc ctggaaagctc ctcgtgcgc 900
 tctcgttcc cgaccctgccc gtttacccga tacctgtccg ctttctccc ttggaaagc 960
 gtggcgctt ctcatagctc acgtgttagt tatctcgtttt cgggttagt ctttcgtcc 1020
 aagctgggtt gtgtgcacga acccccggtt cagccgcacc gtcgcctt atccgttaac 1080

tatcgcttg attccaaaccc ggttaagacac gacttatcgc cactggcage agccactgg 1140
 aacaggatta gcagagcgag gtatgttaggc ggtgtacag agttcttggaa gtggggcct 1200
 aactacggct acactagaag aacagtattt ggtatctcgc ctctgtgaa gccagttacc 1260
 ttcggaaaaa gagttgttag ctcttgatcc ggcaaaacaaa ccaccgtgg tagcggtgg 1320
 tttttgttt gcaaggcagca gattacgcgc agaaaaaaag gatctcaaga agatccctt 1380
 atctttctt cggggctgtt cgttcgtgg aacgaaaact cacgttaagg gatttggc 1440
 atgagattat caaaaaggat cttcacctag atcctttaa attaaaaatg aagtttaaa 1500
 tcaatctaaa gtatatatga gtaacttggt cgcacgttta ccaatgttta atcagtggg 1560

cacctatctc agcgatctgt ctatccgtt catccatagt tgcctgactg cccgtcggt 1620
 agataactac gatacgggag ggcttaccat ctggcccccag tgctgcaatg ataccgcgag 1680
 acccacgctc accggctcca gatttatcag caataaacca gccagccgga agggccgagc 1740
 gcagaagtgg tcctgcaact ttatccgcct ccattccatc tattatgt tgccggaaag 1800
 ctagagtaag tagtcgcca gttaatagtt tgcgcaacgt ttttgccatt gctacaggca 1860
 tcgtgggttc acgtcgatcg tttggatgg cttcattcag ctccgggttcc caacgtcaa 1920
 ggcgagttac atgatcccc atgttgtca aaaaagcggt tagtccttc ggtctccga 1980
 tcgtgtcag aagtaagttt gcccgtgtt tatcactcat gtttatggca gcactgcata 2040

attctttac tgtcatgcc a ccgtaagat gctttctgt gactggtag tactcaacca 2100
 agtcattctg agaatagtgt atgcggcgac cgagttgctc ttgcccggcg tcaatacggg 2160
 ataataccgc gccacatagc agaactttaa aagtgtcat cattggaaaa cgtttctcg 2220
 ggcggaaaact ctcaaggatc ttaccgttgt tgagatccag ttcgatgtaa cccactcg 2280
 cacccaactg atttcagca tctttactt tcaccagcgt ttctgggtga gcaaaaacag 2340
 gaaggcaaaa tgccgcaaaa aagggaataa gggcgacacg gaaatgtga atactcatca 2400
 attgccttt tcaatattat tgaagcattt atcagggtta ttgtctcatg agcggttaca 2460
 tatttgaatg tat tagaaa aataaaca a taggggttcc gcgcacattt cccgaaaag 2520

tgccacctga cgtctaagaa accattatta tcatgacatt aacctataaa aataggcgt 2580
 tcacgaggcc ct ttcatctc ggcgttgc gtgtacgg tgaaaacctc tgacacatgc 2640
 agctccggaa gacagtaca gcttgttgt aagcggatgc cgggagcaga caagccg 2700
 agggcggtc acgggttgc ggcgggtgtc gggcgt 2737

<210> 216

<211> 2737

<212> DNA

<213> Artificial Sequence

<220>

<223> pRYSE Entry vector 11

<400> 216

gtaaaaacgac ggccagtatt aaccctca aaggaaact cgaggctt caaacctgca 60
 ggcgcgagc gccgattggc agactccata tgctatgcgg catcagagca gattgtactg 120

agagtgcacc atatgcggtg taaaataccg cacagatgcg taaggagaaa ataccgatc 180
 aggcgccatt cggcattcag gctgcgcaac tggggaaag ggcgtcggt gcggccctct 240
 tcgttattac gccagctggc gaaaggggaa tggctgca ggcgatggaa ttggtaacg 300
 ccagggttt cccagtcaag acgttgtaaa acgacggcca gtgaattcga gctcggtacc 360
 cgggatcct ctgcgtcga cctgcaggca tgcaagctt gctaatcat ggtcatagct 420
 gtttctgtg taaaattgtt atccgctcac aattccacac aacatacgag ccggaaagcat 480
 aaagtgtaaa gcctgggtg cctaatgagt gagctaactc acattaattt cggtgcgc 540
 tagcgagtca tccacgggtt taaaacccca ggcgcgtggcg ggtgaagagc gagctccgc 600

tgagcaataa ctgcgtcat agctgttcc tgggtcggtc gggtgcggcg agcggtatca 660
 gctcactcaa aggccgtaat acggttatcc acagaatcag gggataacgc agggaaagaac 720
 atgtgagcaa aaggccagca aaaggccagg aaccgtaaaa agggcggtt gctggcg 780

ttccatagc tccgcccccc tgacgagcat cacaaaaatc gacgctcaag tcagaggtag 840
 cgaacccgaa caggactata aagataaccg gcgttcccc ctggaaagctc cctcggtgc 900
 tctcctgttc cgaccctgcc gcttacccga tacctgtccg cctttctccc ttggaaagc 960
 gtggcgctt ctcatagctc acgctgttagt tatctcaggcggttagt cgttcgctcc 1020
 aagctgggct gtgtgcacga acccccggtt cagcccgacc gctgcgcctt atccgtaac 1080

tatcgcttg attccaaccc ggtaagacac gacttatcgc cactggcagc agccactgg 1140
 aacaggatta gcagagcgag gtatgttaggc ggtgctacag agttcttgaa gtgggtggct 1200
 aactacggct acactagaag aacagtattt ggtatctgcg ctctgctgaa gccagttacc 1260
 ttcgaaaaaa gagttggtag ctcttgatcc ggcaaaacaaa ccaccgctgg tagcggtgg 1320
 tttttgttt gcaaggcagca gattacgcgc agaaaaaaag gatctcaaga agatccttg 1380
 atctttcta cggggctgtga cgctcagtgg aacgaaaact cacgttaagg gattttggc 1440
 atgagattt caaaaaggat cttcacctag atcctttaa attaaaaatg aagttttaaa 1500
 tcaatctaaa gtatatatga gtaacttggt cgcatgctta ccaatgctta atcagtgagg 1560

cacctatctc agcgatctgt ctatccgtt catccatagt tgctgactg cccgtcggt 1620
 agataactac gatacgggag ggcttaccat ctggccccag tgctgcaatg ataccgcag 1680
 acccacgctc accggctcca gatttatcag caataaacca gccagccgga agggccgagc 1740
 gcagaagtgg tcctgcaact ttatccgcct ccatccagtc tattattgt tgccggaaag 1800
 ctagagtaag tagttcgcca gttaatagtt tgcgcaacgt tttttccatt gctacaggca 1860
 tcgtgggtgc acgctcgctg tttggatgg cttcattcag ctccgggtcc caacgatcaa 1920
 ggcgagttac atgatcccc atgttgtca aaaaagcggt tagctccctc ggtccctcg 1980
 tcgttgtcag aagtaagttt gcccggatgtt tatcactcat gttatggca gcactgcata 2040

attctttac tgtcatgcca tccgttaagat gctttctgt gactggtag tactcaacca 2100
 agtcatctg agaatagtgt atgcggcgcac cgagttgcgc ttggccggcg tcaatacggg 2160
 ataataccgc gccacatagc agaactttaa aagtgtcat cattggaaaa cgttctcg 2220
 ggcgaaaaact ctcaaggatc ttaccgctgt tgagatccag ttcgatgtaa cccactcg 2280
 caccaactg atttcagca tctttactt tcaccagcg tttctgggtga gcaaaaacag 2340
 gaaggcaaaa tgccgaaaaa aaggaaataa gggcgacacg gaaatgtga atactcatca 2400
 attgccttt tcaatattat tgaagcattt atcagggtta ttgtctcatg agcggttaca 2460
 tatttgaatg tatttagaaa aataaacaaa taggggttcc ggcacattt cccgaaaaag 2520

tgccacactga cgtctaagaa accattatta tcatgacatt aacctataaa aataggcgta 2580
 tcacgaggcc cttcatctc ggcgtttcg gtgtacgg tgaaaacctc tgacacatgc 2640

agctcccgga gacagtaca gcttgtctgt aaggatgc cgggagcaga caagccgtc 2700
 agggcggtc acgggtgtt ggccgggtgtc ggggctg 2737

<210> 217

<211> 2737

<212> DNA

<213> Artificial Sequence

<220>

<223> pRYSE Entry vector 12

<400> 217

gtaaaacgac ggccagtatt aaccctact aaaggaaact cgaggcttt caaacgcgt 60
 cgccgacgcc gccgattggc agactccata tgctatgcgg catcagagca gattgtactg 120

agagtgcacc atatcggtg taaaataccg cacagatgcg taaggagaaa ataccgtac 180
 aggcccatt cgccatttcag gctgcgcaac tggggaaag ggcatcggt gcggccctct 240
 tcgcattttc gccagctggc gaaaggggaa tggctgcaa ggcatggaa ttggtaacg 300
 ccagggtttt cccagtcacg acgttgtaaa acgacggca gtgaattcga gctcggtacc 360
 cgggatctt ctagcgtcga cctgcaggca tgcaagctt gcgtatcat ggtcatagct 420
 gtttcctgtg taaaattgtt atccgctcac aattccacac aacatacggc ccggaaagcat 480
 aaagtgtaaa gcctgggtg cctaattgatgat gagctaactc acattaattt cgtgcgcgc 540
 tagcgagtca tccacgggtt taaaacccca ggcgcgtggc ggtgaagagc gagctccgc 600

tgagcaataa ctagcgtcat agctgttcc tgggtcggtc ggctgcggcg agcggtatca 660
 gctcaactaa aggccgtaat acggttatcc acagaatcag gggataacgc aggaaagaac 720
 atgtgagcaa aaggccagca aaaggccagg aaccgtaaaa agggccgtt gctggcggtt 780
 ttccatagggc tcccccccc tggcgatcat cacaatcgtt gacgctcaag tcagagggtt 840
 cggaaacccga caggactata aagataccag gcgttcccc ctggaaagctc cctcggtcgc 900
 tctccgttcc cggccctgcc gcttacccga tacctgtccg ctttctccc ttcggaaagc 960
 gtggcgctt ctatagctc acgctgttagt tatctcgtt cgggttagt cgttcgttcc 1020
 aagctggctt gtgtgcacga acccccggtt cagccgacc gctgcgcctt atccgttaac 1080

tatcgcttg attccaaccc ggtaaagacac gacttatcgc cactggcagc agccactgg 1140
 aacaggatta gcagagcgag gtatgttagc ggtgcgtacag agttcttgcgtt gttggccct 1200
 aactacggctt acactagaag aacagtattt ggtatctgcgtt ctgtgcgtt ggcgttacc 1260
 ttccggaaaaa gagttggtag ctcttgcgtt ggccaaacaaa ccaccgtgg tagcggtgg 1320
 tttttttttt gcaaggcagca gattacgcgc agaaaaaaag gatctcaaga agatcctttg 1380

atctttcta cgggtctga cgctcagtgg aacgaaaact cacgttaagg gattttggc 1440
 atgagattat caaaaaggat cttcacctag atccctttaa attaaaaatg aagtttaaa 1500
 tcaatctaaa gtatatatga gtaacttggt cgcatgctta ccaatgctta atcagtgagg 1560

cacctatctc agcgatctgt ctatttcgtt catccatagt tgccctgactg cccgtcgtgt 1620
 agataactac gatacgggag ggcttaccat ctggccccag tgctgcataatg ataccgcgag 1680
 acccacgctc accggctcca gatttatcg caataaacca gccagccgga agggccgagc 1740
 gcagaagtgg tcctgcaact ttatccgcct ccatccagtc tattaattgt tgccggaaag 1800
 ctagagtaag tagtcgcca gttaatagtt tgcgcaacgt tggccatt gctacaggca 1860
 tcgttgtgtc acgtcgtcg tttggatgg cttcattcag ctccgggtcc caacgatcaa 1920
 ggcgagttac atgatcccc atgttgtgca aaaaagcggt tagtccttc ggtccctcg 1980
 tcgttgtcag aagtaagttg gcccagtgt tatcactcat gttatggca gcactgcata 2040

attctttac tgtcatgcca tccgtaagat gctttctgt gactggtag tactcaacca 2100
 agtcattctg agaatagtgt atgcggcgc cggatgc tgcgcgtc ttgcccggcg tcaatacggg 2160
 ataataccgc gccacatagc agaactttaa aagtgtcat cattggaaaa ctttctcg 2220
 ggcgaaaact ctcaaggatc ttaccgctgt tgagatccag ttctgggtaa cccactcg 2280
 cacccaactg atttcagca tctttactt tcaccagcgt ttctgggtga gcaaaaacag 2340
 gaaggcaaaa tgccgcaaaa aaggaaataa gggcgcacacg gaaatgtga atactcatca 2400
 attgccttt tcaatattat tgaagcattt atcagggtt ttgtctcatg agcgttaca 2460
 tatttgaatg tatttagaaa aataaacaaa taggggttcc ggcacattt cccgaaaag 2520

tgccacactga cgtctaagaa accattatta tcatgacatt aacctataaa aataggcgt 2580
 tcacgaggcc ctttcatctc gcgcgttgc gtgtatgcgg tgaaacactc tgacacatgc 2640
 agctcccgga gacagtaca gttgtctgt aagcggatgc cgggagcaga caagccgtc 2700
 agggcgcgtc agcgggtt ggcgggtgtc gggcgt 2737

<210> 218

<211> 2737

<212> DNA

<213> Artificial Sequence

<220>

<223> pRYSE Entry vector 13

<400> 218

gtaaaacgac gcccagtatt aaccctact aaaggaaact cgaggctt caaggcggc 60

cgctggcag ggagattggc agactccata tgctatgcgg catcagagca gattgtactg 120

agagtgcacc atatgcggtg taaaataccg cacagatgacg taaggagaaa ataccgcac 180
 aggcccatt cggcatttcg gctgcgcac acgttggaaag ggccatcggt gcggccctct 240
 tcgttattac gccagctggc gaaaggggga tgtgctgcaa ggcgatataag ttggtaacg 300
 ccagggtttt cccagtcacg acgttgtaaa acgacggcca gtgaattcga gctcggtacc 360
 cggggatcct ctgcgtcga cctgcaggca tgcaagcttgc gctaatcat ggtcatagct 420
 gtttcctgtg taaaattgtt atccgctac aattccacac aacatacgag ccggaaagcat 480
 aaagtgtaaa gcctgggtg cctaattgatg gagctaactc acattaattt cggtgcgc 540
 tagcgagtca tccacggtgtt taaaacccca ggcctggcg ggtgaagagc gagctccgc 600

tgagcaataa ctgcgtcat agctgtttcc tgggtcggtc ggctgcggcg agcggatca 660
 gctcactcaa aggccgtaat acggttatcc acagaatcag gggataacgc agggaaagaac 720
 atgtgagcaa aaggccagca aaaggccagg aaccgtaaaa aggccgcgtt gctggcgtt 780
 ttccataggc tccgcggcc tgacgagcat cacaatcagc gacgctcaag tcagaggtagg 840
 cggaaaccga caggactata aagataccag gcgttcccc ctggaaagctc cctcggtgc 900
 tctcctgttc cgaccctgcc gcttaccgcg tacctgtccg ctttctccc ttggaaagc 960
 gtggcgttt ctcatagctc acgtgttagg tatctcagtt cggtaggtt cggtgcgtcc 1020
 aagctggctt gtgtgcacga acccccggtt cagccgcacc gctgcgcctt atccggtaac 1080

tatcgcttg attccaaaccc ggttaagacac gacttatcgc cactggcagc agccactgg 1140
 aacaggatta gcagagcgag gtagttaggc ggtgtacag agttcttgcgaa gtgggtggct 1200
 aactacggctt acactagaag aacagtattt ggtatctgcg ctctgctgaa gccagttacc 1260
 ttccggaaaa gagttgttag ctcttgatcc ggcaaaacaaa ccaccgtgg tagcggtgg 1320
 tttttgtttt gcaaggcagca gattacgcgc agaaaaaaag gatctcaaga agatccttg 1380
 atctttcttta cgggtctga cgctcagttgg aacgaaaact cacgttaagg gattttggc 1440
 atgagattt caaaaaggat cttcaccttag atcctttaa attaaaaatg aagttttaaa 1500
 tcaatctaaa gtatatatga gtaacttggt cgcatgctt ccaatgctt atcagtgg 1560

cacctatctc agcgatctgtt ctatccatgtt catccatagt tgctgtactg cccgtcggt 1620
 agataactac gatacgccggag ggcttaccat ctggcccgat tgctgcacatg ataccgcgag 1680
 acccacgcgc accggctcca gatttatcg caataaacca gccagccgaa agggccgagc 1740
 gcagaagtgg tcctgcaact ttatccgcctt ccatccagtc tattatgt tgccggaaag 1800
 ctatcgatgg tagttcgcca gttatagtt tgctgcacgt tggtgcattt gctacaggca 1860
 tcgtgggtgc acgtcgatcg ttgggtatgg cttcatttcg ctccgggtcc caacgatcaa 1920

ggcgagttac atgatcccc atgttgtca aaaaagcgt tagtccttc ggtccctcg 1980
 tcgttgtcag aagtaagttg gccgcagtgt tatcactcat gtttatggca gcactgcata 2040

attctcttac tgcgtgccca tccgtaaat gctttctgt gactggtag tactcaacca 2100
 agtcattctg agaatagtgt atgcggcgac cgagttgcgc ttgcggcg tcaatacggg 2160
 ataataccgc gccacatgc agaacttaa aagtgtcat cattggaaaa cgttctcg 2220
 ggcgaaaact ctcaaggatc ttaccgctgt tgagatccag ttgcgttaa cccactcg 2280
 cacccaactg atttcagca tctttactt tcaccagcgt ttctgggtga gcaaaaacag 2340
 gaaggcaaaa tgccgcaaaa aaggaaataa gggcacacg gaaatgtga atactcatca 2400
 attgccttt tcaatattat tgaagcattt atcagggtta ttgtctcatg agcggtaaca 2460
 tatttgaatg tatttagaaa aataaacaaa tagggttcc gcgcacattt cccgaaaag 2520

tgccacactga cgtctaagaa accattatta tcatgacatt aacctataaa aataggcgt 2580
 tcacgagggcc ctittcatctc ggcgtttcg gtgtacgg tgaaaacctc tgacacatgc 2640
 agctcccgga gacagtaca gcttgtctgt aagcggatgc cgggagcaga caagccg 2700
 agggcgctc agcgggttt ggccgggtgc ggggctg 2737

<210> 219

<211> 2737

<212> DNA

<213> Artificial Sequence

<220>

<223> pRYSE Entry vector 14

<400> 219

gtaaaacgac ggccagtatt aaccctcaact aaaggaaact cgaggcttt caaaggcgc 60
 ccacggtcgt gggattggc agactccata tgctatgcgg catcagagca gattgtactg 120

agagtgcacc atatgcgtt gtaaataccg cacagatgcg taaggagaaa ataccgatc 180
 aggccgcatt cgccatttcag gctgcgcacat tggggaaat ggcgtatcggt ggggcctct 240
 tcgttattac gccagctggc gaaaggggaa tggctgtcaa ggcgtttaag ttggtaacg 300
 ccagggtttt cccagtcacg acgttgtaaa acgacggcca gtgaattcga gctcggtacc 360
 cgggatcctt ctgcgtcga cctgcaggca tgcaagctt gctaatcat ggtcatatgt 420
 gtttccgtt gtaattgtt atccgctac aattccacac aacatacgg cggaaagcat 480
 aaagtgtaaa gcgtgggtt cctaatgagt gagctaactc acattaaatg cttgcgcgc 540
 tagcgagtca tccacgggtt taaacccca ggcctggcg ggtgaagagc gagctccgc 600

tgagaataa ctacgtcat agctgttcc tgggtcggtc ggctgcggcg agcggatca 660
 gctcaactaa aggccgtaat acggttatcc acagaatcag gggataacgc aggaagaac 720
 atgtgagcaa aaggccagca aaaggccagg aaccgtaaaa aggccgcgtt gctggcgtt 780
 ttccatagcc tccgcccccc tgacgagcat cacaaaaatc gacgctcaag tcagaggtagg 840
 cgaaacccga caggactata aagataccag gcgttcccc ctgaaagctc cctcggtgc 900
 tctcctgttc cgaccctgcc gcttacccga tacctgtccg ctttctccc ttggaaagc 960
 gtggcgctt ctcatacgctc acgctgttagg tatctcagtt cggtaggt cggtcgctcc 1020
 aagctggct gtgtcacga acccccggtt cagccgacc gctgcgcctt atccgtaac 1080

tatcgcttg atccaaccc ggtaagacac gacttatcgc cactggcagc agccactgg 1140
 aacaggatta gcagagcgag gtatgttaggc ggtgctacag agttcttcaa gtggtggcct 1200
 aactacggct acactagaag aacagtattt ggtatctgcg ctctgtgaa gccagttacc 1260
 ttccggaaaa gagttggtag ctcttgatcc ggcaaaacaaa ccaccgctgg tagcggtgg 1320
 tttttgttt gcaaggcagca gattacgcgc agaaaaaaaaag gatctcaaga agatccttg 1380
 atctttcta cgggtctga cgctcagtgg aacgaaaact cacgttaagg gatgggttc 1440
 atgagattat caaaaaggat cttcacctag atcctttaa attaaaaatg aagtttaaa 1500
 tcaatctaaa gtatatatga gtaacttggt cgcatgctt ccaatgctt atcagtgagg 1560

cacctatctc agcgatctgt ctatttcgtt catccatagt tgccctgactg cccgtcggt 1620
 agataactac gatacgggag ggcttaccat ctggcccccag tgctgcaatg ataccgcgag 1680
 acccacgctc accggctcca gatttacccat caataaacca gccagccgga agggccgagc 1740
 gcagaagtgg tcctgcaact ttatccgcct ccattccagc tattaaattgt tgccggaaag 1800
 ctagagtaag tagttcgcca gttaatagtt tgcccaacgt tggtgccatt gctacaggca 1860
 tcgtgggtgc acgctcgatgg ttggatgg cttcattccat ctccgggtcc caacgatcaa 1920
 ggcgagttac atgatcccc atgttgtca aaaaagcggt tagtccttc ggtcctccga 1980
 tcgttgtcag aagtaagttt gcccgtgt tatcactcat gttatggca gcactgcata 2040

attctttac tgtcatgcca tccgtaagat gctttctgt gactggtag tactcaacca 2100
 agtcattctg agaatagtgt atgcggcgac cgagttgcgc ttggccggcg tcaatacggg 2160
 ataataccgc gccacatagc agaactttaa aagtgtcat cattggaaaa cgttcttcgg 2220
 ggcgaaaaact ctcaggatc ttaccgctgt tgagatccag ttgcgtttaa cccactcg 2280
 caccaactg atttcagca tctttactt tcaccagcgat ttctgggtga gcaaaaacag 2340
 gaaggcaaaa tgccgcaaaa aaggaaataa gggcgacacg gaaatgtga atactcatca 2400
 attgccttt tcaatattat tgaagcattt atcagggttta ttgtctcatg agcggtaac 2460

tatttgaatg tat tagaaa aataaacaaa tagggttcc gcgcacattt cccgaaaag 2520

tgccacctga cgtctaagaa accattatta tcatgacatt aacctataaa aataggcgta 2580

tcacgaggcc ct当地ctc gcgcgttcg gtgtacgg tgaaaacctc tgacacatgc 2640

agctcccgga gacagtaca gcttgtctgt aagcggatgc cgggagcaga caagccgctc 2700

agggcgcgtc agcgggtgtt ggccgggtgtc ggggctg 2737

<210> 220

<211> 2737

<212> DNA

<213> Artificial Sequence

<220>

<223> pRYSE Entry vector 15

<400> 220

gtaaaacgac ggccagtatt aaccctact aaaggaaact cgaggcttt caagcccctc 60

agccccctta gcgtcgtggc agactccata tgctatgcgg catcagagca gattgtactg 120

agagtgcacc atatgcggtg taaaataccg cacagatgacg taaggagaaa ataccgatc 180

aggccattt cgcatttcg gctgcgcaac tggggaaag ggcgatcggt gccccctct 240

tgcattttt gccaatggc gaaaggggaa tgtgctgaa ggcgatataa ttggtaacg 300

ccagggtttt cccatccacg acgttgtaaa acgacggca gtgaattcga gctcggtacc 360

cgggatctt ctagcgtcgat cctgcaggca tgcaagctt gctaatcat ggtcatagct 420

gtttctgtt taaaattttt atccgctac aattccacac aacatacgag ccggaaagcat 480

aaagtgtaaa gcctgggtt cctaatgagt gagctaactc acattaattt cggtgcgcgc 540

tagcgagtca tccacgggtt taaaacccca gcgcctggcg ggtgaagagc gagctccgc 600

tgagcaataa ctagcgtcat agctgtttcc tgggtcggtc ggctgcggcg agcgttatca 660

gctcactcaa aggccgtat acggttatcc acagaatcag gggataacgc aggaaagaac 720

atgtgagcaa aaggccagca aaaggccagg aaccgtaaaa aggccgcgtt gctggcggtt 780

ttccatagggc tccggggggc tgacgagcat cacaatccat gacgctcaag tcagagggtt 840

cgaaacccga caggactata aagataccag gcgtttcccc ctggaaagctc cctcggtgcgc 900

tctcctgttc cgaccctgcc gcttacccga tacctgtccg ctttctccc ttggaaagc 960

gtggcgctt ctcatacgatc acgctgttagg tatctcagg tgggttaggt cggtcgatcc 1020

aagctggct gtgtgcacga acccccggtt cagccgcacc gctgcgcctt atccgtaac 1080

tatcgcttg attccaaccc ggtaaagacac gacttatcgc cactggcagc agccactgg 1140

aacaggatta gcagagcgag gtagttaggc ggtgctacag agttcttcaa gtggggcct 1200
 aactacggct acactagaag aacagtattt ggtatctgcg ctctgctgaa gccagttacc 1260
 ttcggaaaaa gagttggtag ctcttgatcc ggcaaaacaaa ccaccgctgg tagcgggtgg 1320
 tttttttttt gcaaggcagca gattacgcgc agaaaaaaag gatctaaga agatcccttg 1380
 atctttctta cggggctgta cgctcagtgg aacgaaaact cacgttaagg gatTTggc 1440
 atgagattt caaaaaggat cttcacctag atcccttaaa attaaaaatg aagtttaaa 1500
 tcaatctaaa gtatatatga gtaacttggt cgcatgctta ccaatgctta atcagtgagg 1560

cacctatctc agcgatctgt ctatttcgtt catccatagt tgccctgactg cccgtcggt 1620
 agataactac gatacgggag ggcttaccat ctggccccag tgctgcaatg ataccgcgag 1680
 acccacgctc accggctcca gatttatcag caataaacca gccagccgga agggccgagc 1740
 gcagaagtgg tcctgcaact ttatccgct ccattccagtc tattaaattgt tgccggaaag 1800
 ctagagtaag tagttcgcca gttaatagtt tgcgcaacgt tggtgccatt gctacaggca 1860
 tcgtgggtgc acgctcgctg ttggatgg cttcattcag ctccggttcc caacgatcaa 1920
 ggcgagttac atgatcccc atgttgtca aaaaagcggt tagctccctc ggtccctcga 1980
 tcgttgtcag aagtaagttt gcccgcgtgt tatcactcat ggttatggca gcactgcata 2040

attctttac tgtcatgcca tccgtaagat gctttctgt gactggtgag tactcaacca 2100
 agtcattctg agaatagtgt atgcggcgac cgagttgctc ttgccccggc tcaatacggg 2160
 ataataccgc gccacatagc agaactttaa aagtgtcat cattggaaaa cgttttcgg 2220
 ggcgaaaaact ctaaggatc ttaccgctgt tgagatccag ttcgatgtaa cccactcg 2280
 caccacactg atcttcagca tctttactt tcaccagcgt ttctgggtga gcaaaaacag 2340
 gaaggcaaaa tgccgcaaaa aagggaataa gggcgacacg gaaatgtga atactcatca 2400
 attgccttt tcaatattat tgaagcattt atcagggtta ttgtctcatg agcgttaca 2460
 tatttgaatg tatttagaaa aataaacaaa taggggtcc ggcacattt cccgaaaag 2520

tgccacactga cgtctaagaa accattatta tcatgacatt aacctataaa aataggcgta 2580
 tcacgaggcc ct当地ctc ggcgtttcg gtgtatgcgg tgaaaacctc tgacacatgc 2640
 agctcccgga gacagtaca gcttgtctgt aagcggatgc cgggagcaga caagccgctc 2700
 agggcgctc agcgggtgtt ggcgggtgtc ggggctg 2737

【심사관 직권보정사항】

【직권보정 1】

【보정항목】 청구범위

【보정세부항목】 청구항 1

【변경전】

(c) ~ 선택된 임의의 DNA 절편, 두번째 제한 부위 RBm를 포함하며

【변경후】

(c) ~ 선택된 임의의 DNA 절편, 및 두번째 제한 부위 RBm를 포함하며

【직권보정 2】

【보정항목】 청구범위

【보정세부항목】 청구항 32

【변경전】

(iii) ~, 프라이머 결합 절편 PB, 두번째 제한 부위 RBm을 포함하며

【변경후】

(iii) ~, 프라이머 결합 절편 PB, 및 두번째 제한 부위 RBm을 포함하며

【직권보정 3】

【보정항목】 청구범위

【보정세부항목】 청구항 27

【변경전】

(c) ~ 선택된 임의의 DNA 절편, 두번째 제한 부위 RBm를 포함하며

【변경후】

(c) ~ 선택된 임의의 DNA 절편, 및 두번째 제한 부위 RBm를 포함하며